

## 水管傾斜計によって観測された地殻変動

地震研究所 山 田 重 平

(昭和48年1月20日受理)

### 目 次

	頁
まえがき.....	2
第1章 水管傾斜計の計器論.....	5
1. 水管傾斜計の原理と構造.....	5
2. 水管傾斜計の特殊型式.....	6
3. 読取精度ならびに計器の長期安定性.....	8
4. 観測横坑.....	12
5. 計器台石とその施工.....	12
6. 観測誤差の諸要因.....	14
第2章 水管傾斜計の遠隔記録.....	25
1. 序言.....	25
2. 超音波式水管傾斜計の原理.....	25
3. 計器の構成.....	26
4. 計器の誤差.....	27
5. 計器の要目.....	28
6. 計器の設計、試作の経緯.....	28
7. 富士川型の設計、試作.....	33
8. 電気回路.....	39
9. 記録実例.....	46
第3章 水管傾斜計の経年変化.....	48
1. 序言.....	48
2. 水管傾斜計の観測結果.....	50
3. 三浦半島の水準測量.....	53
4. 水管傾斜計と水準測量の比較.....	56
5. 観測結果に対する考察.....	57
6. 油壺の土地上下変動と傾斜変動.....	58
7. 鋸山観測所と房総半島の水準測量.....	59
8. 油壺と鋸山の水管傾斜計の比較.....	62
9. 観測結果に対する考察.....	63
10. 松山市における水管傾斜計の観測.....	70
第4章 地震活動と水管傾斜計の観測(松代群発地震の場合).....	79
1. 水管傾斜計観測からみた諸現象.....	79
2. 水管傾斜計の観測結果.....	82
3. Tilt-step およびその規則性.....	83
4. 地震の規模Mと断層の長さLの関係.....	89
5. 断層面積の推定.....	90
6. 左横ずれ断層による傾斜の場.....	93
7. 標準転位への震央位置補正と断層変位.....	99
8. 地震の規模MとモーメントMoとの関係.....	100
9. 補遺.....	101
第5章 諸分野への応用.....	102
1. 佐久間ダムの場合.....	102

2. 黒四ダムの場合.....	105
3. 火山学における応用.....	106
参考文献.....	108
付録 1.1 水管傾斜計の針先を鮮明に見る光学系.....	112
1.2 読取容器の製作工程.....	113
1.3 観測横坑の施工.....	114
1.4 台石の加工.....	114
1.5 観測坑の平面図.....	114
2.1 圧電素子の絶縁低下.....	116
4.1 松代地震の主要地震の前後2日間における異常変動.....	117
4.2 松代地震観測所における水管傾斜計の読取値.....	129
4.3 地震の規模と断層面積の関係.....	145
英文抄録.....	146

### まえがき

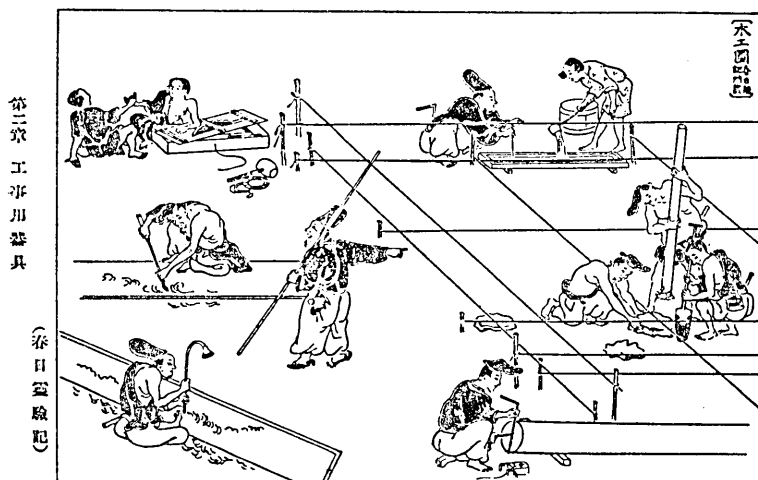
#### 水管傾斜計のはじまり

地震と地殻変動の関係が密接不離であることは、大地震に際して断層や海岸隆起などの現象がみられることから明らかである。今村<sup>001),002)</sup>は大地震の起る数時間前に著るしい地殻変動のあった例として、鯵ヶ沢（寛政4, 1793）、佐渡（享和2, 1802）、浜田（明治5, 1872）、丹後（昭和2, 1927）の四つの地震を挙げているが、それらの現象はいずれも住民の目撃によって捉えられたものである。<sup>003),004)</sup>濃尾地震（1891）以降、測地学的方法が地震の調査研究に導入されるに至って、地震と地殻変動の関係は逐次明らかになってくる。藤井<sup>005)</sup>が指摘している如く、地震研究所の発足より20年間は所の内外においてこの種の研究が盛んに行なわれた時期で、その成果の蓄積は日本の地震学独自の業績として評価されるに至った。現在の地震予知研究計画もその基底において、これらの研究成果に負うところが極めて多いのである。例えば、関原地震（1927）は今村<sup>006)</sup>によって最初から地震研究の目的で計画的に行なわれた測量によって地震前後の土地変動の様相が明らかにされたもので、その時代の代表的業績の一つに挙げられるべきものであろう。

地殻変動観測の重要性は一方において土地の傾斜変動の連続観測計器の開発を促して行った。最初に使用されたものは Rebeur-Paschwitz の水平振子傾斜計である。その構造については志田<sup>007)</sup>、萩原<sup>008)</sup>の著書に僅かな記述があるので、後に述べる Michelson に関する記事も同様原著<sup>009)</sup>の閲覧は恐らく個人所持のものに頼るほかあるまい。ついで石本<sup>010)</sup>は Zöllner 吊の全シリカ傾斜計を製作した。この計器を使った研究としては井上<sup>011)</sup>、高橋<sup>012,013,014)</sup>、西村<sup>015)</sup>、萩原<sup>016)</sup>、Rebeur 型と比較した佐々<sup>017)</sup>らのものが挙げられる。

一方これらとは別の原理に基づくものとして、水の自由表面を利用した傾斜観測がある。検潮儀は海平面を基準として陸地の昇降変動を連続的に検知できる。関東地震（1923）に際し油壺の検潮儀が三浦半島の隆起を記録したことは多くの人の知るところである。湖沼面を利用して土地の傾斜変動を測ることも行なわれた。琵琶湖における坪井<sup>018)</sup>、富士五湖の萩原・表<sup>019)</sup>の研究がある。

このような自然の水面を利用することは気象条件に左右されることが大きい欠点がある。常時精密な傾斜観測を行なうためには人工の長い静水面を使用するのが最良である。



鎌倉時代木工図

Fig. 0.1. A water level used as a builder's tool during the Kamakura-era (12th century). upper right.

わが国では鎌倉時代（1180—1333）すでに建築に使われる「水盛」のあったことが春日靈験記にのっている。<sup>020)</sup>（第0.1図）

Michelson<sup>021)</sup>はシカゴ市付近において直径6吋長さ502呎の鉄管を土中に埋設し、その中に水を半分程入れ、彼の作った干渉計によって水面の微小な昇降変動を測り、地殻潮汐の観測を行なった。地震研究所は創立当初この干渉計を輸入して水管傾斜計の研究を始めた。旧地震研究所の構内の地下室に東西・南北の2成分が据えられた。その水管傾斜計は直径6吋で長さは18mのものであった。高橋<sup>022)</sup>は後に検出部をねじマイクロメータの方式に改造した。鉄管の内面はエナメルを塗って錆を防ぎ、水には1grのHgCl<sub>2</sub>を溶解し

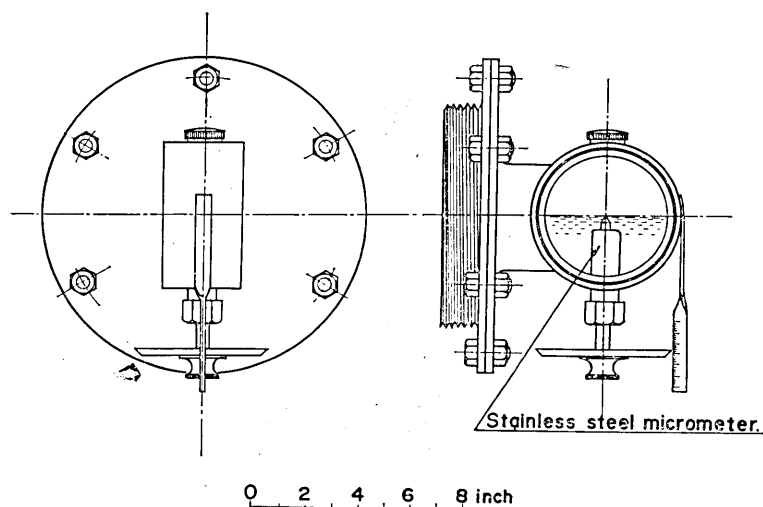


Fig 0.2. Takahashi's reading microscrew modification of Michelson's proto-type.

て腐敗を防止した。マイクロメータねじのピッチは0.5mmで目盛盤は円周を250等分してあるから1目盛は $2\mu$ に相等する。この装置では読取顕微鏡を用いずに2目盛の誤差で読取が可能であると述べている。第0.2図に読取装置を示す。

萩原<sup>023)</sup>はねじマイクロメータを取り付けた二つの壺を細いガラス管で結んだ簡単で取扱容易な水管傾斜計を考案し、筑波観測所に横坑を掘って、これとシリカ傾斜計との比較観測を長期間に亘り行なった。その結果、坑道内の観測が従来の建物や半地下式の場所に比べて著しく安定であることが判明し、また水管傾斜計はシリカ斜傾計より一層安定で実用性の高いことが実証された。このようにして地震観測所に比すべき地殻変動観測所の構想が次第に実つていった。当時太平洋戦争が終つて間もない頃で、萩原らは軍が残した防空壕を利用して観測所を作つた。油壺地殻変動観測所はその最初のものである。

萩原ら<sup>024),025)</sup>は油壺において簡便な水晶管土地伸縮計を開発した。これと水管傾斜計、シリカ傾斜計の三種をもって観測計器の基本構成とし、潮汐荷重を利用して土地変形の弾性論的研究を行なつた。この計器構成は現在も変わらない。観測所においては水管型と水平振子型の原理を異にする二種の傾斜計で観測を行なつて來たが、それには理由がある。前者は長期安定性が期待される反面、手動読取のため連続記録が容易でない。この点後者は自記記録式という長所があるからである。20—25mの水管傾斜計と周期30秒程度の水平振子型傾斜計は感度や分解能に関してほぼ同格に考えられるが、両者の観測結果は一致しないことが多い。このことは萩原<sup>026)</sup>が指摘しているように水平振子の方が基線長が短かく、土地の局部的擾乱に左右され易いためである。従つて大局的な地殻変動を対象とする場合は水管傾斜計の方が優れていることになる。

各観測所においては、絶え間ない水管傾斜計の読取観測が続けられ、観測事実の発見と計器の性能向上のための努力が払はれてきた。その間、南海、福井、今市、新潟などの歴史的地震に遭遇し出張観測の機会にも恵まれたが、大きな成果を挙げることが出来なかつた。水管傾斜計の価値が広く認められたのは1965年に始まる松代地震の時であつて、その間実に20年余の歳月を費した。このように水管傾斜計は手動読取に関する限りほぼ完成された感があるが、一方変動の進行状況を時間的に密に観測するためには自動化がますます要望されるようになつて來た。

油壺観測所開設の当初既にその試みはあったが成功しなかつた。20年後の今日、エレクトロニクス技術の進歩によりようやく成功の見通しがついた。

### 本論文の要旨

筆者は観測所の建設、それに伴なう計器の設計、製作、据付の作業に従事し、観測業務を担当するなど長年水管傾斜計と共に歩んできた。本論文においてはこの間に得られた資料に基づいて水管傾斜計による地殻変動観測を総合的に展望してみたいと思う。地殻変動を論ずるに当つては傾斜量とともに伸縮量も併せて考察すべきことは言うまでもないが、とり敢えずここでは目的を現用の水管傾斜計に限定し、その地殻変動に対する能力について考究することにしたい。本論文の構成は概ね次の通りである。

本文は5章となる。第1章は水管傾斜計の計器論である。観測精度ならびに計器の安定性の向上をはかるための水管傾斜計の改良に関する種々な試みについて述べる。計器自

体の改良、設置場所や施工上の問題点、そして観測誤差の諸要因に及ぶ。

第2章は地殻変動の連続観測にたずさわる者の長年の課題であり、特に最近問題となってきた計器の高感度化に伴なう観測坑の安定化、そして省力化の要望、松代地震の苦しい体験からもその必要を渴望されていた水管傾斜計の遠隔記録装置のうち著者らの開発になる超音波方式について述べる。

第3章は水管傾斜計観測の経年変化を油壺、鋸山、松山の三観測所の場合について述べる。油壺と鋸山は東京湾を隔てて20kmの距離に相対している。松山は南海地震後の瀬戸内海沿岸の地盤沈下の監視が目的で、北東30kmにある高縄半島の水準測量と対比して観測が行なわれた。そこで、油壺・鋸山両者間でどの程度調和が得られるか、一般に観測所での観測が水準測量の結果を代表し得るか、検潮記録との関係の三点について考察を試みた。その結論として、水管傾斜計の記録するものは一体何かという問題になるが、広域変動と局地変動の和として考えることによって解決できるように思う。

第4章は水管傾斜計が地震活動の場においてどのような応答を示すかを松代群発地震の場合について述べる。気象庁地震観測所の観測坑内に40m水管傾斜計2成分を設置し地震活動の最盛期に約1年間観測を行なった。先ず規模IV、Vの主要地震のうち62個について筆者らが観測した地震の前後2日間の変動を紹介する。震源近傍における水管傾斜計の高密度観測は未だ類例がなく、その成果は地震予知の将来にひとつの希望的実例を提供したものである。次にそれらの地震に際してあらわされた急激な段違いの傾斜変動、テルトステップの規則性を論ずる。すなわちプレス・チネリーらが弾性転位理論より求めた横ずれ断層変位と比較対照してみた。先ず方向について比較し、大きさについては逆に観測値を得るために震源においてどのくらいの変位が期待されるかを求めた。さらに地震観測の結果と相俟って断層の大きさを推定し、地震のモーメントを求めた。その結果を地震波動より求めた多くの人達の結果に照して矛盾しなかった。

第5章は水管傾斜計の諸分野への応用を述べる。土木工学方面では、ダムサイトにおいて着岩面付近の岩盤が巨大な湛水荷重を受けた際の挙動をダムの安全管理の上から監視した佐久間、黒部の筆者が関係した二例について簡単に述べる。火山学における応用例として、ハワイのキラウエア・カルデラにおける観測がある。

なお本論文は、本文と付録の二部からなっている。付録には本文と分離して差支えない技術的事項、観測値の数表やそれに関連した図表などをまとめたものである。参考文献は本文の巻末に一括して掲げた。

## 第1章 水管傾斜計の計器論

### 1. 水管傾斜計の原理と構造

水管傾斜計の原理は極めて簡単である。第1.1図に示すように、水を満した距離の長い連通管で、土地の傾斜によって起るA、B両容器の水位の増減の差 $\{(A-A')-(B-B')\}$ と距離Lとの比をもって傾斜があらわされる。水位を測るマイクロメータのねじはピッチ500ミクロンで、それに取付けたダイヤルは円周を50等分してあるので、1目盛は10ミクロン、目測で1ミクロンまで読取ることができる。計器の要目は次の通りである。

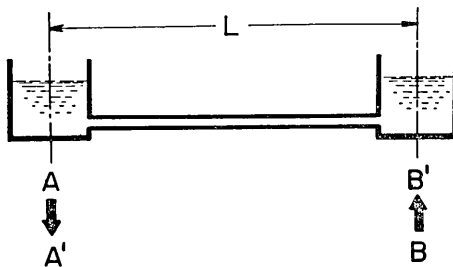


Fig. 1.1. Principle of a water-tube tiltmeter.

測定範囲	±5,000 ミクロン
感 度	
距 離 $L = 10\text{m}$ で 1 ミクロン = 0.02秒角	
20	= 0.01 "
40	= 0.005 "
精度	1 ミクロン

第1.2図はその構造を示すもので、(a)は筑波観測所に据えられた最初の型、(b)はF型と称する最新のものである。

萩原式の水管傾斜計が計器として優れている点は構造が簡単で取扱容易なことであるが、さらに 1). 水面が全反射面となるよう斜め下から覗き針先と水面に映るその虚像との合致点を求めるので検出が正確に行なわれる。2). 空気管により気圧や風の影響を防止できる。3). 読取ダイヤルの自重によりマイクロメータねじのバツクラッシュを除去できることなど極めて合理的によくできている計器である。

## 2. 水管傾斜計の特殊型式

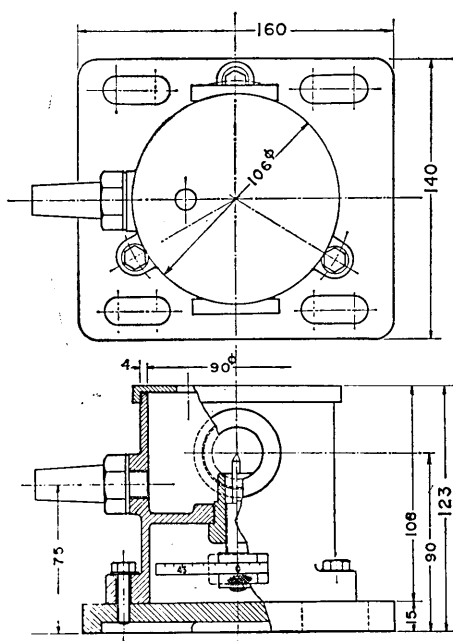


Fig. 1.2. Various models of the water vessel. (a). Proto-type (Tsukuba type).

第1.2図(a)から(b)に移り変る約20年間に数回のモデル・チェンジが行なわれた。大部分は形態の単純化によって製作費の節減をはかりうとする終戦後の時勢即応のあらわれであった。そのうち特に印象深い試みが二三あった。それらについて簡単に述べる。

### a. 簡易型

第1.2図(c)は原型を簡略化し出張観測に適するようにしたものである。1946年の南海地震に際し、筆者ら<sup>101)</sup>はこれを室戸国民学校の校庭の電柱に取付け約半年間観測を行なった。電柱の方向はほぼ南北で間隔は 27.6 m であった。この簡易型でも 1 秒角の読み精度を確保できその観測結果が室戸岬の水準測量の成果とよく対応できた。また南下りの傾動が南上りに逆転すると付近の余震活動が活発になるという興味ある事例を示した。ただ無風の日でないといい結果が得られなかった。

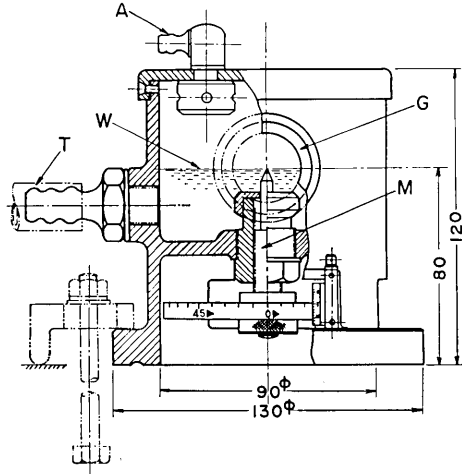


Fig. 1.2. (b). Improved type (model F).

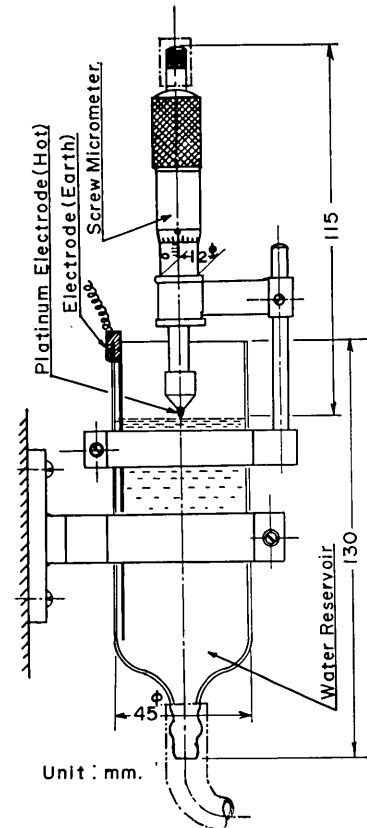


Fig. 1.2. (c). Handy-type, equipped with an electro contact point.

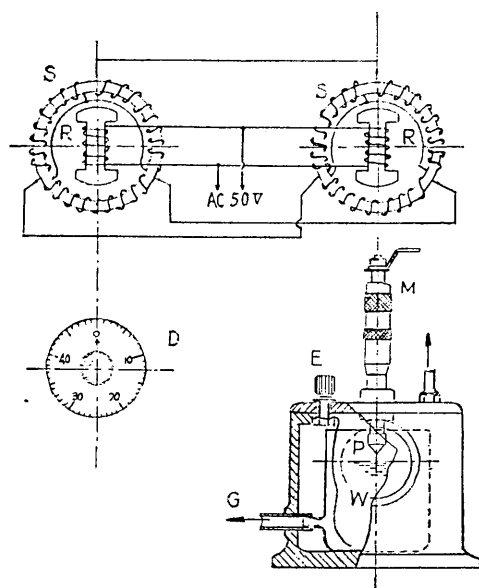


Fig. 1.3. The schematic view of the main part of the water-tube tiltmeter and the circuit for Selsyn motors.

P: platinum    E: electrode  
M: micrometer.

マイクロメータの水面接触の検知はグローランプの明滅によった。

#### b. 遠隔操作型

室戸における経験を一步進めて1947年油壺観測所の開設に際し、セルシン電動機による遠隔読取を試みた。<sup>102)</sup> 予備実験の結果に反し、約2年間の使用で針先の白金電極が電蝕で損耗していることが認められたため、廃止してしまった。このほか水の表面張力のために読取にばらつきの起る問題があった。それで再び筑波型に戻り改良を重ねて現用(F型)に至っている。

第1.3図はその概要図である。

#### c. 携 帯 型

小型の容器、読取顕微鏡、照明装置など一式を砲金製の台架に取付け移動観測に便利なように考案したものである。水管は鉛管やビニール管のような可撓性のものを使う。

測定場所にはコンクリート台を設け、その中心部にベンチマークを埋めておく。これに對して読取容器の真下、台架の底部には半球形の基準点が下向きに取付けてある。観測の際には3本のねじで台架の水平をとりつつ基準点をベンチマークに押当てる。次に右側の計器を左側に、左右位置を交換して同様の操作を行なえば左右のベンチマークの高さの差を求めることができる。<sup>103)</sup> このようにして一組の計器を用意すれば多数個所のベンチマークの測定ができるという便利さはある。しかし固定式に比べて若干不安定であるのは止むを得ないが、ベンチマークと基準点との間の保護機構を考えなかつたために、これを損



Fig. 1.4. A portable water-tube tiltmeter (test observation at Aburatsubo).

傷すると以後の観測が無効になる欠点があった。油壺において固定型と比較観測を行なった結果よい一致が得られた。第1.4図はその時の計器の写真である。

### 3. 読取精度ならびに計器の長期安定性

#### a. 光学系の問題

水管傾斜計の読取を容易にかつ正確に行なうためには読取顕微鏡の倍率を大きくしなけ

ればならない。しかし実用上の問題として対物レンズを読取容器の外側に置く限り普通の方式の顕微鏡では大きな拡大率を望むことは出来ない。せいぜい10倍が限度であろう。一般に倍率を増せば収差もそれに従って増加するから収差の対策を充分に行なわないと、いわゆる「見え味」(definition) の悪い眼鏡となり却て使用に堪えないものとなる。第1.5図は筆者がそれらの点を考慮して改良した光学系で、球面の覗き窓と、球面収差と色収差

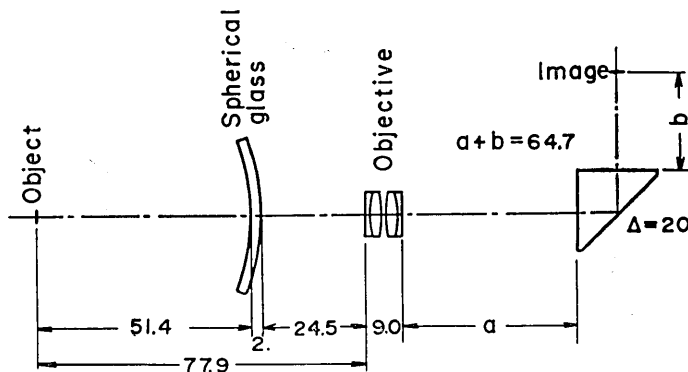


Fig. 1.5. An optical system of a water-tube tiltmeter.

を補正した対物レンズからなる。

その原理は付録1.1に述べてある。

一方針先の形状については鋭どく研磨する方がよいとされていたが、むしろ小さい丸味をもたせた方が読み易いことがわかった。実際にやってみて尖った方が眼の疲労が大きく心理的にも不安で位置の判定が困難である。(第1.6図)

#### b. 容器の大きさと水管の太さ

読取を行なう場合、針先を水面から2～3目盛下げる位置にセットしておく、観測

時間の5分前に入坑して針先をほぼ水面にもってゆく。これを「前セット」という。この5分間にマイクロメータねじから排除された水は左右平衡し、入坑による擾乱も静まつくる。容器の水位に差異を生じた場合、平衡に要する時間は水管の直径に最も大きく左右される。細い場合は過制動となり水の流入出が困難で、太い場合には水面が振動していずれも平衡状態に達するのに時間がかかる。長さ25～40mの水管傾斜計に対し経験的に公称 $\frac{1}{2}$ 吋(内径12.5mm)の硝子管が使われてきたが、これがもっとも適当のようである。いまこの硝子管を使った70mの水管傾斜計について試験した結果を述べてみたい。第1.7図において容器Aの水は水管を通って容器Bに移動する。そのときAの水位は平衡水位よりhだけ高いとする。ここで i) A, B両容器の断面形状は一様で、大きさは相等しい。ii) 水管中の流れは定常流であるとする。然るときは

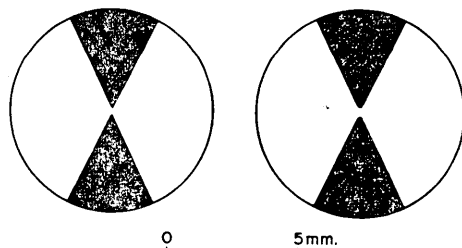


Fig. 1.6. Sharp and blunt points of micrometer heads, approaching the water surface from below (image in the microscope's field).

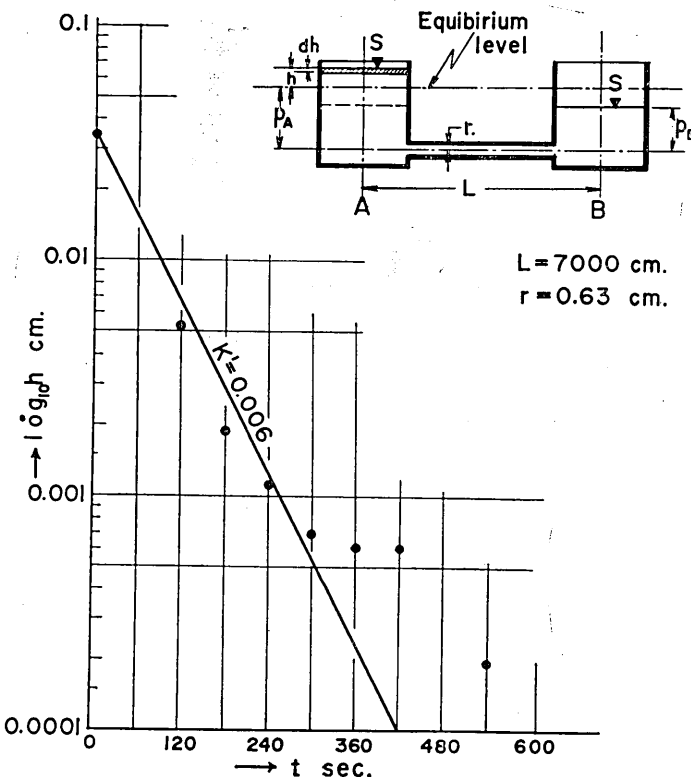


Fig. 1.7. Surge response of a water-tube tiltmeter.  $K'$  is an instrumental constant when the values of  $L$ ,  $r$  and  $S$  are given, in the upper right figure.

$$-S dh = qdt \quad (1.1)$$

ここで  $q$ : 単位時間に水管を流れる流量

$S$ : 容器の水の表面積

両容器の水頭  $p_A$ ,  $p_B$  の差を  $\Delta p$  とすると

$$\Delta p = p_A - p_B = 2\rho gh \quad (1.2)$$

ここで  $\rho$ : 水の密度  $g$ : 重力の加速度  $h$ : 水位差の半分

水理学によれば細管中を流れる流量は

$$q = \frac{\pi}{8\eta} \cdot \frac{\Delta p}{L} \cdot r^4 \quad (1.3)$$

である。ここで

$\pi$ : 円周率  $\eta$ : 水の粘性係数

$L$ : 水管の長さ  $r$ : 水管の半径

(1.2) を (1.3) に、さらにこれを (1.1) に代入すると

$$-S dh = \frac{\pi}{4\eta} \cdot \frac{\rho gh}{L} \cdot r^4 dt$$

$$\therefore \frac{1}{h} \frac{dh}{dt} = -K \quad (1.4)$$

但し  $K = \frac{\pi \rho g r^4}{4\eta LS}$

これを解くと水位変化は

$$h = h_0 \exp. (-Kt)$$

又は  $\log_{10} h = \log_{10} h_0 - \log_{10} e \cdot Kt$  (1.5)

となる。 (1.5) における

$$\log_{10} e \cdot K = K' \quad (1.6)$$

とおき、実際の数値を代入してみる。

$$\pi = 3.14 \quad \rho = 1.00 \text{ gr/cm}^3$$

$$g = 980 \text{ cm/sec}^2 \quad \eta = 0.0114 \text{ poise } (15^\circ\text{C})$$

$$r = 0.63 \text{ cm} \quad r^4 = 0.16 \text{ cm}^4$$

$$L = 7000 \text{ cm}$$

$$S = \frac{\pi}{4} \cdot 12^2 = 113 \text{ cm}$$

とすると

$$K' = 0.4343 \times 0.0135$$

$$\approx 0.006 \text{ (C.G.S)}$$

第1.7図のグラフの黒丸印は前述の水管傾斜計の一方の容器の水位を急激に340ミクロノ上昇させてから徐々に減少してゆく様子を読み取ったものである。(1.5)式はそのグラフでは勾配  $K'$  の直線であらわされる。図は  $K' = 0.006$  のときの直線であるが、水位変化が急速に進行中はややばらつきが大きいけれども直線とよく一致している。5~6ミクロン以下の読み取りは1目盛以下の目分量のため誤差の大きいのは致し方ない。この図表は作業などで水位の擾乱があったとき、安定する待時間求めるために有効である。すなわち水位が1桁低下するに要する時間は約160秒、あるいは時定数  $1/e$ 、37%になる時間は約70秒である。

江頭<sup>104)</sup>は桜島火山観測所において火山性の地殻変動観測のため光学記録式の自記水管傾斜計を製作したが、製作に当たりその液面運動について詳細な理論的解析を行なった。それによると臨界制動状態を得るための水管の直径  $dc$  は次の式で与えられる。

$$dc = 2 \left( \frac{\eta}{\rho} \right)^{1/3} \left\{ \frac{4LD_1^2 \cdot D_2^2}{g(D_1^2 + D_2^2)} \right\}^{1/6} \quad (1.7)$$

但し、 $D_1$ 、 $D_2$  は左右の容器の直径、その他の記号については (1.2)、(1.3) 式の場合に同じである。本式によってわれわれの観測している水管傾斜計の場合を当嵌めてみると、

$$L=70\text{m} \text{ Ogdensburg における臨時観測 } dc=14.9\text{mm}$$

$$40\text{m} \text{ 松代・北信・富士川} \quad = 13.7 \text{ "}$$

$$30\text{m} \text{ 弥彦} \quad = 13.0 \text{ "}$$

$$25\text{m} \text{ 鋸山・油壺} \quad = 12.7 \text{ "}$$

である。すなわち  $1/2$  時径の規格品の使用は適切である。(最近はミリ規格で各種揃う)

マイクロメータねじの直径は12mmで、容器の内径はそれの7～10倍である。(第1.2図参照、ほかに明石製作所製の120mmφのものを使っている)従って急激な水位変動の起らない平常の読取の場合には上述の事柄はあまり気にする必要はない。

### c. 計器の長期安定性

水管傾斜計を地震学の目的に使用する場合、大てい環境の悪い坑道内に長期間据え置かることになる。そのため台石から測定機構に至るまで全般に亘り耐久性が要求される。容器は上質の青銅鋳物で製作し、入念な加工が施される。組立を終ったものは10日間以上の漏水試験と器差検定を行ない、それに合格したものを出荷する。製作工程について付録1.2で述べる。

これまでの経験によれば、純水の汚濁や容器内面に水垢の付着する原因是低品質のガラス管やこれを連結するゴム管より析出する炭酸塩や有機物によるものであることが判明している。従って水管はパイレックス管をなるべく長くガス熔接によって接続することが望ましい。また配管はなるべく高低差を少なくすることが大切である。このほか臨時観測や観測員以外の人の立に入る場所ではガラス管より鉄管、塩化ビニール管又は透明ビニールホースなどが適当の場合もある。不透明管を使用する場合、管内の汚れや気泡の排除に注意すべきは勿論である。読取容器の浮遊塵埃、管接続部の漏水、水管内の気泡は観測の三大害敵であるから平素の管理に際し排除に努力しなければならない。

## 4. 観測横坑

地震学の目的で水管傾斜計の観測を行なう場合、観測横坑を掘ってその中に計器を据える。その理由は外部の擾乱を遮断し安定で新鮮な岩盤を得るためにある。観測坑の立地条件は観測の品質を左右する重大な問題である。地質や観測の条件を満足するとき、一方において土地所有権問題、建設資材運搬、電線路などの経済面、また観測員の労働、環境などの条件と相容れない場合がしばしば生ずる。観測坑の掘削と計器台石の据付は観測所建設の最重要作業とも云うべきもので綿密な地質調査と注意深い施工が必要である。観測横坑の形状は地震予知計画研究グループ<sup>105)</sup>が今までの経験に基づいて作った規格がある。それによると坑道の断面は巾2m、高さ1.8m、準備坑道の長さ30m以上、そこには入口を含めて4個所の隔壁扉を設け、観測坑道を外気の擾乱から守る。観測坑は直角二等辺三角形で均質同一岩質内に掘られる。長さの方向には勾配はないが湧水のある場合は巾の方に勾配をもたせ側溝を設けて排水処理を充分にする。施工法は付録1.3、観測坑平面図は同1.5参照のこと。

## 5. 計器台石とその施工

観測坑の掘削が終ると次は計器台石の埋設に取かかる。これは将来観測の品質を左右する重要な作業である。台石の材料は花崗岩が最良であるが安山岩や応急の場合にはコンクリートでもよい。素材は均質無疵なものを選び研磨の上計器を取付けるための埋込ボルト用の孔をあけておく。据付の位置は観測員の通行は最小限に考えてなるべく坑道の中央にくるようにするべきである。坑道の長さは計器の長さに対してかなり余裕をみてあっても、たまたま台石を置く場所が岩質の悪い場合には全体をどちらかに寄せなければならぬ。そ

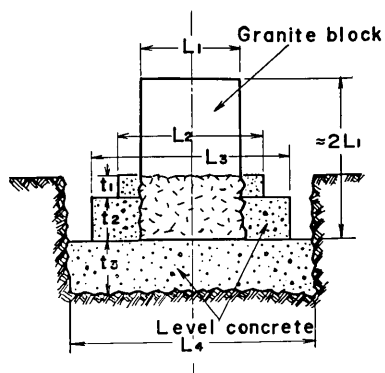
のときも新しい坑道の突当りの壁際は不安定であるから、できるだけ遠ざけた方がよい。台石はコンクリートをもって岩盤に充分に接着させなければならないが、如何にすれば最もよく接着ができるかを考慮の上、岩質に適した施工を行なわなければならない。岩盤が堅硬で均質であればコンクリートは単に台石と岩盤を糊付する役目だけで十分である。従って埋設坑も小さくコンクリートも小量で足りる。岩盤が脆い場合にはコンクリートで周囲の岩盤を安定させながら台石を据えなければならない。埋設坑はその分だけ大きなものとなる。また岩盤が軟弱な場合には台石の荷重を「ならし」（通称捨コンクリート）によって分散させる施工を行なわなければならない。その場合台石の底面積の数倍の面積の「ならし」を打設しなければならない。第1.8図A、BおよびCはそれぞれの岩質に応じた台石



A. Nokogiriyama; homogeneous indurated  
....Tertiary tuff.



B. Matsuyama; brittle....Cretaceous shale.  
Fig. 1.8. Laying of the terminal pedestals.



L	$L^2$	$L^2 - L_1^2$	t	V
$L_1 = 1$	1.	0	-	0
$L_2 = 15$	2.25	1.25	$t_1 = 0.25L$	0.3
$L_3 = 2$	4.	3	$t_2 = 0.5L$	1.5
$L_4 = 25$	6.25	(6.25)	$t_3 = 0.5L$	3.2
<b>Total</b>				<b><math>5.0L^3</math></b>

C. Hokushin; soft.....Tertiary tuff.  
Fig. 1.8.

の向上のために努力してきた。雑音要素の主要なものは、海洋潮汐、気温、降水量、気圧、地下水などであるが、これらの挙動は地質や地形によって左右される。念入りに作られた読み取式水管傾斜計に関する限りドリフトの問題は考えられない。(前項 3. C, 付録 1.2 参照) 1 日 1 回の読み取値を扱う場合解析に若干注意が必要である。S/N 比の向上は、ある要素は観測設備によって達せられるが、雑音要素の観測結果との相関または解析法によって除去の目的が達せられるものもある。以下誤差の諸要素について若干の説明を加えたいと思う。筆者の研究の場は油壺、鋸山、松山などの主として地震予知研究計画以前の旧式観測所であるが、それらの観測所から得られたデータを引用する必要がしばしば生ずる。そこ

の埋設例である。A は鋸山観測所の均質で堅硬な凝灰岩の場合で、きれいな枠型に穴が掘れる。コンクリートは単に接着剤の役目をするだけである。B は松山観測所の脆弱な頁岩の場合で風化部分を取去っても岩盤はサイコロ状に際限なく割れてくるので遂にこのような大きな穴になってしまった。C は北信観測所の水を吸収すると急速に粘土化す軟弱な凝灰岩の例である。台石の底面積の 6 倍の穴を掘り、台石の体積の 2.5~3 倍のコンクリートをもって埋設すれば、岩盤にかかる台石の荷重を半減することができる。台石の寸法や加工に関しては付録 1.4 に記述しておいた。

## 6. 観測誤差の諸要因

地殻変動の観測は本来信号対雑音比の極めて低い観測である。求めようとする傾斜変動に数種類の雑音要素が加わるために観測誤差を生ずる。多くの人々が雑音の除去、S/N 比

Table 1.1. Constants of the water-tube tiltmeters at the four stations.

Name of observation station	Location	Component	Length	Sensitivity	Position of observation from entrance	Commencement of observation	Geological formation
Aburatsubo	$\varphi = 35^\circ 09'N$ $\lambda = 139^\circ 37'E$ $H = 3m$	N81°W N22°E	10m 25	0.02 "/ $\mu$ 0.008"/ $\mu$	10 m	Mar. 2, 1948	Sandston
Nokogiriyama	$\varphi = 35^\circ 10'E$ $\lambda = 139^\circ 50'E$ $H = 23m$	N 3° E S87° E	25 "	0.008"/ $\mu$ "	20	Jan. 1, 1959	Tuff
Matsuyama	$\varphi = 33^\circ 50'N$ $\lambda = 132^\circ 43'E$ $H = 5m$	N48°W N42°E	23.35 24.35	0.0086"/ $\mu$ 0.0082"/ $\mu$	10	Sept. 1, 1949 (Mar. 1, 1959)	Shale
Matsushiro	$\varphi = 36^\circ 32'N$ $\lambda = 138^\circ 12'E$ $H = 440m$	NS EW	40 "	0.005"/ $\mu$ "	200	Oct. 7, 1965	Shale and Porphyrite

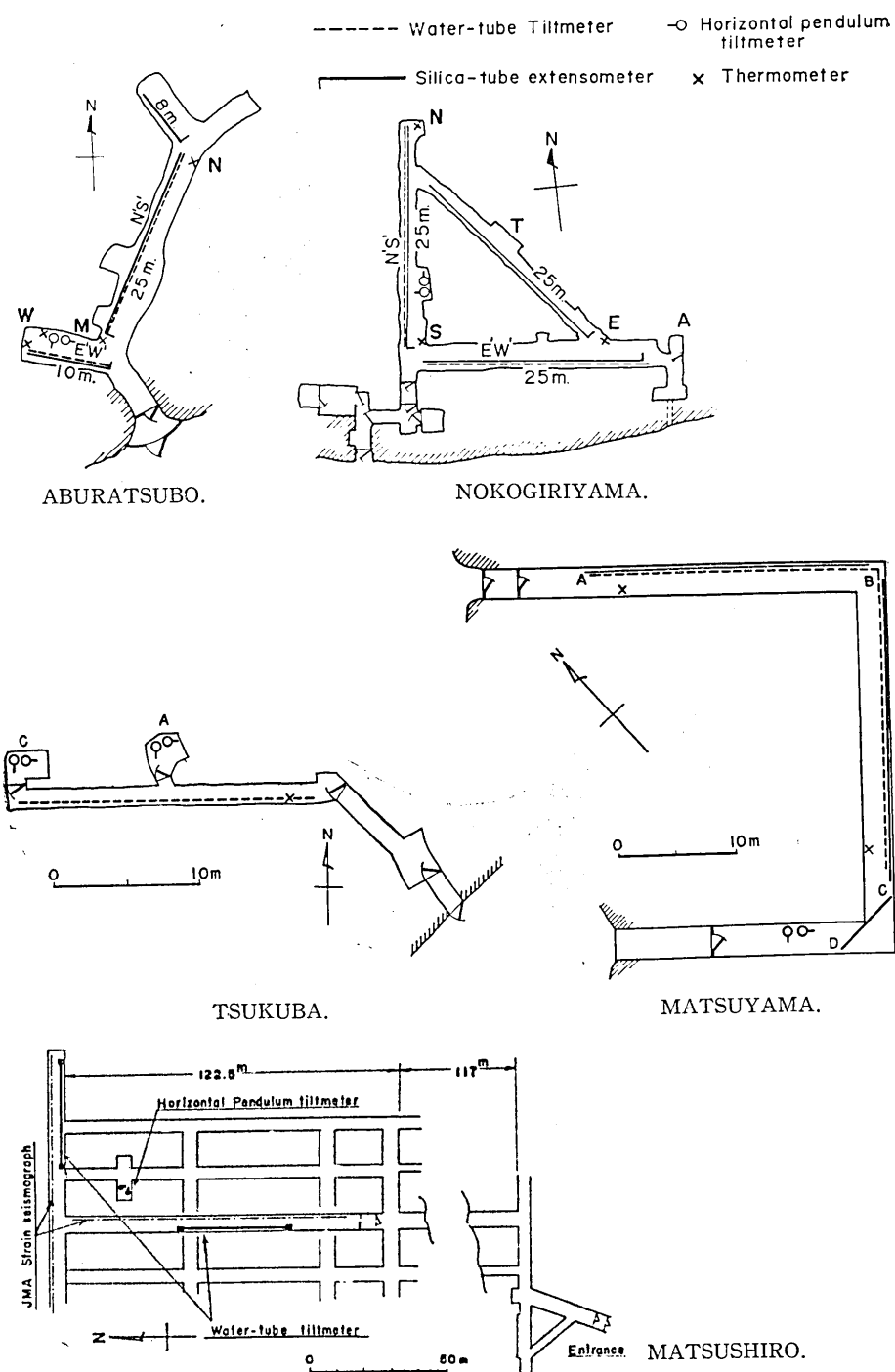


Fig. 1.9. Schematic plan of the vaults and their instrumentation.

で第1.1表に各観測所の水管傾斜計に関する計器の諸常数と、第1.9図には油壺、鋸山をはじめ本論文に引用される筑波、松山、松代などの各観測所の観測坑の平面図を示しておいた。

### a. 海洋潮汐

海岸近くにある観測所においては潮汐の影響は極めて大きく、特に海岸線に直交する方向の成分は大きい。油壺の場合は観測坑の東僅か50~60mのところに油壺湾があり、鋸山観測所は海岸から約1km東に入ったところにある。第3章で述べるが、両観測所の長周期変動（第3.3図、第3.5図参照）を見るといずれも東西方向に近い成分（E'W'）と呼んでいる）に潮汐の影響が顕著にあらわれているのがわかる。20年前の筆者ら<sup>106)</sup>の研究によれば、油壺における潮位1mの上昇に対する傾斜変化は

N'S' (N22°E) 成分では S'下りに 0.04"

E'W' (N81°W) 成分では E'下りに 0.54"

これの合成成分では S64°E下りに 0.56"

となる。これは長周期変動（毎日午前8時の読み取り値の月平均値）とそれに対応する油壺験潮場の記録との相関から得たもので、傾斜変動記録を一定潮位の場合に補正する常数として現在も使われている値である。また2日間の短周期変動から求めたものは

N'S'成分 S'下り 0.04"

E'W'成分 E'下り 0.51"

合成すると S64°E下り 0.53"

となる。一方同じ坑内で同時観測を行なった石本式水平振子傾斜計では

S51°E下り 0.54"

高橋<sup>107)</sup>が以前に観測坑のすぐ近くで同じ計器で行なった結果では

S59°E下り 0.67"

以上いずれの場合も非常に近い値が得られている。油壺付近の朔望における潮位変化は1.4mに及び、それに伴なう東西成分の傾斜の日変化は0.7"以上に達することになる。

これらの値は油壺における年平均の変動量を遙かに凌駕する量であり、従って日日の傾斜変動の記録はそのまま潮汐の記録であると云っても過言ではない。しかし、潮汐は天文的の周期現象であるのでその影響の除去の操作は容易である。水管傾斜計は朝1回また朝夕

Table 1.2. Tidal constants at Aburatsubo.

Partial tide	H(cm)	K(deg)	period(hr)
K 1	22.9	180.1	23.9345
O 1	17.9	152.6	25.8193
M 2	35.2	160.9	12.4206
S 2	16.7	181.8	12.0000

(中野猿人：潮汐学による)

2回の定時観測を続けてきた。つまり24時間周期の読み取りに対し分潮周期は第1.2表に見る如くこれと僅かな時間の差異がある。そのため解析に際して、たとえば、 $K_1$ に対し37日、 $M_2$ には15日の如く見掛け上の長周期変動のあらわれる恐れのあることに注意しなければならない。

### b. 温度変化

温度変化は観測誤差のうち最も普遍的なものであるが、観測施設の設備次第で完全とまではゆかなくとも支障のない程度まで除去が可能である。

1935年、当時萩原<sup>108)</sup>は筑波観測所において水平振子傾斜計が石造の建物の中に設置してあったのを観測横坑を掘ってその中に据えた。その結果、傾斜の日変化は坑口付近では建物の時の1/20、坑道の奥20mで岩盤の風化のないところでは入口の1/5、その後さらに10m奥に据えたが、坑道の奥深く進むほど外部擾乱が少なく安定な記録が得られた。奥の記録は入口のものを単に1/5に縮小したものでなく様相も異にしていると述べている。このことは単に温度の日変化の小さな場所に置いたことのみでなく、安定な岩盤に据えたことも大いに関係しているが、温度変化が如何に観測結果を大きく左右しているかを如実に示した一例であろう。

水管傾斜計に関して、温度誤差の原因は二つ考えられる。そのひとつは計器台石の高さの差である。油壺観測所の場合、観測坑は防空壕を利用したためN'S'成分の坑道はN'下りに勾配がついている。そのためN'の計器のコンクリート台はS'のそれより35cm高い。そのため温度の変化分に対するコンクリート台の膨脹の差が見掛けの傾斜となってあらわれる。さきに潮位の補正常数を定めたときと同様、坑内温度変化との相関により定めた常数は、坑内温度の1°C上昇に対し傾斜変化は

$$N'S'(N22^\circ E) \text{ 成分では } S' \text{ 下りに } 0.06''$$

である。この値を観測値を一定温度の場合になおす補正值として使ってきましたが、1955年10月入口を二重扉に改装したため、常数は0.098''に変わり現在に至っている。

もうひとつの原因是坑内の温度分布の季節的变化に伴なう傾斜計の水の密度の変化である。坑道内は一般に入口から遠い程安定であるから、入口寄と奥とでは季節的に温度の反転が考えられる。その際に水管の水柱がある高さ以上の場合には密度差に原因する誤差があらわれる。それ故に水管の水頭は数cm程度に止まるよう配管に注意しているから今のところ問題はないようだ。

鋸山観測所も一部は軍の防空壕を利用したものであるが、油壺の経験に鑑み台石の高さが同一になるよう床面を水平にし、温度変化を一層少なくするために扉を入口共四重にした。そのうち一番奥には船舶用気密扉を使用し伸縮計換振器の気圧の影響を防いだ。

さて、油壺・鋸山両観測所の温度変化を小さくするための対策は以上の通りであるが、こうした設備に対してどの程度一定温度が期待できるであろうか。その観測結果の概要は次の通りである。なお、扉、温度計および諸計器の配置は第1.9図に示しておいた。

油壺における毎日午前8時の坑内温度の月平均値の20年間の大勢は第3章第3.3図(51頁)に示してある。1955年までの一重扉のときには年間の温度変化は約6°Cで、2月に最低、8月に最高温度になっている。この変化の型は外気温の場合と同様である。

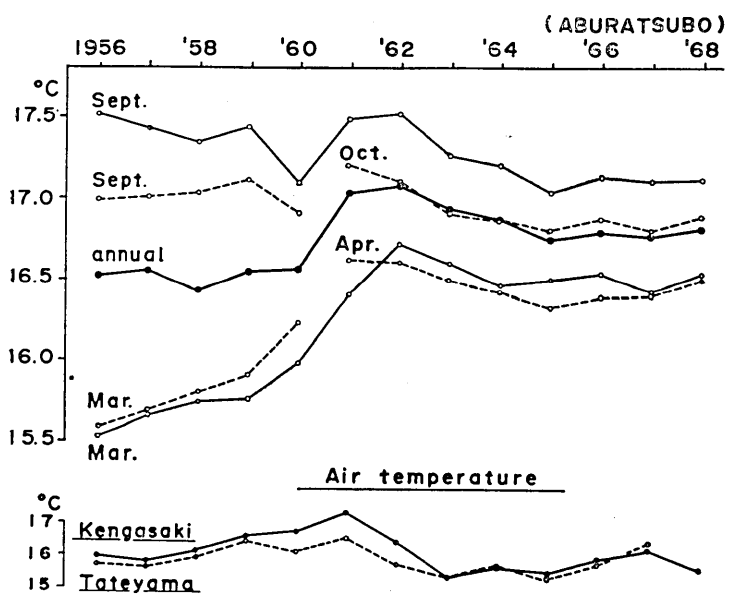


Fig. 1.10. Secular changes of temperature (Aburatsubo). Upper: the room (solid lines) and the rock surface (broken lines) temperature in the vault. Lower: atmospheric temperature at the adjacent weather stations (solid line: Kengasaki, broken line: Tateyama). after Annual Report of Climatological Stations Meteorological Observations for 1956, 1957, .....etc.

二重扉になってからの変化は第1. 10図を見るにすることにする、実線は坑内温度S (N' S' 坑道のS' ところの温度計), 破線は地中温度W (水平振子傾斜計の傍の地中温度計, 深さ20cm)をあらわす。図では月平均の高極である9月と低極の3月の年変化および年平均値の変化が描いてある。地中温度計では温度変化の巾が小さくなつた1961年以降は極が1カ月遅れ10月と4月になつた。二重扉にすることにより温度の変化巾は翌年には $\frac{1}{3}$ の $2^{\circ}\text{C}$ となつたが、以後の効果は徐々にしかあらわれない。ほぼ一定値である $0.6^{\circ}\text{C}$ に落ちくまで数年を要している。地中温度の変化の傾向は坑内温度と全く同様であり、ただ振巾が約 $\frac{2}{3}$ である。

1960・1962年の区間の温度変化は、やや異常のように思う。実は傾斜や験潮結果にも1960年を境に異常が見られるのであるが、それらについては第3章で述べることにする。

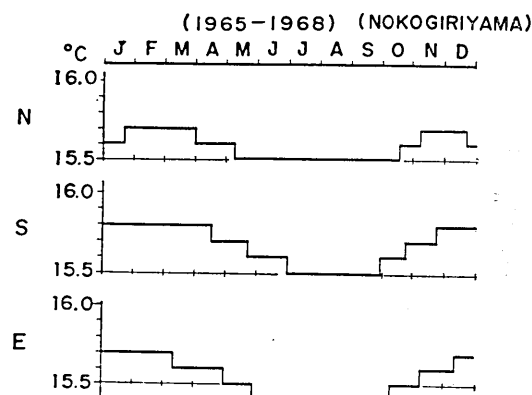


Fig. 1.11. Monthly mean values of temperature in the observational vault averaged for the period 1965-1968. (Nokogiriyama).

図の下欄には剣ヶ崎と館山の年平均気温が掲げてある。前者は三浦半島、後者は房総半島の南端部に位置している。平常は三浦、房総地域一帯は一様な温度の状態にあるが、海洋の異常によって両者間に温度差が生じたのであろう。

鋸山観測所の温度計は N, S, E の 3 カ所に設置してある。(第 1.9 図) それらによって観測された年間の温度変化は  $0.3\text{~}0.4^{\circ}\text{C}$  であるが、 $0.1^{\circ}\text{C}$  の読取精度の温度計では充分な観測結果は期待し難い。1965~1968 年の 4 年間の変動を平均してみると第 1.11 図のようになる。すなわち、夏季低温、冬季高温となり、外気温度とは逆位相になっている。鋸山の入口寄(S)に比べて奥の方(N)が温度変化が少なく低温の期間が長い。それ故に計器の両端において少なくとも  $0.1^{\circ}\text{C}$  の温度差の生ずる時期がある。坑内の年平均温度は外気温度の年平均値(第 1.10 図館山)に一致している。

最近観測計器の高感度化に伴ない、 $0.1^{\circ}\text{C}$  の温度変化もゆるがせに出来ない場合も生じている。さらに細かな坑内温度の状況を知る必要がある。地震研究所の坪川研究室において試作傾斜計 2 台の試験観測を坑内で行なっている。1 台は斜辺坑道(通称 N.E.)の中央の地震計台上(T), 他は EW 道坑の東端、非常脱出口に近い小室(A, いずれも第 1.9 図参照)に設置してある。各々の傾斜計の筐内にはサーミスタ温度計が取付けてあり、自記記録計に結んである。温度計の感度は記録紙上で 1 目盛 (=1.8mm) が  $0.006^{\circ}\text{C}$ , 全巾が

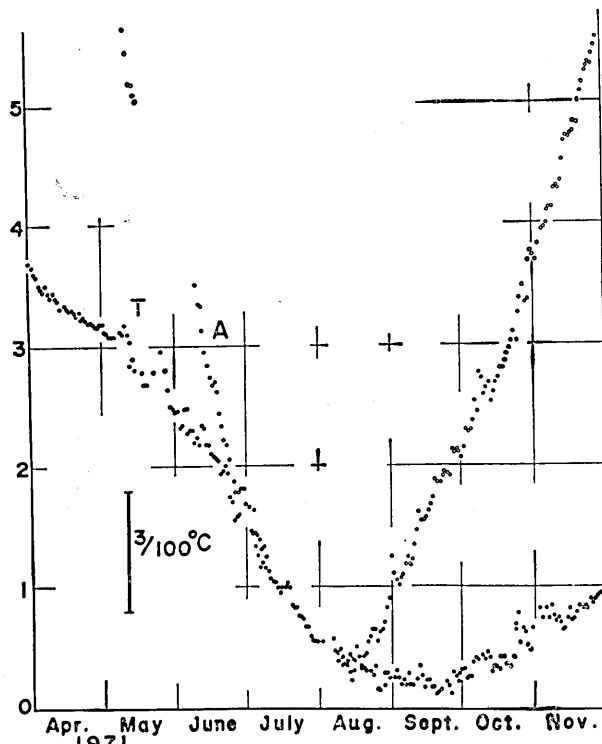


Fig. 1.12. Annual temperature changes in the vault at Nokogiriyama  
(Sites A and T are shown in Fig. 1.9). (data by Tsubokawa et al.)

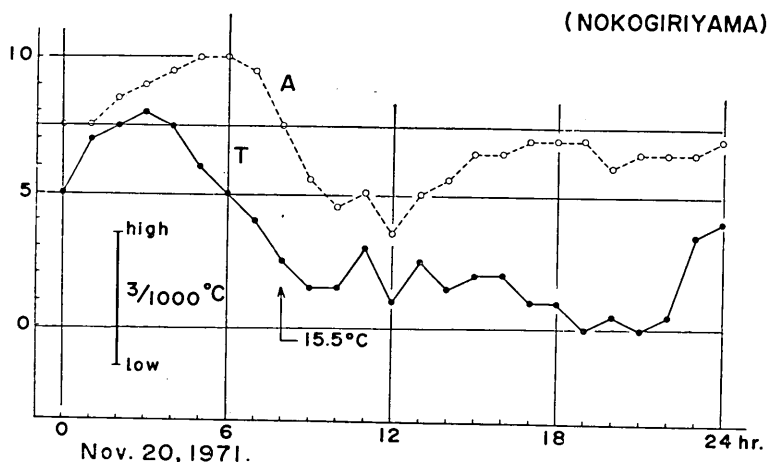


Fig. 1.13. Daily temperature changes in the vault (Sites A and T are shown in Fig. 1.9). (data by Tsubokawa et al.)

100目盛のものである。それ自体坑内温度測定が目的ではなく、未だ充分な期間測定がなされていないが、観測結果から坑内温度の挙動を推定することができる。第1.12図は1971年4月より11月までの毎日午前0時の温度を記録紙より読み取ったものである。第1.11図を参照して年周変化を推定してみるとT地点では3月に高極、9月に低極、温度変化の振巾は $0.12^{\circ}\text{C}$ 程度であろう。

また、A室では2月に高極、8月に低極、その振巾は $0.25^{\circ}\text{C}$ を越ゆるものと推定される。第1.13図は日変化の一例として11月20日の変化を示した。その温度の日変化はT地点では $0.0048^{\circ}\text{C}$ 、A室では $0.0039^{\circ}\text{C}$ で、A室の変化はT地点の変化の $4/5$ である。T地点では昼夜共3時に山、9時に谷がみられるが、A室ではそれより3時間の遅れがある。なお、第1.12、1.13図とも縦目盛は絶対値が定まらないので、任意の数値である。以上の温度に関する結論として、年周期の温度変化の振巾は坑道の奥程小さい。特にA室のように非常脱出口に近く、山の「かぶり」も浅いところでは変化は大きいように思われる。しかし、日変化に対してはA室は扉があるためにT地点より小さい。つまり扉の温度遮蔽効果は短周期変動には有効であるが、長周期になると効果は減少する。坑内温度の年平均値は外気温度のそれにはほぼ一致する。

最後に「かぶり」の厚さの外気温の遮蔽効果を試算してみる。地表面が $A \sin \frac{2\pi}{T} t$ であらわされるような温度変化をなすとき地下 $z$ の深さにおける温度 $\Theta$ は次式であらわされる。<sup>109)</sup>

$$\Theta = Ae^{-hz} \sin \left( \frac{2\pi}{T} t - hz \right) + az \quad (1.8)$$

$$\text{但し, } h = \sqrt{\frac{\pi}{\kappa T}}$$

茲で。  $\Theta$ : 温度 ( $^{\circ}\text{C}$ )

$z$ : 地表からの深さ (cm)

$t$ : 時間 (sec.)

$\kappa$  : 热拡散率 ( $5 \times 10^{-3} \text{ cm}^2/\text{sec}$ )

$A$  : 温度変化の振巾 ( $^{\circ}\text{C}$ )

$T$  : 周期 (1年 =  $3.15 \times 10^7 \text{ sec}$ .)

$a$  : 地温勾配

理科年表によれば、気温の月平均値の年変化は日本全土で大体  $20\text{--}25^{\circ}\text{C}$  である。許し得る坑内の温度変化を  $0.1^{\circ}\text{C}$  とすれば  $\Theta/A=1/200$  となる。いま熱を滲透だけとして、上記の数値を (1.8) 式に代入すると、

$$h=1/(2.2 \times 10^2)$$

$$\Theta/A=e^{-hz} \text{ より}$$

$$z=\frac{\log_{10}(A/\Theta)}{\log_{10}eh} \div \frac{\log_{10}(A/\Theta) \times 10^3}{2} \quad (1.9)$$

(1.9) 式において、 $\Theta/A=1/200$  の場合  $z=11.5\text{m}$  を得る。

### c. 気圧変化

佐々<sup>110)</sup> は気象変化が傾斜に及ぼす影響について実験を行なった1939年の論文の中で気圧についても論及している。同一型の水平振子傾斜計を別府市内の3カ所に据付けて低気圧変化の同時観測を行なった。その結果僅か数  $100\text{m}$  しか離れていないのに、気圧変化による傾斜変化量も方向も皆異なっている。傾斜に影響を及ぼすものは気圧傾度の変化である。影響の大小は地殻構造に支配されると述べている。

気圧傾度を知るには天気図の等圧線間隔より求めるのが一番簡単である。天気図を描く際に風速から気圧傾度を求めて等圧線を引く方法がしばしば用いられる。岡田武松<sup>111)</sup> はそのための簡単な実験式を作った。風速を  $V$  (m/sec.), 気圧傾度を  $G$  (mmHg/111km) とすると  $G=0.46+0.109V$  であらわされる。

ここで  $111\text{km}$  は経線の  $1^{\circ}$  である。

われわれが日常体験するところでは、気圧は平地において  $940\text{--}1040\text{mb}$  の範囲で変動し、これを超えることは滅多にない。また観測誤差の原因となるほどの大きな気圧傾度を生ずる場合は低気圧である。年に数回来襲する大型旋風や台風の気圧変化は  $30\text{--}40\text{mb}$  で、影響を受け始めてから終るまで大体 2 日間である。第1.14図は鋸山における傾斜と気圧の相関を示したものであるが、1 mb 当りの傾斜変化は  $0.002''$  である。長谷川ら<sup>112)</sup> は台風が通過するとき地殻は負の荷重を受けて変形するが、地殻を半無限弾性体とし、台風のモデルとして円筒、円錐、正規型の三つの軸対称の場合について、垂直および水平方向の変位の計算を行なった。その結果、垂直成分については第1.15図の曲線であらわされる。①は円筒型、②は円錐型、③は正規型の台風モデルの場合である。縦軸は地表における変位で、台風の中心において 1 あるとし、横軸は台風の半径を 1 とした場合の中心からの距離を示している。第1.16図は台風の形の一例として1966年の4号台風が紀伊半島南方洋上にあるときの天気図の等圧線を東西に切ったときの断面形状と正規分布曲線とを比較したものである。円筒や円錐型に比べて正規型が台風モデルとして、より適当であることが理解できよう。この場合の台風の半径は中心から気圧低下量  $p=P_0e^{-r}$  ( $P_0$  は中心における気

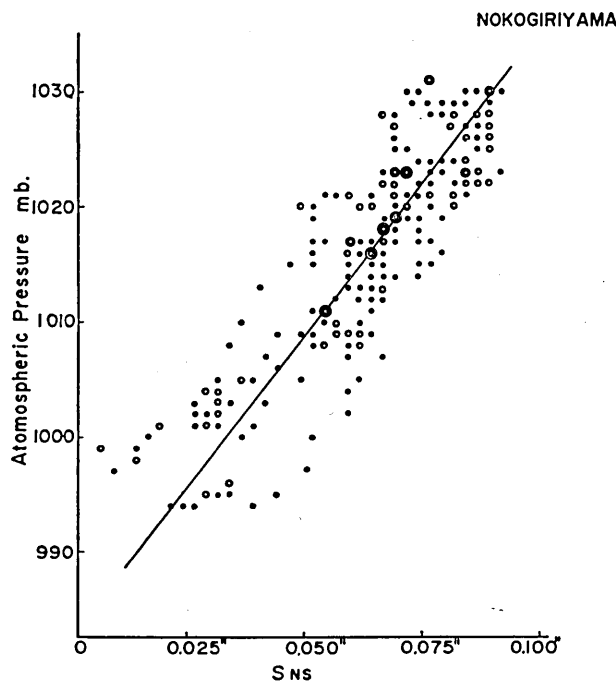


Fig. 1.14. Relation between atmospheric pressure and tilting of NS-component at Nokogiriyama.

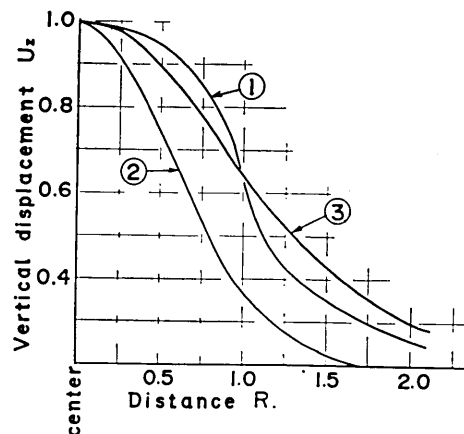


Fig. 1.15. Ground uplift versus radial distance in theoretical typhoon models. ①: cylinder model. ②: cone model. ③: normal distribution model. (after Y. Hasegawa et al.)

圧低下量) の地点までをとっている。

さて、台風の中心における変位は各モデルの曲線と軸とで囲まれた部分の面積に等しいと述べている。大凡の見積として台風の半径  $R=200\text{km}$ , 中心気圧変化  $P_0=40\text{mb}$  として円筒モデルの中心での変位は,  $U_z=P_0R/G \approx 8\text{cm}$  ( $G$  は剛性率) が得られる。次に第1.15

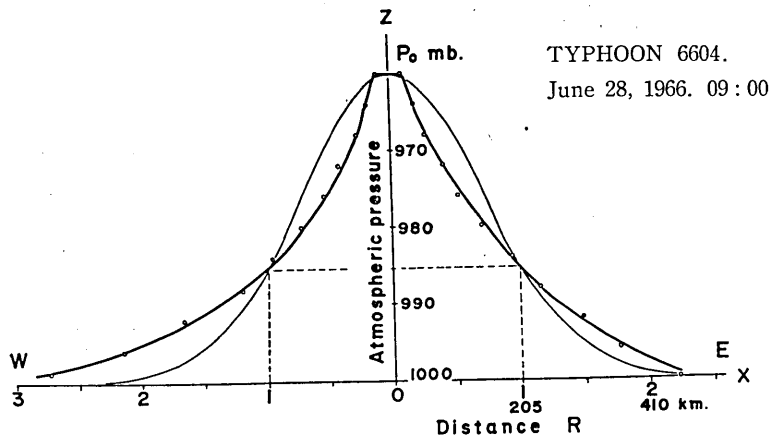


Fig. 1.16. Observed pressure distribution in a typhoon (thick line) which is approximated by an error function curve (thin line).

図の正規型について半径 ( $R=1$ ) 付近の傾斜を求める。 $Uz/R \approx 4 \times 10^{-7} \text{ rad.} = 0.08''$  を得る。この値は充分に観測可能である。図でわかるように正規型はかなり広範囲に傾斜が一様である特色があるが、第 1.14 図の鋸山における気圧と傾斜の関係に中心気圧変化 40mb を乗ずると  $0.002''/\text{mb} \times 40\text{mb} = 0.08''$  を得る。この値は理論的に求めた  $0.08''$  とよく一致している。鋸山においては気圧の影響は南北成分に顕著に見られる。東西成分が顕著でないのは西半分が海であるためと思われる。

#### d. 降雨による影響

低気圧は降雨を伴なうことが多く、その発生は散発的で、規模も不定である。低気圧は去っても降雨の影響は長く尾を引き、観測記録上の補正操作は甚だ困難である。降雨そのものが傾斜観測に及ぼす影響は問題にならないであろうが、降水が地下に滲透し地下水圧に変動を及ぼすと甚だ厄介なノイズとなる。萩原<sup>113)</sup>はさきに述べた筑波における傾斜計の観測において、坑道の奥深く進むほど安定なよい結果が得られたが、降雨の影響は入口・奥共に大きく避けられなかったと述べている。そして連続 100mm 以上の降雨に対して 2 週間以上もその影響が記録される。

幸にして筆者と関係の深い油壺、鋸山の観測所では降雨の影響は認められない。その理由は岩盤が均質で割目がなく、地山が低く、降水の流域面積も狭小であることによるものと思われる。

犬山地殻変動観測所において飯田ら<sup>114)</sup>は、観測坑からの湧水量降雨量を高精度で自記記録する装置を備え傾斜や伸縮との関係を綿密に調べた。その結果湧水量  $Q$  は破碎帯からの流量  $q$  と坑口付近の風化層からの流量  $q'$  との和、 $Q = q + q'$  でらわされる。 $q$  は  $q_0 = 80\text{cc/sec}$ 。までが平常量で、それを超え  $120\text{cc/sec}$ 。までの  $q - q_0$  が歪変化のパラメータとなる。 $q > 120\text{cc/sec}$ 。においては歪変化は飽和し一定となる。第 1.17 図は湧水のモデルと  $Q = q + q'$  の関係を図示したものある。志知ら<sup>115)</sup>は一步進めて、降雨量  $P$  は地表に

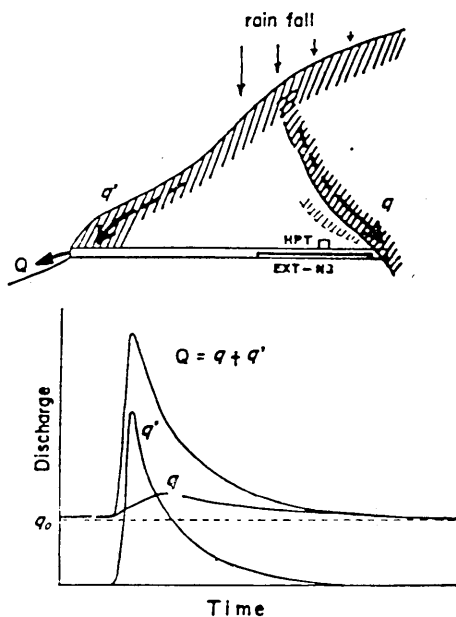


Fig. 1.17. Model to explain rain fall effect on strain and tilting. (after K. Iida et al.)

一旦吸収される分  $W$  があるので、 $R = P - W$  がパルス型ノイズ源となる。従って、降雨のパターンだけでは歪のパターンはきまらないことを説明している。地盤内の流量は間隙水圧の圧力勾配  $S$  に比例するという D' Arcy の法則に従う。故に  $q$  が定常に近いときには  $q \propto \epsilon$  ( $\epsilon$  は歪) であるから  $\epsilon \propto S$  となり、変化は直線的である。降雨による急激な変化、すなわち  $S$  の変化より  $R$  の変化が急なときにはパルス型ノイズがあらわれる。そのとき  $q = a/\sqrt{t} \cdot \exp(-b/t)$ , ( $a, b$  は定数,  $t$  は時間) の形で定常に近づいてゆくから実測に一致するよう  $a, b$  を定めることができる。山内<sup>116)</sup>は以上の結果に基づいて湧水による歪  $\epsilon_q$  は  $\epsilon_q = (2.60 \pm 0.01)q + (5.72 \pm 0.01) \log q'$  をもって犬山の補正式とし、降雨によるノイズを 80% 以上除去することができた。こように犬山における短周期変化は地下水の間隙水圧が主要原因で、 $q$  の変化 1 cc/sec. は  $\epsilon$  の  $2.5 \times 10^{-8}$  に相当すると述べている。

以上観測誤差の諸要因について述べたが、地殻変動の記録の中にはこれらの諸要因が複雑にかかわり合っている。田中(寅)<sup>117)</sup>の地殻変動における潮汐および気象の影響に関する研究は、傾斜・伸縮、潮汐・気象要素のスペクトル構成を明らかにし、諸要素の単位当たりの地殻変動 “disturbing factor” を求めて外的要因の地殻変動を詳細に論じたものである。第 1.18 図は観測記録の成り立を示した図である。一般に地殻変動と言えば地球内部に起源をもつものを指すが、地殻変動の連続観測の日常記録の内容はむしろ、地球外部に起因する変動の占める割合の方が大きい。広域的な潮汐、気圧、地域的な地下水、局部的な温度などの人工的擾乱や計器誤差に至るまで種々な原因による変動が含まれている。故

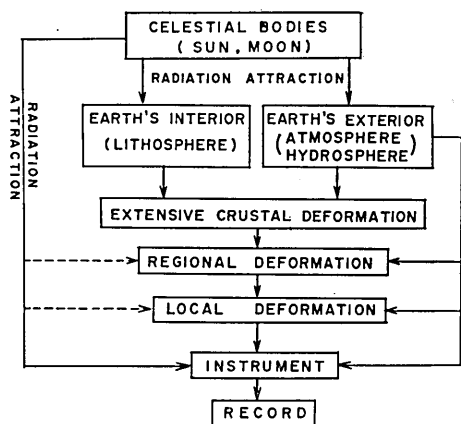


Fig. 1.18. A schematic representation about ground deformations and their observations. (after T. Tanaka)

に外部要因を明らかにすることによって内部起源の変動を知ることができる。

安定な岩盤に達するまでの長い準備坑道と四重扇の地震予知計画の標準坑道は、外的要因を遮断する最小限のものというべきであろう。

## 第2章 水管傾斜計の遠隔記録

### 1. 序 言

松代群発地震の際には、おもな地震の前後の傾斜変動を詳しく追跡するために水管傾斜計の読み取り測定を昼夜をわかつたず行なう必要があった。(付録4.1, 4.2参照) この作業自体非常な努力を要することであるが、その苦心にも拘わらず貴重な瞬間を逃がすことがしばしばあった。さらにまた強い地震動のもとに坑道内で観測することは気味の悪いものであるし、観測者にとっても相当の危険を覚悟しなければならない。

水管傾斜計の遠隔記録あるいは自動化の必要性はこれらの諸点から明らかであるが、さらにこれが実現すれば観測所全般の精度向上に大きな効果が期待される。それは最近観測計器の感度が高められた結果として、坑内の状態の僅かなかく乱でも記録が乱されるようになり、観測員の入坑が傾斜計にも伸縮計にも無視できない影響を与えつつあるからである。このようなわけで水管傾斜計の遠隔記録化は地殻変動の連続観測に従事する者が皆渴望するところであり、また観測所の自動化や省力化につながるこの装置の開発は地殻変動観測上最重要課題のひとつといつても過言でない。自記方式について種々な試みがこれまで行なわれてきたが、ここでは筆者らの開発になる超音波方式について述べる。

この研究に着手したのは松代地震の最中で、第1回の試作品が完成したのは1967年10月であった。以降4年間に3回試作と改良を重ねた。最初の試作品は鋸山観測所に、2回目のものは北信観測所に据えて読み取り式と比較観測を行なったので、それぞれ鋸山型、北信型と呼ぶことにする。3回目のものは目下製作中であるが、いずれ富士川観測所に据える予定であるので、これを富士川型と呼ぶことにする。以下各型について体験した問題点と改良の経緯について概略を述べる。問題の大部分は受感部と称する水位・周波数変換部で起ったのであるが、他は若干の電気回路の改善に過ぎない。問題のひとつは圧電素子の絶縁低下で、他は容器内の音波の残響に原因する電気信号のS/N比改善の問題である。

### 2. 超音波式水管傾斜計の原理

本計器の原理は超音波信号を容器の底部より水面に向けて発射し、その反射波を捕え、反射波による受信電圧を引金にして再び超音波信号を発射することを多数回繰返す、いわゆるシング・アラウンド方式であって、水位の微小変化を繰返し周波数の変化として読み取る方法である。Sing-around回路<sup>201)</sup>はアメリカのベル電話研究所の特許で、当初航空航法の目的で考案されたものであるが、後に固体の微小な音速の変化の測定や、音速変化から温度の微小変化を検出することなどに利用されるようになった。

さて第2.1図において

$h_a, h_b$  を水管傾斜計の容器A, B の換振器から水面までの距離、 $c$  を水中における音波の伝播速度とすると、 $h_a, h_b$  の距離を音波信号が1秒間に往復する回数  $f_a, f_b$  は

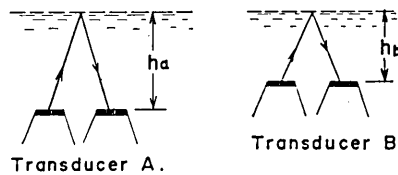


Fig.2.1. Principle of an ultrasonic water-tube tiltmeter.

$$f_a = \frac{c}{2h_a}, \quad f_b = \frac{c}{2h_b} \quad (2.1)$$

水位差  $\Delta h$  は  $h_a \geq h_b$  によって

$$\Delta h = h_a - h_b = \frac{c}{2} \left( \frac{1}{f_a} - \frac{1}{f_b} \right) \quad (2.2)$$

$$= \frac{c}{2f_a f_b} (f_b - f_a) \quad (2.3)$$

または、信号が 1 往復する時間  $t_a, t_b$  をとれば (2.2) は

$$\Delta h = \frac{c}{2} (t_a - t_b) \quad (2.4)$$

すなわち、水位差は両容器の超音波信号が一定時間に繰返される回数の差、または 1 往復の時間差をもってあらわされる。鋸山型、北信型は前者、富士川型は後者の方針をとっている。いま

$f_a = f_b \equiv f$  とおくと (2.3) は

$$\Delta h = \frac{c}{2f^2} (f_b - f_a) \quad (2.5)$$

本計器の設計を行なうに当り、たとえば

$$\left. \begin{array}{l} f_a \sim f_b = 1 \text{ カウント/秒} \\ \Delta h = 0.1 \text{ ミクロン} \\ c = 1500 \text{ m/秒} \end{array} \right\} \text{とすると}$$

(2.5) より  $f = 86.6 \text{ kHz}$  (キロカウント/秒) となり、従って (2.1) より  $h = 8.7 \text{ mm}$  となる。

同様にして  $\Delta h = 1 \text{ ミクロン}$  とすれば  
 $f = 27.4 \text{ kHz}$   
 $h = 28 \text{ mm}$

となる。

### 3. 計器の構成

第 2.2 図は計器の構成図である。互いに独立なシングル・アラウンド回路により A, B 両

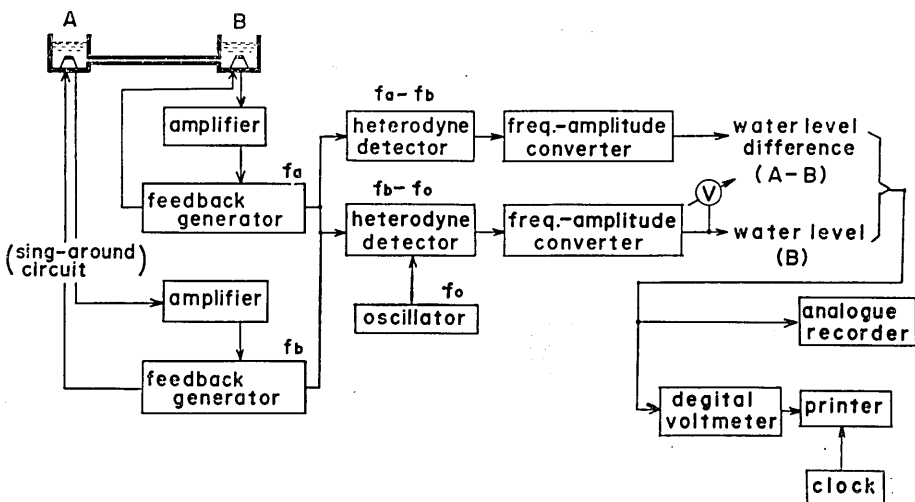


Fig. 2.2. Block diagram of an ultrasonic water-tube tiltmeter. (Nokogirigama type)

容器から得られた繰返し信号  $f_a$ ,  $f_b$  は唸り周波数検出器により  $f_a \sim f_b$  を作る。同様にして固定周波数発振器  $f_o$  と  $f_b$  との唸り周波数  $f_o \sim f_b$  を作る。すなわち、前者は A と B との水位差であり、後者は B 容器の水位に比例したものをあらわす。いま読取感度を 1 カウント = 0.1 ミクロンに相当するように選んだ場合、 $\Delta h = h_a - h_b = 500$  ミクロンに対する繰返し周波数の変化は  $\Delta f = f_a - f_b = 5\text{kHz}$  (キロカウント/秒) となる。この出力は直ちにデジタル測定器にかけられるが、特にアナログ記録にする必要があれば、周波数振巾変換を行なう。この装置は一定振巾の交流電圧を加えた場合、周波数に比例した出力電圧(本計器の場合 6dB/octave) が得られる一種の増巾器である。これを直流電圧になおしてアナログ記録計に描かせる。本計器ではこのアナログ電圧をデジタル電圧計に表示(ゲート 1 秒, 10 秒)させ刻々の変化をアナログ・デジタル両面より知ることができるが、さらに 30 分毎にこの数値をラインプリンタに印刷する。印字形式は時刻(時分), 水位 (NS, EW) それぞれ 4 枠の数字をもって表示する。

#### 4. 計器の誤差

本計器は測定範囲として基準水位に対して  $\pm 250$  ミクロンの水位変動が許される。水位変化が微小なうちは問題ないが、ある程度大きな変化になると、変換の非線性による誤差が記録に含まれてくる。すなわち、水位が上記の許容範囲いっぱいに変化した場合を考えると、基準水位 28mm に対して

$$\frac{0.25}{28 \pm 0.25} = 0.0088 \text{ または } 0.0090$$

基準水位 8.7mm のときには

$$\frac{0.25}{8.7 \pm 0.25} = 0.028 \text{ または } 0.030$$

となり前者は約 0.9%，後者は約 3% の誤差を生ずる，すなわち後者では 1 カウントが 0.103 または 0.097 ミクロンに相当することになる。

別の誤差の原因として温度効果があげられる。いま A, B 両端に温度差があるとすれば (2.1) より

$$\Delta f = f_a - f_b = \frac{C_a}{2h_a} - \frac{C_b}{2h_b} \quad (2.4)$$

ここで  $C_a, C_b$  は A, B の換振器における音速， $h_a, h_b$  には変化がない状態とする。第 2.3 図は音速対温度の曲線であるが、15°C 前後においては

$$\Delta C = C_a - C_b = 4 \text{ m/sec/}^{\circ}\text{C} \quad (2.5)$$

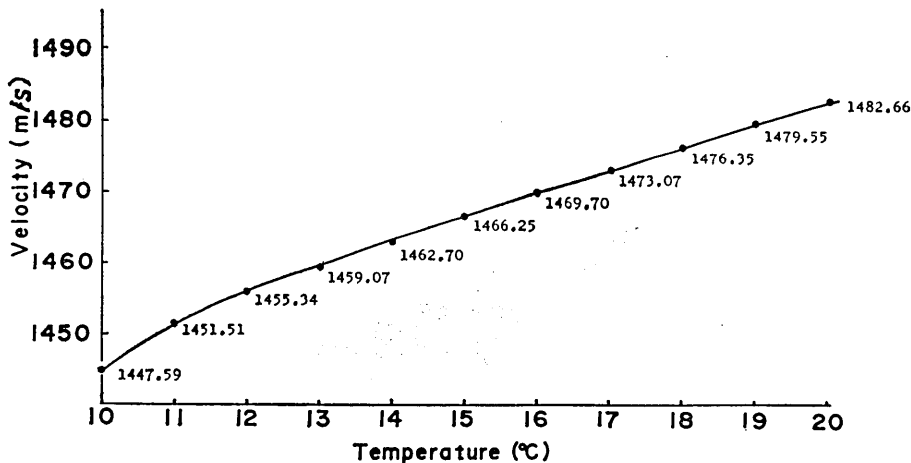


Fig. 2.3. Sound velocity versus water temperature.

である。仮に A, B 両地点の温度差が 0.1°C あったとすると、感度 1 カウント = 0.1 ミクロンの場合  $40 \text{ cm/sec.} / 0.87 \text{ cm} \times 2 = 23 \text{ カウント/秒}$ ，1 カウント = 1 ミクロンの場合  $40 \text{ cm/sec.} / 2.7 \text{ cm} \times 2 = 7.5 \text{ カウント/秒}$  の差異を生ずる。これは前者では 2.3 ミクロン、後者では 7.5 ミクロンの見掛けの傾斜変化となる。このことは季節変化などの影響で観測坑内の温度分布が一様にならず、しかもそれが季節によって変化するような場合に起り得ることで、計器設置に当たり注意すべきことである。(第 1 章 6 b. 温度変化の項参照、17 頁)

## 5. 計器の要目

本章のはじめに鋸山、北信、富士川の三形式の試作を行なったことを述べた。以下三者の要目を比較のため掲げる。(次頁)

## 6. 計器の設計試作の経緯

各形式について製作の経緯と問題点を指摘し、発展の過程をたどってみる。

項目	鋸山	北信	富士川
送受波器	送受兼用	送受独立	送受兼用
測定範囲	約0.5mm	"	"
測定精度	約 $0.1\mu$	$0.25\mu$	$1\mu$
温度に対する安定度	約0.5%/0.1°C	約1.5%/0.1°C	"
発振子周波数	10MHz	10MHz	1MHz
繰返し周波数	86.6KHz	15 "	15 "
測定サンプリング	1, 10秒	1, 10秒	0.1秒
記録方式	チャート* プリンタ(30分, 60分・手動)		チャート*のみ
記録要素	水位差, 水位, 時間		水位差のみ
測定レンジ	$10\mu, 100\mu, 500\mu$ フルスケール		$500\mu$
受感部耐水圧	$2\text{kg}/\text{cm}^2$		(必要なし)
電源	A.C. 100V, 50~60Hz		

\* YEW ERB. 12-30-123. (12打点  $\pm 5\text{mV}$ ) 使用

### a. 鋸山型

鋸山型は第2・2図の構成をそのまま実現したようなものである。まず読取容器の形態

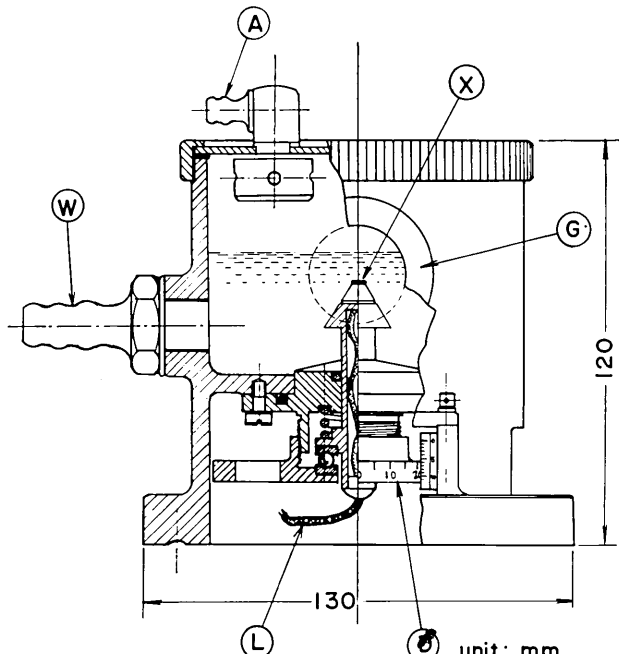


Fig. 2.4. Cross-sectional view of a senser. (Nokogiriyama type) X: piezo-electric element, L: lead wire, D: dial for vertical adjustment, G: glass window, W: water-tube, A: air shunt.

であるが、これは従来の水管傾斜計F型の容器(第1.2図(b))を利用したため圧電素子はねじマイクロメータの先端に取付けられた形になっている。ただし、読み取りダイヤルは圧電素子を回転させないで上下位置調整ができるようになっている。圧電素子の周辺や容器の底面は円錐形にして無用な反射波を散乱させるように配慮がしてある。出来上った計器はややSN比の低いものであったがよく動作したので、この方式に確信を持つことができた。しかしシング・アラウンドの動作を安定させるためには、さらにSN比の向上をはかることが必要であった。ここで使用した圧電素子はチタン酸バリウム磁器マイクロホン( $\text{BaTiO}_3$ )と呼ばれるものであるが、出力および形状は最小のもので充分であるから孤立波型急峻なペスルを発射できるよう考慮し、直径4mm、10MHzという高い固有振動数のものを選んだ。

オシロスコープの観察によると、圧電素子を叩く励振パルスは波高20ボルト、巾 $57 \times 10^{-9}$ 秒の極めて急峻な波形であるのに対し、圧電素子の振動継続時間は $10^{-5}$ 秒である。これに対しシング・アラウンドの繰返しの周期は $1.15 \times 10^{-5}$ 秒(86.6kHz)で圧電素子の振動継続時間に近接している。実用上差支えないにしても、なるべく離した方がよからう。それにはシング・アラウンド周期の方を長く選ぶほかない。圧電素子の周波数の高いことは計器の感度を高めることと相容れる一面、電子回路の調整が困難となる。

鋸山観測所における試験観測の結果は大体良好であったが、記録線が時々飛び事故が起った。その量はほぼ一定で補正すれば差支えないものであったが、その原因が水面に浮遊する塵埃のためか電気回路かが問題になった。この点を明らかにするため固定反射板を水中に置いて調べてみた結果、塵埃も原因のひとつであるが、むしろ水面一底面間の多重反射波のために受信パルスが乱されトリガ時間に遅速を生ずることが原因であろうと結論された。ともあれこの計器の分解能は極めて優秀であり、読み取り式の水管傾斜計が2~3ミクロンの読み取り精度であるのに比べてはるかに高い精度で連続記録の得られることが実証され



Fig. 2.5. Comparison of an ultrasonic water-tube tiltmeter (right) with a manual reading water-tube tiltmeter (left).

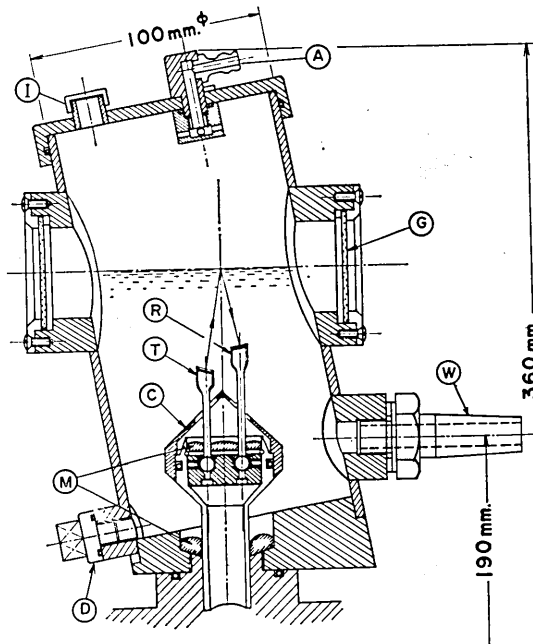


Fig. 2.6. Cross-sectional view of a senser. (Hokushin-type)  
 T: transmitter, R: receiver, C: sealing, M: mercury,  
 I: hole for pipette, D: drainage cock, G: glass window,  
 A: air shunt, W: water-tube.

たのである。

### b. 北信型

鋸山型で得た経験として、送波器と受波器が同一のものでは音波を水面に向けて垂直に発射しなければならないが、受信波は水面一底面間で多重反射し、その影響で S/N 比が低下してトリガ位置が不安定になりがちである。その対策として、(1) 送受波器を別々にし反射波の1回目に比べて2回目の振幅ができるだけ抑えられるような配置にする。(2) 容器内で反射波を散乱させ残響が小さくなるよう形状を非対称にする。(3) 圧電素子の振動継続時間に対しシングル・アラウンドの周期を充分に離す。この三つの方法により解決を試みた。もつとも送受波器を別々にすると圧電素子のポリウレタン絶縁被膜に経年変化の差異を生じた場合、(厚みで数ミクロン変化するという)それが見掛けの傾斜変化となって誤差を生ずる可能性がなくもないが、とりあえず今回はそれを無視して製作に取かかる事になった。第2.5図は台石に据え付けた状態で、第2.6図は容器および送受波器の部分の構造を示す。なお、上下の調節機構などは鋸山型と同様である。

容器の中心線は鉛直線に対し、約  $10^\circ$  傾けてある。そのため超音波の発射方向に対しても非対称形になっているから、反射波は同じ個所を往復することなく乱反射し減衰する仕組になっている。また、送波器と受波器は図のように受波が強く受かるよう段違いになっている。基準水位に対して最良の受信状態を得るために、圧電素子の支持軸の基部を球軸承にして任意の方向に調節が可能にしてある。そのため基部は読取式の容器同様水銀溜りを設けて水漏を防いだ。従って容器は不锈钢で製作することになり溶接加工部に対して不

銹鋼性能を回復させる不活性熱処理を施したのであるが、試験期間が長くなるにつれて若干の発銹は免れなかった。送受波の繰返し周波数については、圧電素子の振動持続時間との間隔を置いて動作の安定を期するため 61 kHz とした。この値は 1 カウントが 0.2 ミクロンの場合に当り、検出感度は鋸山型の半分である。その後さらに安定をはかるために繰返し周波数を約 15 kHz に改め、電気的に 4 通り倍し検出感度を 1 カウント 0.25 ミクロンとする方法をとった。

1968 年 10 月、この計器を北信観測所に据え観測を開始した。当初極めて順調であったが、約 2 カ月を経過した頃から記録紙上で雑音振巾が大きくなりだし遂には全く乱れてしまう故障が起った。1 個を修理するとすぐまた次のものが故障するという状態を繰返した。故障の大部分は圧電素子の絶縁不良によるものであった。そこで送受波器の部分を全部持帰り再検討することになった。製作者（沖電気工業（株））の調査報告は次の如く述べている。（詳細は付録 2.1 参照）

故障の原因は圧電素子の絶縁が低下し、電気一音響相互の変換能率の低下による。絶縁不良の原因は圧電素子の金属軸とウレタン絶縁被膜の間から毛管現象により水が浸入した。湿気の充満している圧電素子の電極間に励振電圧が印加され火花放電を生じ送波側は劣化を早めた。対策としては、接着の強化、パラフィンの注入により防湿を完全にし、送波器の印加電圧を 10dB 下げ、受波器の増巾利得を 10dB 増加した。

以上の対策を行なったにも拘わらず、その効果は殆んど認められなかった。製作者が言うように、絶縁低下の原因を水の浸入、電極間の火花放電とすることに否定の余地はない。防湿には充分な配慮をしてなお北信型がこのように早く絶縁低下をきたすのは何故であろうか。経験によれば静的状態においては、水銀もパラフィンもポリウレタン被膜も、これらの材料と金属との接触面も水の通過を阻止するには充分であった。実際には水はいづれかの部分を通過し圧電素子に到達している。筆者はこれを揺動性（Thixotropy）<sup>202)</sup> の現象と説明するほかないと考えている。

北信型の改良の要点は以上の如くで、電気的性能では一応成功としながらも絶縁低下するわち耐久性不良の問題が決定的な短所であるため再考せざるを得なくなった。このほか観測坑と庁舎との間約 650m をケーブル伝送回路によって信号の伝達を行なったが、方式等については富士川型の項で述べる。

### c. 富士川型

鋸山、北信の両方式は音源が水中にあるために残響が大きく SN 比も充分に得られないのはある程度止むを得ない。また圧電素子が水の浸入を受けて使用不可能になることも体験済である。これを抜本的に解決するには圧電素子を容器の底板下面に取付けねばよい。これにより當時乾燥状態で使用でき、水底を傾斜面にすれば多重反射を散乱出来るので、問題は一挙に解決できることになる。さらにまた圧電素子の背面が自由空間になるので良質な波形を媒質に伝達することが出来、容器は単に水を収納するだけであるから構造が簡単になるなどの長所も挙げることができる。しかし一方では圧電素子を金属の底面に取付けるには絶縁板を介さなければならぬので、多層媒質中の地震波伝播の場合にも似た波動現象すなわち、波動の減衰や波形の複雑化の起きることも考慮しなければならない。

以上の如く、富士川型において音波の授受すなわち音響的設計に関しては根本的な考察が必要となり、その実験結果でも成功し充分実用化の見通しがついたので、その経緯については項を改めて述べることにする。

## 7. 富士川型の設計、試作

### a. 材料の選定

本器の設計に当り使用を考慮した材料およびその音響的性質を第2.2表に示す。但しここに掲げた綫波の音速は、固体の場合波長に比べて十分な大きさを有し、音速  $c_1$  は  $c_1 = \sqrt{(K + \frac{4}{3}G)/\rho}$  (m/s) で規定されるものである。ここで  $K$  は体積弾性率、 $G$  はずれ弾性率(剛性率)、 $\rho$  は密度をあらわす。

Table 2.2. Densities, velocities and characteristic impedances of various materials. (after Rikanenpyo)

Materials	Density	Velocities		Characteristic impedance	
		Longi-tudinal	Shear	Long.	Shear
				m/s	kg/m <sup>2</sup> s
Brass(70-30)	kg/m <sup>3</sup> 8.6	m/s 4,700	m/s 2,100	kg/m <sup>2</sup> s 40.6	18.3
Iron	7.86	5,950	3,240	46.4	25.3
Ebonite	1.2	2,500	—	3.0	—
Plexiglas	1.2	2,680	1,320	3.2	1.58
Water(15°C)	1.0	1,466	—	1.46	—

理科年表では  $\rho c$  を音響インピーダンスとしているが広義の音響インピーダンスは、 $Z_{ac} = sound\ pressure/volume\ velocity$  で定義される。<sup>203)</sup> volume velocity は媒質粒子の速度に音圧域の断面積を乗じたものである。音響インピーダンスはまた種々に表現されるがそのひとつは

$$\left. \begin{aligned} Z_{ac} &= R + jx \\ R &= \rho c \end{aligned} \right\} \quad (2.6)$$

のような複素量であらわされる。ここで  $R$  はエネルギーの分散に関する成分、 $jx$  は媒質の慣性や硬さに関係しエネルギー消費にあずからない無効成分である。 $\rho c$  を特性インピーダンス(特性音響インピーダンスと呼ぶべきであろう)と呼ぶ理由は、平面進行波の音場において任意点で、音圧/粒子速度が一定で  $\rho c$  に等しいことから、音圧を電圧、粒子速度を電流に対応させると、 $\rho c$  は無歪電送線路の特性インピーダンスと呼ばれるものに対応するからである。

### b. 境界面への音波の垂直入射<sup>204), 205)</sup>.

$\rho c$  の異なる二つの媒質が無限に広い平面で接しているとき、第1の媒質 ( $Z_1 = \rho_1 c_1$ ) から第2の媒質 ( $Z_2 = \rho_2 c_2$ ) に垂直に入射する場合の音圧の反射率と透過率は次式であらわ

される。

$$\text{音圧の反射率} \quad r_p = \frac{P_r}{P_i} = \frac{Z_2 - Z_1}{Z_2 + Z_1} \quad (2.7)$$

$$\text{音圧の透過率} \quad t_p = \frac{P_t}{P_i} = \frac{2Z_2}{Z_2 + Z_1} \quad (2.8)$$

ここで  $P_i$ ,  $P_r$  および  $P_t$  はそれぞれ入射, 反射および透過の音圧である。同様に音波の強さに対して

$$\text{強さの反射率} \quad r_i = r_p^2 \quad (2.9)$$

$$\text{強さの透過率} \quad t_i = \frac{4Z_1Z_2}{(Z_1 + Z_2)^2} \quad (2.10)$$

である。以上の関係式は特性インピーダンスが  $Z_1$ ,  $Z_2$  である半無限長の伝送線路の接合点における電圧・電力の反射率と透過率の式と同形である。ここで音波の強さとは音の伝播方向における単位面積を流れるエネルギーの平均的な割合を言い、強さ  $I$  は

$$I = c\bar{\epsilon} \quad (2.11)$$

の基本式であらわされる。ここで  $c$  は音速  $\bar{\epsilon}$  は空間または時間的平均エネルギー密度である。エネルギー密度を音圧の最大値  $P$  であらわすと

$$I = \frac{P^2}{2\rho c} \quad (2.12)$$

となり音の強さと圧力の関係が得られる。音波の反射率・透過率を言う場合、強さを指すのが一般であるが、実際の測定では音圧に比例した電圧を測ることが多いので、強さ・

Table 2.3 Reflection ( $r$ ) and transmission ( $t$ ) coefficients at an inner boundary. Suffixes  $p$  and  $i$  denotes the pressure amplitude and intensity of sound, respectively.

Medium	$r_p$	$t_p$	$r_i$	$t_i$
Water — iron	0.94	1.94	0.88	0.12
Iron — water	-0.94	0.061		
Water — plexiglas	0.36	1.37	0.13	0.87
Plexiglas — water	-0.36	0.64		

音圧両方について知つておく方が便利である。一例として、水と鉄、水とプレキシガラスの場合の反射率および透過率について第2.2表の数値を (2.7)～(2.10) 式に当めてみると第2.3表の如くになる。すなわち、水から鉄への場合には透過音圧は 94% 増大するが逆の場合には 6.1% に減衰してしまう。強さについては 12% が透過し残りは反射する。その場合常に  $r_i + t_i = 1$  である。第2.7図は音圧について同じ事柄を図によって説明したもの

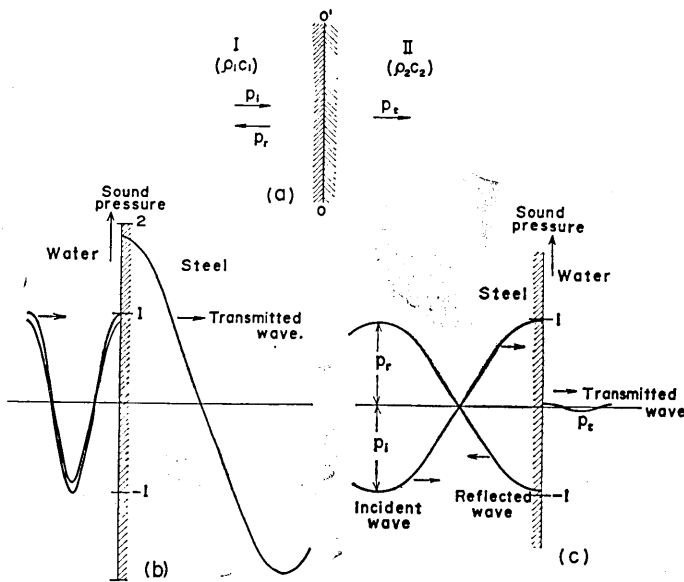


Fig. 2.7. Normal incidence of sound waves to a water-steel boundary (a). Pressure amplitude increases as the wave goes from water into steel as shown in (b). Wave that is transmitted from steel into water is considerably reduced (c). (after J.R. Frederick)

のである。 (a) 図は第1媒質  $\rho_1 c_1$  と第2媒質  $\rho_2 c_2$  の境界面において音圧の一部は透過し、一部は反射する。 (b) 図では  $\rho_1 c_1 < \rho_2 c_2$  のときには入射波と反射波は同位相で透過波の音圧は増大し、(c) 図では  $\rho_1 c_1 > \rho_2 c_2$  の場合にはすべてその反対になることを示している。

以上のことから水管傾斜計の容器を作る際に、鉄や真鍮の底板に圧電素子を取付ける方法で、仮に音波を媒質の境界面に垂直に入射する方法をとったのでは能率よく音波を往復させることが出来ない。

### c. 境界面への音波の斜め入射<sup>206),207)</sup>

地震学において周知の如く、波動が媒質の境界に斜めに入射すると反射および屈折が行なわれるが、その際に縦波が横波に、横波が縦波に変換するいわゆる Mode Conversion の現象が起る。入射波に対してその反射や屈折は Snell の法則に従がう。

$$\left. \begin{aligned} \frac{\sin \theta_i}{c_1} &= \frac{\sin \theta_t}{c_2} \\ \theta_r &= \theta_i \end{aligned} \right\} \quad (2.13)$$

ここで  $\theta_i, c_1$  は入射側の媒質における入射角と音速 (反射も含む),  $\theta_t, c_2$  は透過側のものである。 $c_2 > c_1$  なる場合には臨界角  $\theta_c$  が存在し、入射角が  $\theta_c$  を越えると全反射する。 $\theta_c$  は (2.13) 式で  $\theta_t = 90^\circ$  とすれば決められる。

$$\theta_c = \sin^{-1} (c_1/c_2) \quad (2.14)$$

斜め入射の場合の音波の強さの反射率および透過率は次式であらわされる:

$$r_i = \left( \frac{z_2 \cos \theta_i - z_1 \cos \theta_t}{z_2 \cos \theta_i + z_1 \cos \theta_t} \right)^2 \quad (2.15)$$

$$t_i = \frac{4 z_1 z_2 \cos^2 \theta_t}{(z_2 \cos \theta_i + z_1 \cos \theta_t)^2} \quad (2.16)$$

$$r_i + t_i \cos \theta_i / \cos \theta_t = 1 \quad (2.17)$$

第 2.8 図は第 1 媒質 (左上) の圧電素子から出た音波のビームが第 2 媒質 (右下) との境界に斜めに入射し、第 2 媒質で 100% 反射 (エネルギー損失なく) して再び第 1 媒質

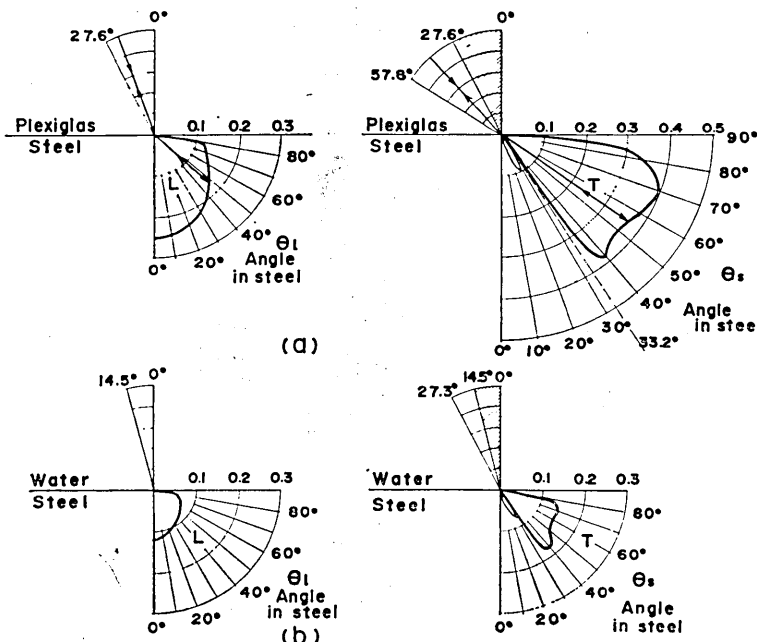


Fig. 2.8. Amplitude of the reflected sound signal at (a) plexiglas-steel and (b) water-steel interfaces. L longitudinal wave, T transverse wave. (after Krautkrämer)

の圧電素子に戻ったときの振幅減衰の様子を示した図である。 (a) 図はプレキシガラスと鋼、 (b) 図は水と鋼の場合である。 (a) 図における  $27.6^\circ$ ,  $57.8^\circ$  はそれぞれ縦波、横波に対する臨界角である。従って  $27.6^\circ$  と  $57.8^\circ$  の間で入射した縦波は横波に変換される。帰りの途でも横波が縦波に変換されて元に戻る。 (b) 図も同様に水と鋼の境界において  $14.5^\circ$  から  $27.3^\circ$  の間に入射した縦波は横波に変換され、帰りの途でも同様である。図でわかるように、縦波-縦波の場合よりも縦波-横波の方が安定で大きな利得が得られる。このことは縦波と横波の媒質の特性インピーダンス  $\rho c$  を考えても明らかである。

われわれは第 2.8 図を参考にし、プレキンガラスをエボナイトにかえて実験用容器の試作をすすめた。

#### d. 容器の試作

(2.14) 式に第 2.2 表の数値を代入して臨界角を求めるとき次のようになる。

$$\begin{array}{l} \text{エボナイト} \rightarrow \text{鋼} \\ \left. \begin{array}{ll} \text{縦波} & \theta_{i1}=24^{\circ}50' \\ \text{横波} & \theta_{s1}=50^{\circ}20' \end{array} \right\} \\ \text{鋼} \leftarrow \text{水} \\ \left. \begin{array}{ll} \text{縦波} & \theta_{i2}=14^{\circ}20' \\ \text{横波} & \theta_{s2}=27^{\circ}00' \end{array} \right\} \end{array}$$

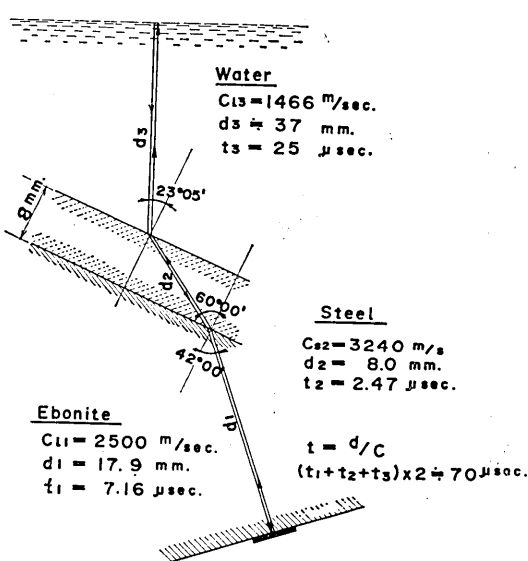


Fig. 2.9. Path of the sound signal that is designed for the Fujigawa-type senser.

上の数値について、入射角を  $\theta_{i1}$  と  $\theta_{s1}$  の中間にとれば、水面への屈折角は  $\theta_{i2}$  と  $\theta_{s2}$  のほぼ中間に得られるであろう。そこで、入射角を  $42^{\circ}$ 、エボナイトの厚さ  $17.9$  mm、鋼の厚さを  $8$  mm として (2.13) 式によって音波通路を求めるとき第 2.9 図の結果が得られる。

図には各媒質を通して時間が求めてあるが、その総和は  $34.6 \mu$ -sec. である。往復に要する時間すなわち、シングアラウンド周期は約  $70 \mu$ -sec.,  $15$  kHz に近い。

次に通路における音波の強さを検討してみる。第 2.9 図に従って各媒質の  $\rho c$  を第 2.2 表より求め、これを (2.15), (2.16) に代入すると次の値を得る。

$$\begin{aligned} & \text{エボナイト} \rightarrow \text{鋼} \quad \left[ \begin{array}{l} \rho c \{ \text{エボナイト} = 3.0 \\ \text{鋼} = 25.3 \end{array} \right] \quad \left\{ \begin{array}{l} r_i = 0.722 \\ t_i = 0.190 \end{array} \right. \\ & \quad \theta_i = 42^{\circ} \\ & \quad \theta_t = 60^{\circ} \\ \\ & \text{鋼} \rightarrow \text{水} \quad \left[ \begin{array}{l} \rho c \{ \text{鋼} = 25.3 \\ \text{水} = 1.47 \end{array} \right] \quad \left\{ \begin{array}{l} r_i = 0.665 \\ t_i = 0.640 \end{array} \right. \\ & \quad \theta_i = 60^{\circ} \\ & \quad \theta_t = 23^{\circ}05' \end{aligned}$$

両方の場合共に、大きく強さの低下を生じ損失となってしまうことは止むを得ない。従って反射波のエネルギーは充分に吸収あるいは散逸させる処置を施さなければならぬ。

い。

第 2.10 図は容器の構造を示したものである。本器は容器単体として試験するためのものであるから、導水管は付けていない。容器の材質は肉厚 3.5 mm、外径 120 mm の黄銅管で底板は不鏽鋼板である。外側には 3 本のねじが脚となって取付いていて、傾斜の調節によって入、反射の最良の状態を見出すことができる。圧電素子は外径 30 mm でエボナイトの台に取付いている。容器の底面に貼ってあるシリコン・スポンジは独立気泡をもつたゴム板で、鋼を伝わる多重反射波と水とのカップリングを防止するためのものである。圧電素子の音圧・電圧変換能率、音波通路の損失を加えると、トリガ電圧 1 ボルトを得るために受波は 60 dB の増幅が必要である。このようにして組立てられた装置の受波と雑音との比は 25 dB (18 倍) であった。

従来の 2 型式では SN 比は 15 dB を目標とし、種々苦労を重ねてきたが、上記の構造をとることにより一挙に大きな SN 比を獲得し、連続試験においても安定であった。これによって長期間安定に動作する計器を作る確信を得た。なお、この経験によって全部黄銅で製作するように設計し、このほど製作を完了した。

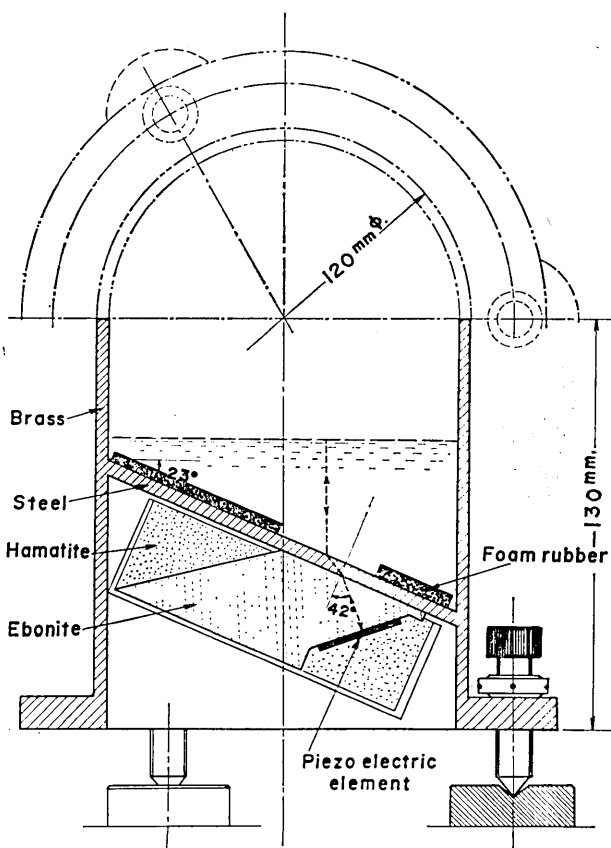


Fig. 2.10. Cross-sectional view of the Fujigawa-type senser (for basic experiment).

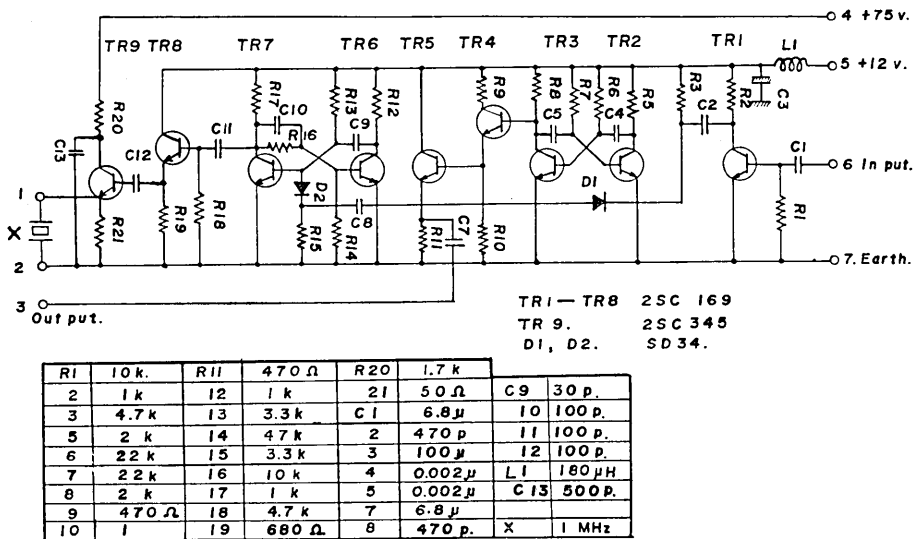


Fig. 2.11. Circuit diagram of the sing-around circuit. (a) feedback generator. transistor: TR3, TR4, astable multivibrator, TR6, TR7, monostable multivibrator, TR8. differentiator, TR9, pulse generator, TR1, inverter, TR4, TR5, buffer.

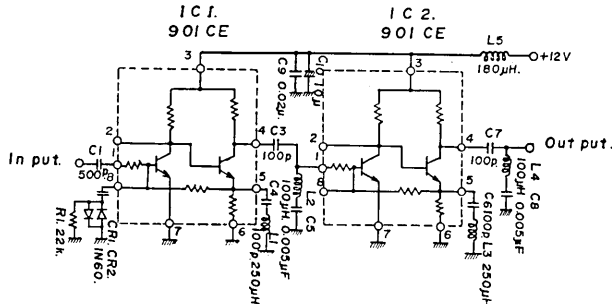


Fig. 2.12. Circuit diagram of the sing-around circuit. (b) narrow band amplifier. CR1, CR2, compressor, L1, C4, L3, C6, trap (1 MHz), L2, C5, L4, C8, filter (200 kHz).

## 8. 電気回路

本計器を構成する電気回路は次の三部分に大別される。a: 情報入力部, b: 伝送回路, c: 情報処理部である。以下富士川型を中心に回路動作の要点を述べるが、詳細な電子技術的説明は省略する。

### a. 情報入力部

水位の変化を電気信号の繰返し周波数の変化に変換する部分で、帰還発振器と増巾器か

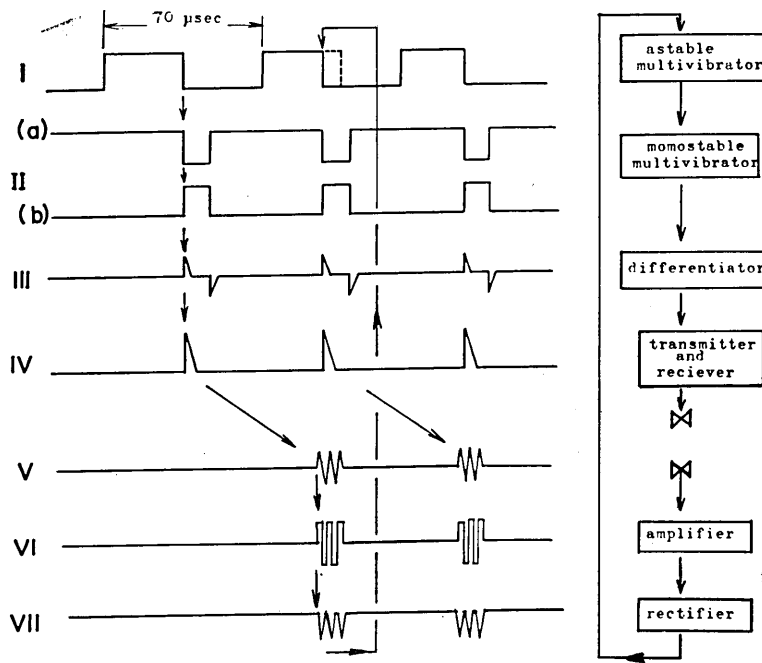


Fig. 2.13. Time chart of the sing-around circuit.

ら成る。sing-around 回路の作用についてはさきに述べたが、これを具体的に電子回路とその動作のタイムチャートによって説明する。第 2.11 図は帰還発振器第 2.12 図は増巾器の回路図、そして第 2.13 図はタイムチャートである。(説明は次頁)

第 2.14 図は送波および受波のオシログラムである。送波の  $52 \mu\text{-sec}$  後に受波が見られる。送波の振巾は不明であるが、受波は  $3 \sim 4 \text{ Vp-p}$  である。

増巾器は 2 個の集積回路から成り、 $1 \text{ MHz}$  で  $60 \text{ dB}$  の利得を有する狭帯域増巾器である。圧電素子は送受波共用であるから、入力端子に瞬間圧縮器 (compressor) を置いて送波時の過大電圧を阻止している。また  $L_1C_4, L_3C_6$  は  $1 \text{ MHz}$  のトラップ、 $L_2C_5, L_4C_8$  は圧電素子の半径方向の振動 ( $200 \text{ KHz}$ ) 除去用のフィルタで、いずれも主回路の波形を整形するためのものである。増巾器の出力端子は帰還発振器の入力端子 6 に結ばれている。

以上帰還発振器—水—増巾器—帰還発振器の 1 衍の超音波振動も、同期のかかった自走マルチの 1 サイクルの矩形波に要約される。

### b. 伝送回路

坑道内に置かれた情報入力部で得た矩形波を情報処理部の置いてある観測室まで伝送しなければならない。われわれの場合その距離は数百メートル程度のものであるが、送電端で正弦波になおし受電端で再び矩形波になおす方法をとった。この方法は送受両端に波形整形回路を必要とするが通常の通信ケーブル電線を使用できるので費用が安価になる。第

## 帰還発振器(シング・アラウンド回路)

回路	構成	タイムチャート	
自走マルチバイブレータ	TR2, TR3 C <sub>4</sub> R <sub>6</sub> , C <sub>5</sub> R <sub>7</sub>	I	シング・アラウンド周期より少し長い約 70 $\mu$ -sec で自由振動している。
単安定マルチバイブレータ	TR6, TR7 C <sub>9</sub> R <sub>13</sub>	IIa	自走マルチの波形が下向きのときだけ動作する。
		IIb	IIa が下向きなら IIb はその反対になる。(TR6 が下向きなら TR7 は上向きになる)
(復帰)	C <sub>9</sub> , R <sub>12</sub>		復帰時間は C <sub>9</sub> ·R <sub>12</sub> できる。
微分送信	C <sub>11</sub> , R <sub>18</sub> TR8, TR9 C <sub>13</sub> , R <sub>21</sub>	III VI	IIb の波形を微分波形にする TR9 が遮断状態のとき C <sub>13</sub> は 75 ボルトの電源で充電される。 TR8 を通じて微分波形 III が到来すると, TR9 は導通状態となり, C <sub>13</sub> の電荷は R <sub>21</sub> を通って放電する。このとき 40 ボルトの電圧で 20 $\mu$ -sec. 間圧電素子を叩く。 圧電素子は 1 MHz で自由振動する,

超音波が水中を伝播し水面に反射し戻る。

受信		V	圧電素子の自由振動が終息して間もなく反射波が到着する。
増巾	IC1, IC2	VI	受信波は微弱なので 60 dB 増巾される。増巾器の説明は後述。
位相反転	TR1		増巾器の出力端子は帰還発振器の入力端子 6 に結ばれているので TR1 によって位相が反転し,
整流	D <sub>1</sub>	VII	ダイオード D <sub>1</sub> により整流され、下向きの第 1 波が自走マルチに強制同期をかけ、シング・アラウンドの 1 まわりが終り第 2 ラウンドが始まる。
緩衝増巾出力	TR4, TR5		強制同期のかかった自走マルチのパルス波形を低インピーダンス化して出力端子 3 から伝送回路または計数回路へ送り出される。

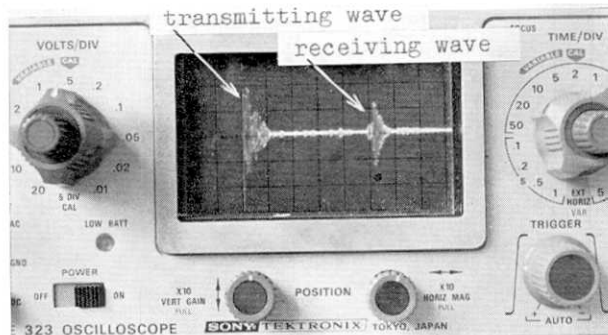


Fig. 2.14. Oscillogram display of the sing-around signal. Scale of the abscissae is 10  $\mu$ -sec/div. and ordinates is 0.5 volt/div.

2.15 図(a)は矩形波を正弦波になおす低域通過フィルタ、(b)図はその緩衝増巾器である。電線路の送受両端は変圧器によってインピーダンス整合の状態で授受する。変圧器は 600/75 オームである。この方式は電線路のエネルギー損失を最小にして忠実な波形の伝送が可能であり、その上電磁誘導障害に対して良好な SN 比が保証される。

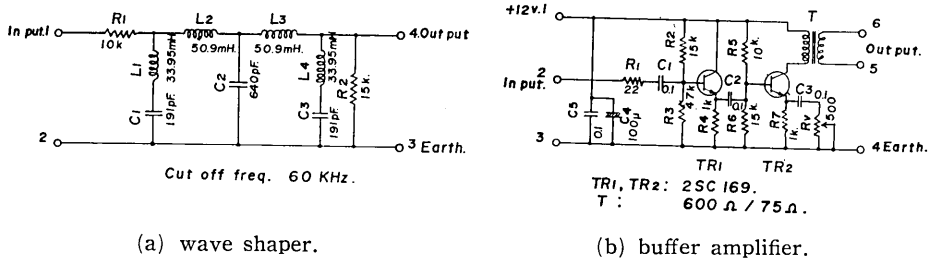


Fig. 2.15. Transmitting circuit.

## c. 情報処理部

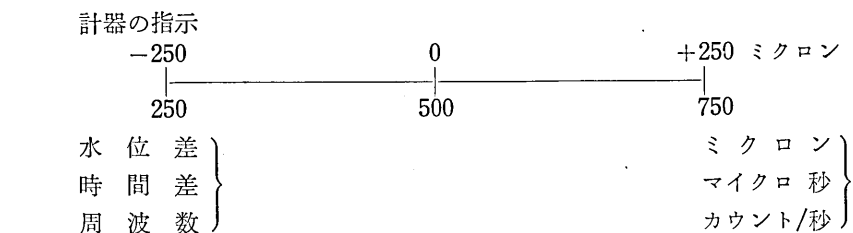
A, B 両容器の水位差を記録器に描かせるために、超音波信号の取扱いに二通りの方法を考えられる。そのひとつは (2.3) 式を原理とする周波数差 ( $f_a \sim f_b$ ) 方式による鋸山型で、他は富士川型に採用した (2.4) 式による時間差 ( $t_a \sim t_b$ ) 方式でこれから述べようとするものである。鋸山型は  $f_a f_b \approx f^2$  の近似のために 1 カウント何ミクロンという設定が零水位差付近ではよいが、高水位差では誤差を生じてくる欠点がある。さきに述べたように 1 回のシング・アラウンドの所要時間、すなわち強制同期のかかった自走マルチの 1 周期は約  $70 \mu\text{-sec}$ . である。一方水位差の限界は 500 ミクロンと定めてあるので、その時間差は (2.4) 式より

$$t_a \sim t_b = 2A h / C = 2 \times 500 / 1460 \times 10^6 = 0.66 \mu\text{-sec}.$$

A の 1 パルスと B の 1 パルスの差は  $0.66 \mu\text{-sec}$ . より大きくなることはない。このような短かい時間を充分な精度で計測するには、鋸山型が 1 秒間のパルス数で比較したのに対し、パルス数が一定数に達する時間をもって比較する。この計測処理は論理回路によるのが便利である。この方式は量産化された規格の論理回路部品を極力種類少なく使って構成することにより部品個数の増加は多少あっても組立のみで無調整で使用できる経済的な商品が出来上るからである。近年集積回路技術の進歩はこのような趨勢に進みつつある。

次に、本方式によって記録器の指示の中央を零、左右をそれぞれ  $\pm 250$  ミクロンの水位差を指示させようとする場合、実際に零やマイナスの水位差を作ることは適当でない。始めからある時間差を与えておかなければならない。いま、A, B どちらかを 500 ミクロンだけ水深を深くしておくと、 $0.66 \mu\text{-sec}$ . の時間差が与えられたことになる。この点を零水位差と考えると水位差の両極は  $500 \pm 250 = 750$  ミクロンまたは 250 ミクロンとなり、時間差は  $0.66 \pm 0.33 = 0.99 \mu\text{-sec}$ . または  $0.33 \mu\text{-sec}$ . となる。ところで、記録器の中央を 500 カウント（指示値は 0）にするためには  $500 / 0.66 = 758$ , すなわち 758 倍したものを  $1 \text{ MHz}$  ( $1 \mu\text{-sec}$ ) のクロック・パルスで計数すればよいことになる。A, B 両者が 758 パルスに達する時間を比較することになる。この方法を実行するものを時間拡大回路 (Pulse-rate Converter) と呼んでいる。

以上を要約すれば、計器指示の関係は下記の如くになる。



何故ならば時間差は

$$0.99 \mu\text{-sec.} \times 758 = 750 \text{ } (\mu\text{-sec.} = \text{カウント}/\text{秒})$$

$$0.66 \text{ " } \times 758 = 500 \text{ } (\text{ " })$$

$$0.33 \text{ " } \times 758 = 250 \text{ } (\text{ " })$$

を得る。故に 1 カウント = 1 ミクロンとなる。

なお、1 回の計測を行なうためのスタートとリセットのパルスの時間間隔は 100 m-sec. にとてある。従って拡大される時間は  $70 \mu\text{-sec.} \times 758 = 53 \text{ m-sec.}$  であるから充分に余裕をもつて計測を完了することができる。

第 2.16 図は富士川型計測装置の説明図である。動作の概略は次の如くである。伝送されてきた正弦波形の信号は波形整形回路で再び矩形波に戻される。情報処理部は二つに大別される。前段は時間拡大回路 (Pulse-rate Converter) で後段は時間差制御回路 (Pulse-width Comparator) である。時間拡大回路は 1/758 の分周回路で多数の双安定マルチを組合せたものである。758 個のパルス群毎に 1 個のパルスを発生するが、そのパルス巾は 758 個のパルス全体に匹敵するものである。図の  $T_a$ ,  $T_b$  がそれである。

時間差制御回路は  $T_a - T_b$  を作る回路である。 $T_a$ ,  $T_b$  は独立であるから、図のように仮に  $T_a > T_b$  であっても両方のパルスの始まりの部分は相前後するから、差の部分は前後 2 個所に生ずる、しかもその 2 個所は和によって  $T_a - T_b$  の得られる場合と差の関係にな

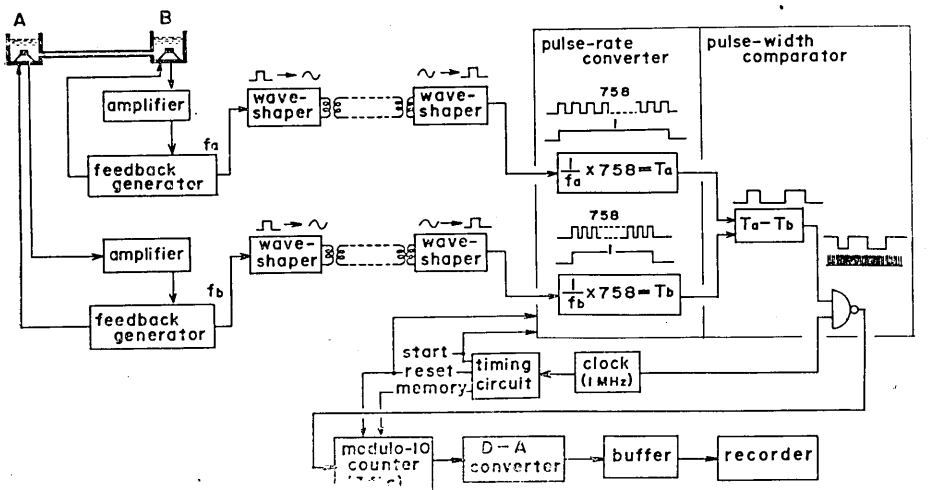


Fig. 2.16. Block diagram of an ultrasonic water-tube tiltmeter (Fujigawa-type).

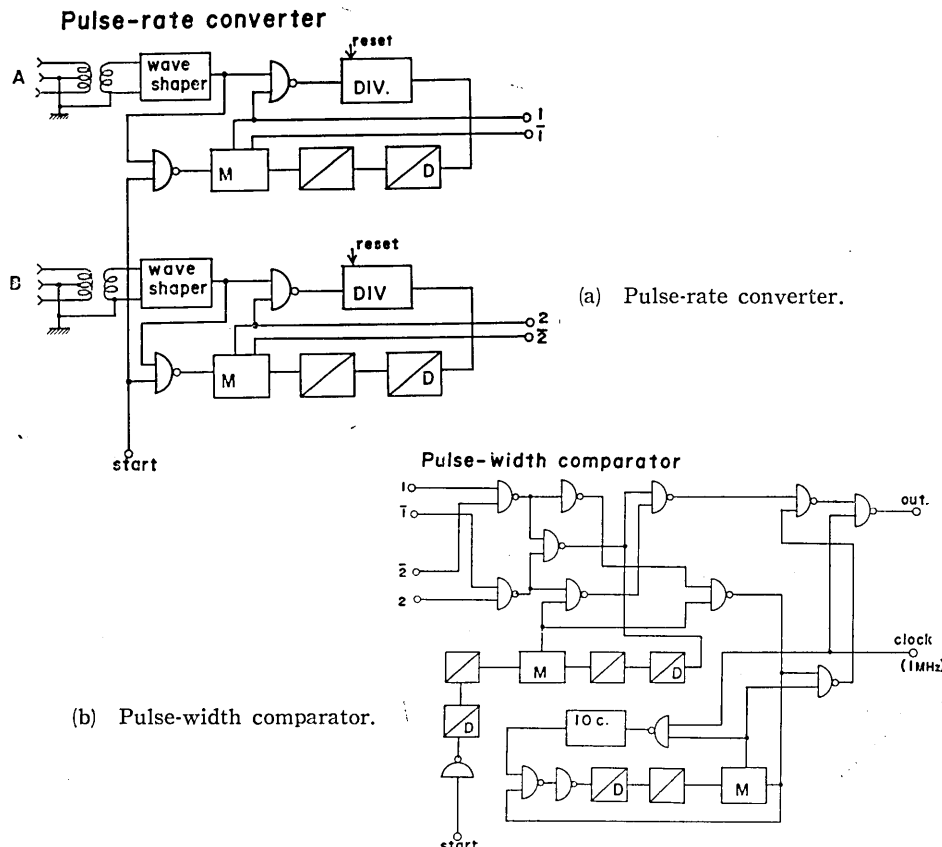


Fig. 2.17. Data processing circuit.

Symbol	Description	Operation															
A B → c	NAND circuit	<table border="1"> <thead> <tr> <th>A</th><th>B</th><th>C</th></tr> </thead> <tbody> <tr> <td>I</td><td>I</td><td>O</td></tr> <tr> <td>I</td><td>O</td><td>I</td></tr> <tr> <td>O</td><td>I</td><td>I</td></tr> <tr> <td>O</td><td>O</td><td>I</td></tr> </tbody> </table> <small>{TRUTH VALUE TABLE}</small>	A	B	C	I	I	O	I	O	I	O	I	I	O	O	I
A	B	C															
I	I	O															
I	O	I															
O	I	I															
O	O	I															
reset + DIV	Frequency devider																
[M]	Memory																
/\	Phase inverter																
/\ D	Differentiation-inversion circuit																

Fig. 2.18. Symbol, description and operation of the logic elements used for the present circuits.

る場合とあって演算回路は複雑となる。両者のパルス巾の差に相当する時間巾は 1 MHz のクロックパルスで計測する。10進カウンタは3桁の2進化 10進カウンタである。D-A 変換器は 1・2・4・8 のコードを1位には 1 mA, 2 mA, 4 mA, 8 mA, 10位には 10 mA, 20 mA, ····, 100 位には 100 mA, 200 mA, ···· の如く重みをかけた電流回路で構成させ入力の数値に応じた電流出力が得られる。

第 2.17 図 (a) は時間拡大回路、(b) は時間差制御回路である。そして第 2.18 図は回路に使われている記号の説明図である。本装置の如く論理演算回路によると僅かの種類の部品によって組立が可能である。論理演算とは周知の如く 2 値論理 (数値的表現で 0, 1) に基づく演算 (Boolean Algebra) を実行する回路要素で、基本的には論理積 (AND), 論理和 (OR) および否定 (NOT) の三種の概念の組合せによって構成される。詳細は専門書にゆずるが、AND と OR 回路は実質は同じもので、供給電源の極性を反対にすれば AND と OR は入替わる。このことは NOT 回路を通して結果は同じである。NOT 回路はトランジスタ 1 個の位相反転回路である。従って AND と OR は表裏の関係にあり。NOT-AND-NOT=OR, NOT-OR-NOT=AND の如く NOT によって互に変換ができる。そこで、AND と NOT (NAND) または OR と NOT (NOR) の複合回路素子が生産されているので、演算回路はどちらか一種のみで組立が可能である。本器は NAND (論理積否定) を使っている。

以上の事柄を数式であらわすと、

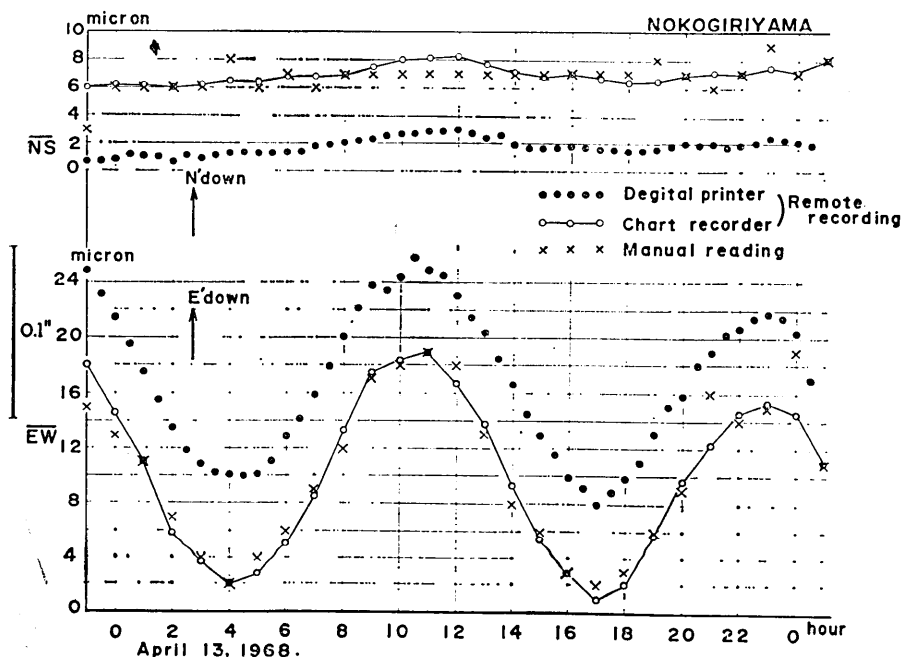


Fig. 2.19. Records of the ultrasonic water-tube tiltmeters as compared with the data from the manual reading water-tube tiltmeters (test at Nokogiriyama).

$$\begin{aligned}
 \text{NANDの出力} \quad f_1 &= \overline{\overline{A} \cdot \overline{B}} = \overline{A} + \overline{B} \\
 \text{NOTを通すと} \quad f_2 &= \overline{f_1} = \overline{\overline{A} \cdot \overline{B}} = A \cdot B \\
 \text{再びNOTを通すと} \quad f_3 &= \overline{f_2} = \overline{A \cdot B} = \overline{A} + \overline{B}
 \end{aligned}$$

の如く元に戻る。ここで  $A, B$  は入力変数,  $f$  は出力関数,  $\overline{\phantom{x}}$  は否定をあらわす。この証明は真理値表によっても容易である。

論理演算回路は論理の組立のみによるもので、従来のデジタル回路の如く組立調整の巧拙により性能が左右されないことなど幾多の長所がある。

## 9. 記録の実例

最後に記録の実例について一言する。第 2.19 図は 1968 年 4 月 13 日の大潮を鋸山観測所において読み取り式水管傾斜計と比較観測を行なった結果である。読み取り式と遠隔記録式とは振巾、波形共によく一致している。前者が目分量で 1 ミクロンを読み取っているのに対し、後者は 1 ミクロンの分数を表示している。1 人の観測員が 1 成分を 2 分間で読み取ることは容易なことではない。遠隔式では印字記録は 30 分おき (手動操作も可能)、チャート記録は連続的であり、その計測間隔は 0.1 秒であるから、人力にくらべ遙かにきめ細かな観測を行なっている。この図においても熟練観測者と言えども時に 3~4 ミクロンの誤読をおかしている。その時の精神的肉体的疲労に左右されるためであろう。そこで人の能力と器械力とを比べてみる。われわれは観測員の読み取り値がデジタル・プリンタの読み出す値と一致することを期待するものであるが、期待値からの外れにどの程度のばらつきがあるかを調べてみた。

ここで取扱ったデータは第 2.4 表に示してある。表の  $M$  は読み取り式の観測値、 $D$  はデジタル・プリンタの読み出した数値である。いま、 $M - D = x_i$ ,  $\sum_{i=1}^n x_i / n = \bar{x}$  とおく。 $n$  は観測数、すなわち標本数である。このとき標準偏差  $\sigma$  は次式であらわされる。

$$\sigma = \sqrt{\frac{1}{n-1} \sum (x_i - \bar{x})^2} \quad (2.18)$$

$$= \sqrt{\frac{\sum x_i^2}{n-1} - \frac{n}{n-1} \bar{x}^2} \quad (2.19)$$

$\overline{NS}$ ,  $\overline{EW}$  両成分の 24 時間観測の前半、後半、全体の各々について表の数値を (2.19) 式に代入してみると次の値を得る。

$\overline{NS}$ の前半	$\sigma_{N1}=1.01$	$\overline{EW}$ の前半	$\sigma_{E1}=1.11$
" 后半	$\sigma_{N2}=0.76$	" 后半	$\sigma_{E2}=1.92$
" 全体	$\sigma_{N3}=0.89$	" 全体	$\sigma_{E3}=1.62$

第 2.19 図に見る如く  $\overline{NS}$  がほぼ一定であるのに比べて  $\overline{EW}$  成分の変化は大きい。前半における両成分の  $\sigma$  の値はほぼ等しい。後半に至って習熟と同時に疲労が加わってくる。

観測の度に変化の大きい方が心労も大きいことから考えてこの結果は体験的に首肯でき

Table 2.4. Comparison of two types of water-tube tiltmeters at Nokogiriyama. *M* and *D* denotes manual reading and digital recording, respectively.

Time 1968	NS				EW			
	<i>M</i>	<i>D</i>	<i>M-D</i>	$(M-D)^2$	<i>M</i>	<i>D</i>	<i>M-D</i>	$(M-D)^2$
Apr. 12 23h	0 $\mu$	0 $\mu$	0 $\mu$	0	0 $\mu$	0 $\mu$	0 $\mu$	0
13 0	3	0.2	2.8	7.84	- 2	- 3.4	1.4	1.96
1	3	0.4	2.6	6.76	- 4	- 7.3	3.3	10.89
2	3	- 0.1	3.1	9.61	- 8	- 11.3	3.3	10.89
3	3	0.2	2.8	7.84	- 11	- 13.9	2.9	8.41
4	5	0.6	4.4	19.36	- 13	- 14.7	1.7	2.89
5	3	0.6	2.4	5.76	- 11	- 14.6	3.6	12.96
6	4	0.7	3.3	10.89	- 9	- 12.0	3.0	9.00
7	3	1.1	1.9	3.61	- 6	- 8.9	2.9	8.41
8	4	1.3	2.7	7.29	- 3	- 4.7	1.7	2.89
9	4	1.6	2.4	5.76	2	- 1.0	3.0	9.00
10	4	2.0	2.0	4.00	3	- 0.4	3.4	11.56
11	4	2.2	1.8	3.24	4	- 0.0	4.0	16.00
$\Sigma$		32.2	91.96		34.2	104.86		
Av.		$\bar{x}=2.477$			$\bar{x}=2.631$			
12	4	2.3	1.7	2.89	3	- 0.7	3.7	13.69
13	4	1.7	2.3	5.29	- 2	- 4.4	2.4	5.76
14	4	1.2	2.8	7.84	- 7	- 8.1	1.1	1.21
15	4	1.0	3.0	9.00	- 9	- 11.8	2.8	7.84
16	4	1.1	2.9	8.41	- 12	- 14.9	2.9	8.41
17	4	0.9	3.1	9.61	- 13	- 16.8	3.8	14.44
18	4	0.8	3.2	10.24	- 12	- 14.9	2.9	8.41
19	5	0.9	4.1	16.81	- 9	- 11.7	2.7	7.29
20	4	1.3	2.7	7.29	- 6	- 8.9	2.9	8.41
21	3	1.3	1.7	2.89	1	- 5.8	6.8	46.24
22	4	1.2	2.8	7.84	- 1	- 4.1	3.1	9.61
23	6	1.7	4.3	18.49	0	- 3.0	3.0	9.00
0	4	1.4	2.6	6.76	4	- 4.4	8.4	70.56
$\Sigma$		37.2	113.36		46.5	210.87		
Av.		$\bar{x}=2.862$			$\bar{x}=3.577$			
Total		69.4	205.32		80.7	315.73		
Av.		$\bar{x}=2.669$			$\bar{x}=3.104$			

る。日常観測での誤差は7割が  $\pm 1 \mu$  以内にあることは心強いことである。松代群発地震における連続読取観測（第4章参照）の例の如く変化も疲労も大きかった場合には、平常  $\pm 2 \mu$ 、希に  $3\sigma \approx 6\mu$  の誤読のあることも以上の結果から考慮すべきである。

### 第3章 水管傾斜計の経年変化

#### 1. 序 言

本章では水管傾斜計の経年変化を主として水準測量や観測所相互の調和の問題に関し、油壺・鋸山・松山の三観測所の場合について述べる。

油壺は三浦半島の南端部に、鋸山はその東方 20km、東京湾を隔てて房総半島の中央部に位置している。両観測所より半径 100km の円を描いてみると東京・神奈川・千葉・埼玉の主要都市。いわゆる首都圏はこの中に含まれる。南関東地区はまた地震の多発地帯と

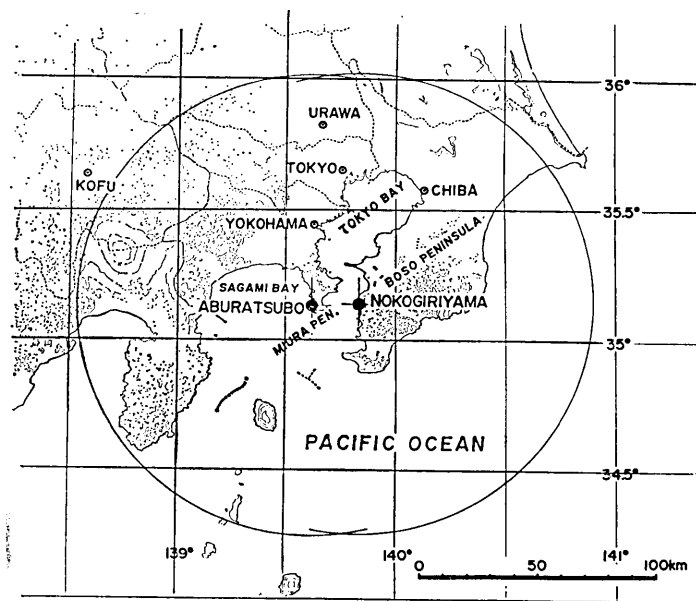


Fig. 3.1. Location of the Aburatsubo and Nokogiriyama stations.

して著名である。鎌倉幕府以来、幾多の大地震の発生は史実の示すところである。一方房総・三浦地区は水準、検潮、地質など地球物理学の研究資料に恵まれている。以上の諸条件から推しても両観測所の存在意義は大きい。

油壺は戦後最初の地殻変動観測所として、松山と同じく1949年より、鋸山は1959年よりそれぞれ観測記録を蓄えてきた。水管傾斜計に関する各観測所の要目、観測坑内の見取図は第1章第1.1表、第1.9図に示してある。三観測所共旧陸海軍の防空壕を利用し、またはその一部を増掘して作られたもので不満足な点も多々ある。これらはもはや旧式観測所に属するが、地震予知計画による新式観測所の基礎はこれらの観測所の研究や経験に基づくところが甚だ多い。

筆者ら<sup>301)</sup>は20年前に油壺における観測結果の潮位、温度などの影響に関する考察を試みたなかに水準測量との関係についても若干触れた。水管傾斜計を小区間あるいは三浦半

島全体の測量結果と比べてみたが、変化も小さく期間も不充分のため有意の結果を得るに至らなかった。ここで改めて考察を試みたいと思う。

南関東地区で一等水準測量の行なわれたのは1883年（明治16年）以降のことである。

測量結果に基づいて論じられた主なる事柄は、関東地震（1923年）を挟んでその前後の消長および地質学的挙動に関するもののように思う。前者は地震エネルギーの蓄積・解放の尺度、後者は地質学的タイム・スケールの地殻変動の尺度として共に地震学研究上重要な役割を果している。原田<sup>302)</sup>、檀原・広部<sup>303)</sup>、檀原<sup>304)</sup>、藤井<sup>305)</sup>は水準測量の結果から三浦・房総地区の地殻変動を以上の観点で論じている。それによると、短期間、小区域についてみればその様相は種種であるが、広地域、長期間、たとえば関東地震を挟んでその前と後に大別すれば三浦・房総地区は一つの地塊として運動をしている。

一方この地域では地質学的調査もよく行届いている。松田<sup>306)</sup>は活断層についてこれらの調査をまとめた。第3.2図は南関東の地質構造図である。地質構造の一般走向は北西—南東である。三浦半島中部には活発な活断層が発達し、その走向は大体 N60°W、右ずれである。従って、最大圧縮主応力軸は NNW-SSE であると推定される。房総半島では鴨川—保田地溝帯に多くの縦ずれ断層がみられる。村井<sup>307)</sup>は地震学あるいは測地学的方法によって現時点の応力場を知り、地質学的方法によって過去より現在に至る期間の造構運動の応力場を知り、両者の関係を明らかにすることは、現在の地殻変動および地震現象を解釈してゆく上に重要な意味をもつと述べている。そして三浦・房総地域のわれめ系の調査から応力条件を推定した。それによると房総半島の三浦層群、上総層群の主応力は、鉛直方向に最小、東西方向に中等、南北方向に最大の主応力が作用していた。つまり南北方向の強い圧縮力によって褶曲および上下変位の活断層系が発達したと考えられる。この造構運動は嶺岡・葉山隆起帯が常にその中核をなしている。成瀬<sup>308)</sup>によれば、嶺岡・葉山

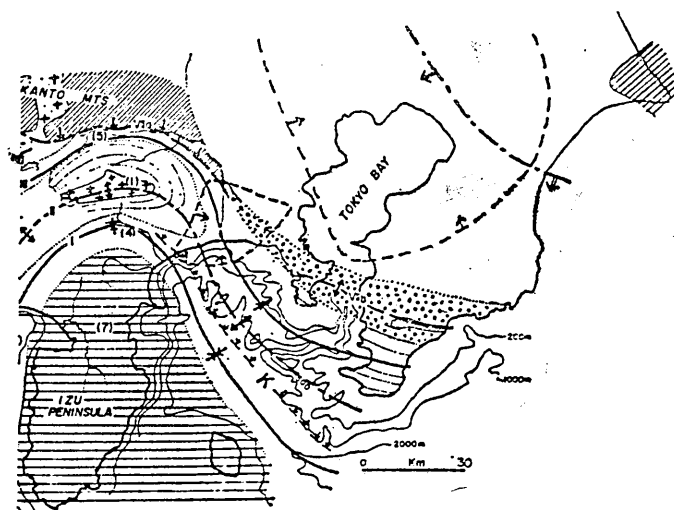


Fig. 3.2 Geological structures of southern Kanto district. Dotted area represents Mineoka-Hayama uplift belt. (after T. Matsuda<sup>306)</sup>)

隆起帯は中新世末一鮮新世初に關東全域に亘る地殻変動(黒滙変動)に際して著しく隆起した部分である。その南側は南縁沈下、北側は構造盆地でその境界線をなすという第四紀地殻変動のパターンを作り上げた。従って、上総層群の南の限界でもある。これらの地殻変動は現在もなお比較的等速度で進行しているものと考えられている。各層群の変動速度は $0.1\sim3\text{m}/10^3\text{年}$ とかなりの巾をもっている。造盆地運動の速さとしては大凡 $0.9\sim1.3\text{m}/10^3\text{年}$ 、傾斜角で $3^\circ/10^6\text{年}\approx0.01\text{秒}/\text{年}$ であるが、藤井<sup>305)</sup>はこれを關東地震の前および後の二つの期間に分けた水準測量の結果との比較を試みた。

関東地震前の26年間では	0.03秒/年
" 後の35年間では	0.01秒/年

となり大略前者と一致する、但し、重力異常と上下変動の相関の高い場所を選んで比較している。

地質学的に注目すべきもうひとつの場所は国府津—松田断層系に含まれる相模海溝であろう。河角広<sup>309)</sup>の調査によれば818年(弘仁9年)以降の鎌倉における10余個の強震、烈震の震央はこの海溝線上に並んでいる。

われわれが三浦・房総地区の地殻変動の連続観測を行なうに当り、測地学的、地質学的背景の概観は以上の通りである。油壺は嶺岡葉山隆起帯より南にあるが、鋸山観測所は鋸山の北麓、隆起帯の北側に含まれている。従って、両者間の経年変化に差異のあらわれるることは予期されるところであるが、それがどのような形であらわれるか。また、地殻変動の連続観測は測地測量の時間的空間的空白を埋め得るものとの期待があるが、それがどの程度可能であるかについては準備段階であり、さらに記録の蓄積と研究を待たなければならない。本章では主題を水管傾斜計と水準測量との比較におき、両者が必ずしもよい一致が得られない理由、副題として油壺・鋸山両観測所相互の比較について若干地殻のレオロジー的な考察を含めて、水管傾斜計の記録するものは何かという問題について考察したいと思う。

## 2. 水管傾斜計の観測結果

第3.3図は油壺における1949年10月から最近までの水管傾斜計の観測結果である。図の各点は毎日午前8時の読み取り値の月平均値である。上の2行は読み取り値そのまま、いわゆる「なま」の値である。次の2行はN'S'成分については温度、E'W'成分については潮位の補正を行なったものである。その補正係数は温度は $0.06''/\text{^\circ C}$ (温度上昇でS'下り)、潮位は $0.54''/\text{m}$ (潮位上昇でE'下り)である。(補正については第1項a, b参照のこと。)なお、温度は観測坑内の温度計の8時の読み取り値、潮位は国土地理院の駿河儀の8時の値を使用させていただいた。その温度と潮位の変動が最後の2行に示してある。5, 6行目はなまの月平均値を12ヶ月の移動平均したものである。これをみると移動平均値がよく平滑されているので、以下の考察にはこの値を主に使用することにする。なおここでN'S'、E'W'は計器成分の方位別名称であるが、地理学上のNS、EW方位からは若干ずれないので(')により区別している。諸計器の設置方位については第1.9図と第1.1表を参照されたい。

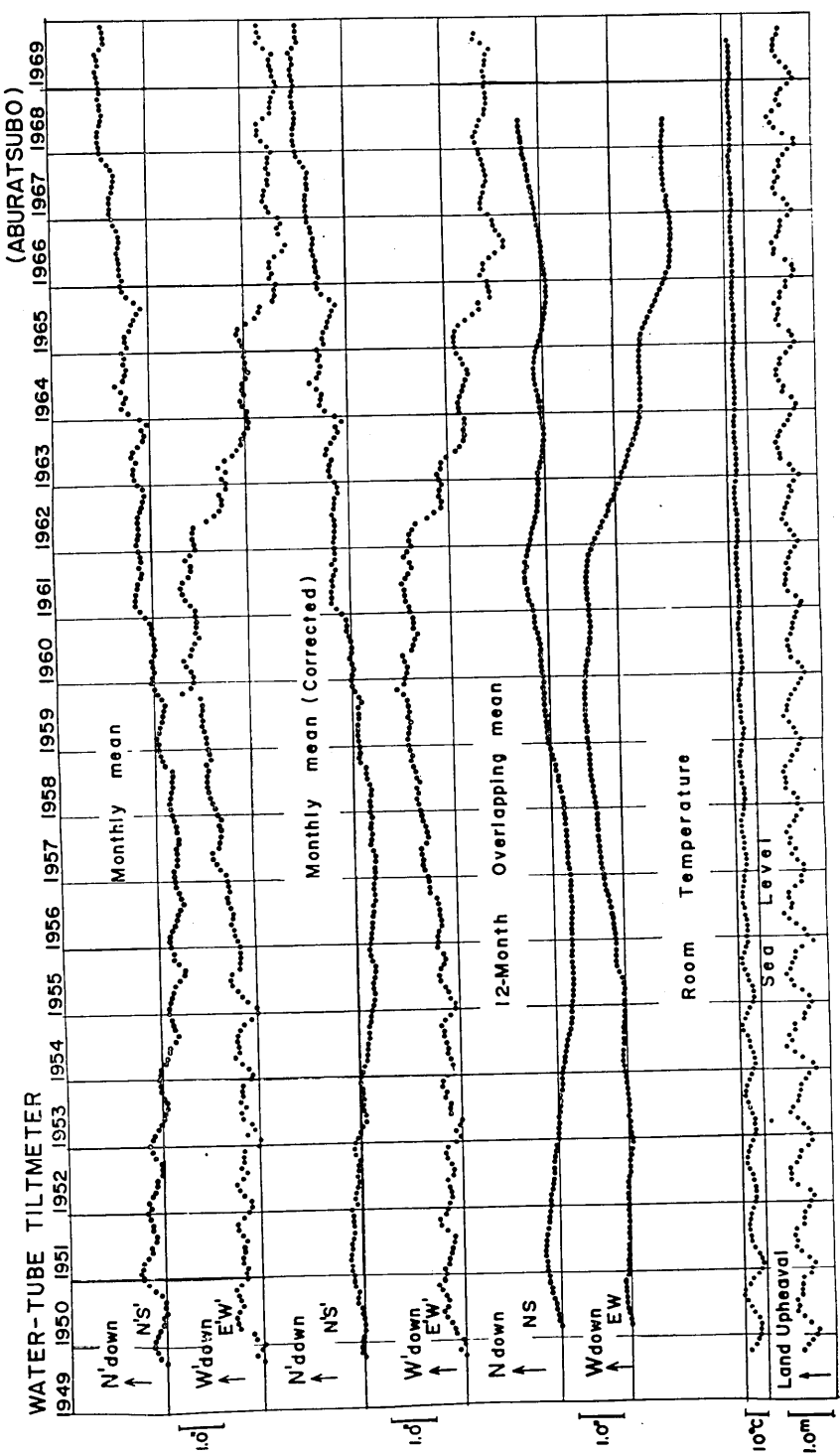


Fig. 3.3. Secular ground tilting at Aburatsubo.

さて第3.3図をみると1951年から1962年頃にかけて両成分間に位相のずれをもった長期変動のあることに気付く。従って、両成分を合成すると円軌道が予想されるが、このような変動を与える原動力となるものが何であるかは、今後解明すべき課題のひとつと考える。第3.4図は両成分を合成しベクトル表示したものである。観測当初の10年間は年平均0.2秒角程度（傾斜方向はともかくとして）をこの観測所における変動レートと思っていたが、1962年より変動レートは3～4倍に急増し、その様相を一変するにいたった。図において白丸はその傍にある年号の1月の値を示す。二重丸と傍のローマ数字は次に述べる精密水

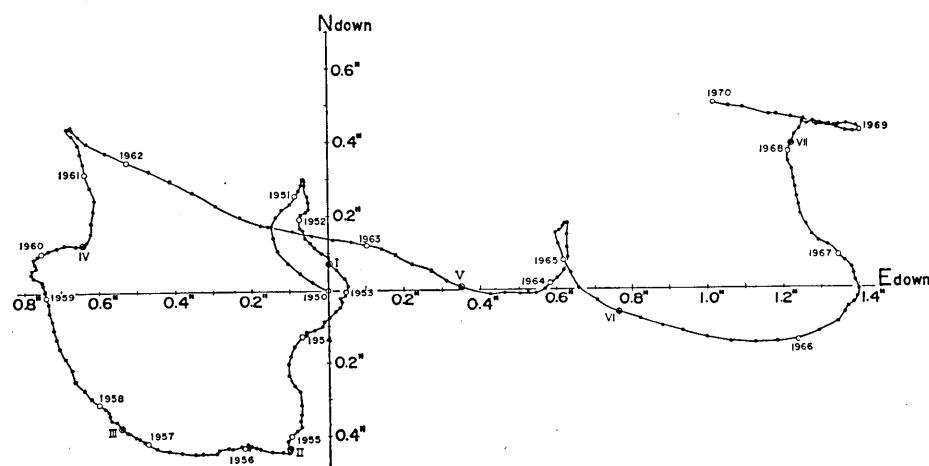


Fig. 3.4. Vectorial illustration of secular ground tilting at Aburatsubo.

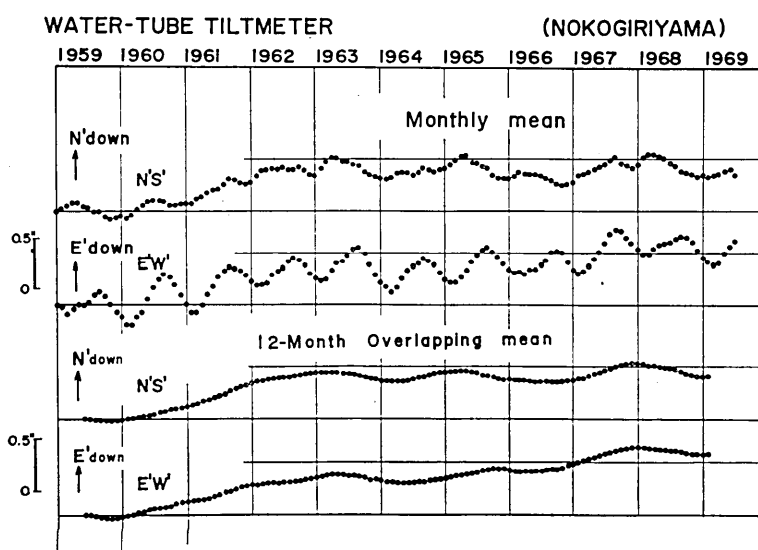


Fig. 3.5. Secular ground tilting at Nokogiriyama.

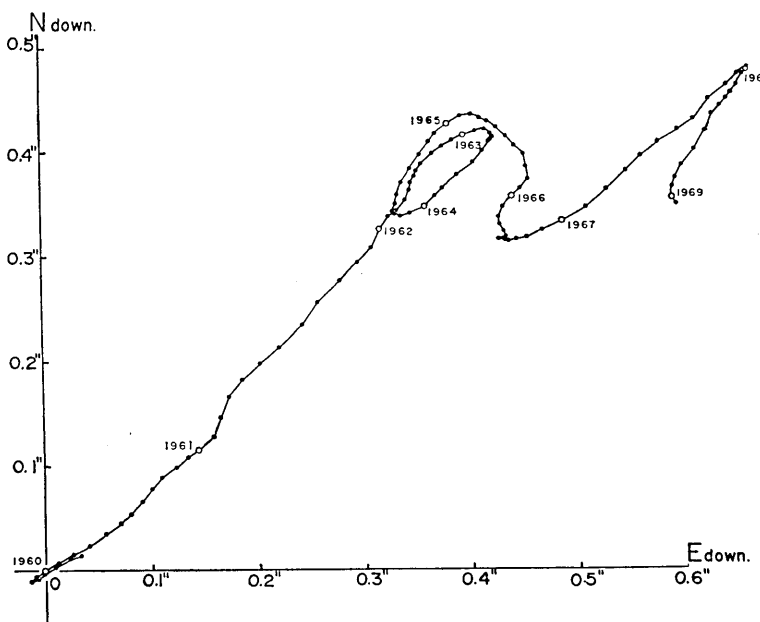


Fig. 3.6. Vectorial illustration of secular ground tilting at Nokogiriyama.

準測量の行なわれた月とその回次の番号である。

第3.5図は鋸山観測所の水管傾斜計の観測結果で、1, 2行目は「なま」の値、3, 4行目はそれの12ヶ月移動平均値である。それをベクトルであらわしたもののが第3.4図でそれぞれ油壺の第3.3図、第3.4図に対応するものである。

### 3. 三浦半島の水準測量

三浦半島の一等水準測量は油壺験潮場と東京の水準原点とを結ぶ目的で頻繁に行なわれてきた。1952年以降は三浦半島循環路線が完成し、変動の様相を一層明らかにできるようになり、測量回数もすでに7回に及んでいる。そのくわしい解析については檀原<sup>304)</sup>の報告があり、その後を補足するものとして国土地理院の地殻活動調査室<sup>310)</sup>発表の資料がある。

水準測量の結果を水管傾斜計と比較するにあたり、いつも問題になるのはよい調和を得るためにどの範囲の水準測量に基づいて土地傾斜を算出したらよいかという点である。

観測時期についても両者をなるべく細かく一致させるべきであることは言うまでもないが、区域の選定は特にむつかしい。

1952—1963年の三浦半島の垂直変動図（第3.7図(b))をみると、BM. 5365—BM. 10842(秋谷・横須賀間)を軸とする大きな変動の谷がみられる。（第3.7図(a))従って今回の目的には BM. 5365.1 (佐島) と BM. 10844 (浦賀) を結ぶ線の南側、13の水準点を含む半島南端地区を選んだ。測量実施の回次とその期間を第3.1表に掲げた。この表で見る通り、各回の実施期間にかなりの幅があるので、そのうち観測所に最も近い区間 BM. 5367.2

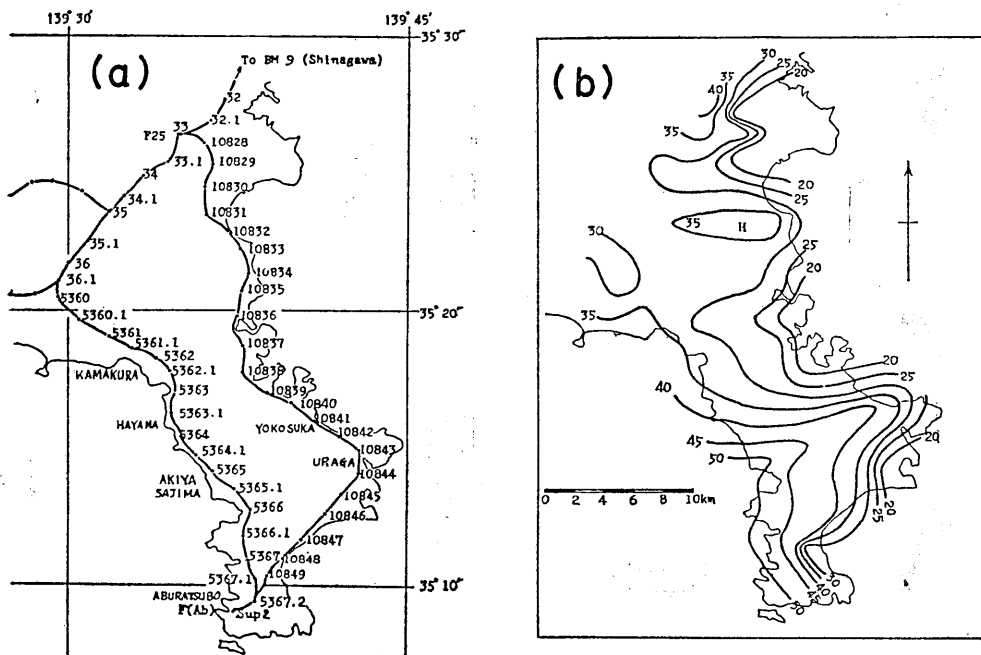


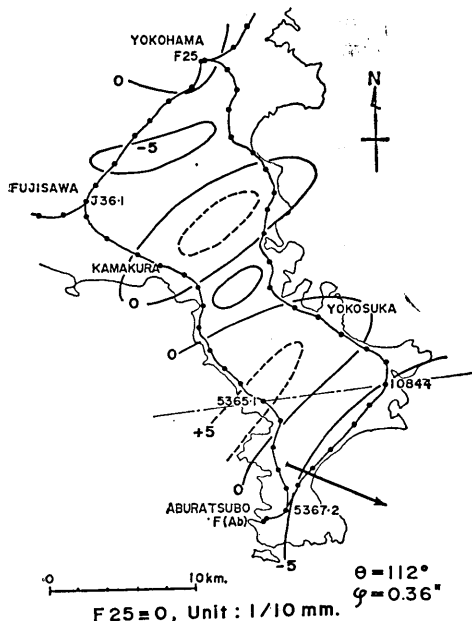
Fig. 3.7. Levelling route (a) and crustal movements during 1952. 8—1962. 6 in Miura Peninsula. Unit mm. (b) (after T. Dambara, 304).

Table 3.1. Precise levelling surveys along the Miura Peninsula since 1952.

Obs. No.	R O U T E		
	West coast (Via Kamakura)	East coast (Via Yokosuka)	BM5367.2- F(Ab)
I	Sept. 1952	Sept. 1952	Sept. 1952
II	Feb.—Mar. 1955	Feb.—Mar. 1955	Mar. 1955
III	June—July 1957	June—July 1957	July 1957
IV	June 1960	June 1960	June 1960
V	June—July 1963	June—July 1963	July 1963
VI	May—Sept. 1965	May—Aug. 1965	May 1965
VII	J.—Feb.—M. 1968	Jan.—May. 1968	Feb. 1968

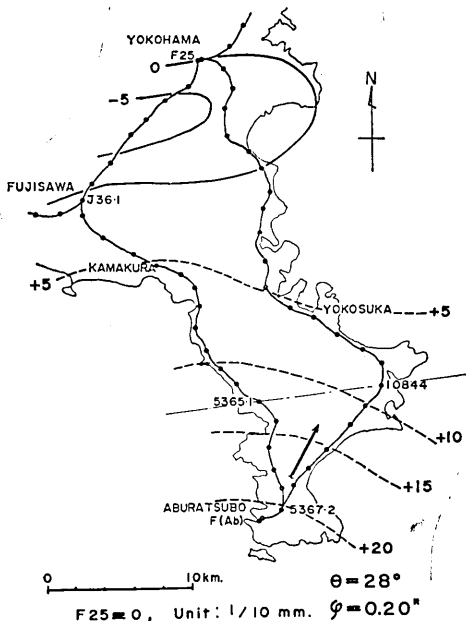
—F(Ab) を測量していた時期で代表させ、水管傾斜計と比較することにした。（表の右端参照）時期毎に各水準点の垂直変動量を求め、いわゆる正弦法によって最大傾斜の方位とその大きさを算出した。計算は地震研究所の IBM 360/40 計算機によった。第 3.8 図 (a)～(f) は以上の結果を示した図である。半島全体の垂直変動とあわせて南端地区につい

Sept. 1952—Mar. 1955



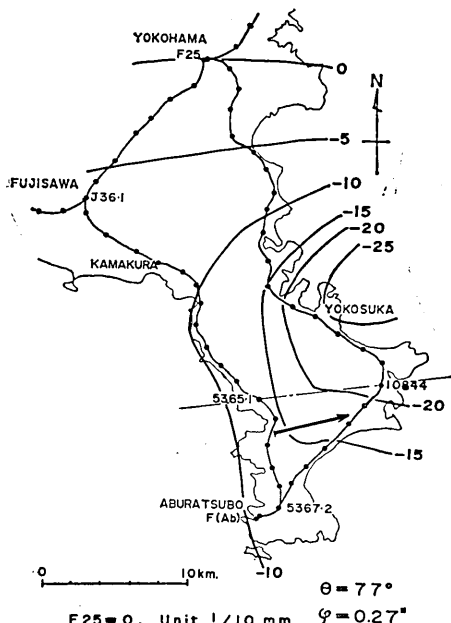
(a). I (Sept. 1952—Mar. 1955)

Mar. 1955—July 1957



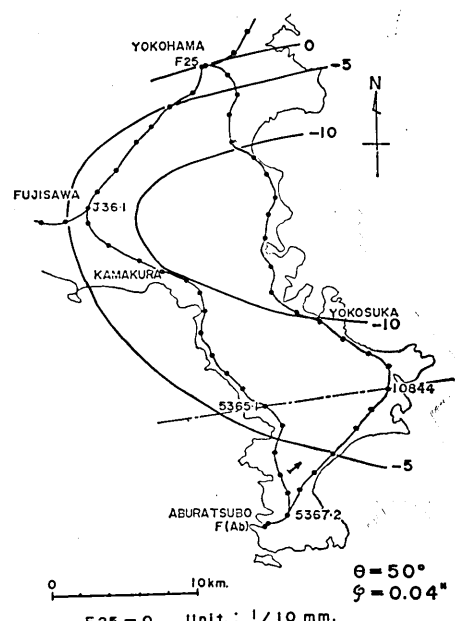
(b). II (Mar. 1955—July 1957)

July 1957—June 1960



(c). III (July 1957—June 1960)

June 1960—July 1963



(d). IV (June 1960—July 1963)

Fig. 3.8 (a)-(f). Vertical movements in Miura Peninsula during 1952-1963.

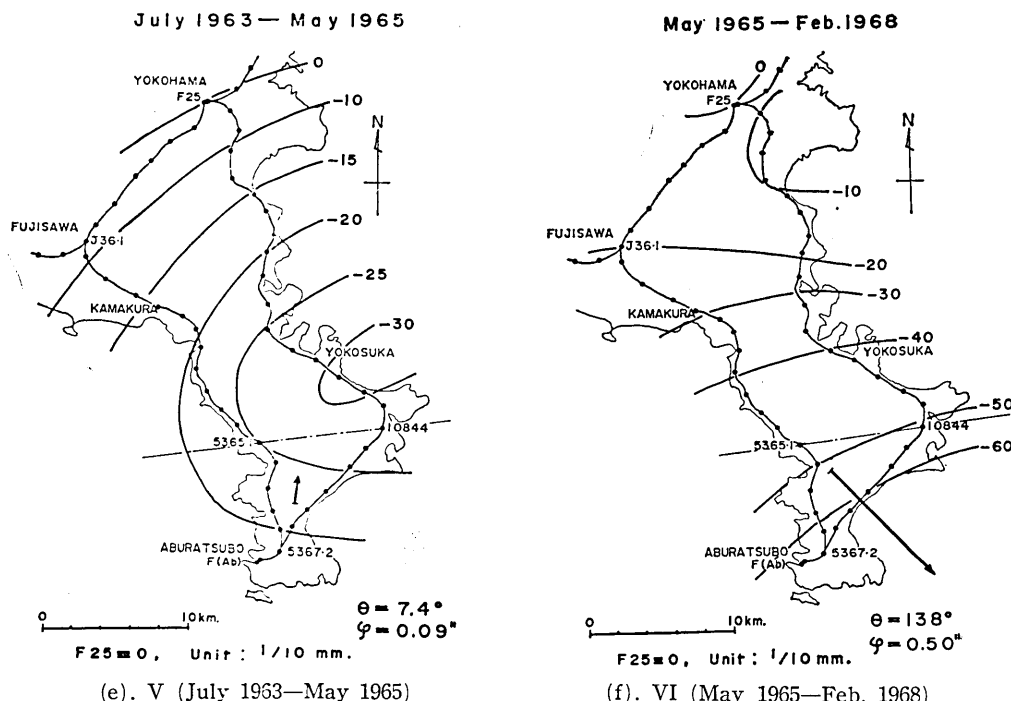


Fig. 3.8.

ては上記の方法によって求めた数値と傾斜量をベクトル表示してある。

#### 4. 水管傾斜計と水準測量の比較

第3.9図は水準測量と水管傾斜計の結果を土地傾斜のベクトルに表示して比較したものである。実線は水準測量をあらわし、第3.8図(a)～(f)の各ベクトルを逐次継ぎ合わせたものである。破線は水管傾斜計で第3.4図の測量回次番号の順、すなわち観測所至近の

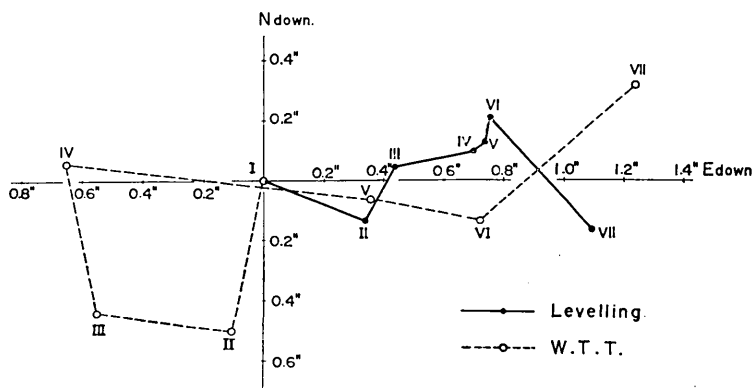


Fig. 3.9. Comparison of levellings with tiltmeter observations at Aburatsubo.

測量の行なわれた月を結び合わせたものである。図を見てわかる通り I—IV (Sept. 1952-June 1960) を結ぶと水管、水準両者は大きさ相等しく方向反対で、III—V (July 1957-July 1963) をとると方向は一致するが大きさが 3 倍もちがう。しかし I—VI (1952-1965) I—VII (1952-1968) のように長い目でみるとかなりよい一致を示している。

### 5. 観測結果に対する考察

檀原<sup>310)</sup>は既に1965年に三浦半島における水準測量と水管傾斜計の観測結果の比較を論じている。その資料は全く同じもので、筆者はその後数年分を加えたに過ぎない。その方

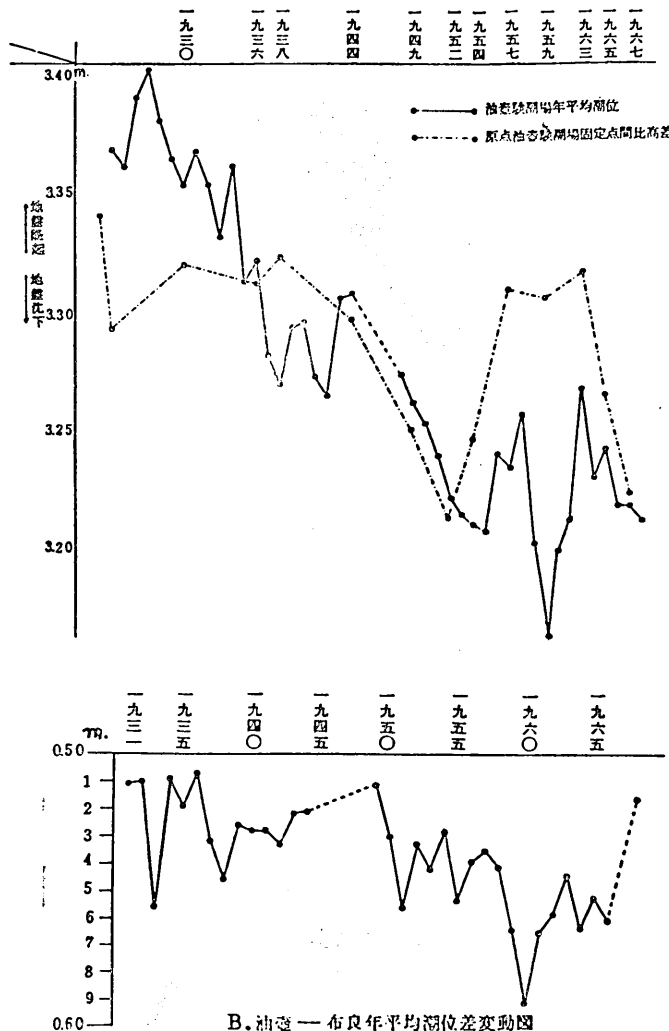


Fig. 3.10(a). Comparison of the annual mean sea level at Aburatsubo (solid line) with the vertical displacement of Aburatsubo relative to Tokyo (broken line).

(b). Differential annual mean sea level of Aburatsubo to Mera. (after G.S.I.)

法は水準測量の結果を水管傾斜計の2成分の方方位に分解し比較したものであった。

今回は12ヶ月移動平均による傾斜観測値を使用し、期間を月単位で比較するなど、よりきめ細かな配慮を行なったにも拘わらず結果において前者と矛盾するところがなかった。

なお、鋸山観測所の結果とも比較してみる。鋸山の観測は1959年に始まる。1968年までの変動を同期間の油壺とくらべると約半分の量であるが、最も基本的な傾向が東下りである点において両者とも一致している。1970年以降の東下りの変動は三浦・房総地区の一般的変動と考えられる。油壺・鋸山両観測所相互の関係については項を改めて述べる。

次に駿河潮結果と比較してみる。第3.10図(a), (b)は前記地殻活動調査室<sup>310)</sup>の資料であるが、(a)図は油壺駿河潮の年平均潮位と水準原点・油壺駿河潮固定点間の比高差を示す。両者は1960年を中心に前後4~5年間は平行性がよくない。その原因は不明であるが、ダイナミックな海洋現象による平均潮位の擾乱、あるいは月の昇降点周期の18.6年の潮位が何らかの機構で増幅されたものでなかろうかなどの推測がなされている。この期間はまた水管傾斜計が円軌道を描いている時期に含まれる。檀原<sup>311)</sup>は水準・水管両者が不一致の理由のひとつに、海岸に近接して設置した水管傾斜計は海の影響を強く受けるから、水準測量の広域傾斜と異なる特殊な傾斜運動を示す可能性もあることを挙げている。以上のことから推して水管傾斜計の円軌道変動の原因もあるいは海の影響ではなかろうかと考えられる。(b)図は油壺と房総半島の南端布良の年平均潮位差の変動図である。その説明によれば、1931年以降30数年間に油壺は布良に比べて直線的に5cm程沈下しているように思われること、(a)図のような10数年周期の変動が現われていないことから、油壺と布良はこのような周期変動に対して平行運動をしていたとみられるとの趣旨が述べられている。しかし、最近の20年間についてみれば、1960年を境にこの西下りの運動が若干東下りに転じているように見える。このことは油壺付近の水準測量、水管傾斜計および鋸山の水管傾斜計の結果と矛盾しない。

## 6. 油壺の土地上下変動と傾斜変動

藤田<sup>312)</sup>は水準原点—油壺(BM. 5367.2)間の水準測量の結果(第3.10図(a))鎖線にはぼ同じ)を原点とF. 25(横浜市保土谷区狩場町)、F. 25と油壺の二つの区間に分けた。そして水管傾斜計のE'W'成分の変動パターンが、後者の区間の変動に類似していることを荻原\*によって指摘された。第3.11図にその比較を示す。F. 25は油壺のほぼ真北に位置している。(第3.7図(a)参照)N'S'成分ならばともかく、E'W'成分の方がよく一致することの理由のひとつは、F. 25の地点が安定で不動点の役目を果していると考えられる。そうであるならば、不動点はどこにあっても同じ結果が得られる筈である。油壺の土地が隆起するときは西下りの傾斜変動を伴なうことをこの図は意味することになる。

一方、横浜に対して油壺が沈下しつつある事実も図の示すところである。すなわち長期間の観測結果から、三浦半島の傾斜変動は油壺の水管傾斜計のE'W'成分によって監視できる可能性が生じた。

以上述べたところをまとめると次の如くである。

(1).水管・水準・駿河潮の三者は互に密接な関係にありながら、必ずしも常に一致する

\* 地震予知連絡会会長

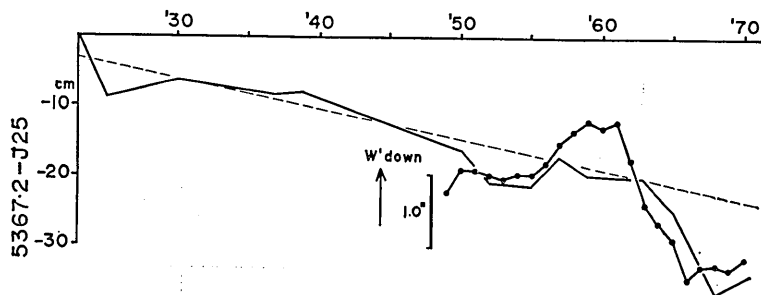


Fig. 3.11 Observed ground tilt (E'W'-component, Aburatsubo) as compared with the levelling data (vertical movement of Aburatsubo referred to Yokohama, after N. Fujita).

とは限らない。その原因は明らかでない。(2). 最近の20年間について云えば、油壺、鋸山の水管傾斜計は1960年を境にして西下りが東下りに転じている。このことは三浦半島南端部の水準測量、油壺、布良の駿潮結果と矛盾しない。(3). 三浦半島の傾斜変動を監視する際に、油壺の水管傾斜計は重要な役割をもつ。(4). 油壺、鋸山の水管傾斜計の細かな変動については検討の必要がある。

## 7. 鋸山観測所と房総半島の水準測量

三浦半島の一等水準測量が頻繁に行なわれているのに引かえ、房総半島では最近までに5回行なわれているに過ぎない。第1回1898年(明治31)、第2回1924年(大正13)、第3回1931(昭和6)、第4回1965年(昭和40)である<sup>313)</sup>。水準路線は千葉市に始まり房総半島を一周し、千葉市に帰る環状路線が主要なものである。最近(1969年)再測が行なわれたが、取あえず前回分までについて考察を行なうこととする。鋸山において水管傾斜計の観測が始まったのは1959年である。観測所付近を通る水準路線は南北方向であるから、観測所周辺を詳しく知るためにはこれと直交する路線が必要である。観測所設立と同時に保田(BM. 3870)・鴨川間の県道に沿って7km. の区間に5点の水準点を特設した。岡田ら<sup>314)</sup>はすでに4回の測量を実施したが、充分な変動があらわれていない。

宮部<sup>315)</sup>は関東地震の前後の房総半島の地殻変動を詳しく論じている。それによると房総半島は、地震の前には南上りの運動を続けていたが、地震後は木更津・勝浦を結ぶ線を軸として南下りに転じた。この軸について矢部長克より大滝断層の存在から岬・大原の線とするも同様であると指摘された。

次に地震後の3回の測量結果について調べてみる。第3.12図は千葉・館山・茂原間の水準点の変動図である。地名は第3.13図により位置を知られたい。1924年基準1931年、1931基準1965年の二つの変動を示す。木更津・勝浦間をみると、前者の形を保ったまま木更津が80mm、勝浦が160mm隆起し、結果として西下りの傾向がうかがえる。ただ、湊・丸山間が少々隆起に取残されている。第3.13図は宮部が作った房総半島のブロック運動図である。図は水準路線に沿って24ブロックに分かれている。各ブロック毎に地震前後の変動がベクトルによって示されている。その傾向は概して海岸線に対して海に向って下っ

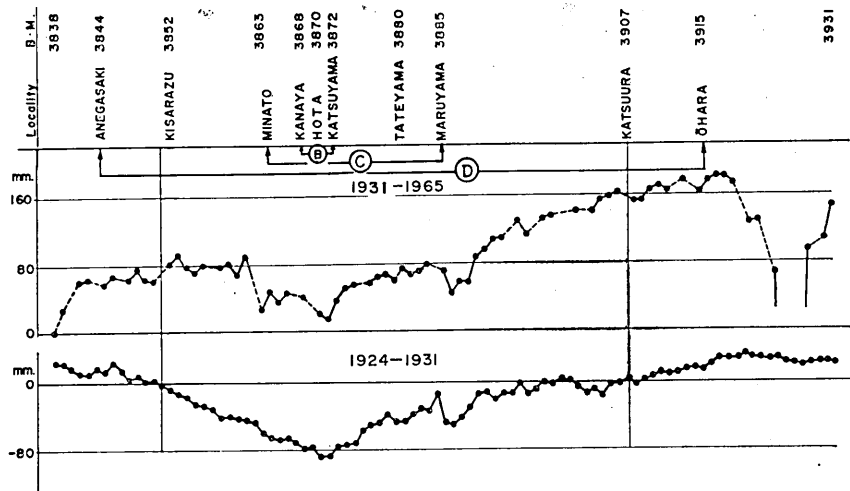


Fig. 3.12. Vertical displacements of the bench-marks in the Bōsō Peninsula during the period 1931-1965 (upper) and 1924-1931 (lower).

ているが、葉山・横岡隆起帶においては東下り、木更津・湊間では北下りから西寄に反転している。鋸山観測所は第10番（金谷）のブロックに属している。観測所の位置■印と水準測量の1965年の変動は筆者が加筆したものである。

さて、水管傾斜計との対応を考えるに当たり水準測量の領域を三つに分けしめる。すなわち、姉ガ崎一大原の大ブロック、湊一丸山の中ブロック、そして第10番の金谷一勝山の小ブロックである。第3.12図の①、②、③の記号をつけた区間がそれぞれ上の三ブロックに対応する。ここで、大ブロックは中ブロックを含み、中ブロックは小ブロックを含む。故に鋸山観測所はこの三つのブロックのいずれにも属しているわけである。

各ブロックについて宮部の方法によって最大傾斜角とその方位を求めたものが第3.14図である。図で②ブロックの決定には×印、③は×印と○印、そして①ブロックは×○●印によって正弦曲線を決定する。なお、②ブロックの変動は藤井<sup>305)</sup>の図より求めた。第3.15図の①、②、③は得られた結果である。ここで、水準測量は34年間（1931-1965）、水管傾斜計は10年間の値である。そのため便宜上その期間の平均速度をもって両者を比較することにする。図に示す如く、①ブロックは、N70°Wの方向に0.021"/年、②はN10°Wで0.015"/年、③はN20°Wで0.053"/年の速度で傾斜した。一方水管傾斜計は第3.6図よりN55°E、0.08"/年と求めることができる。そこで、中ブロックの変動③は大ブロック①の影響をうけるから、中ブロックの固有の運動Cと①との和が③として観測されると考える。すなわち③=C+①である。同様にして④=B+③=B+C+①である。鋸山観測所は小ブロックに含まれるから、水管傾斜計の観測値を④とすると、④=A+③=A+B+C+①であらわされる。

以上は考え方を述べたものでA、B、Cは知ることの出来ない量である。蛇足ながら、A+B+C→0または、A+B+C<<①の場合には④≈③を得る。図から察するに現在は④>>①、従って④≈A+B+Cの状態であろう。また34年間にに対する①、③の値はそれぞ

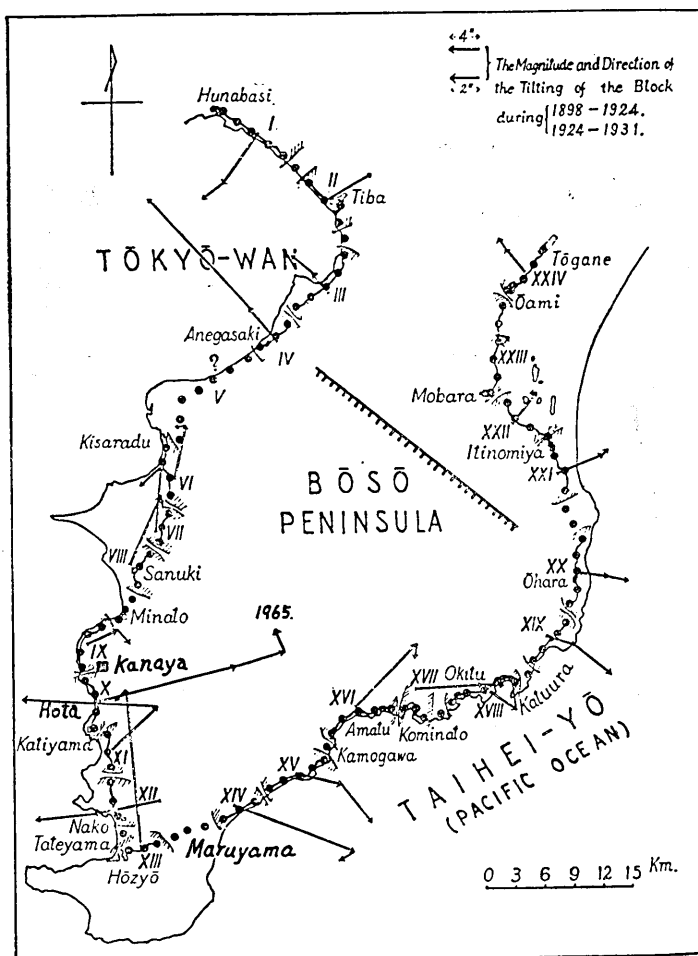


Fig. 3.13. Block movements in the Bōsō Peninsula. (after Miyabe<sup>315</sup>.)

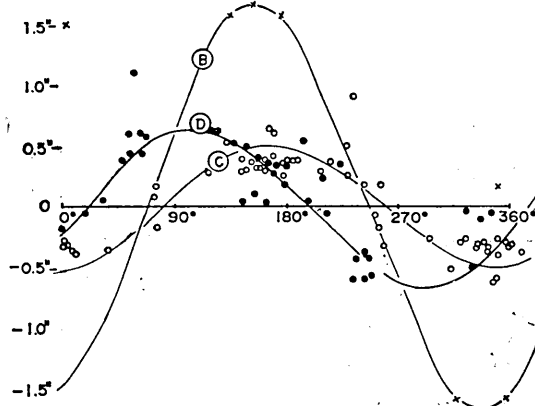


Fig. 3.14. Ground tilt and its azimuth in the three land units interpreted by the Miyabe's method.

註. 第3.13図の金谷の水準変動、姉方崎・大原の断層は筆者の加筆である。

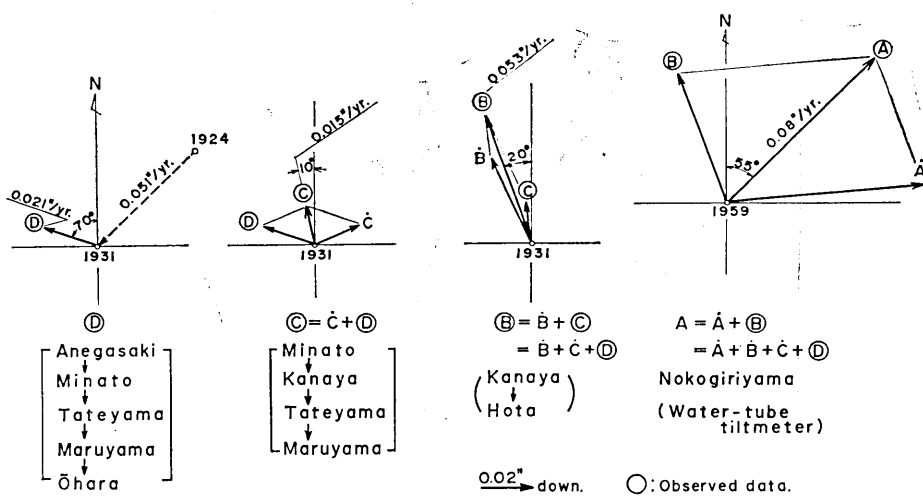


Fig. 3.15. Trends of tilting in the three land units as compared with tiltmeter data.

れ  $0.021''/\text{年}$ ,  $0.015''/\text{年}$ である。この値はさきに述べた藤井が造盆地運動の地域で試算した値および地質学的調査結果である  $0.01''/\text{年}$ に近い。(50 頁) ⑩ 地域は活断層を含む不安定な地帯である。水管傾斜計は第 3.6 図の如く緩急さまざまな変動を示す。従って、8 年間で  $0.08''/\text{年}$ であるが、最初の 4 年間では  $0.14''/\text{年}$ となる。このように長期間の観測により次第に広範囲の水準測量あるいは地質学的調査と調和してゆくことが期待される。

## 8. 油壺と鋸山の水管傾斜計の比較

第 3.16 図は油壺・鋸山両観測所の水管傾斜計の年平均値のベクトル図である。大きさ

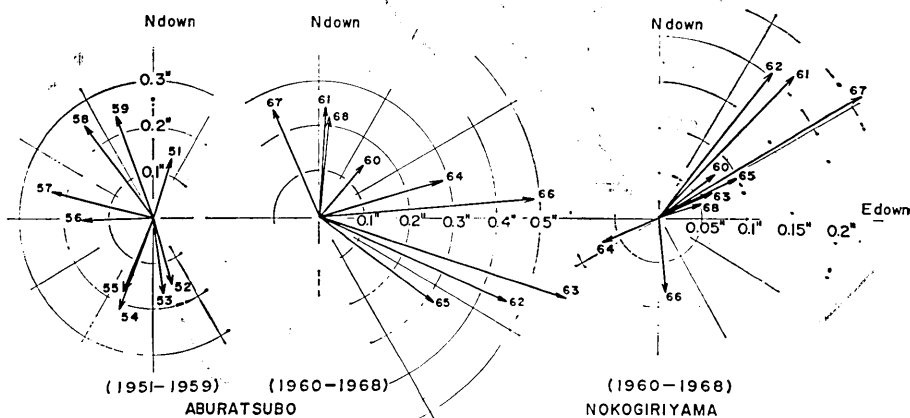


Fig. 3.16. Annual mean values of tilting observed at Aburatsubo and Nokogiriyama.

は鋸山を油壺の2.5倍に拡大してある。1960年以降の両観測所の年ごとの方位を比較しても、よい一致を見出すことができない。しかし、全体的に見れば、東下りの傾向が基本的なものであることでは一致している。さきに第3.4図、第3.6図に両観測所の月平均の変動をベクトルで示してある。両者を比較するために最もよく一致するように重ね合わせてみたのが第3.17図である。図の太線・黒丸・太字は油壺、細線・白丸・細字は鋸山のものをあらわす。図は次のようにして作られた。(1) 鋸山の尺度を油壺の2.5倍にとる。(2) 油壺の1961年1月と鋸山の1960年1月とを合致させる。(3) 鋸山の座標を $27^{\circ}$ 反時計式に廻し、南北を反転する。

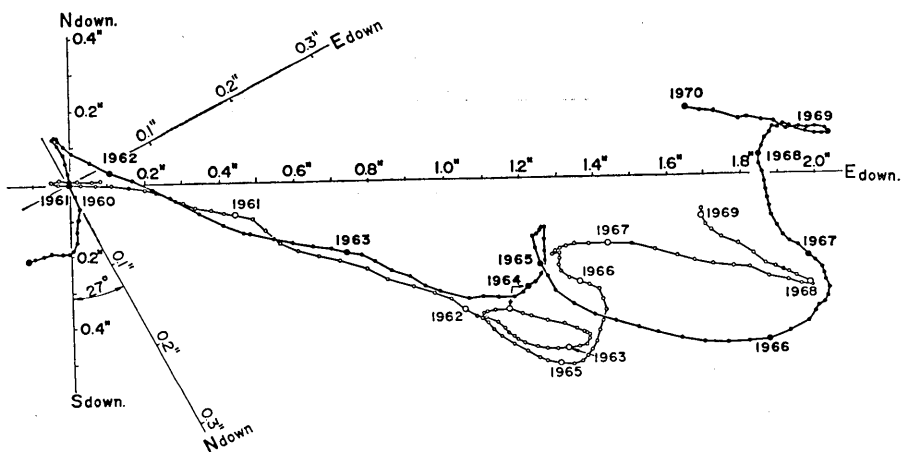


Fig. 3.17. Comparison of secular ground tilting at the two adjacent stations Aburatsubo (thick line, closed circle and thick letters) and Nokogiriyama (thin line, open circle and thin letters).

傾斜変動は次の四つの型に分類できるように思う。A. 急激に方向転換をする。B. 一方向に急激に流れる。C. 大きな円弧を描き、D. 時に環状を形成する。点と点の間隔は歪速度をあらわしていると考えられるが、運動が方向を転換しようとするとき、曲り角付近において変動速度は鈍化する。

さて、上述の四つの型について両者の変動をくらべてみると、非常によく一致していることに気付くであろう。図の大きな丸はその傍の年号の1月を示す。従って、時間的に鋸山が油壺に対して1年間現象が先行している。すなわち、発生源は鋸山の東にあり、地殻歪は西に移動してゆくと考えられる。

## 9. 観測結果に対する考察

以上油壺・鋸山両観測所の水管傾斜計の観測結果を比較したが、次の三点の問題を考えられる。a. 鋸山の南北反転の理由。b. 時間遅れの理由。c. 油壺の変動が鋸山の2.5倍大きい理由。以下順に考察を試みる。

### a. 鋸山の南北反転について

三浦・房総地区の造構運動を論ずる際に嶺岡・葉山隆起帯が常にその中核をなしている

### NOKOGIRIYAMA

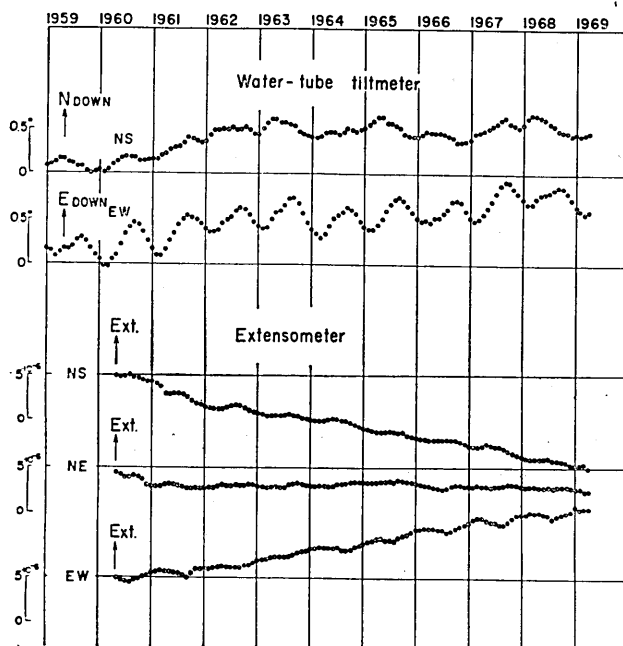


Fig. 3.18. Ground tilts and strains at Nokogiriyama (monthly mean values).

### ABURATSUBO

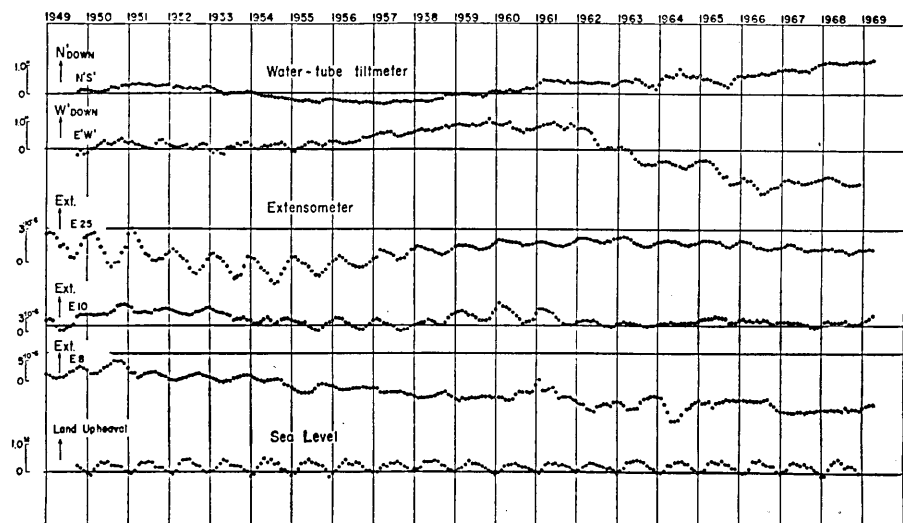


Fig. 3.19. Ground tilts and strains at Aburatsubo (monthly mean values).

ことはすでに述べた。(49~50 頁) その分布は第 3.2 図に示されている。油壺は隆起帯の南側に、鋸山は隆起帯の北縁に位置している。

松田・村井のいう三浦半島で北北西—南南東、房総半島で南北方向の強い圧縮力が働くならば(49 頁)，油壺の南下り、鋸山の北下り傾斜変動は、圧縮力によって隆起帯の背斜地形を一層強める向に働いたことの説明になる。さらに伸縮計について調べてみる。第 3.18, 3.19 図はそれぞれ鋸山、油壺の伸縮計の変動を示した図である。(計器の配置は 15 頁参照) 房総半島における南北方向の強い圧縮力に対して鋸山の伸縮計の NS 成分は一様な縮み、EW 成分は一様な伸を示している。一方三浦半島における西偏の圧縮軸は油壺の E8 (N25°W) 成分とほぼ一致するであろう。この成分もまた一様な縮みを示している。油壺・鋸山の座標軸の 27° の差異は、油壺の最も急速に一方向に流れている 1963 年前後の変動の方位に一致するものであり、同時に三浦半島の右ずれ系活断層の走行とも一致するものである。以上のことから両観測所における水管傾斜計の観測結果は嶺岡・葉山隆起帯の構造運動と矛盾していないと考えられる。

### b. 遅れ時間について

第 3.17 図が示すように鋸山の変動は油壺に対してほぼ 1 年先行している。油壺・鋸山間の距離は 20km である。従って変動の伝わってゆく速度  $u = 20 \text{ km/yr} = 0.06 \text{ cm/sec}$  となる。水管傾斜計は傾斜のみを知るものであるが、水準測量が示す如く年間数 mm から 10 数 cm に及ぶ地殻の上下運動の結果として傾斜が観測される。観測区域を三浦・房総地区にとどめる限りわれわれの観測する変動は小区域の地殻表面の凹凸変化に過ぎない。

スカンジナビア半島の隆起運動は有名である。現在も 1cm/年の速度で隆起しているというが、その範囲は広大である。この現象を基にしてマントルの粘性を多くの人が論じている。同様の手法でわれわれの観測からも地殻の粘性を推論できないであろうか。試みに基本的事項を島津<sup>316)</sup>の著書によって述べてみる。粘性流体の基本となるものは Navier-Stokes の運動方程式である。いま座標軸を水平方向に  $x$ 、下向に  $z$  をとれば

$$\rho \frac{DV}{Dt} = -\text{grad. } P + \eta F^2 V + \rho g \quad (3.1)$$

ここで  $\rho$  は密度、 $V$  は速度ベクトル、 $P$  は圧力、 $\eta$  は粘性係数、 $g$  は重力加速度である。

緩慢な現象に対して加速度項それに圧縮性は無視してよい。 $x, z$  方向に対して

$$\frac{\partial P}{\partial x} = \eta F^2 u \quad (3.2)$$

$$\frac{\partial P}{\partial z} = \eta F^2 w + \rho g \quad (3.3)$$

の基本式を得る。ここで  $u, w$  はそれぞれ  $x, z$  方向の速度、粘性流体は  $z=0 \sim \infty$  に存在しているとする。これに非圧縮性の条件  $\text{div. } V=0$  を加え、未知数  $u, w, P$  が

$$\begin{pmatrix} u \\ w \\ P \end{pmatrix} = \begin{pmatrix} u'(z) \\ w'(z) \\ P'(z) \end{pmatrix} e^{iLz} e^{-t/\tau} + \begin{pmatrix} 0 \\ 0 \\ \rho g z \end{pmatrix} \quad (3.4)$$

の形で解けると仮定し、実際に解答が得られるのである。ここで求めたいものは、緩和時間 ( $\tau$ ) と粘性係数 ( $\eta$ ) の関係である。途中の計算は省略し結果のみを示せば

$$\tau = 2\pi\eta/\rho g L \quad (3.5)$$

$L$  は隆起域の半波長である。スカンジナビアの例では、 $\tau = 5280$  年、 $L = 1200$  km、 $\rho = 3.27$  として次の値を得ている。

$$\eta = 1.02 \times 10^{22} \text{ Poises} \quad (3.6)$$

ここでは極めて広大な地域を扱っているので地殻の厚さは無視され、上部マントルのほぼ 1000 km までの平均値と見做されている。

これよりやや小規模のもので、アメリカの大塩湖について同様の解析を行なったものがある。この場合  $\tau = 4000$  年、 $L = 200$  km として

$$\eta = 1 \times 10^{21} \text{ poises} \quad (3.7)$$

を得ている。前例より 1 柄小さいが深さ 100 km までのマントルの平均としている。

竹内は剛体上に厚さ  $H$  の粘性流体がのっている層構造の場合を考えた。そして  $H \ll L$  のとき表層内の運動は主として水平方向の流れであるとして取扱っている。この場合の緩和時間  $\tau$  は

$$\tau = 3\eta/\rho g H^3 \cdot (L/2\pi)^2 \quad (3.8)$$

である。 $(3.5)$  式にくらべて著るしい差異は  $\tau \propto L^2$ 、すなわち長波長の凹凸ほどつぶれにくいことをあらわしている。

南関東地区について金森<sup>317)</sup> は重力異常および爆破地震動の結果からモホ層の深さをきめた。それによると深さは 31.3 km、また密度  $\rho$  は平均して 3.00 の値を得ている。神沼<sup>318)</sup> はレーリー波の位相速度から地殻の厚さを決定している。この場合波動の到来方向によって多少異なるが、27~30 km の値を得ている。国土地理院<sup>319)</sup> が房総・三浦地区的水準測量の結果をまとめた上下変動図を見ると、隆起域の半径は 30~35 km である。

スカンジナビアや大塩湖の例では地殻は無視できるほど大規模なものであるが、南関東地区における上述の資料は地殻部分の粘性についての情報も充分に含むものと考えることができる。しかし、移動性地殻変動について実際に適用し得る計算式をわれわれは持たない。いま仮に  $(3.5)$ 、 $(3.8)$  式によって  $\eta$  を求める試みを許されたい。 $L = 60$  km、 $\rho = 3$ 、 $\tau > 1$  年（仮に 1 年とする），

$$\eta = \rho g L / 2\pi \cdot \tau = 1/6 (3 \cdot 10^3 \cdot 10^6) \cdot 3 \times 10^7 = 9 \times 10^{16} \text{ Poises} \quad (3.9)$$

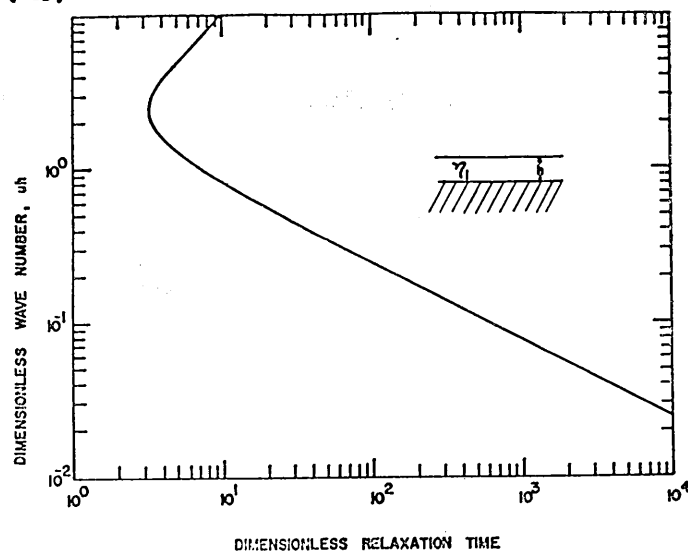
また、

$$\eta = \rho g H^3 / 3 \cdot (2\pi/L)^2 \cdot \tau = 8.1 \times 10^{17} \text{ Poises} \quad (3.10)$$

となる。McConnell<sup>320)</sup> は種々な層モデルについて波数と緩和時間との関係を理論的に求めた。第 3.20 図はその一例である。

- (a) は半無限の剛体上に一層の粘性流体がつっている場合、
- (b) は半無限の粘性体の上に粘性係数の異なる層がついている場合である。ここで、座標軸の

(a)



(b)

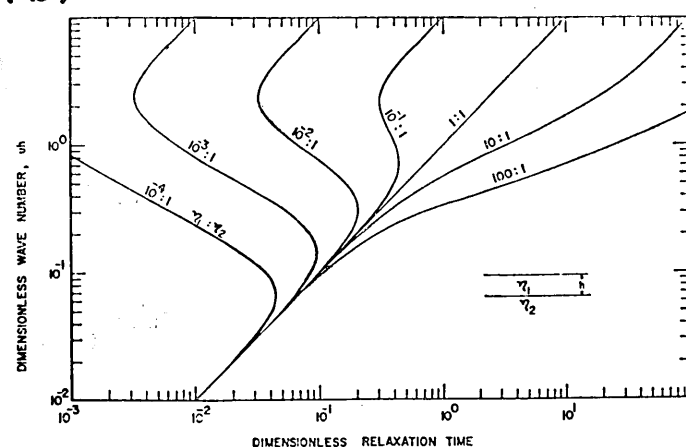


Fig. 3.20. (a) Relaxation time as a function of wave number for a single viscous layer over a rigid half-space.  
 (b) Relaxation time as a function of wave number for a viscous layer overlying a viscous half-space. (after R. K. McConnell)

$$\text{Dimensionless relaxation time } \bar{\tau} = \frac{\rho g h}{2\pi} \cdot \tau \quad \left. \right\} \quad (3.11)$$

Dimensionless wave number  $uh = h/\lambda$  ( $\lambda$ : 波長)

であらわされるものである。いま、 $h=30\text{km}$ 、 $\lambda=120\text{km}$  とすると、 $uh=30/120=0.25$ ,

これに対する  $\tau$  の値は、(a) 図では  $10^2$  である。

$$\eta = \rho g h / 2\bar{\tau} \cdot \tau \quad (3.12)$$

より

$$\eta = 3 \cdot 10^3 \cdot 3 \times 10^6 / 2 \times 10^2 \cdot 3 \times 10^7 = 1.4 \times 10^{15} \text{ Poises} \quad (3.13)$$

次に (b) 図において  $\eta_1/\eta_2=10^{-1}$  の場合  $\tau=0.22$  である。 (3.12) に代入して

$$\begin{cases} \eta_1 = 6.1 \times 10^{17} \text{ Poises } (h=0 \sim 30 \text{ km}) \\ \eta_2 = 6.1 \times 10^{18} \text{ " } (h>30 \text{ km}) \end{cases} \quad (3.14)$$

同様に  $\eta_1/\eta_2=10^{-2}$  の場合  $\tau=0.2$

$$\begin{cases} \eta_1 = 6.8 \times 10^{17} \text{ Poises } (h=0 \sim 30 \text{ km}) \\ \eta_2 = 6.8 \times 10^{19} \text{ " } (h>30 \text{ km}) \end{cases} \quad (3.15)$$

以上種々な式によって地殻の粘性の試算を行なったところ  $10^{15} \sim 10^{18}$  の値を得た。

第3.22図は地表からの深さに対する種々な粘性モデルを示したものである。たとえば、McConnell 7, 竹内のモデルでは地表に近いところは  $10^{20}$  程度の値である。試算の結果はこれらのモデルに比べてそれほど不自然ではないようと思われる。しかし、 $\eta=10^{20}$  として逆に  $\tau$  を求めてみると、McConnell (b) 図によるものを除きいずれも  $10^3 \sim 10^4$  年を超える値となる。

(b) 図において、 $\eta_2=10^{20}$  にすると  $\tau=16$  年 ( $\eta_1/\eta_2=10^{-1}$ )、 $\tau=1.5$  年 ( $\eta_1/\eta_2=10^{-2}$ ) となる。移動性地殻変動のゆらぎが  $10^3$  年も保存されることとは考え難いところであるが、20年程度なら可能とするならば、たとえば、1953年の房総沖地震の影響が 1963 年に鋸山にあらわれることも起り得ることである。さきの計算式にはそれぞれの条件 (Haskell (3.5) は  $L/H \rightarrow 0$ , 竹内

(3.8) は  $L \gg H$  ) が含まれている。またアイソスタティックな均衡作用と波動的挙動の移動性地殻変動の現象とでは自から異なるであろう。しかし、同じ粘性媒質の作用であるならば、われわれの観測からも粘性係数が求められてもよいと考える。なお、移動性の現象として、Savage<sup>321)</sup> のトランスマーフォーム断層のデスロケーション・ドリフトの例としてサンアンドレアス断層の 10km/yr, 茂木<sup>322)</sup> による震源の移動系列についてアナトリア断層 (80km/yr) などの例をあげることができるが、こうした事実も移動性地殻変動と関係があるように思われて興味深い。また、房総・三浦地区における隆起域の半径がモホ層の深さに一致することも注意をひく事柄である。

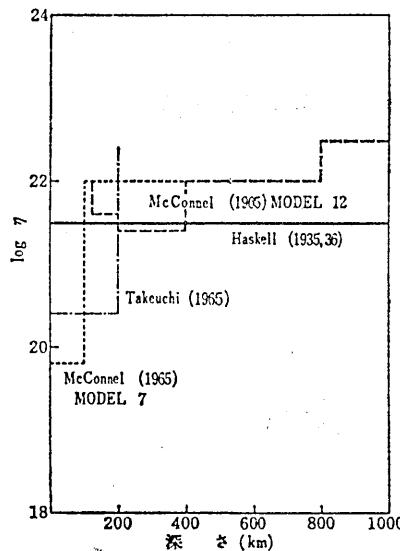


Fig. 3.21.  $\log_{10}\eta$  viscosity versus depth in kilometers.  
(after Y. Shimazu<sup>316)</sup>.)

ここではマントルの粘性流動が地殻の緩慢な傾斜変動に重要な役割をもつこと、今後の地殻変動の研究にレオロジカルな考えが重要であること、鋸山の変動から油壺の変動を予測する可能性を生じたことを指摘しておきたい。

#### c. 油壺の変動が鋸山の2.5倍大きいこと

鋸山の変動が油壺に対して1年間先行していることは発生源が鋸山の東側にあることである。従って、均質な媒質が一様に分布しているならば、遠い側の油壺の変動が近い側の鋸山より小さい方が自然である。然るに実際は油壺の変動が鋸山の変動より2.5倍も大きい。この事実を説明することはかなりむつかしいと思う。

安藤<sup>323)</sup>は関東地震(1923)の震源パラメータを地殻変動の資料を用いて推定した。それによると断層面の長さ130km, 巾65km, dip 45°, その走向N45°W, そして断層面の運動として逆断層成分3m, 右ずれ成分6mの値を示している。すなわち、相模トラフを境にして西側の地殻のブロックの斜面の上に上記の東側のブロックがずり上った相対的な運動を起したと考えている。第3.22図は相模湾付近の地図で、破線は安藤による関東地震の断層面と地表との交線である。油壺・鋸山両観測所はこの断層面の直上投影面に含まれるが、断層線までの水平距離の比は、14km:30km≈1:2である。このことは両観測所の傾斜変動の大きさの比が2.5:1であることと関係がありそうに思われる。そうであるならば、移動現象はサンアンドレスやアナトリア断層の例の如く相模トラフ沿に伝播していくものかも知れない。その場合、伝播速度は20km/yr·cos45°≈15km/yrで、粘性係数も若干増加が期待される。以上問題の解決に至らないが、手がかりになると思われる事項を述べた。

#### d. 実験室における岩石の粘性係数

岩石の一軸圧縮によるクリープ試験の結果に Maxwell モデルと Voigt モデルを直列

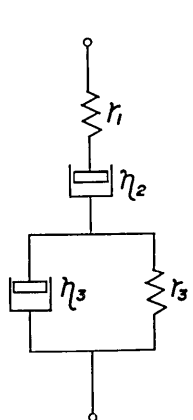


Fig. 3.23. Burgers model.

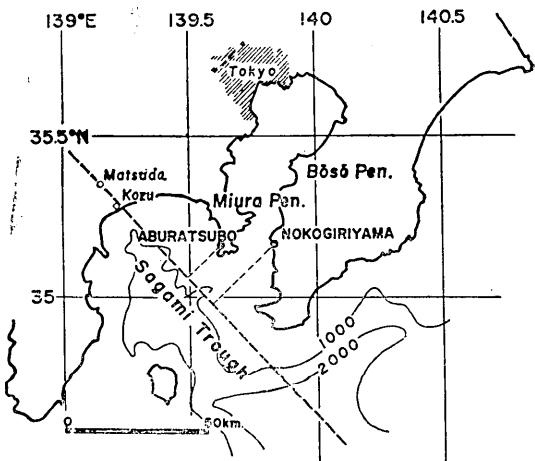


Fig. 3.22. Sketch map of the South Kanto district. Broken line denotes the fault trace of the great Kanto earthquake. (after Ando,<sup>323)</sup>).

に連結した Burgers モデルを適用した場合について山口・西松<sup>324)</sup>の著書を引用する。

岩石のクリープ現象などの変形と力の関係の時間的変化、すなわちレオロジー的性質を説明するのに最近力学的模型による方法が試みられている。第3.23図の Burgers モデルに瞬間的に荷重を加え、その荷重を一定に保った場合の歪  $\epsilon$  と時間  $t$  との関係式は

$$\epsilon = \sigma_0 \left[ \frac{1}{\gamma_1} + \frac{1}{\eta_2} + \frac{1}{\gamma_3} \left\{ 1 - \exp \left( -\frac{\gamma_3}{\eta_3} t \right) \right\} \right] \quad (3.16)$$

である。ここで、 $\sigma_0$  は応力、 $\gamma_1$ 、 $\eta_2$  はそれぞれ Maxwell モデルの、 $\gamma_3$ 、 $\eta_3$  は Voigt のばねの弾性率とダッシュボットの粘性率である。和泉砂岩について上式を適用すると、 $\sigma_0=510\text{kg}$ 、 $\gamma_1=1.0 \times 10^5 \text{kg/cm}^2$ 、 $\eta_2=7.7 \times 10^{17} \text{ Poises}$ 、 $\gamma_3=3.8 \times 10^5 \text{kg/cm}^2$ 、 $\eta_3=7.1 \times 10^{15} \text{ Poises}$  が得られた。

## 10. 松山市における水管傾斜計の観測

1946年12月21日の南海地震は四国各地に大きな地盤変動をひき起した。地盤沈下による四国四県の被害総額は地震そのものによる被害額をはるかに上まわるものであった。太平洋岸の地盤変動の回復は急速であったのに比べて瀬戸内海沿岸一帯の沈下運動は進行を続ける一方で留まるところを知らぬ状態が13年間も続いた。そのため沿岸地帯は満潮時、特に台風の高潮に際し海水浸入による沿岸住民の生産活動、日常生活の支障は真に同情に堪えないものがあった。1948年、四国地方経済復興開発委員会の中に地盤変動調査専門委員会が発足し、沈下の調査究明にのり出すことになった。愛媛県土木部は地盤沈下対策として海岸線に沿ってぼう大な護岸工事を行なうことによって災害の解消に当たったが、その必要資料を提供するために松山観測所が設立された。筆者もその一員として観測業務に従事した。観測坑は松山市郊外吉田浜にある旧海軍の防空壕を利用して計器を据付け 1949年（昭和24年）9月より観測を開始した。観測坑は海岸の西 1 km のところにあり 潮汐の影響は鋸山とほぼ同じく、水管傾斜計の諸要目に関しても同様である。（14、15頁参照）観測開始の当初、付近一帯は畠地と草原であったのが10年後には松山空港を残して北部一帯は松山工業地帯となり、現在は民家が密集し市街地と化した。

一方松山市の北東約 40km にある今治を起点とし高縄半島の先端に 8 の字型の閉塞水準路線が高橋教授等によって設けられてあった。

この路線の精密測量は 5 回行なわれているが、最後の 3 回は松山観測所の記録と比較検討のために実施されたものである。専門委員会解散後は地震研究所が観測を続行することになった。1960年（昭和35年）計器基礎台石など観測坑の大改装を行なった。そして今日まで約20年間観測記録を蓄積してきた。

### a. 松山市・高縄半島付近の地盤変動

第3.24図は国土地理院<sup>325)</sup>が行なった高松・宇和島間の一等水準測量から変動量を求めたものである。南海地震の前（1937—1893年）と後（1947—1937）とを比べてみると、地震によって全体的に約 30cm の沈下がみられ、隆起部分と沈下部分の傾向が地震の前後で反対になっている。松山・高縄半島付近について云えば地震前は緩慢な北下りの運動を行な

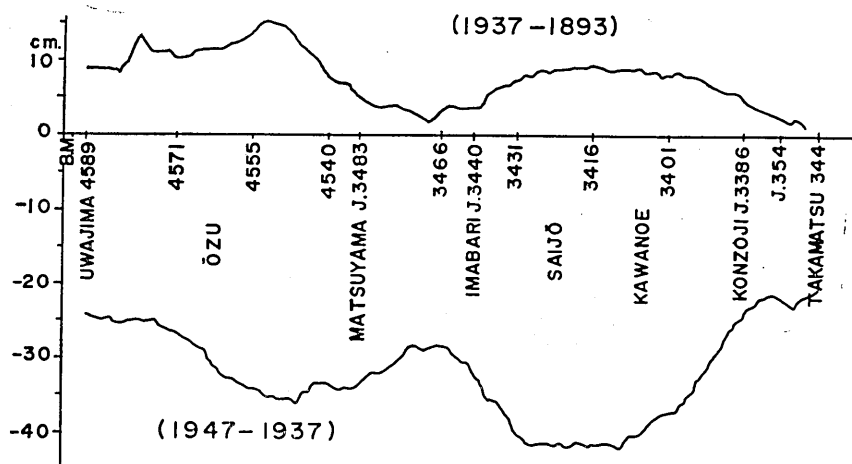


Fig. 3.24. Height changes of bench-marks between Takamatsu and Uwajima during the period 1893-1937 (upper) and 1937-1947 (lower). (after G. S. I.)

なっていたのが地震によって北上りとなり、全般に 30cm の地盤沈下に急速な北下りの復帰運動が加わってこの事態に至ったものと考えられる。

第3.25図は高橋ら<sup>326)</sup>によって作られた高縄半島の8の字型水準路線図である。松山の水管傾斜斜と比較する目的では今治 J.3440 の水準点を不動と仮定して1949年12月、1952年12月、1956年2月の3回の精密水準測量が岡田ら<sup>327)</sup>によって行なわれた。

第3.26図は5回の測量から変動量を求めたものである。さらに正弦法によって傾斜変

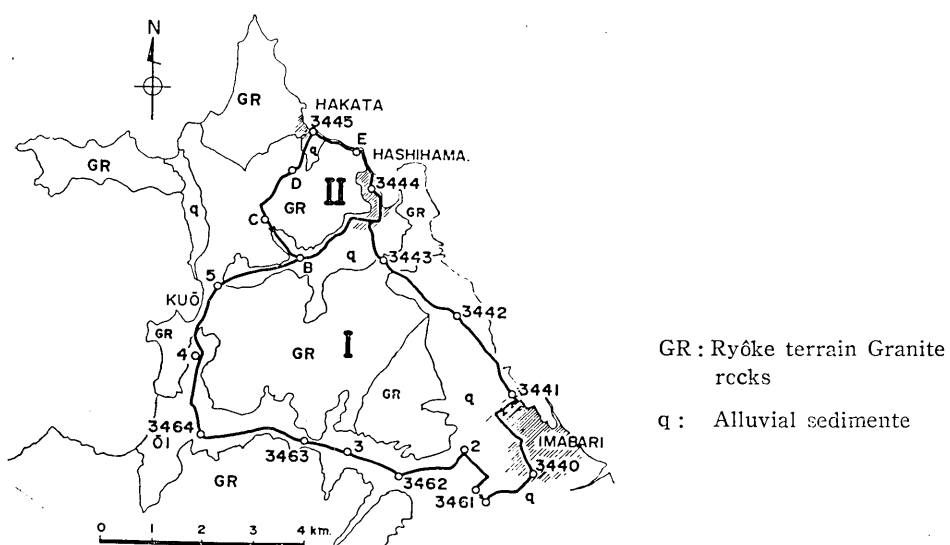


Fig. 3.25. Geological map and levelling route in the Takanawa Peninsula.

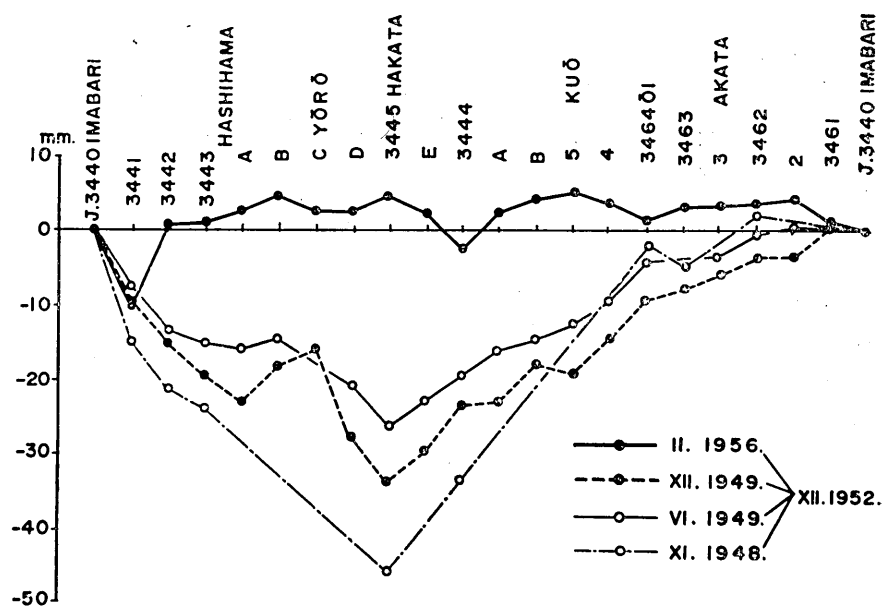


Fig. 2.26. Height changes of bench-marks in the Takanawa Peninsula. (after Okada et al.,<sup>327</sup>).

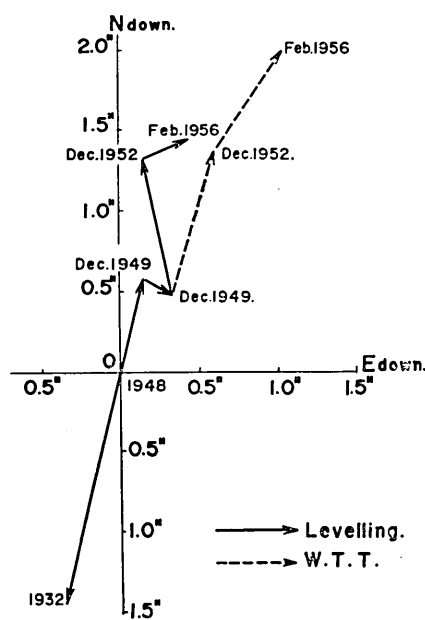


Fig. 3.27. Comparison of levellings with tiltmeter observations at Matsuyama.

動の方位とその大きさを求め、ベクトル表示したものが第3.27図の実線で示されたもので、破線は同期間にに対する水管傾斜計の結果である。水管傾斜計の結果は先に述べた油壺の場合(56頁)と同様、前回と今回の測量期間に対する12カ月移動平均値を結んだものである。水管・水準測量両者の1949年12月～1952年12月の変動は方位、大きさ共40kmも離れた場合としてはよい一致を示している。このことはかなり広範囲に亘って地殻が一様な運動を行なったことを意味し、そのブロックは面積、厚み共に巨大なものであることが推定される。次回の1952年12月～1956年2月の方は、第3.26図に見られる如く第Iリング(南)と第IIリング(北)とは別個の運動をしている。すなわち、

第Iリング: 0.1°N down, 0.2°～0.3° E down.

第IIリング: 0.2°N up, 0.5°～0.6° E down.

愛媛県地質図<sup>328)</sup>によれば、高縄半島は領家帶花崗岩類によって占められているが、第Iリングと第IIリングの境の部分には細長く第四系が挟まれている。このような部分は構造的に折れ曲り易い場所であるかも知れない。ともあれ、次項第3.29, 3.30図水管傾斜計

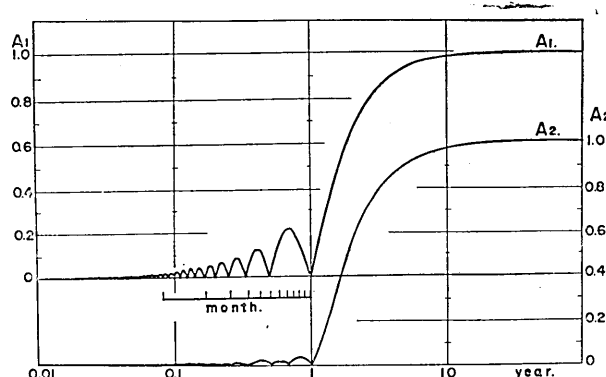


Fig. 3.28. Response of the low-pass filtering by overlapping mean method. A<sub>1</sub>: first filtering (12-month overlapping mean), A<sub>2</sub>: after second filtering (9-month o. m.), data by Shichi.

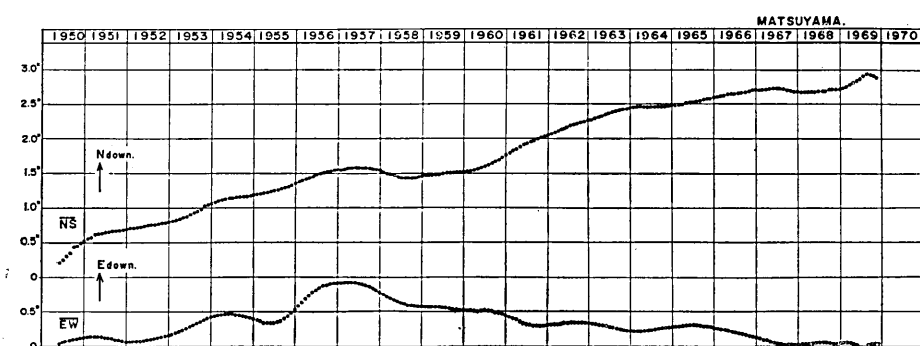


Fig. 3.29. Secular ground tilting at Matsuyama.

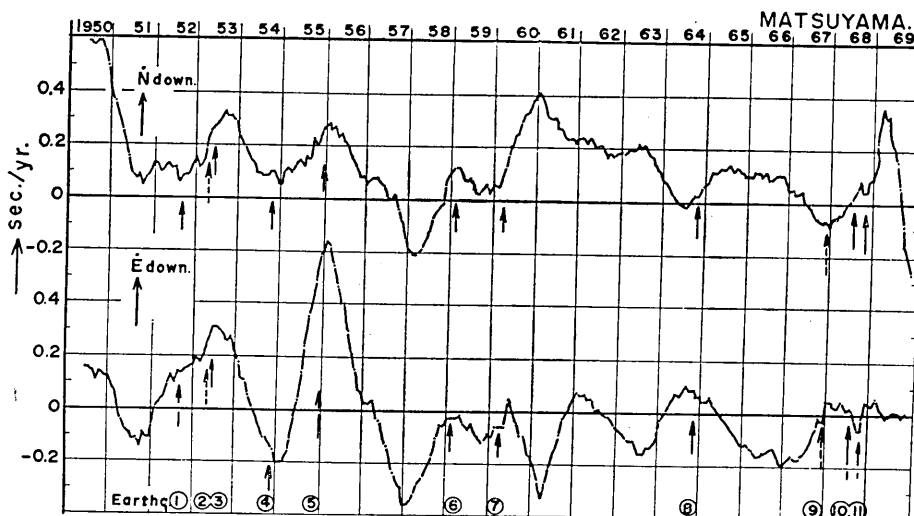


Fig. 3.30. Velocity of ground tilting at Matsuyama.

の経年変化を見れば明らかな如く、この期間は北下り運動が鈍化し、東下り運動が最も活発にならんとする時期に当る。方向については不充分であるが、両者の東西成分の大きさはよい一致を示している。そして翌々1958年(昭和33年)、地盤沈下の終熄が宣せられた。

#### b. 水管傾斜計の観測結果

地盤沈下問題に関して松山の水管傾斜計と高繩半島の水準測量の比較は以上の通りである。しかるに1960年より地盤沈下問題のときに勝るとも劣らない北下り運動が起っている。その原因探究について若干述べてみたい。その方法は多く志知<sup>329)</sup>の助言によるものである。油壺、鋸山の場合12カ月の移動平均だけであるが、これに9カ月の移動平均を加えた。その理由は12カ月だけでは9, 5, 3カ月の周期成分が若干残るが、もう一度9カ月の移動平均を行なうことにより、これらを殆んど除去できる。第3.28図はこのような移動平均法によるデジタル・フィルタの渦波特性で、 $A_1$ は12カ月のみ、 $A_2$ は12カ月と9カ月の移動平均を行なった場合を示す。次に、志知はこの移動平均値の時間微分、すなわち傾斜速度であらわすことにより変動を拡大して観察する方法を試みるよう助言があった。

さて、松山における計器の配置は第1.1表、第1.9図(14, 15頁)に示してある。観測は朝夕2回行なっているが、第2.29図は朝(08:30)の観測値の月平均値を12カ月と9カ月の移動平均を行なったものである。なお、方位を地理学上の東西・南北の成分になおしてある。実際に松山の観測結果について、移動平均12カ月のみと9カ月を加えた場合とでは、後者の方が幾分滑らかになった程度で顕著な差異はなかった。第3.30図は第3.29図を傾斜速度であらわしたもので第3.29図で目立たなかつた変動が顕著に表現されている。ここで注目すべきことは、1960年を境に東西・南北両成分の変動が逆位相になっていることである。すなわち、地盤沈下問題とは別個の要素の変動が生じたものと推定される。地盤沈下終熄宣言(1958年)以降1968年までの10年間の変動を第3.29図より求めると  $N25^\circ W$

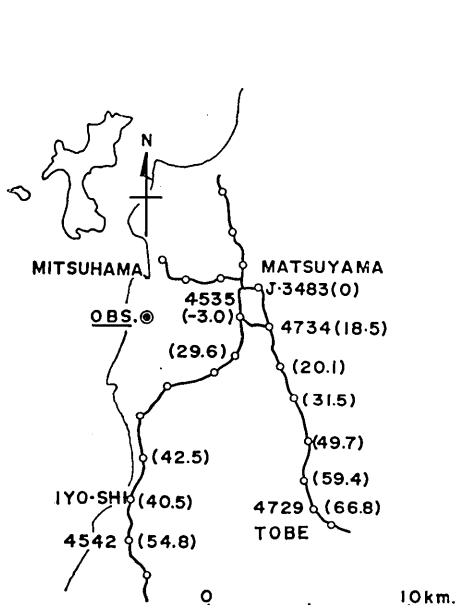


Fig. 3.31. First order levelling route of G. S. I. in Matsuyama area.

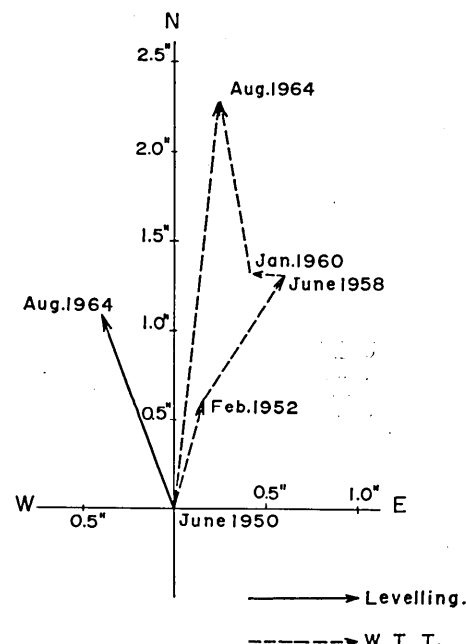


Fig. 3.32. Comparison of levellings with tiltmeter observations at Matsuyama (June 1950—Aug. 1964).

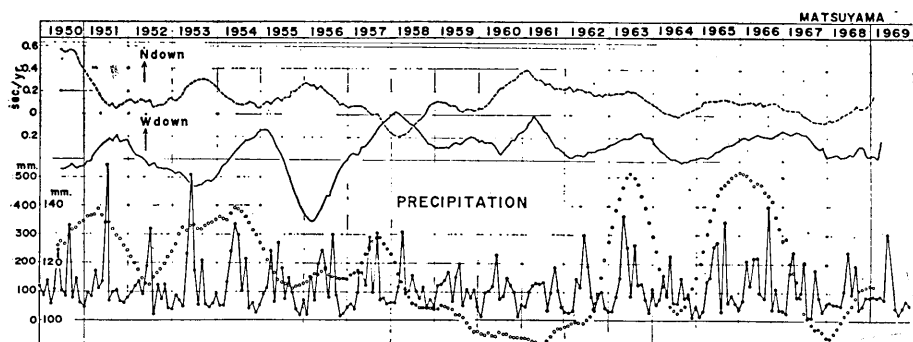


Fig. 3.33. Precipitation and velocity of ground tilting at Matsuyama. closed circle : monthly value, open circle : overlapping mean of the monthly values.

の方向に 1.4 秒角下っている。

#### c. 観測結果と地下水

先ず最近の地盤変動について調べてみる。

第 3.31 図は松山市付近における国土地理院の一等水準路線図である。これらの区間にについて 1950 年と 1964 年に測量が行なわれている。図の括弧内の数字は松山市の J. 3483 を

基準としたときの変動量である。この図に基づいて松山平野南部ほぼ 10km 四方の地域から得られる平均的傾動は N20°W で 1.18 秒角下りである。これと同期間における水管傾斜計は N6°E, 2.32 秒角下りである。第 3.32 図は両者の比較を示したもので、大きさは水管傾斜計の方が 2 倍大きく、北下りの大勢においてますます的一致とみてよいであろう。

次に地下水の影響を調べてみたいと思ったが、地下水の長期的資料が今のところ入手できないので、その補給源である降水量との関係について調査した。第 3.33 図は松山地方気象台の資料<sup>330)</sup>による松山市の月別降水量を 12 カ月と 9 カ月の移動平均したものを傾斜速度と比較したものである。降雨量について、平野部の松山市と山間部とでは差異が認められたが、ひと先ず永続的資料を有する松山市の資料を用いることにした。図において降雨量の増加と共に西下りの傾斜速度が大きくなる傾向がみられ、時間的に 4~5 カ月の遅れが認められる。また、1960 年以降は南北成分も東西成分に酷似の変動をしている。石手、重信の両河川は松山平野を貫流し松山市に水資源を供給している。両河川の合流する松山市西南部一帯は、観測所付近を含めて、その豊かな伏流水に恵まれている。柱状図によれば深さ 130m 程度まで粘土と粘土交砂利、あるいは交砂の互層で、ほぼこの深さまで取水が行なわれている。県当局に伺ったところによると、1959 年~1966 年頃まで毎日 11.5 万トン ( $\approx 1.3 \text{m}^3/\text{秒}$ ) の水が汲上げられ、その大部分が松山臨海工業地帯に向けられていたが、それ以後は逐次工業用水道に切替られて現在に至っているという。

このような大量の水が長期間に亘り汲上げられた場合に地盤変動の起る可能性について、小牧<sup>331)</sup>が四日市で行った調査がある。四日市の場合、揚水量は松山をやや上廻る量であるが工業用水法の指定地域内では地下水位および地表沈下共に揚水量の影響は顕著であるが、その及ぶ範囲は 10km 以内であるとしている。また、井底における地層 1m 当りの年間収縮量は沖積層・洪積層では 0.3~0.4mm、第三紀層ではその 1/5 程度である。小沢<sup>332)</sup>は逢坂山観測所において、近所の養魚場が 1 日 50 トン程度で 30 分毎に 7 分間ポンプを運転する間歇揚水によって生ずる土地変動を伸縮計による群列観測を行なって影響の程度を調べた。この場合、伸縮計の記録上で、ほぼ 25 分間で揚水の影響が回復するので 250m 離れれば長期変動の観測には差支えないとしているが、変動の検知は 500m に及んでいる。

野間<sup>333)</sup>は 1953 年~1957 年の期間に石手川の伏流水の流動状態を 530 点に及ぶ水露頭の比抵抗測定の結果から論じているが、特にわれわれの観測所の南部付近では著しく流速が減じていること、相当内陸部まで海水の浸入が認められることを指摘している。

以上述べた諸例より筆者の言わんとするところは、至近距離において相当量の揚水を行なった際にその影響が傾斜観測の結果にあらわれていない筈はないということである。傾斜の観測結果はさきに述べた通りであるが、傾斜の方向は 1952 年頃より活動を開始した松山臨海工業地帯の諸工場の方向に一致している。観測所よりの距離も 0.5~3km である。しかるに、松山平野における水準測量の結果もまた同様の方位を示している。小牧の言うように揚水の影響が 10km 近くに及ぶとしても松山平野全体の傾斜を支配するところまでは考え難いのである。1960 年より数年間の北下りの急変動、1963 年、1966 年の大量の降雨にも拘わらずそれほど大きな西下りの速度変動を示さないことなどは揚水と深い関係がある。

ようと思われるのであるが、充分な論拠を得るに至らない。引き続き資料の蓄積を待つて研究を続けてゆきたいと思う。

#### d. 観測結果と地震活動

松山観測所が開設された1949年9月から1968年末までの19年間に観測所を中心に半径100kmの距離に入るマグニチュード3.3以上の地震は、気象庁の地震カタログ<sup>334)</sup>によると60個を数える。第3.34図はそれらの震央分布図である。このうち、地殻変動観測計器に歪を捉え得る有効な距離に達していないものは除かなければならない。その規準として檀原<sup>335)</sup>の地震の規模  $M$  と地殻変動の範囲  $r$  との関係式がある。

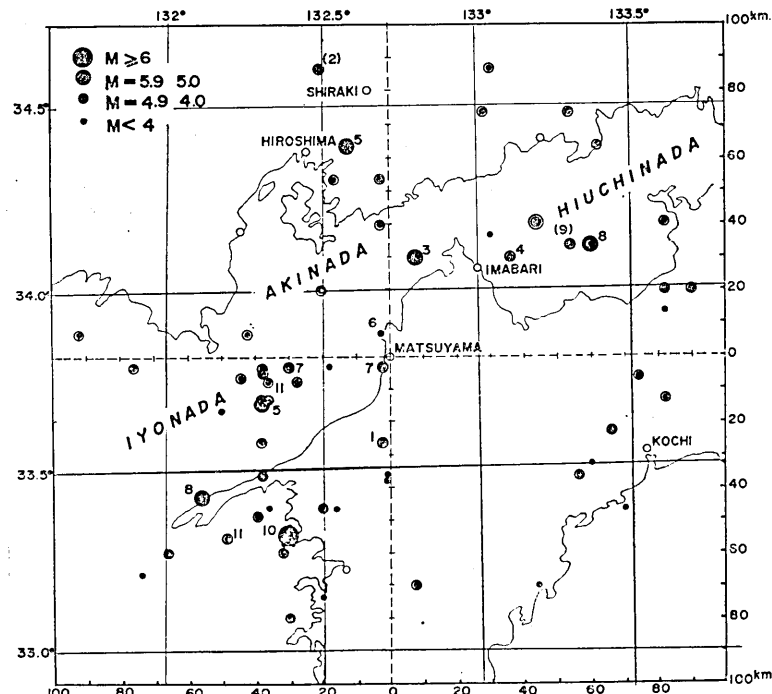


Fig. 3.34. Earthquakes around the Matsuyama Observatory ( $r \leq 100\text{km}$ ). after J. M. A.<sup>330)</sup>.

$$\log r^3 = 1.53M + 8.18 \pm 0.8 \quad (3.17)$$

比較的大きな標準偏差は  $M$  の大きい方に誤差が大きいためであるというが、大きめに見積った概略の値を求めてみる。

$$\log r^3 = 1.53M + 9,$$

すなわち

$$\log r = 0.51M + 3 \quad (3.18)$$

と仮定すると次の値を得る

$M=7.0$ :	$r=37\text{ km.}$	$M=5.0$ :	$r=3.6\text{ km.}$
6.5 :	21	4.5	2.0
6.0 :	7.7	4.0	0.25
5.5 :	6.4		

坪川<sup>336)</sup>は地震のエネルギーが貯えはじまってから地震に至るまでの時間  $T$  と地震の規模  $M$  との関係を

$$\log T = 0.79 M - 4.44 \quad (3.19)$$

の式であらわし、 $T$  を地殻変動の継続時間としている。上式によれば、

$M=7.0$	$T=12\text{ 年}$	4.5	1.6 月
6.5	5	4.0	19 日
6.0	2	3.5	7.6
5.5	10 月		
5.0	3.8		

となる。

Mescherikov<sup>337)</sup>はタシケント、新潟などの地震における地殻変動の経過の例から、その時間的推移を  $\alpha$ ,  $\beta$ ,  $\gamma$  の三期間にわけている。 $\alpha$  を直線的永久変動の期間、 $\beta$  を地震に近く様相の変化する期間、 $\gamma$  を発震時を含む不連続な急激な変動期間としている。その形を三本の折線によって代表させている。

そこで前述の60個の地震のうちから地殻変動の範囲内にあるものを探したが残念ながら

Table 3.2. List of earthquakes on which precursive tilting at the Matsuyama Observatory was examined.

No.	DATE	LAT.	LONG.	DEPTH	MAG.	DELTA
1	5 SEP '52	33.60N	132.70E	35km	4.7	25.7km
(2)	13 APR '53	34.60	132.50	10	4.1	88.0
3	30 JUL '53	34.10	132.80	15	5.2	31.0
4	13 DEC '54	34.10	133.10	5	4.8	46.1
5	5 DEC '55	34.40	132.60	5	5.3	64.3
	30 JAN '56	33.70	132.30	50	5.1	41.3
6	5 FEB '59	33.90	132.70	30	3.5	8.2
7	14 MAR '60	33.80	132.40	5	4.3	29.8
	15 APR '60	33.80	132.70	40	4.4	3.8
8	9 NOV '64	34.12	133.37	20	5.0	68.1
	14 NOV '64	33.43	132.12	60	5.8	71.1
(9)	18 DEC '67	34.12	133.30	60	4.1	62.5
10	6 AUG '68	33.30	132.40	40	6.6	64.0
	23 AUG '68	33.30	132.40	40	4.8	64.0
11	28 SEP '68	33.30	132.20	0	4.6	74.0
	27 OCT '68	33.75	132.30	50	4.4	36.5

該当するものが見当らなかった。そこで比較的近距離で規模の大きなものを選び出したものが第3.2表に示す14個の地震である。(2), (9)は変動の形から逆に地震の存在を調べたものである。次に地殻変動の継続時間  $T$  を考慮に入れながら第3.30図と第3.2表を照合(表の地震番号が図の矢印の番号)してみると、変化の形があると云えばあるようでは判然としない。また、地震以外の変化でないという保証もない。しかし、現在の観測を続けてゆけば上述の適当な距離に該当する大きさの地震が起れば検出可能であると信ずる。松山における20年間の観測において、付近で起った最大のものは日向灘地震(1968年4月1日  $M=7.5$ )である。松山からの震央距離は約180km、地殻変動の範囲には程遠い。その継続時間は31年である。この地震は新潟地震と同規模であり、念珠ガ門付近の水準点変動から坪川(前出336)が定めた  $\alpha$ ,  $\beta$ ,  $\gamma$  の各期間によると、 $\beta$ 期だけでも12~13年間を要している。

松山の東西成分の経年変化が1957年を境に東下りから西下りに転じたことは(第3.29図参照)日向灘地震が $\beta$ 期に入ったことと関係ないであろうか、ともあれ水管傾斜計観測で大切なことは、連続観測の長所を生かし  $\alpha$ ,  $\beta$ ,  $\gamma$  の転換の時間を的確に捉えることである。

#### 第4章 地震活動と水管傾斜計の観測

(松代群発地震の場合)

##### 1. 水管傾斜計観測からみた諸現象

1965年に始まる松代群発地震はその規模においても活動期間においても空前のものであった。この間に地震関係の各分野は総力をあげて調査活動を行なった。気象庁の報告<sup>401)</sup>によれば、地震の回数669,534回、そのうち有感61,319回を数える。地震研究所の地震観測班計測部<sup>402)</sup>では臨時観測網を設けて地震の活動状況を逐次発表しているが、萩原・岩田<sup>403)</sup>はその経過を次の如くにまとめている。地震の活動地域は松代町を中心とし、次第に北東一南西に広がり、その長さは凡そ45km、巾15km、深さは10kmに及ぶ。全期間を5期の活動期に区分できる。

##### 放出エネルギー

第1期(1965年8月—1966年2月)	$252.5 \times 10^{18}$ ergs	( $M=5.7$ の1個分)
第2期(1966年3月—7月)	$841.4 \times 10^{18}$ "	( $M=6.1$ ")
第3期(1966年8月—12月)	$392.1 \times 10^{18}$ "	( $M=5.8$ ")
第4期(1967年1月—5月)	$124.5 \times 10^{18}$ "	( $M=5.5$ ")
第5期(1967年6月—10月)	$51.3 \times 10^{18}$ "	( $M=5.3$ ")

全体として  $M=6.3$  1個分に相当する。

筆者らが気象庁地震観測所の観測坑内に40m水管傾斜計2成分を据えたのは1965年10月である。計器要目、観測坑の平面図は第1.1表、第1.9図(14, 15頁)に示しておいた。同時に水平振子傾斜計2成分、後に4成分に増設して比較観測を行なった。

それらの観測結果の一部はすでに報告した<sup>404)</sup>経年変化については水管と振子型はよい一致を示したが、マグニチュードの大きい地震の前にあらわれる変化や地震と同時に生ず

る段違い変化には両者に著るしい相違が生ずることが多い。この解釈について萩原<sup>405)</sup>は計器を含む岩盤が one-block 運動をするか、小ブロックに分れ将棋倒しのような運動をするかによることをモデルによって示した。また、水管傾斜計からも Strain-step (Tilt step) が計測できることを示した。

水管傾斜計の観測結果は地震活動をはじめ光波測量、断層変位、温泉湧出量などの諸部門の調査に当る人達の関連観測として注目するところとなり、地震活動を予測する手がありとなるので町民の人達にも親まれるところとなった。

松代地震の最盛期にまたがって行なわれた約 1 年半に亘る水管傾斜計の観測結果を第 4.1 図に示す。<sup>406)</sup> 下の図は同じ場所で観測された地震観測所の毎日の地震回数で、地震活動と傾斜変動がよく一致している様子を示したものである。全期間を通じて経年変化は NS 成分 7 秒角、EW 成分 24 秒角に達している。

笠原<sup>407)</sup>は皆神山を中心に光波測量を行なったが、特に北方測線（皆神山—可候）が水管傾斜計（EW 成分）および皆神山周辺の水準測量など地殻変動の諸観測と非常によい

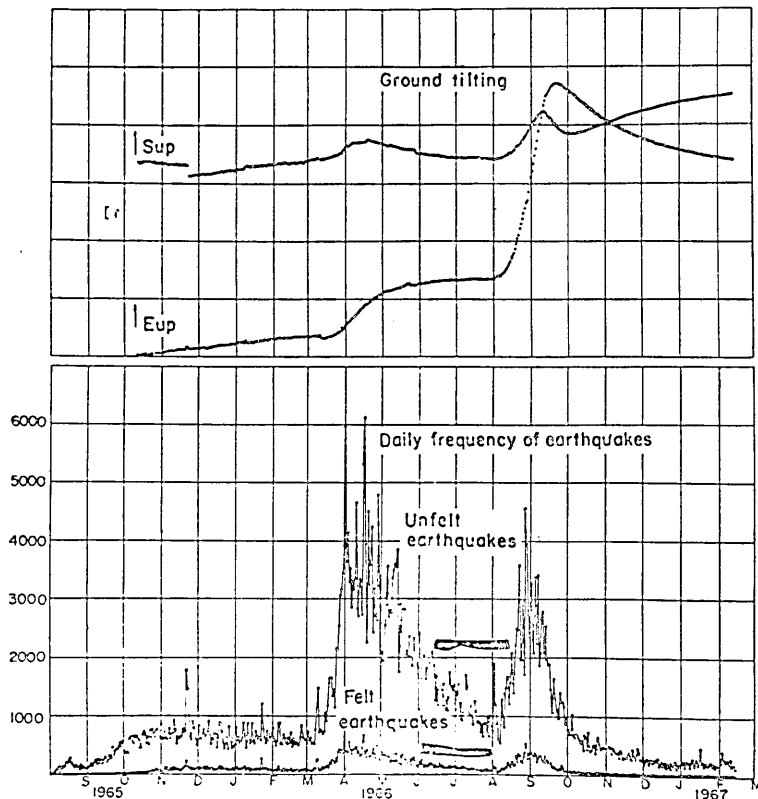


Fig. 4.1. Changes in ground tilting and daily numbers of unfelt and felt earthquakes during the Matsushiro earthquake swarm. (after Hagiwara and Rikitake,<sup>406)</sup>).

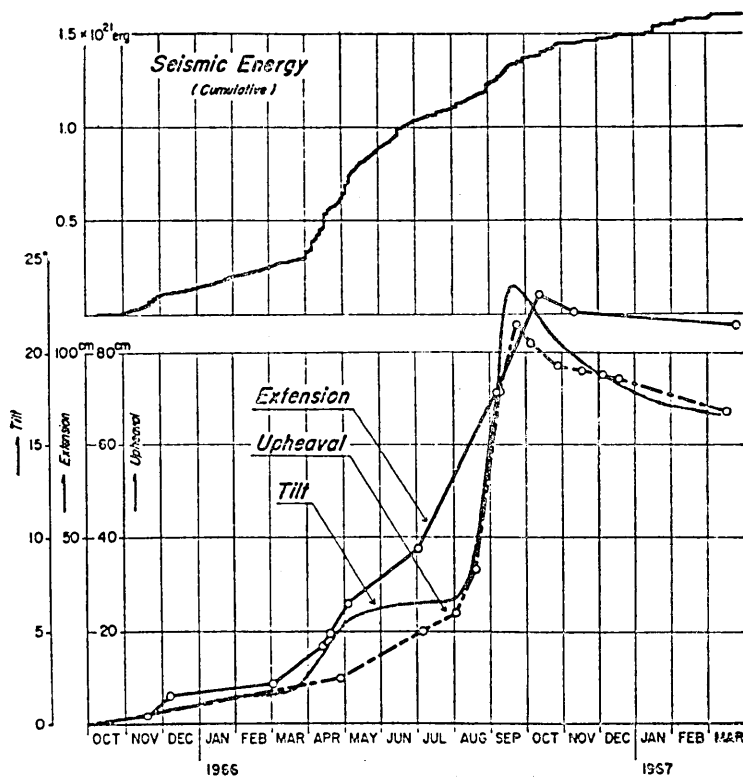


Fig. 4.2. Development of various sorts of crustal deformations compared with seismic energy release. (after Kasahara,<sup>407)</sup>)

一致を示すこと、これらが開放された地震エネルギーの総量に従っていることを第4.2図によって説明している。

恒石・中村<sup>408)</sup>は断層と地割れの調査を行なったが、これを種々な観測資料と対比している。第4.3図はそれらの関係を示したものである。水管傾斜計の観測もまた断層の横ずれの量とよく一致していることを図は示している。ここで特に注目すべきことは、加賀井温泉の湧水量(図の上から3段目)が傾斜の東西成分に酷似していることである。湧水量は8月中旬に一時減少するかに見えたが、忽ち極に達し、減少し始めると間もなく傾斜の向が反転している。また断層付近の地震活動も著しく減少した。これらの事実から、間隙水圧が岩石の見かけの剪断強度を低下させ、深部における地下水圧の増加が地震および地殻変動の重要な因子の一つであることを著者らは述べている。松代は温泉地帯であり豊富な被圧地下水が存在し、これが断層を通って地表に溢れ出たといわれている。地震観測所の坑内も大量の湧水に悩まされながら観測を続行した。東西成分の変動が極に達した10月17日、牧内地区で大地震が起った。10月には地震回数は急速に減少したが、地震の発生地域は南部および南西部に広がっていった。傾斜計もその頃から大きな変動を記録しなくなかった。この観測は1967年3月5日まで続けられたが、地震観測所の坑内改修工事の

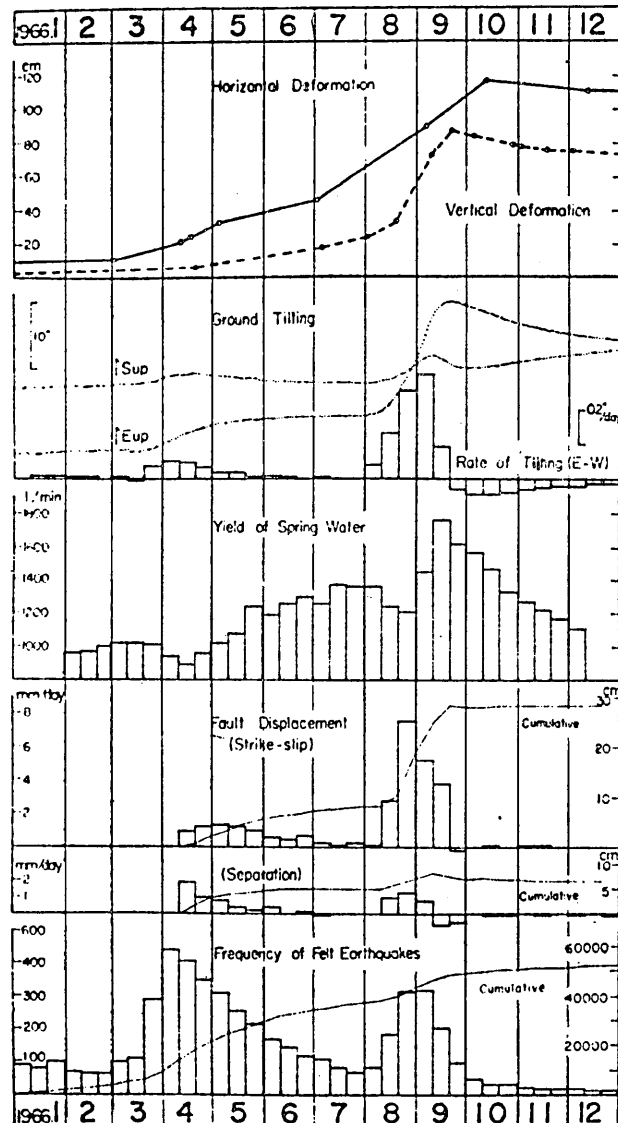


Fig. 4.3. Comparison of various types of observational data. (after Tsuneishi and Nakamura,<sup>408</sup>).

ため一旦中止し、同年9月地震観測所の手によって再開され現在に至っている。

## 2. 水管傾斜計の観測結果

水管傾斜計観測の経年変化はすでに述べた如く第4.1図に示した通りである。観測開始後の数カ月間は地震観測班に委託して朝夕2回観測を行なっていたが第2活動期に入つてからは傾斜観測として充分な成果を挙げるために、筆者と弥彦観測所の若杉の2人が専従

し昼夜を分たず観測を行なった。震源域内で水管傾斜計の高密度観測を行ない、多数の震度IV, Vの地震を至近距離で捉えたのは類例がないことと信じている。その観測値は付録4.2に記載してある。また、全期間を通じて萩原・岩田（前出403）による主要地震（ $M \geq 4$ ）88個のうち、地震番号19より80までの62個は高密度観測中に起つたものである。それらの地震の前後48時間の異常変動を図示したものを付録4.1に掲げた。本章の主題であるTilt-stepに関する解析はこの図より出発したものである。

### 3. Tilt-step およびその規則性

水管傾斜計の観測において地震に伴なう変化の記録された例は、福井地震（1948年）における臨時観測で得た唯一例がある。それは7月10日11時13分、丸岡町付近で起つた余震（小区域地震）を南東約17kmにある坂東島鉱山の廃坑に計器を据えて得られたものである。第4.4図はその記録である<sup>409)</sup>。それから松代地震に至る18年間は観測上の進展はあまりなかった、松代の場合も人手による読み取り観測であるから、その時間間隔が長く、自記記録でない限り正確なTilt-stepは得られない。そこで萩原（前出405）は、地震を挟む前2回、後2回の読み取り値を結ぶ直線の発震時刻における段違いをもって松代地震の場合のTilt-stepとした。観測の時間間隔の長い場合には問題はあるが、ひと先ずこの方法で求めることにした。第4.5図はその実例で、48番の地震（付録4.1参照）について試みたものである。

さて、Tilt-stepを求めこれを解析してゆく上に基本となるデータを第1表に掲げる。

表の左より地震番号、発震時刻、規模（ $M$ ）、地震観測所よりの震央距離（ $A$ ）、深さ（ $h$ ）、これらは萩原・岩田（前出403）の震度IV以上の地震の表を引用し、またはその資料より求めたものである。発震機構は市川<sup>410)</sup>の資料によつた。nodal planeはすべて水平面に垂直で、方位は北より反時計式に測られている。これに記載されていない地震は震研の地震観測班・計測部<sup>402)</sup>の初動の押引分布図により、表では括弧で区別してある。

Tilt-stepはさきに述べた方法で62個の地震全部について求め、東西・南北両成分の合成ベクトルの方位とその大きさを定めた。

第4.6図は各地震番号の地震に伴なつて生じたTilt-stepの方位とその大きさを示したものである。地震番号を書いた丸印の座標は、それぞれの番号の地震の震央が、原点EPC.にあったときの観測点の位置である。すなわち、その位置において図のベクトルが示すTilt-stepが観測されたことを意味する。従つて、原点に対し対称の位置にそれぞれ

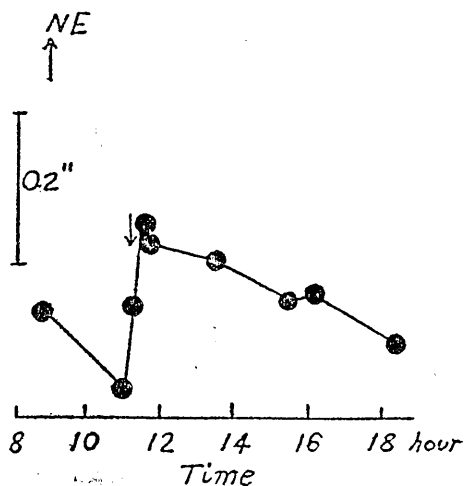


Fig. 4.4. A remarkable tilting anomaly, which occurred with an earthquake on July 10, 1948.

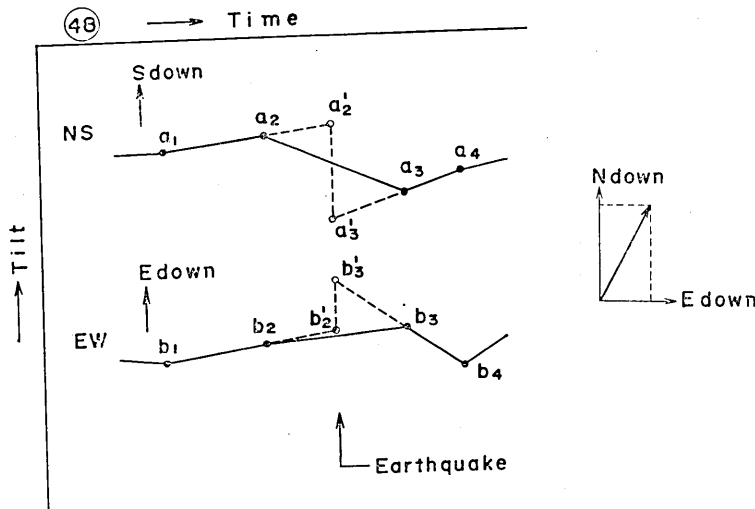


Fig. 4.5. A scheme of obtaining tilt-step amplitude from tiltmeter reading.

Table 4.1. The primary data used for the tilt-step analysis.

Earthq. No.	Date	Time	Magnitude M	Epicent. distance $\Delta$	Focal depth km	Nodal line	Tilt step			Fault dimension			Tilt-step by $\Delta u_1 \cdot 10^7$ rad.	Displace- ment $\Delta u_2$ cm.	Moment $M_0$	Consistency		
							NS	EW	IVI	Press. chart	L	D	A					
19	Apr 11	0457	4.5	2.4	3.4	34°	↗	↖	6	$10^{-7}$ rad.	6.5	3.9	25.4	5.8	0.26	0.66	A	
20		0458	4.5	4.2	1.5	(45)	↗	↖	3	0.8	B	5.4	3.8	20.5	6.3	0.13	0.27	A
21		0606	4.5	2.4	3.0	33	↗	↖	16.8	4.2	B	6.5	3.9	25.4	7.3	0.58	1.45	B
22	14	0909	4.1	2.6	6.2	(45)	↗	↖	5.5	1.4	B	?						
23	16	0907	4.9	2.7	4.8	30	↗	↖	5.5	1.4	C	5.6	5.6	31.4	9.3	0.15	0.45	C
24		1506	4.1	4.2	3.3	45	↗	↖	9	2.2	B	4.1	2.5	10.2	2.8	0.79	0.81	B
25	17	1021	5.0	6.5	5.5	40	↗	↖	5.5	1.4	C	6.3	6.3	40.0	1.8	0.78	3.12	A
26		1022	4.7	4.2	5.6	(45)	↗	↖	5.5	1.4	B	5.8	4.6	26.7	3.2	0.44	1.17	A
27		1546	4.4	2.2	3.0	(45)	↗	↖	22	5.5	B	4.8	3.4	16.3	4.4	1.25	2.04	C
28		2002	4.4	3.5	5.8	(45)	↗	↖	9.5	2.4	A	4.8	3.4	16.3	7.3	0.33	0.54	C
29		2006	4.3	2.6	3.2	(45)	↗	↖	9.5	2.4	C	5.1	3.1	16.5	1.0	0.24	0.40	A
30		2028	4.2	2.9	2.3	(45)	↗	↖	7.5	1.9	C	4.6	2.8	14.0	8.6	0.22	0.31	C
31	May 28	1438	4.5	3.2	5.3	(45)	↗	↖	15	3.8	C	6.5	3.9	25.4	0.7	5.4	1.37	B
32	02	0044	4.7	7.4	6.9	42	↗	↖	4	1.0	A	6.8	4.8	32.6	1.7	0.59	1.92	B
33		0045	4.5	5.3	3.6	(45)	↗	↖	4	1.0	A	5.4	3.8	20.5	6.8	0.15	0.31	B
34	04	1048	4.5	2.2	3.6	45	↗	↖	8.5	2.1	C	6.5	3.9	25.4	8.6	0.24	0.61	B
35	06	1908	4.6	6.7	2.8	30	↗	↖	19.5	4.9	A	6.0	4.2	25.2	1.9	2.58	6.50	C
36	19	2151	4.4	2.8	1.3	60	↗	↖	9	2.2	B	5.8	3.5	20.3	1.0	2.20	4.50	C
37	20	0930	4.9	5.4	5.5	(45)	↗	↖	8	2.0	C	7.3	5.8	423	2.7	0.74	3.12	(A)
38	22	1728	4.5	2.6	4.7	62	↗	↖	6.5	1.6	C	8.3	4.2	34.8	8.6	0.19	0.61	C

To be continued.

Table 4.1. (continued)

39	25	0557	4.4	1.0	2.5	40	1	↑	29.5	7.4	B	5.8	3.5	20.3	20.0	0.37	0.75	A	
40	27	2203	4.1	4.4	4.4	53	↑	↙	3.8	1.7	A	5.2	2.6	13.5	0.52	3.27	4.42	B	
41	28	1228	4.2	8.1	6.8	44	↑	↙	6	1.5	A	4.6	2.8	13.9	1.35	1.11	1.54	A	
42	June	1421	4.7	3.6	3.2	55	↑	↗	56.5	14.0	C	8.1	4.9	40.0	5.8	2.41	9.65	C	
43	11	1205	4.6	5.7	4.5	44	↑	↖	4	1.0	B	9.4	4.7	44.0	3.4	0.29	1.27	(A)	
44	12	0943	4.6	6.4	6.8	59	↑	↙	1.7	0.4	B	9.4	4.7	44.0	9.8	0.04	0.18	B	
45	21	2205	4.6	7.8	3.0	30	↑	↗	6	1.5	B	6.0	4.2	25.2	0.6	2.50	6.30	B	
46	26	1634	4.6	8.5	4.8	62	↑	↖	1.8	0.45	B	7.3	4.4	32.0	0.78	0.58	1.85	B	
47	28	1810	4.6	6.9	5.3	(45)	↑	↖	3	0.8	A	9.4	4.7	44.0	3.3	0.24	1.05	B	
48	July	0532	3.7	5.5	4.7	34	↑	↑	7.5	1.9	B	2.1	1.5	3.2	0.21	9.05	2.90	B	
49	Aug.	10	1544	4.4	5.9	4.8	52	↑	↑	26	6.5	C	4.8	3.4	16.3	2.0	3.20	0.52	(A)
50	03	0348	5.0	4.1	3.2	52	↑	↖	60.5	15.0	C	8.1	6.5	52.6	7.9	1.90	10.0	C	
51	08	0937	4.7	5.8	5.5	61	↑	↖	4.5	1.1	B	4.5	4.5	20.2	1.75	0.63	1.27	(A)	
52	14	0405	4.1	1.1	3.2	(45)	↑	↓	28.5	6.9	B	2.3	2.3	5.3	9.2	0.65	0.34	A	
53	16	1842	4.4	2.4	2.1	(45)	↑	↖	2	0.5	B	3.2	3.2	10.2	4.7	0.10	0.10	(A)	
54	20	1950	4.4	4.5	5.1	54	↑	↖	21	5.3	C	3.5	3.2	11.2	1.7	3.12	3.50	B	
55		1950	4.4	4.1	3.5	54	↑	↖	21	5.3	C	3.5	3.2	11.2	2.0	2.67	2.99	(A)	
56	28	1309	5.0	7.2	7.0	46	↑	↖	20	5.0	B	6.3	6.3	40.0	1.7	2.94	1.17	B	
57	29	0036	4.6	4.9	4.5	46	↑	↖	18	4.5	C	6.0	4.2	25.2	4.8	0.94	2.37	B	
58		1037	4.4	8.2	3.2	(45)	↑	↖	3	0.8	A	4.0	3.2	12.8	0.28	2.86	3.02	C	
59	31	1337	4.8	4.6	5.4	(45)	↑	↖	23.5	6.0	A	7.3	5.3	38.6	8.0	0.75	2.89	A	

To be continued.

60	Sep.	06	0337	4.9	4.3	5.2	54	↑	↖	45	11.0	B	5.6	5.6	31.4	6.2	1.78	5.60	B
61	07	1518	4.1	0.5	4.8	(45)	↑	↖	4	1.0	C	4.1	2.5	10.2	5.0	0.20	0.20	(A)	
62	09	1614	4.2	5.4	4.8	(45)	↑	↖	6	1.5	A	4.6	2.6	14.0	0.95	1.58	2.21	B	
63	14	0626	4.5	6.8	2.0	60	↑	↖	45.5	11.0	A	4.0	3.6	14.4	0.40	0.27	4.0	(A)	
64		1014	4.9	3.2	6.0	33	↑	↖	19.5	5.0	C	7.3	5.3	42.3	6.3	0.79	3.38	A	
65	24	1929	4.4	6.1	4.1	(45)	↑	↖	3.8	0.95	B	3.5	3.2	11.2	0.26	3.38	3.78	B	
66	27	0403	5.0	3.7	5.1	51	↑	↖	14	3.5	C	6.3	6.3	40.0	9.0	0.35	1.40	B	
67	Oct.	13	0601	4.9	3.4	9.0	34	↑	↖	8.5	2.1	B	7.3	5.8	42.3	7.3	0.29	1.22	B
68	19	0004	4.8	4.5	9.0	19	↑	↖	2	0.5	C	7.6	5.3	40.3	11.0	0.05	0.21	B	
69	23	1114	4.5	4.1	6.0	51	↑	↖	4.5	1.1	C	7.3	5.8	42.3	5.3	0.21	0.89	A	
70	26	0304	5.0	12.0	6.0	(45)	↑	↖	7	1.8	A	?							
71	Dec.	31	1401	4.0	10.4	8.8	(45)	↑	↖	3.5	0.9	B	?						
72	1967.	01	1936	4.2	5.1	3.9	(45)	↑	↖	3	0.8	C	5.8	2.9	16.8	0.16	5.00	8.40	B
73	Jan.	03	1232	5.0	12.8	10.2	(45)	↑	↖	1.5	0.4	B	6.3	6.3	40.0	0.19	2.10	8.40	A
74	Feb.	03	1717	4.8	16.1	11.2	23	—	—	0	—	—	9.1	5.5	500	0.27		—	
75	08	1850	4.5	12.7	12.5	55	↑	↖	2.5	0.6	B	8.3	4.2	34.8	0.52	1.15	4.00	C	
76	09	0950	4.2	7.8	5.9	64	↑	↖	4.5	1.1	B	3.8	2.7	10.2	0.30	3.68	3.75	B	
77	12	0922	4.5	10.5	5.0	42	↑	↖	1.65	0.4	A	5.4	3.8	20.5	0.32	1.25	2.56	B	
78	21	1431	4.0	10.9	4.5	(45)	↑	↖	6	1.5	A	2.0	2.0	4.0				A	
79	Mar.	01	0414	4.8	9.4	7.7	42	↑	↖	2.5	0.6	B	?						
80	02	0340	4.8	8.9	5.4	57	↑	↖	15	4	B	?							

の丸印を移せば、観測点を原点とする震央分布図が得られる。

次にこれらの Tilt-step が、地震の規模、震央距離、深さ、あるいは発震機構との間に規則性がみられるか、あるならばどのような関係があるかを調べてみた。

先ず、これらの地震がすべて同じ発震機構である左横ずれ系の断層によるものであるこ

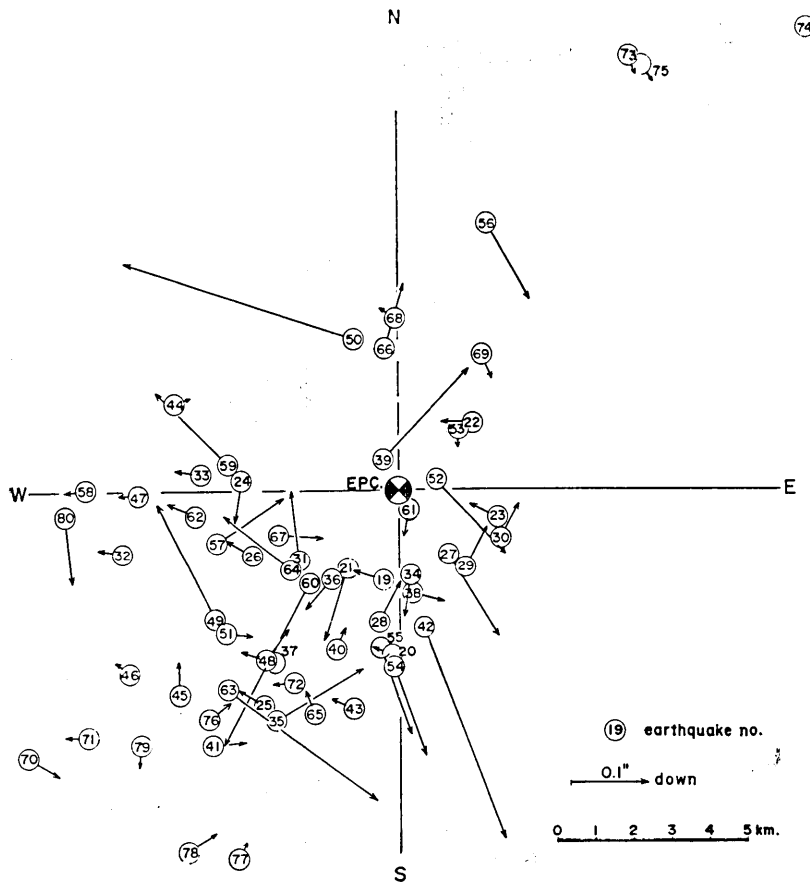


Fig. 4.6. Tilt-steps associated with earthquakes. Vectors are plotted at the station's coordinates relative to the respective epicenters, which is fixed at the coordinate's origin, commonly.

とは、市川、地震観測班計測部および恒石・中村らによる地表にあらわれた断層の調査(前出410, 402, 408)によって明らかである。Press<sup>411)</sup>は断層の長さに比べて充分遠い平面上での strike-slip あるいは dip-slip による strain あるいは tilt field を dislocation の理論に基づいて計算し、いわゆる Press の図表を作成した。そこで62個の Tilt-step の方位がこの図表に一致しているか否かを調べてみた。そのために Press の図表を比較し易く作り直したものが第4.7図である。すなわち、 $\partial u_3 / \partial u_1$ 、 $\partial u_3 / \partial u_2$  のそれぞれ  $D=1.0L$  と、 $D=0.1L$  の4枚の図面から傾斜変化ゼロの線を写しとり、その線上では  $X_1$  または  $X_2$  軸と平行な傾斜方向が得られる。それらの線の中間部分に対しては両側と中間の45°の向の傾斜方向を描いた。ここで幸なことは  $D=1.0L$  の場合も  $D=0.1L$  の場合も傾斜方向に関してそれ程差違がないことである。この図の62個の Tilt-step ひとつひとつを比較したものが第4.1表12列の Press の判定である。ここでは 30°~35° の巾をもつ

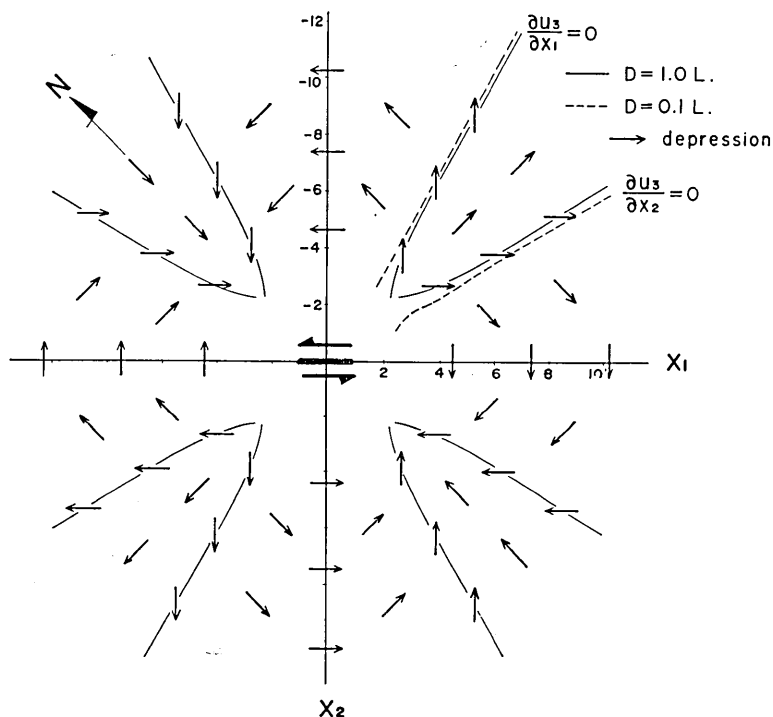


Fig. 4.7 Direction of tilting associated with a left lateral strike-slip fault.  
(modified from the Press's chart (1965)).

た荒い判定であるが、Aは一致するもの、Cは反対向のもの、Bはどちらにも属さないもので、その数はA14、C20、B28を数えた。なおここで、図の断層と共に軽な断層が生ずる場合も考えられる。その場合には隣りの象限の図表の矢印を反対にしたものになる。つまり元の図表と同じになる。結局、このような象限型発震機構では断層が N45°W でも N45°E でも同じことで、その判別はつかない。さて、Aの判定とCの判定のものを第4.1表のデータに従って、マグニチュードと震央距離を第4.8図のような片対数方眼紙の上にプロットしてみると明瞭に区別される。ここで白丸は Press の理論に従うもの、黒丸は反対のものであるが、白丸は震央距離の遠い方に、黒丸は近い側に分布し、マグニチュードが大きくなる程境界線が遠い方へ移ってゆく、この境界線をあらわす式は

$$M = -6.92 + 2.0 \log_{10} A \quad (4.1)$$

となる。

Chinnery<sup>412)</sup> は断層の極近傍の媒質表面の変位を理論的に求め、図表を作成した。ここでは凡そ断層の長さの 2 倍以内の範囲が議論されている。つまり、さきの Press の図表の中央空白部がこれに相等する。ここで注意して欲しいことは、Press も Chinnery も断層の半長をもって  $L$  としているが、筆者は全長を  $L$  とすることにする。第4.7図について座標軸の値は半長  $L$  を単位としている。

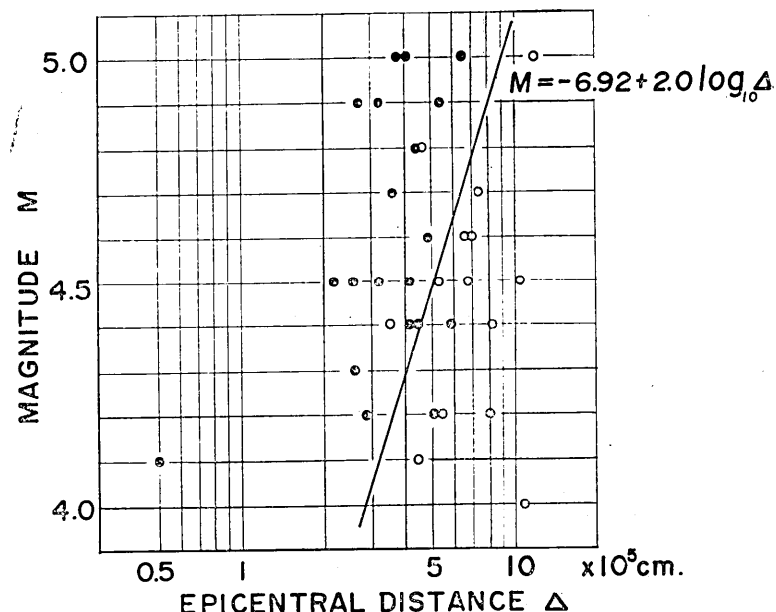


Fig. 4.8. Earthquake magnitude versus epicentral distance.

Polarity of tilt-step : consistent with theory (○),  
inconsistent " " (●).

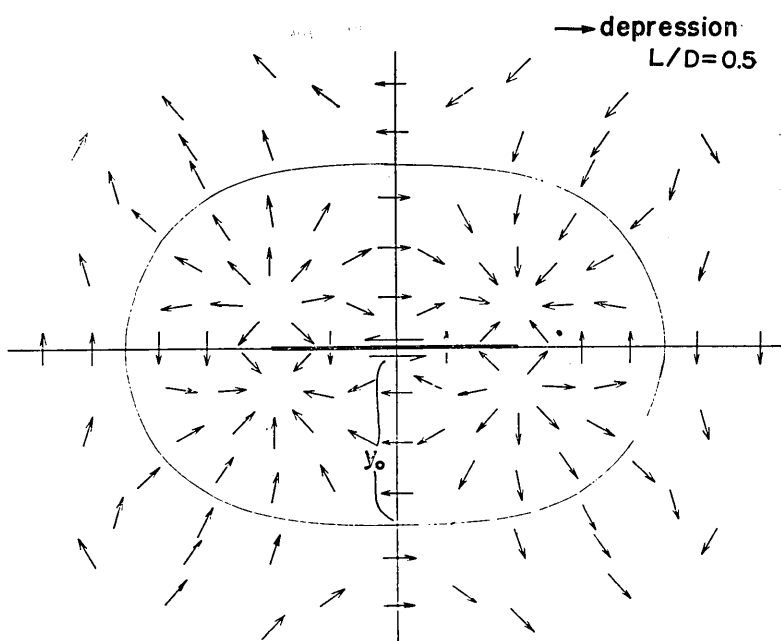


Fig. 4.9. Directions of tilting associated with a left lateral strike-slip fault. ( $D/L=0.5$ , modified from the Chinnery's chart (1961)).

さて、Press の判定で C, すなわち A と反対向のものは Chinnery の領域内にあってその理論に従っているかをも調べてみる必要がある。

第 4.9 図はその目的で Chinnery の図表から一例として  $D/L=0.5$  ( $L$ =全長), 第 4.7 図の実線に続くものとして作ってみた。いま矢印の向を両図について比べてみると、断層に對してほぼ  $45^\circ$  の方向以外は反対向であるとは云い難い。特に方位は断層の深さ  $D$  に大きく左右されるので、先ず  $D$  を知り  $D/L$  の種種な値に対する傾斜方位の図表が必要となる。

#### 4. 地震の規模 $M$ と断層の長さ $L$ の関係

Chinnery は断層の深さ  $D$  を求める方法について、垂直変位ゼロのセンターまでの距離  $y_0$ , 断層の長さを  $L$  (全長) として次式を得た。

$$D = 0.6 y_0 + 0.125 L \quad (4.2)$$

この式は  $D$  の種種な値に対する  $y_0$  の値を図式的に求めたと云うが、垂直変位そのものが非常に小さい上にゼロ変位の位置を求めるることは精度上、特に浅い地震については困難であるが  $D/L > 0.5$  の場合には上式は成立つと述べている。第 4.9 図の場合には垂直変位ゼロのセンターは図の如く押しつぶされた円になるが、 $D/L$  が大きくなるに従って  $y_0$  は大きくなり円形に近づく。

いま、(4.1) 式の  $A=y_0$ , すなわちゼロセンターの距離とすると、

$$M = -K + 2.0 \log_{10} L. \quad (4.3)$$

となる。但し  $K$  は次の値をとる。

$D/L$	0.5	0.6	0.7	0.73	0.8	0.9	1.0
K	(7.33)	7.12	6.96	6.92	6.81	6.69	6.59

(4.1) 式の定数がそのままで (4.3) 式となる場は  $D/L=0.73$  に該当する。

竹本・高田<sup>413)</sup> は伸縮計の記録から比較的浅い地震に伴なう strain-step から  $M$  と  $L$  の関係を求めた。それは  $10^{-8}$  の Strain-step が観測される限界における  $M$  と  $R$  (震源からの距離) の関係に距離による Strain-step の減衰を考慮して、

$$M = -8.4 + 2.2 \log_{10} L \text{ (TAKEMOTO-TAKADA)}$$

の関係を得た。両氏はほかに地表にあらわれた断層から求めたものとして飯田、Tocher ら  $M \geq 6$  の場合の観測式

$$M = 0.75 + 0.98 \log_{10} L \text{ (TOCHER)}$$

$$M = 2.27 + 0.76 \log_{10} L \text{ (IIDA)}$$

を紹介している。大塚<sup>414)</sup> は飯田の資料をもとにして  $M$  について地表にあらわれた断層のうちで最長のものを結んで

$$M = -6.4 + 2.0 \log_{10} L \text{ (OTSUKA)}$$

の関係式を得ているが、それには震源を球体とする取扱がなされている。Wyss and

Brune<sup>415)</sup> は地震波動のデータから

$$M = -6.7 + 1.9 \log_{10} \sqrt{A} \quad (\text{WYSS-BRUNE})$$

$$A = L \cdot D$$

の式を得ている。ここで竹本らは  $\log_{10} L$  の係数が 2.0 に近いことは、Gutenberg-Richter の M と E (エネルギー) の関係

$$\log_{10} E = 1.5M + 11.8$$

から  $E \propto L^3$  である地震体積の考え方との関連から興味深いと述べている。

以上多くの M と L との関係式を掲げたが、これを (4.3) 式と比べてみると、竹本・高田の式は  $D/L = 0.5$  の場合と殆んど同じ結果が得られ、大塚、Wyss-Brunne の式は  $D/L = 1.0$  の場合に一致する。それは竹本・高田が中距離の比較的浅い地震を対象にしていることと大塚は球体震源の仮定、Wyss-Brunne は  $\sqrt{L \cdot D}$  の考慮から至極当然の結果と思われる。M と L の関係に関して、Tilt-step から求めたものは伸縮計、地表観測、地震波動より求めたものと矛盾しない結果が得られた。

## 5. 断層面積の推定

(4.3) 式の M と L の関係において、M が与えられても L は D との関係によって定まるので一義的には決まらない。たとえば、M=5.0 の地震で D/L が 0.5 と 1.0 のときでは、 $L \cdot D$  が  $14.8 \times 7.4 = 110 \text{ km}^2$ 、 $6.3 \times 6.3 = 39.7 \text{ km}^2$  の如く前者は後者の 3 倍も大きい。しかし、後者の断層変位が前者の 3 倍大きければ両者の放出エネルギーは同じ筈である。変位が大きい方が小さい場合より影響範囲は遠方に及ぶ、第 4.10 図はそのことを例証するもので、断層の垂直二等分線 ( $y_1 = 0$  の  $y_2$ ) に沿う  $u_1$  (断層線に平行な水平変位成分) の減衰を種々な D に対して示したものである。従って、Tilt-step も変わるであろうから、L/D によって区別して考えなければならない。

震研の地震観測班・計測部（前出 402）では地震活動の最盛期には毎月の有感地震の震源分布図を発表している。第 4.11 図の左はその一例で 1966 年 6 月のものである。黒丸はさきに述べた萩原・岩田による番号を有する震度 IV 以上の地震を示す。いま、これらの地震に対して市川（前出 410）の nodal plane の線を引いてみる。そしてこの線上で地震の集中している部分の巾を測ってみる。これをあらかじめ (4.3) 式で計算してある断層面積の寸法表（付録 4.3）と照合することにより容易に縦横の長さを推定することができる。

第 4.11 図の右はこのようにして推定した断層の大きさである。第 4.12 図はこのようして定めた 62 個の地震の断層面積を示した図である。また第 4.1 表にもその数値を掲げておいた。注目すべきことは地震観測から決定した震源はすべて面の周縁に位置していることである。

ここで問題になることは、以上のようにして求めたものが果して余震分布から求めた断層面積に一致するかということで一度は検定をしておくべきことである。地震観測班の観測網は 5~8 km の辺をもった三角形であるが、三点対応のとれる地震の規模は石本式加速度計では  $M \geq 2$ 、HES 1-0.2 地震計 5 万倍では凡そ  $M \geq 0$  である。前者は余震として認められる数がそれほど多くなく、後者は充分の数を数えぬうちに次の主震格の地震が到来

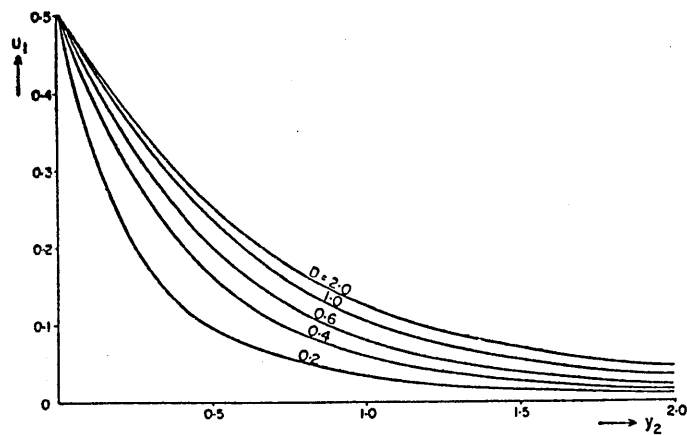


Fig. 4.10. Fall off of  $u_1$  with  $y_2$  along  $y_1=0$  ( $u_1$  in units of U, D and  $y_2$  in units of L/2). (after Chinnery<sup>41(2)</sup>)

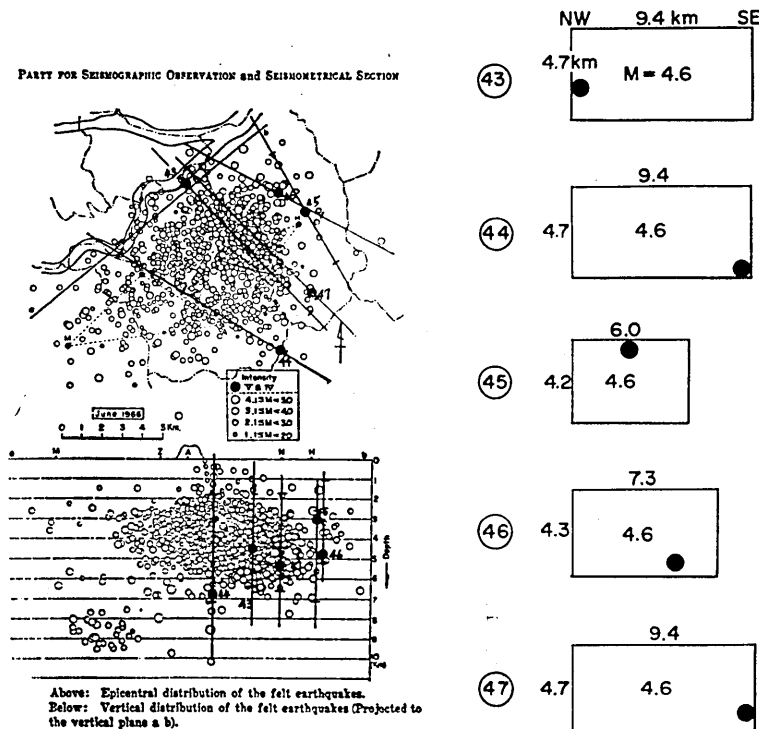


Fig. 4.11. Configuration of the hypothetical dislocation areas (right) and their projection on the swarm area (left).

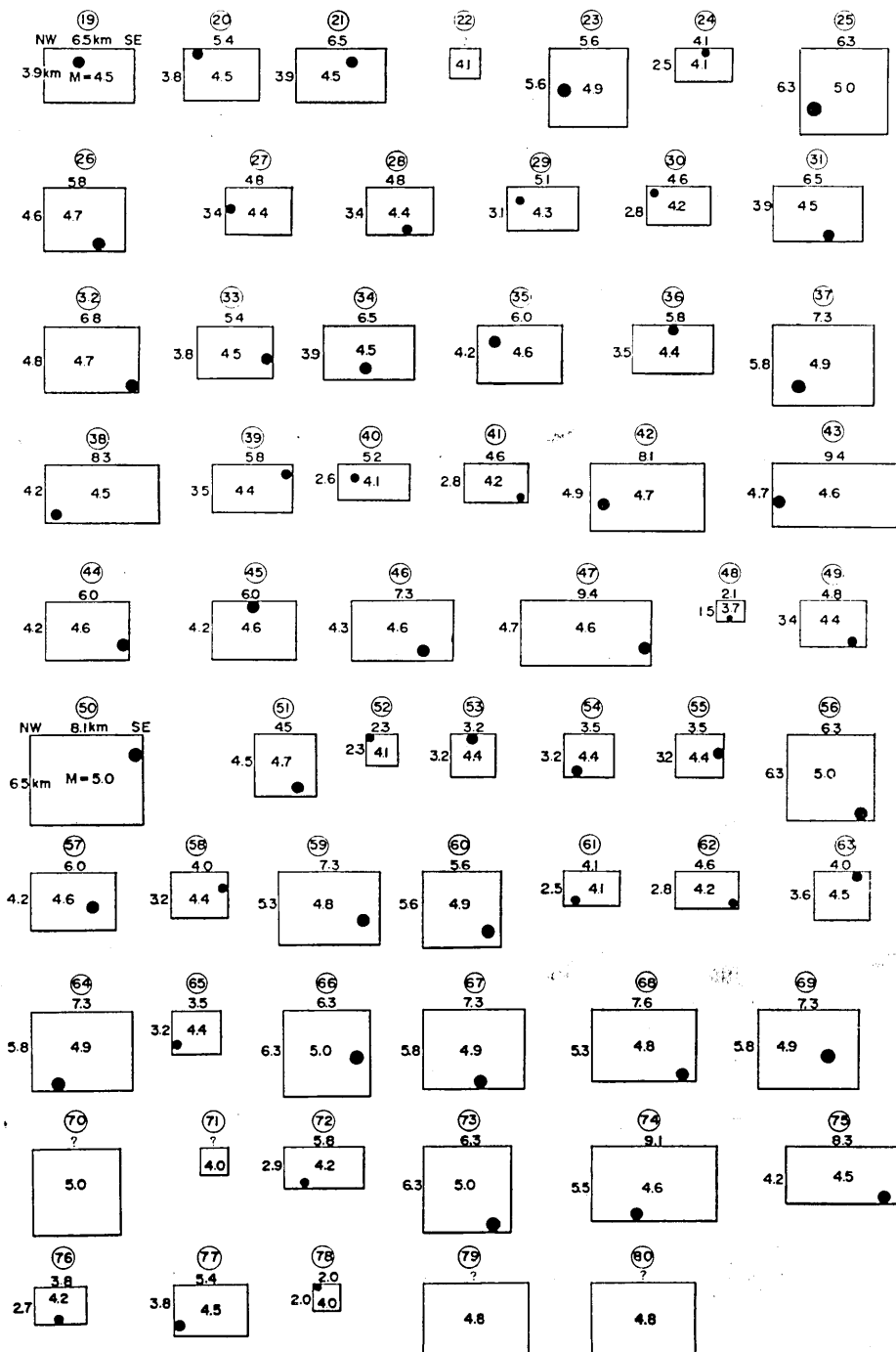


Fig. 4.12. Configuration of the dislocation areas estimated on the bases of seismological data.

し、よほど地震を選ばない限り成功は覚束ない。不本意であるがこの検定は次の機会に譲ることにする。

## 6. 左横ずれ断層による傾斜の場

Press および Chinnery らの研究によって、左横ずれ断層による傾斜の場の概要を把握することができた。しかし、その結果は直ちに松代の場合に適用できない。それは、(1) Chinnery は変位を対象にしていること、(2) 断層の深さの区分が荒い、(3) Chinnery と Press の領域が連続的に理解し難い。

以上の点を明らかにし、今後の作業を円滑に進めるために新たに図表を作ることにした。先ず丸山<sup>416)</sup>の式から出発することにする。半無限媒質中の変位の不連続によって生ずる変位の  $m$  成分  $u_m$  は次式によって表わされる。

$$u_m(Q) = \iint_{\Sigma} \Delta u_k(P) W_{kl}^m v_l(P) d\Sigma, \quad (4.4)$$

ここで  $Q(x_1, x_2, x_3)$  は観測点、 $P(\xi_1, \xi_2, \xi_3)$  は断層面上の点をあらわす。

$\Delta u_k$ : 断層面上の点  $P$  における変位のくいちがいの  $k$  成分。

$W_{kl}^m$ : 半無限媒質中の点  $P$  における歪核 (strain nucleus) による観測点  $Q$  での変位の  $m$  成分。

歪核には二つの型があり  $k, l$  で示されている。第 4.13 図参照。

$k=l$  の場合、type A slip (Body force 型)

$k \neq l$  " , type B slip (Double couple 型)

(23), (31) は dip-slip, (12) は strike-slip である。

$v_l(P)$ : 断層面上の点  $P$  における断層面の法線ベクトルの  $l$  成分。

$$\iint d\Sigma: \text{断層面上の積分。}$$

$\lambda=\mu$  ( $\lambda, \mu$  はラーメの弾性常数) を仮定し、断層が strike-slip 型であるとする。断層面が地表に垂直、長方形であらわされる場合 ( $k=2, l=1$ ) には、地表面における鉛垂変位 ( $m=3$  on  $x_3=0$ ) は次式であらわされる。

但し、変位のくいちがいは断層面上で一定 ( $\Delta u_2=\text{const.}$ ) であると仮定する。

$$4\pi \frac{u_3}{\Delta u_2} = \frac{X_1(\rho+2\xi_3)}{\rho(\rho+\xi_3)} \| . \quad (4.5)$$

ここで、 $X_1=x_1-\xi_1$ ,  $X_2=x_2-\xi_2$ ,  $\rho=\sqrt{X_1^2+X_2^2+\xi_3^2}$  であらわされる。 $\|$  は Chinnery の記号で、長方形の断層面上の四隅の点の関数であることをあらわす。すなわち、

$$f(\xi_2, \xi_3) \| = f(b, c) - f(b, C) - f(B, c) + f(B, C).$$

$u_3$  は下向き変位が正となるように表わされている。 $(x_3$  は下向きにとられている)。第 4.14 図に断層面の座標を示す。

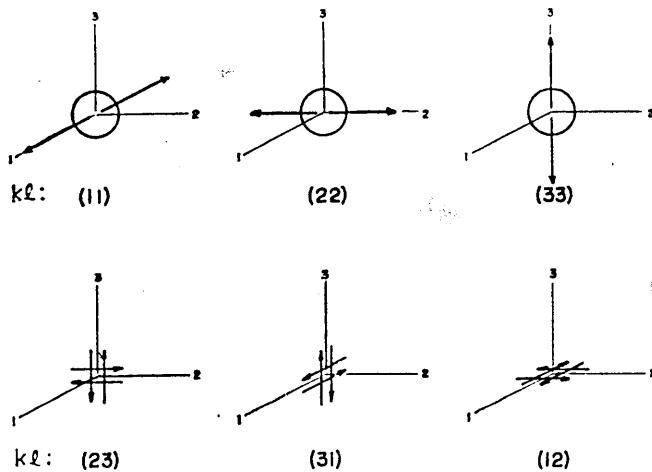


Fig. 4. 13.  $(kl)$  is a combination of double force at P which generates the displacement field  $T_{klm}$  at Q. (11), (22) and (33) are A-nuclei; (23), (31) and (12) are B-nuclei. (after Maruyama<sup>41b</sup>).

$x_1$  および  $x_2$  方向の傾斜を求めるには (4.5) 式を微分して次の式が得られる。

$$\left. \begin{aligned} \frac{4\pi}{\Delta u_2} \cdot \frac{\partial u_3}{\partial x_1} &= \frac{(\rho^2 - X_1^2)(\rho^2 + 3\rho\xi_3 + 2\xi_3^2) - X_1^2\rho\xi_3}{\rho^3(\rho + \xi_3)^2} \parallel, \\ \frac{4\pi}{\Delta u_2} \cdot \frac{\partial u_3}{\partial x_2} &= \frac{X_1 X_2 [2\xi_3^2 - (\rho + 2\xi_3)^2]}{\rho^3(\rho + \xi_3)^2} \parallel. \end{aligned} \right\} \quad (4.6)$$

(4.6) 式に従って  $x_1$ ,  $x_2$  方向について求めた傾斜をベクトル合成した傾斜の場の図を第 4.15 図に示す。 (a), (b) および (c) はそれぞれ  $D/L$  が 0.6, 0.8, 1.0 の場合を示す。

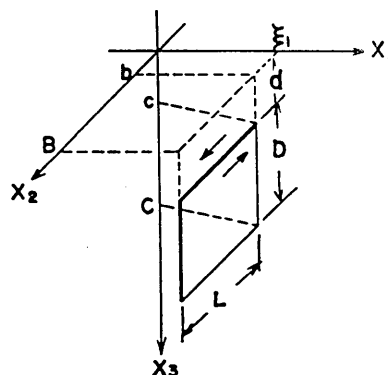


Fig. 4. 14. Rectangular dislocation surface perpendicular to the free surface.

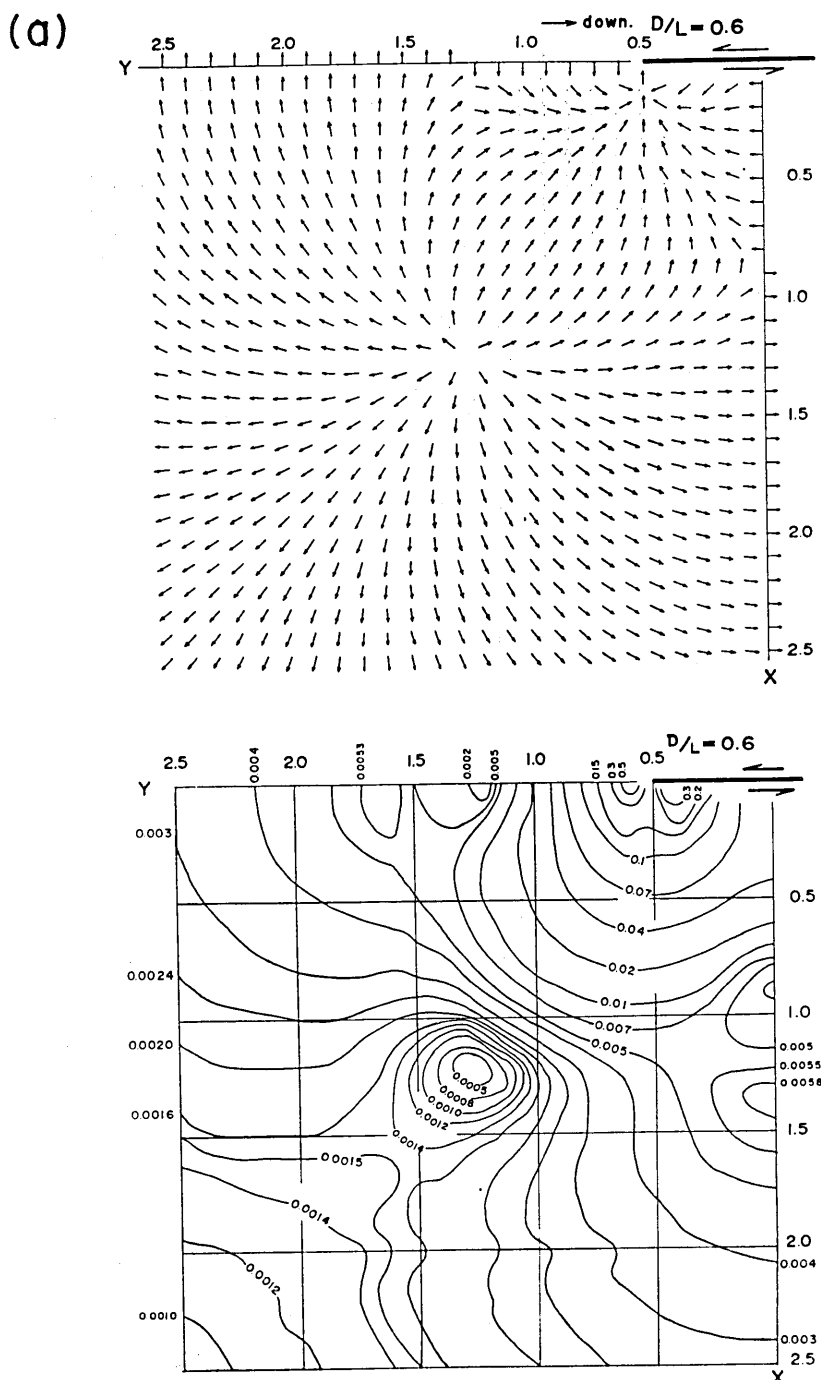
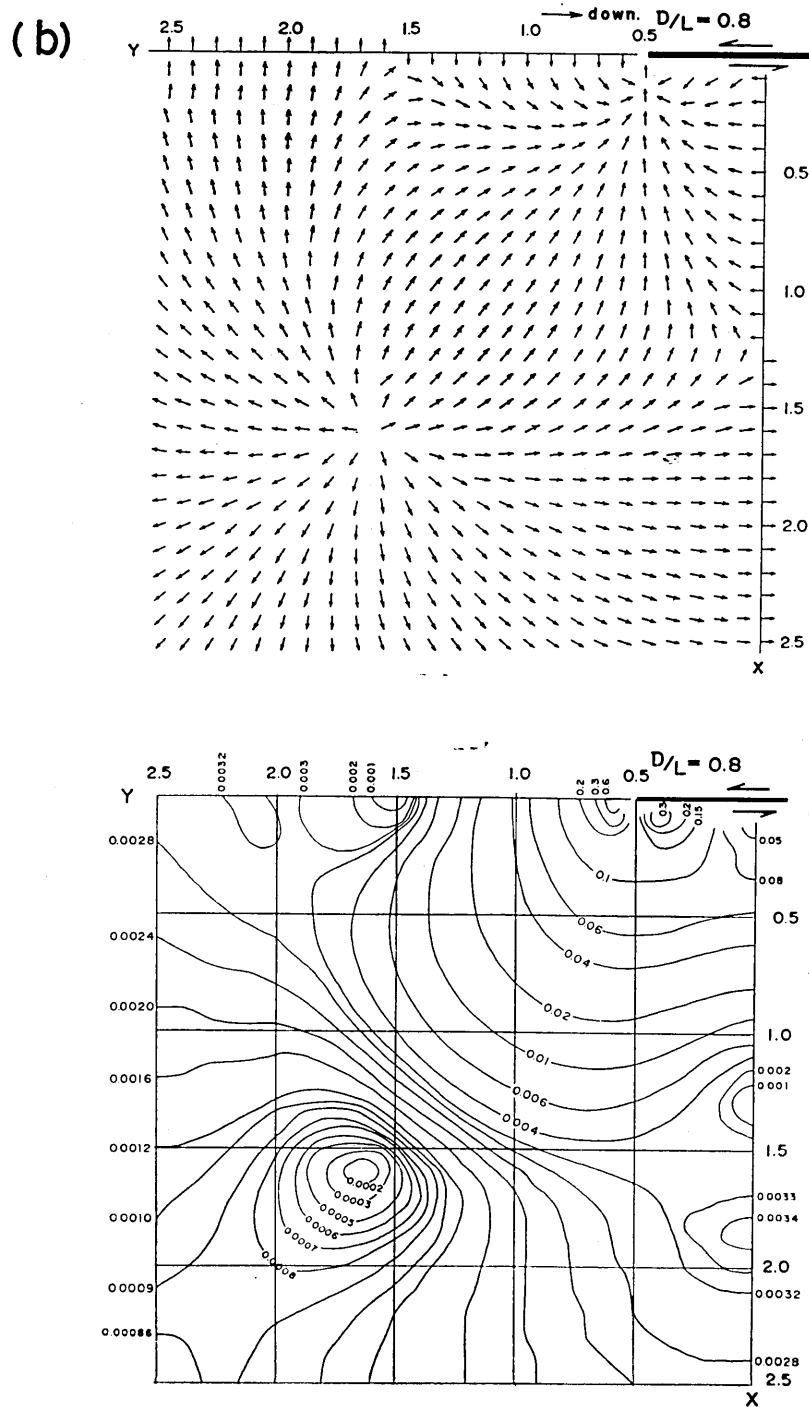
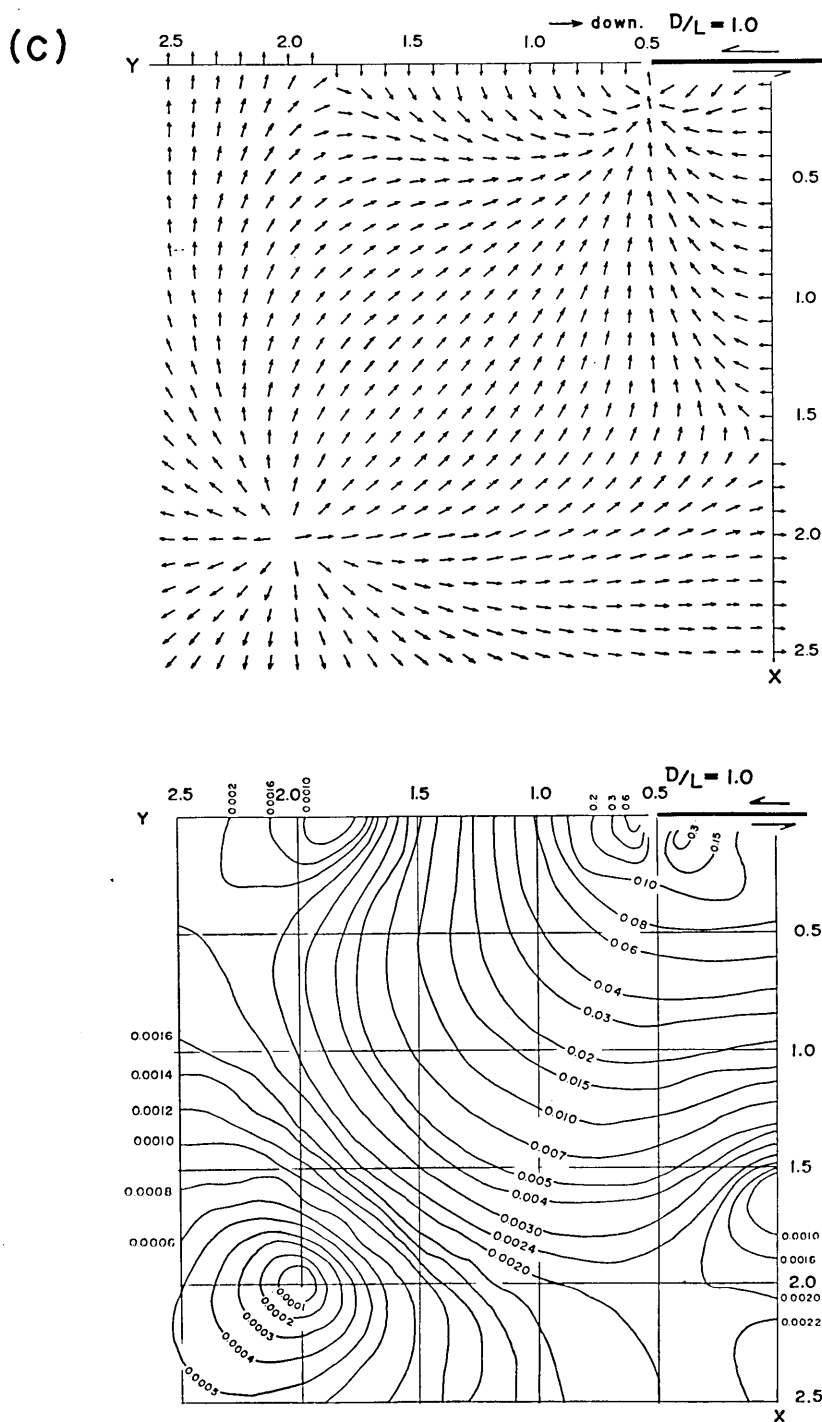


Fig. 4.15. Strain field around a left lateral strike-slip fault.  
 (upper): direction of tilting. (lower): amplitude, unit:  $u_2/L$  radian.  
 (a) :  $D/L = 0.6$ .

Fig. 4. 15. (b):  $D/L=0.8$ ,

Fig. 4. 15. (c):  $D/L=1.0$ .

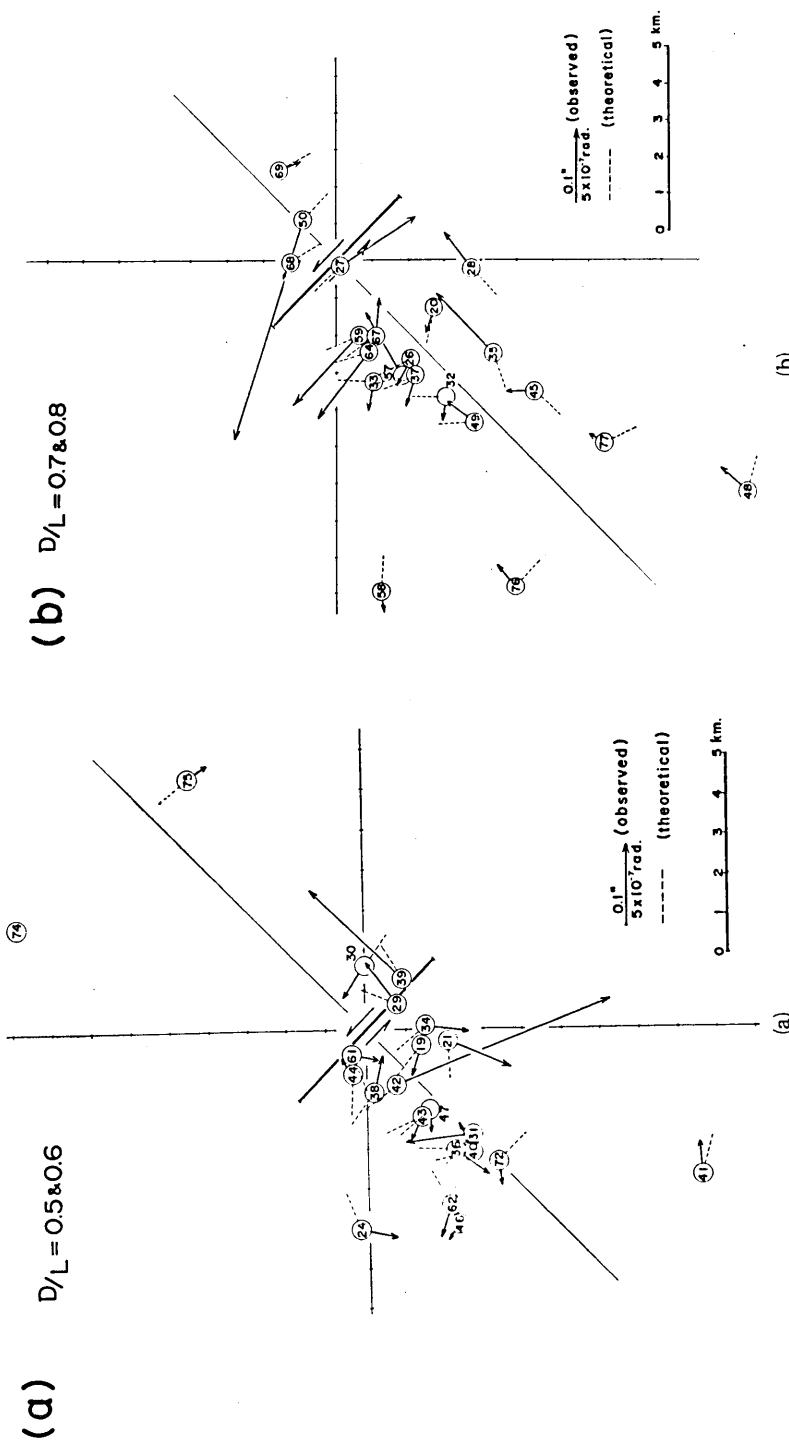


Fig. 4.16. Reproduction of Fig. 4.6. Data reduced to the standard dislocation (length; 5 km, strike; NW-SE,  $M=4.5$ ).  
 (a) :  $D/L=0.5-0.6$ , (b) :  $D/L=0.7-0.8$ , (c) :  $D/L=0.9-1.0$ .

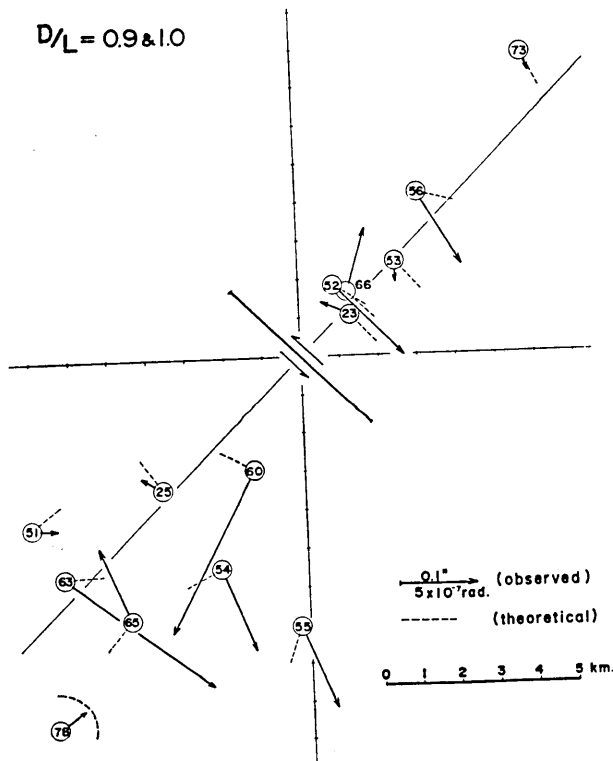
(C)  $D/L = 0.9 \& 1.0$ 

Fig. 4.16. (c)

図は断層が地表にあらわれている場合 ( $d=0$ ) である。傾斜の大きさは断層の全長  $L$  を単位としている。従って、断層変位  $u_2$  と  $L$  とが異なる場合には図の数値に  $u_2/L$  を乗じなければならない。例えば、 $u_2=1\text{ cm}$ ,  $L=1\text{ km}$  の場合には  $u_2/L=10^{-5}$  を乗じた radian で表わされる。

### 7. 標準転位への震央位置補正と断層変位

前節の計算によってある標準状態における左横ずれ断層による傾斜の場が得られた。その範囲は断層の長さの 2.5 倍に及び、62 個の地震を充分包含できる。これと観測データとを比較するためには、観測データを標準状態に補正しなければならない。その標準状態とは、(1) 断層面の方位を N45°W とする。(2) マグニチュードを一様に  $M=4.5$  とする。 $M=4.5$  に対する断層の長さを 5 km とし、断層変位は 1 cm を単位とする。なお、 $D/L$  は 0.6, 0.8, 1.0 の三つの場合とする。さて、実際の観測データは第 4.1 表に掲げてある如く市川(前出 410)による nodal plane の方位は N45°W に対し  $\pm 20^\circ$  の範囲でさまざまであるが、これを一様に N45°W になるように座標軸を回転する。次にマグニチュード  $M=4.5$  はここで扱っている地震  $M=4.0 \sim 5.0$  の中間の値である。発震機構が同じで、大きさの異なる地震を同じ規模で見ようとするには、マグニチュードの大きな地震は観測点を近づ

け、小さな地震は遠ざければよい。従って、マグニチュードの異なる地震をすべて  $M=4.5$  であるように補正するには、震央距離にマグニチュードに対する断層の長さの比 ( $L_{4.5}/L_M$ )\* を乗じた距離に震央の位置を補正すればよい。このような相似の操作が許されることはない、(4.6) 式がデメンションのない値だからである。

第 4.16 図は第 4.6 図を以上のような補正を行なって描き直したものである。但し  $D/L$  については 0.5 と 0.6, 0.7 と 0.8, 0.9 と 1.0 とを一緒にし三群に分けてある。これらを第 4.15 図と重ね合わせてみる。図において点線は理論的方位である。断層変位が 1 cm である場合の観測点での傾斜角は、第 4.15 図より求めて第 4.1 表の終りから 4 列目に掲げておいた。従って、推定される断層の変位量は観測された Tilt-step をこの数値で除せば求まる。但し、傾斜の方位が理論と観測とが一致したものについて行なわなければならぬ。そこで一致の判定を行なったところ、Press の図表に対して行なったと同様に A, B, C に分けてみるとよく一致している A は 13, ややよい一致のもの ((A) とする) 7, 計 20 個を数えた。それらの結果は第 4.1 表の最後の列に記載しておいた。

### 8. 地震の規模 $M$ とモーメント $M_o$ との関係

断層変位  $u_2$  と断層面積  $L \cdot D$  が推定できたから、剛性率  $\mu$  を仮定すると地震のモーメント  $M_o$  が求まる。

$$M_o = \mu u_2 L \cdot D \quad (4.7)$$

$\mu = 10^{11}$  と仮定して  $M_o$  を計算したものを第 4.1 表の終りから 2 列目に記載してある。そのうち理論的方位と一致する A および (A) についてマグニチュード  $M$  との関係をとつてみると第 4.17 図の如くになる。その関係を直線であらわすと

$$\log_{10} M_o = 1.38 M + 15.7 \quad (M=4 \sim 5), \quad (4.8)$$

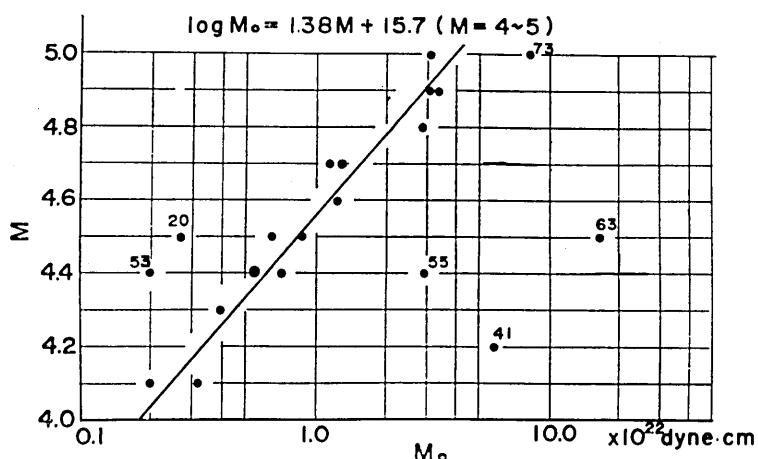


Fig. 4.17. Earthquake magnitude versus earthquake moment derived from tilt-steps.

\* L: (4.3) 式又は付録 4.3 による。

となる（番号のついた丸印は含まない）。M と Mo の関係についてはいろいろと求められている。笠原（前出 406）はここで扱った同じ地震を岐阜における Wiechert 地震計の観測から

$$\log_{10} Mo = 1.8 M + 13.5 \quad (M=4 \sim 5),$$

を得ている。また安芸<sup>417)</sup>は Parkfield の地震から

$$\log_{10} Mo = 1.5 M + 15.8,$$

Wyss, Brune<sup>418)</sup> の両氏も Parkfield 地震から

$$\log_{10} Mo = 1.4 M + 17.0 \quad (M=3 \sim 6),$$

の関係を得ている。竹本・高田<sup>419)</sup>は近畿北部の中規模地震の伸縮計の strain-step の観測から得た M と L の関係を敷衍して

$$\log_{10} Mo = 1.4 M + (18.7 \sim 17.7) \quad (M=3.6 \sim 5.6),$$

を得ている。竹本・高田以外はすべて地震波動から求めたものである。これらを数値を代入して比較してみると次の如くになる。

$\log_{10} Mo$ :

	W.T.T.	KASAHARA	AKI	W. & B.	T. & T.
M=4	21.2	20.7	21.8	22.6	24.3~23.3
M=5	22.6	22.5	23.3	24.0	25.7~24.7

水管傾斜計と笠原の値とはよい一致を示している。竹本・高田は  $\mu = 3 \times 10^{11}$  に仮定している。

## 9. 捕 遣

以上 Tilt-step から M と L の関係を M と D/L の関係に発展させ、M と Mo の関係については、それが他の方法で求めたものと矛盾しない結果が得られた。しかし、M と Mo の関係にしても 62 個の地震のうち対応のとれたもの 14 個とはやや“歩どまり”が悪いように思う。その原因のひとつは観測が時間的に密なところも疎なところも一様に第 4.5 図の方法によって Tilt-step を決定したことなどで、自記水管が完成すればよい結果が得られるであろう。

第 4.18 図は第 4.16 図 (a), (b), (c) から理論と一致する方位のものを抜出したものである。そのうち実線の丸印が M と Mo の関係式を定めたものであるが、断層の至近あるいは極至近距離のものが以外によく理論に合致している。それは傾斜の変化が大きいので媒質の多少の不均質に打勝ってよい一致が得られたのであらう。また、傾斜変化の異常に大きなもの、方位の一致のよくないものは、観測点が震源域内にあるため、震動によって計器台付近の岩盤の二次的破壊による影響も考えられる。

最後に断層面積推定の問題であるが、本震による断層面積の大きさを知るには余震の空間的分布を知る以外確実な手がかりが得られないであろう。大竹<sup>420)</sup>は 1970 年 4 月 9 日北

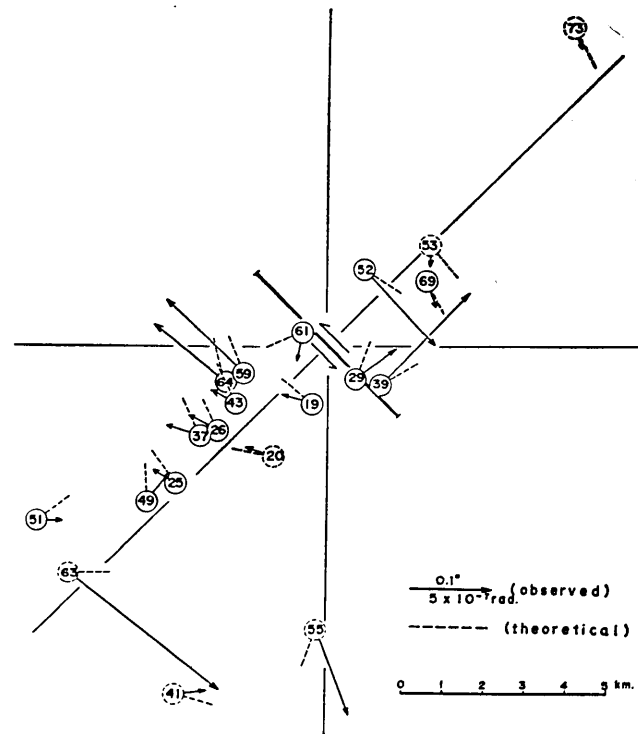


Fig. 4,18. Fourteen selected tilt-steps, which  $M$  versus  $Mo$  were derived. (open circle).

信地区で起った  $M=5.0$  の地震の前後の地震活動の微細構造を論じている。第 4.19 図は主震以降 30 日間の余震分布図である。図から主震の断層面積を長さ 10 km, 幅 2 km の面が深さ 14 km から 5 km かけて斜め上向に走っていると述べている。第 4.11 図の推定法では、 $5 \text{ km} \times 9 \text{ km} = 45 \text{ km}^2$  より小さくはならない。 $M$  と  $Mo$  の関係についてはよい結果が得られている反面、断層面積については過大見積をしている可能性が大きい。これらの問題については今後さらに検討しなければならない。

ここでは 1 カ所の観測点で多くの地震を観測したが、地殻変動観測所が多数建設された現在、ある大きな地震を多数の観測点で観測する場合の参考になるであろう。

以上多くの問題を残しながらも一応観測結果をまとめた。

## 第 5 章 諸分野への応用

水管傾斜計の諸分野への応用として、土木工学の分野として佐久間ダム、黒四ダムの場合を、火山学の分野としてキラウェア・カルデラにおける観測の場合について簡単に述べる。

### 1. 佐久間ダムの場合<sup>501)</sup>

佐久間ダムは天竜川の中流域に位置し、重力ダムとしてはわが国最大のものである。満水時の湛水容量は 327,000,000 m<sup>3</sup> である。

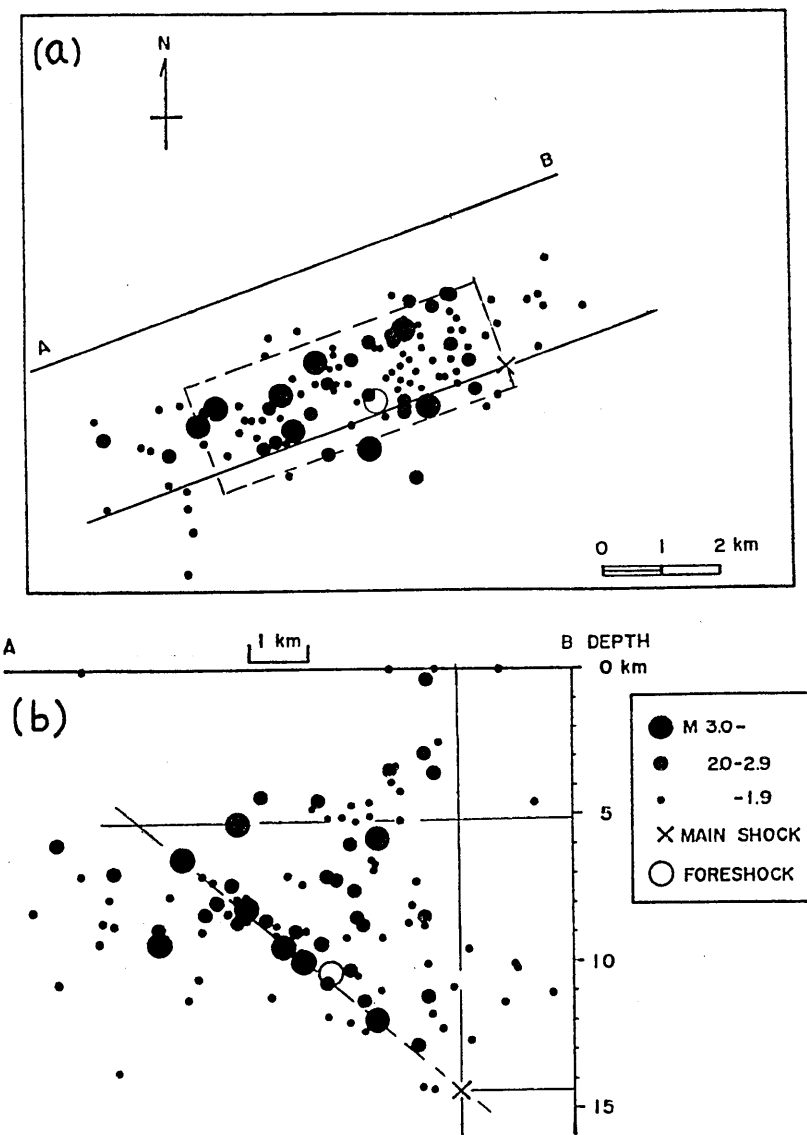


Fig. 4.19. (a) The epicentral distribution of the earthquakes which occurred within thirty days following the main shock. (b) The section map of the hypocentral distribution projected on a vertical plane trending N70°E (A-B). (after Ohtake).

この膨大な湛水荷重により、ダム周辺の岩盤は巨大な応力を受け、相応する歪が観測されるであろう。地殻の構造は複雑であるから、実験室における試験片の岩石とは異なる挙動が期待される。筆者らは電源開発株式会社と協同のもとに2号ダイバージョン・トンネルに水管傾斜計、伸縮計を据え廃棄した国鉄飯田線トンネル内に水管傾斜計1成分を据えて湛水の初期から観測を開始した。第5.1図は計器の位置図である。(●印地震計位置に同

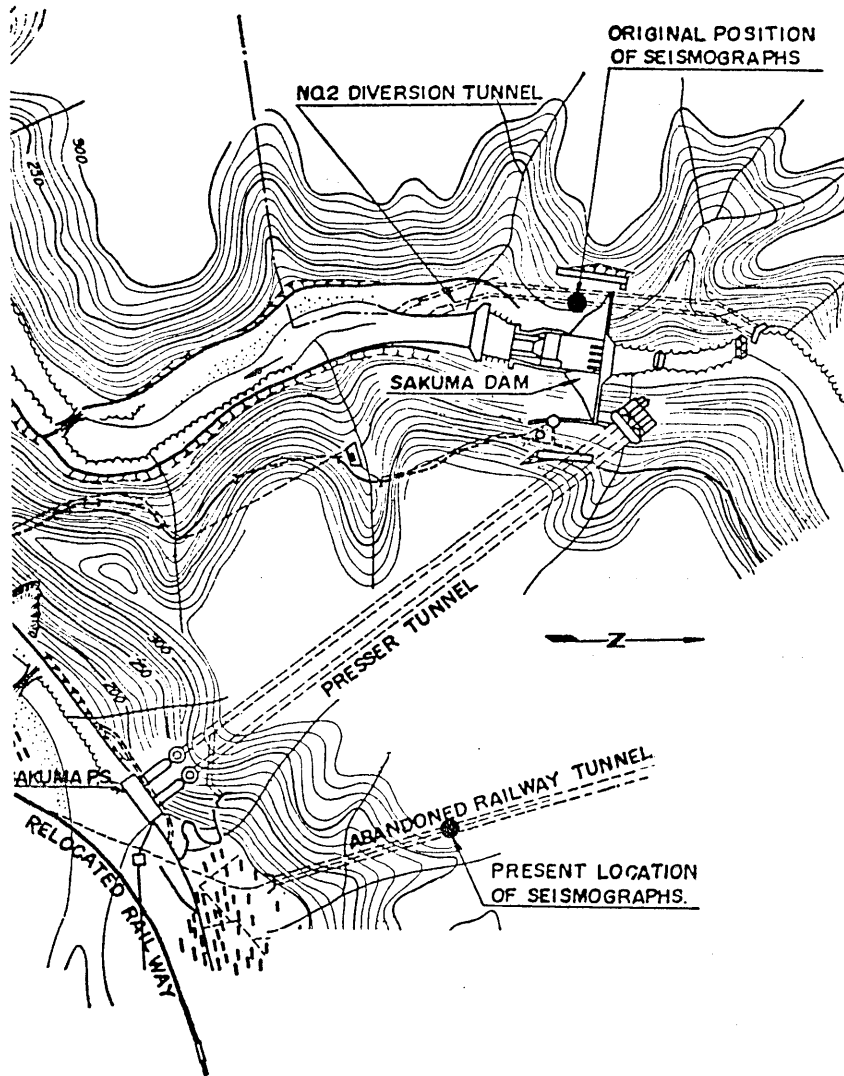


Fig. 5.1. Map of Sakuma Dam area. The observatories are shown by solid circles.

じ). 前者はダムの中央河床面に据えられ、後者は全長約 1500 m のトンネルの入口から 600 m の地点に据えられている。トンネルの北口は閉栓され水面下にある。第 5.2 図はその観測結果で、10 日平均値で示してある。AB 成分は上流下流方向 (A down は下流側下り), BC 成分は左右岸方向 (C down は左岸側下り) である。水位変化は約 50 m であるが、AB 成分より BC 成分の方が水位変動に対してより鋭敏に対応している。水位 1 m 当りの傾斜変化は BC 成分が  $0.05''$  であるのに対して AB 成分はその半分である。FG 成分 (廃棄鉄道トンネル) の記録は湛水池より遠いため水位変動との対応は顕著でない。しかし、水位変動と傾斜変化の間に若干の時間差があるように見える。なお、この研究では

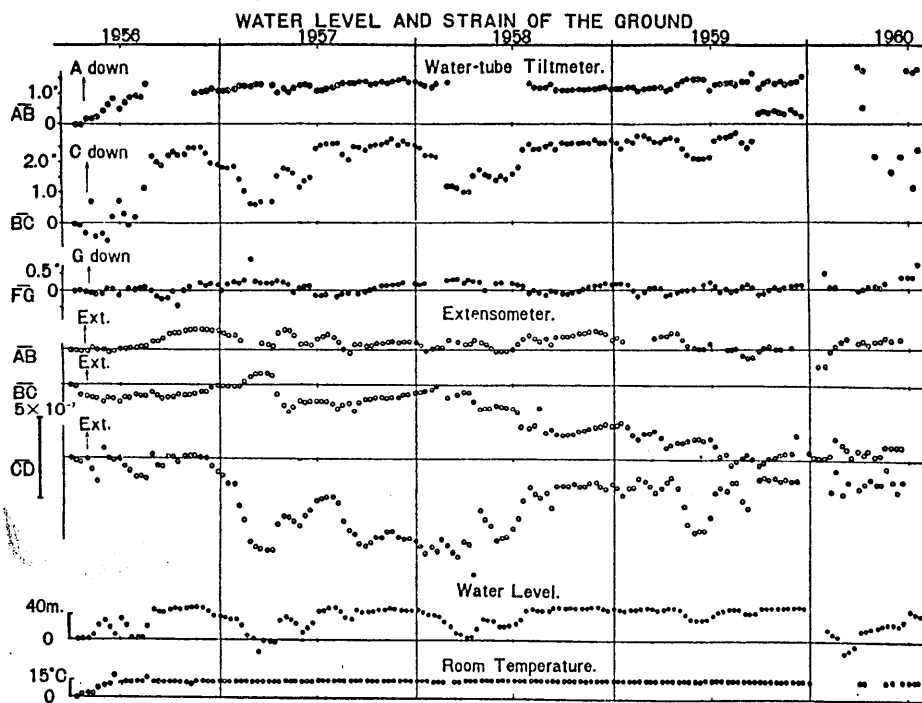


Fig. 5.2. Ground tilts and Strains at Sakuma.

湛水荷重による下流側の沈降域のひろがりを水準測量によって確かめた。その結果 82 m の水位上昇に対しダムサイトの下流 2 km の区間で平均傾斜 1.6 秒角のダム側の沈降が認められた。

## 2. 黒四ダムの場合<sup>502)</sup>

黒四ダムは、関西電力株式会社の黒部川第四水力発電所のダムである。堤頂長 475 m, 高さ 186 m アーチ式ダムとしてわが国最大のものである。このダムは黒部渓谷の脆弱な岩盤に建設されているので、あらゆる種類の測定を行なって安全管理に万全を期している。それはダム本体のみならず基礎岩盤の挙動にも充分に力が注がれている。筆者もこれらの測定の一部に参加した。

水管傾斜計は満水位の 40% (EL. 1340) と 60% (EL. 1370) の標高にある右岸の着岩面付近の河川に直交する監査廊内に据えられた。この場所は工事中から岩盤の変位が注目されていたところである。前者は 98 m, 後者は 65.9 m の長さを有し、配管の途中 2 カ所にも読取容器を据えて中間の変化もわかるようにしてある。坑道の奥から容器に 1, 2, 3, 4 の順に番号がつけてある。第 5.3 図は観測結果の一部である。図は最深部の地点 (No. 1) に対する各点の相対垂直変位であらわしてある。ここでは湛水位との相関はみられない。雨期 (7~8 月) には乾期 (3 月) にくらべ地表側が深部より 1.5~2.0 mm 沈下している。

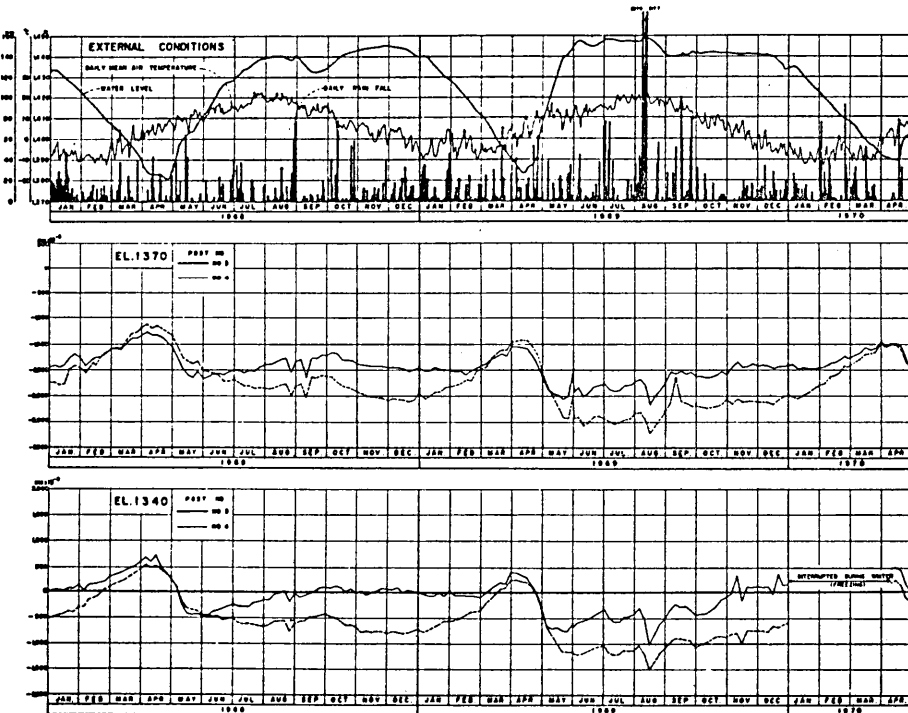


Fig. 5.3. Vertical movement of rock foundation. (after Kansai Electric Power Co.)

この現象は雨期に地山深部の膨脹によるものと解釈された。その理由として、夏季地山の間隙圧の上昇、河川に直角方向のロック・デフォーメータに圧縮があらわれることが挙げられる。そこで、地山の地下水位の変動がダムの基礎岩盤に変形を及ぼすことがほぼ確実と推定されるに至り、関電トンネル内の浸透水の測定から地下水位は赤沢岳 (EL. 2670 m) 直下で 430 m から 260 m (関電トンネル測定点標高 EL. 1560 m) まで 170 m 変化することが認められた。それから湛水面までの地下水流の自由水面、等ポテンシャル網の解析を行ない、地下水圧差による地山の変形量を求めた。これらの解析には有限要素法が用いられた。第 5.4 図はその結果を示したものである。図の変位ベクトルの上向成分は水管傾斜計の示す基礎岩盤の角変位をあらわし、水平 (Y 方向) 成分はいわゆる山押現象となるものである。山押は、ダムの着岩面における変位方向が三成分調整計算 (S.A. C.A.) の方向と若干の差違の生ずることにより確認できる。

この現象はアーチ・コードを圧縮する力が働くので、ダム設計に当たり考慮すべき事柄である。以上の重要な事実を把握できたことは、水管傾斜計が他種計測との関連において、ダムの安全管理上有効なものであることを証明するものである。

### 3. 火山学における応用

火山学における傾斜観測の歴史はかなり古い。地震研究所においては 1934 年頃より水上<sup>503), 505)</sup>、高橋・水上<sup>504)</sup>によって浅間火山の傾斜についての報告がある。同じ頃京都大学

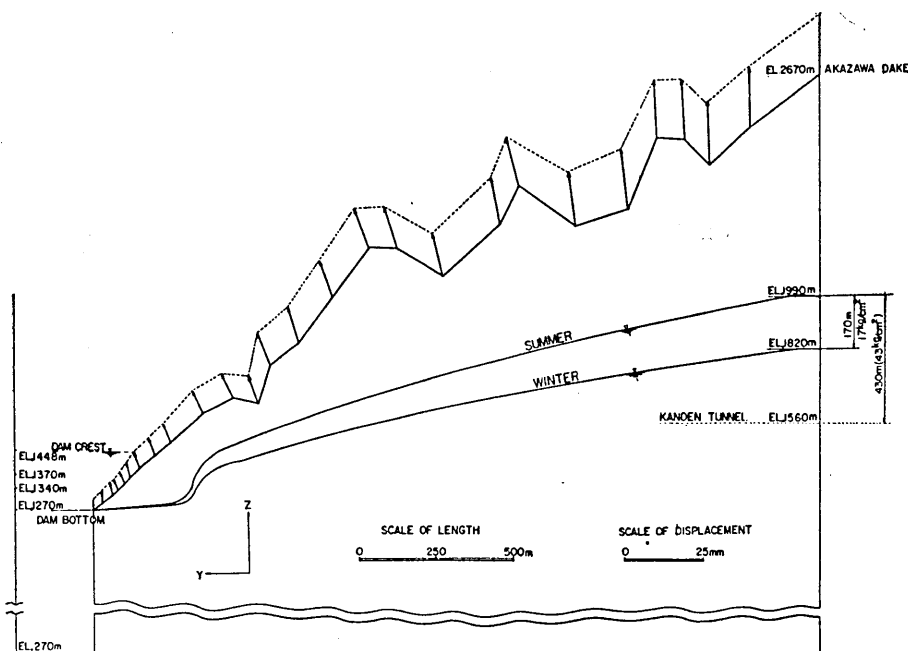


Fig. 5.4. Displacement of mountain to be caused by difference of seasonal ground water table. (after Kansai Electric Power Co.)

では佐々（前出 017）によって阿蘇山の観測が行なわれている。これらの観測はいずれも水平振子型傾斜計によるものである。浅間山の場合、計器は火口より 5 km ほど離れた山裾の熔岩の洞窟に据えられている。この観測で明らかにされたことは、火山活動が始まると傾斜変動も速度を増す。1935 年の噴火の例では、約 2 カ月前から異常が現われ始め、変動速度は 1 日当り 1 秒角で 30 秒角にも達した。この振巾は平常の数倍のものである。最初の噴火が始まると以後急速に変動が元に戻る。

この観測室の温度変化は年間を通じて  $0^{\circ}\text{C} \pm 1^{\circ}$  で、このような条件のよい場所は少ない。水平振子型が局部的な擾乱をうけて本質がうまく記録されないのは火山学においても同様であろう。水管傾斜計が火山学に実用されたのは最近である。わが国では桜島火山における江頭（前出 104）の試みがある。

J. P. Eaton<sup>506)</sup> はハワイのキラウェア・カルデラにおいて水管傾斜計による観測を行なった。その方法は 1 辺 2,000 尺の三角形の頂点の部分に基礎台を設け、1 組の水管傾斜計であたかも水準測量のように順次移動して観測する方法である。その閉塞誤差は屋外で不充分な条件であるが  $10 \mu$  以内であるという。

このような三角形をカルデラの外縁に 4 カ所設けて 1958 年 10 月から 5 カ月間観測を行なった。一方、均質媒質内に球形のマグマ溜りがあり、これに静水圧が加わった場合に地表面でどのような傾斜があらわれるかを理論的に求めたものと観測とを比較した。観測による火山頂上の膨らみの形から、カルデラの南縁の直下 4 km のところにマグマ溜りがあることが推定された。

なお、ここで使用された水管傾斜計は、筆者らの製作になるもの参考にして作られたときいている。

### 謝 辞

本論文が茲に完成するに至ったのは、多くの方々のご指導とお力添によるものである。東京大学地震研究所の萩原尊禮名誉教授、力武常次教授、笠原慶一教授には二十余年に亘り地震学、特に地殻変動についてご指導にあづかった。笠原教授には全篇を通覧の勞をとっていただき多くのご教示にあづかった。また、島崎邦彦助手、名古屋大学の志知竜一助手には終始貴重なご意見とご指導を賜わった。諸先生に深く感謝の意を表します。

論文内容の基本である観測資料については、長年に亘り観測に精進してこられた油壺観測所の若生喜市氏、高橋辰利技官、鋸山観測所の島津孝技官、松山観測所の故岩城治義技官、松代地震に際して筆者と観測を共にした弥彦観測所の若杉忠雄技官、以上の方々には貴重な資料を使用させていただいたことに対し厚く御礼を申し上げます。

計器の企画、試作、改良に関し良好な成果を収めることができたのは地震研究所の技術部の方々の優れた技術によるものである。ご協力を感謝致します。

各章で述べた研究を進めてゆく上にお世話になった方々は極めて多い。一人一人お名前を挙げることが出来ないが、愛媛県土木部、気象庁地震観測所、国土地理院、沖電気工業株式会社の関係の方々、そして、引用させていただいた文献の著者の方々によって啓発されるところ絶大なものがあった。それらの方々に対し厚く御礼を申し上げる次第である。

最後に本論文を執筆するに当り、北海道大学の横山泉教授には終始ご指導とご鞭撻を賜わった。深甚の謝意を表します。

本論文は北海道大学密査学位論文である。

### 参 考 文 献

#### まえがき

- 001) 今村明恒、地震に先駆する地殻変形に就て。地殻 I, 4 (1932), pp. 422-424.
- 002) A. IMAMURA, Topographical Changes accompanying Earthquakes or Volcanic Eruptions. Publ. Earthq. Inv. Comm., 25 (1930) pp. 27-30, pp. 35-38, pp. 112-113.
- 003) 文部省震災予防評議会、大日本地震史料. 3 (昭 18), pp. 105-106, pp. 148.
- 004) 島根県立浜田測候所、明治五年旧二月六日浜田地震。(大正 1), pp. 29.
- 005) 藤井陽一郎、日本の地震学。紀伊国屋新書 (1967), pp. 147.
- 006) A. IMAMURA, A Note on the Result of Precise Levelling in the Littoral Region of Etigo and Sinano. Proc. Imp. Acad. 4 (1928) pp. 56-59.
- 007) T. SHIDA, On the Elasticity of the Earth and the Earth's Crust. Memoir of College of Science and Engineering, Kyoto Imp. Univ., 4 (1912), pp. 24-26.
- 008) 萩原尊禮、地震計。科学文献抄 8, 岩波書店 (昭 11), pp. 48.
- 009) z. B.  
O. HECKER, Beobachtungen an Horizontalpendeln über die Deformation des Erdkörpers dem Einfluss von Sonne und Mond. Heft I u. II. Veröff. d. Königl. Preuss. Geodät. Inst. Potsdam N. F. 32 (1907), N. F. 49 (1911).  
E. v. REBEUR-PASCHWITZ, Das Horizontalpendel. Nova Acta Ksl. Leop. Carol. Acad. Halle, 60 (1892).  
E. v. REBEUR-PASCHWITZ, Horizontal Pendel-Beobachtungen auf der Kaiserlichen Universitäts Sternwarte zu Strassburg 1892-1894. Gerl. Beit z. Geophys. 2 (1897). etc.

- 010) M. ISHIMOTO, Observations sur les variations de l'inclination de la surface terrestre (premier rapport). Bull. Earthq. Res. Inst., **2** (1927), pp. 1-12.
- 011) W. INOUYE, On Earth-tilting observed at Mt. Tsukuba. Bull. Earthq. Res. Inst., **6** (1932), pp. 130-144.
- 012) R. TAKAHASI, Tilting Motion of the Earth Crust caused by Tidal Loading. Bull. Earthq. Res. Inst., **6** (1929), p.p. 85-108.
- 013) R. TAKAHASI, Tilting Motion of the Earth's Crust observed at Ryozen (Port Arthur). Bull. Earthq. Res. Inst., **10** (1932), pp. 532-553.
- 014) R. TAKAHASI, Tilting Motion of the Earth's Crust observed at Kawana. Bull. Earthq. Res. Inst., **10** (1932), pp. 145-170.
- 015) 西村栄一, 地殻潮汐について. 地球物理, **5** (昭. 16) pp. 10-170.
- 016) T. HAGIWARA, Observations of Changes in the Inclination of the Earth's Surface at Mt. Tsukuba. Bull. Earthq. Res. Inst., **16** (1938), pp. 366-371. ditto (Second Report). **19** (1941), pp. 218-227.
- 017) 佐々憲三, 気象変化に起因する土地昇降変化に就いて. 天文学及地球物理学報文輯報, **1** (昭. 15), pp. 16-26.
- 018) C. TSUBOI, The Water Surface of a Lake as an Indicator of Crustal Deformation. Bull. Earthq. Res. Inst., **15** (1937), pp. 935-943.
- 019) 萩原尊禮, 表俊一郎, 富士山麓に於ける地表傾斜変化の研究 (其の 1). 地震研究所集報, **21** (昭. 18) pp. 243-275.
- 020) 社団法人土木学会, 明治以前日本土木史. (昭. 11) pp. 1669.
- 021) A. A. MICHELSON, The Rigidity of the Earth. Astrophys. J. **50** (1919).  
(原著は入手できないので内容は(前出 016) 西村英一, pp. 12 より引用.)
- 022) R. TAKAHASI, Preliminary Report on the Observation of the Tilting of the Earth's Crust with a Pair of Water Pipes. Bull. Earthq. Res. Inst., **8** (1930), pp. 143-152.
- 023) T. HAGIWARA, Observation of Changes in the Inclination of the Earth's Surface at Mt. Tsukuba (Third Report). Bull. Earthq. Res. Inst., **25** (1947), pp. 27-32.
- 024) 萩原尊禮, 力武常次, 山田重平, 笠原慶一, 油壺における地殻変動の研究. 地震研究所速報, 第6号 (昭. 24).
- 025) T. HAGIWARA, T. RIKITAKE and J. YAMADA, Observations of the Deformation of the Earth's Surface at Aburatsubo, Miura Peninsula Part I. Bull. Earthq. Res. Inst., **26** (1948), pp. 23-27.  
T. HAGIWARA, T. RIKITAKE, K. KASAHARA and J. YAMADA, ditto. Part II, Bull. Earthq. Res. Inst., **27** (1949), pp. 35-38. ditto, Part III, Bull. Earthq. Res. Inst., **27** (1949), pp. 39-44.  
T. HAGIWARA, K. KASAHARA, J. YAMADA and S. SAITO, ditto. Part. IV, Bull. Earthq. Res. Inst., **29** (1951), pp. 455-468.  
T. HAGIWARA and K. KASAHARA, ditto. Part V, Bull. Earthq. Res. Inst., **29** (1951), pp. 557-561.
- 026) loc. cit., 023), pp. 27-28.  
または、萩原尊禮, 地震の予知, 地学出版社, (昭. 41), pp. 66-72.

### 第 1 章 水管傾斜計の計器論

- 101) 萩原尊禮, 山田重平, 室戸岬で行った水管傾斜計による土地傾斜変動の観測. 地震研究所速報, **5** (昭. 22), pp. 179-185.
- 102) loc. cit., 024), 025) Part I.
- 103) T. HAGIWARA and T. RIKITAKE, Observation of the Deformation of the Earth's Surface in the Vicinity of the Epicenters of the Imaichi [Earthquake. Bull. Earthq. Res. Inst., **28** (1950), pp. 438.
- 104) 江頭庸夫, 自記水管傾斜計, 京大防災研究所年報. **8** (昭 40), pp. 59-68.
- 105) Earthquake Prediction Research Group in Japan, Prediction of earthquakes Progress to Date and Plans for Future Development. (1962), pp. 8.

- 106) loc. cit., 025). Part II, Part III.
- 107) loc. cit., 012).
- 108) loc. cit., 016).
- 109) M. YASUI, T. WATANABE. Studies of the Thermal State of the Earth. The 16th Paper: Terrestrial Heat Flow in the Japan Sea (1). Bull. Earthq. Res. Inst., **43** (1965), pp. 549-563.
- 110) loc. cit., 017).
- 111) 岡田武松, 氣象学. 岩波書店, 上 (昭. 15), pp. 173.
- 112) 長谷川洋作, 浜野洋三, 坂田正治, 台風通過と地殻の隆起. 昭和46年度地震学会春季大会講演予稿集, pp. 151.
- 113) loc. cit., 016), (Second Report).
- 114) 飯田汲事, 志知竜一, 松浦宏, 犬山における地殻変動の連続観測. 測地学会誌, **14** (1969), pp. 150-154.
- 115) 志知竜一, 松浦宏, 飯田汲事, 犬山における地殻変動の連続観測, (II). 測地学会誌, **16** (1970), pp. 177-189.  
山内常生, 志知竜一, 飯田汲事, 溉水量測定の自記装置. 測地学会誌, **16** (1970), pp. 276-227.
- 116) 山内常生, 志知竜一, 飯田汲事, 地殻変動の連続記録に現われる降雨によるノイズについて. 測地学会誌, **16** (1970), pp. 202-208.
- 117) T. TANAKA, Study on Meteorological and Tidal Influence upon Ground Deformations. Special Contributions, Geophys. Inst., Kyoto Univ., **9** (1969), pp. 29-90.

## 第 2 章 水管傾斜計の遠隔記録

- 201) R. L. HANSON, Applications of the Acoustic Sing-Around Circuit. J. Acous. Soc. Am. **21** (1949), pp. 60.
- 202) 例えば 岩波理化学辞典. 第1刷 (1953), pp. 62. ほか Rheology の著書多数.
- 203) JULIAN R. FREDERIC, Ultrasonic Engineering. John Wiley & Sons, Inc., New York (1965), pp. 27-28.
- 204) ditto, pp. 31-33.
- 205) } 実吉純一, 超音波の応用. エレクトロニクス講座, 応用編 I. 共立出版 (昭. 36), pp. 224-225.
- 206) }
- 207) loc. cit., 203), pp. 33-41.
- 208) 沖電気工業株式会社, 超音波式自記水管傾斜測定装置取扱説明書. (昭. 42)

## 第 3 章 水管傾斜計の経年変化

- 301) loc. cit. 025), Part IV, pp. 455-468.
- 302) 原田美道, 地殻変動特に三浦半島の変動特性, 第1報. 地震 II. **1** (1948), pp. 52-56.
- 303) 檀原毅, 広部正信, 日本における過去60年間の上下変動, II 関東地方南部. 測地学会誌, **10** (1964), pp. 61-69.
- 304) 檀原毅, 日本における過去60年間の上下変動, III 三浦半島特論. 測地学会誌, **10** (1964), pp. 71-82.
- 305) 藤井陽一郎, 房総半島における地殻変動, I. 測地学会誌, **13** (1968), pp. 136-145.
- 306) 松田時彦, 南関東の地質と活断層. 東京大学地震研究所地震予知観測センター資料, **1** (1970), pp. 9-16.
- 307) 村井勇, 南関東の地質構造的応力場. 東京大学地震研究所地震予知観測センター資料, **1** (1970), pp. 17-24.
- 308) 成瀬洋, 関東地方における第四紀地殻変動. 地質学論集, **2** (1968), pp. 29-32.
- 309) 河角広, 鎌倉の地震力の期待値について. 災害科学研究会 (1963), 307) より引用.
- 310) 国土地理院・地殻活動調査室, 房総・三浦半島における地殻活動状況. 地震予知連絡会会報. 1 (昭. 44), pp. 25-33.
- 311) 檀原毅, 油壺における傾斜記録と水準測量との比較. 測地学会誌, **11** (1965), pp. 107-113.
- 312) 藤田尚美, 三浦半島の上下変動に関する一考察. 地震予知連絡会会報, **5** (昭. 46), pp. 36-37.
- 313) 国土地理院, 一等水準測量検測成果集録, **10** (昭. 44).

- 314) 岡田惇, 井筒屋貞勝, 伊藤裕, 角野行栄, 房総半島鋸山周辺の水準測量. 地震研究所彙報, **47** (1969), pp. 129-135.
- 315) N. MIYABE, Blocks in the Earth's Crust and their Movements Part II. (Post-Seismic Crustal Movements in Boso Peninsula). Bull. Earthq. Res. Inst., **9** (1931), pp. 407-422.
- 316) 島津康男, 地球内部物理学, 裴華房 (昭. 44), pp. 147-152.
- 317) H. KANAMORI, Study on the Crust-mantle Structure in Japan. Part 2, Interpretation of the Results Obtained by Seismic Refraction Studies in Connection with the Study of Gravity and Laboratory Experiments. Bull. Earthq. Res. Inst., **41** (1963), pp. 761-779.
- 318) K. KAMINUMA, The Crust and Upper Mantle Structure in Japan. Part 2. Crustal Structure in Japan from the Phase velocity of Rayleigh waves. Bull. Earthq. Res. Inst., **44** (1966), pp. 495-510.
- 319) 建設省国土地理院, 地震とその予知—地震対策のために, (昭. 47) pp.26.
- 320) ROBERT K. MCCONNELL, JR., Isostatic Adjustment in a Layered Earth, [J. Geophys. Res., **70** (1965), pp. 5172-5188.]
- 321) J. C. SAVAGE, A Theory of Creep Waves Propagating along a Transform Fault, J. Geophys. Res., **76** (1971), pp. 1954-1966.
- 322) K. MOGI, Migration of Seismic Activity, Bull. Earthq. Res. Inst., **46** (1968), pp. 53-74.
- 323) M. ANDO, A Fault-Origin Model of the Great Kanto Earthquake of 1923 as Deduced from Geodetic data, Bull. Earthq. Res. Inst., **49** (1967), pp. 19-31.
- 324) 山口梅太郎, 西松裕一, 岩石力学入門, 東京大学出版会 (1967)
- 325) 地理調査所, 一等水準点検測成果集録, 第1巻 (昭 30).
- 326) 高橋竜太郎, 平能金太郎, 相田勇, 愛媛県高縄半島における精密水準測量の結果報告, 四国地方地盤変動調査報告書, 四国地方経済復興開発委員会, 第7輯 (昭 25).
- 327) 愛媛県土木部河川課, 松山市における地殻変動の観測 (昭. 31).
- 328) 愛媛県, 愛媛県地質図・地質図説明書, (昭. 37).
- 329) 志知竜一, 私信 (1970年10月, 11月, 1972年2月).
- 330) J. M. A., The Rainfall in Japan, **8** (1940-1950), **9** (1951-1955),
- 331) 小牧昭三, 観測井記録の解析, 北伊勢地盤沈下報告書, (昭. 42), pp. 29-73.
- 332) 小沢泉夫, 渚水による地盤のひずみの観測, 京都大学防災研究所年報, **13**号A (昭. 45), pp. 79-90
- 333) 野間泰二, 松山市石手川伏流水について—愛媛県道後平野の水理地質学的研究, 第2報. 愛媛大学紀要, 第II部第2巻 (1957), pp. 107-116.
- 334) J. M. A., Catalogue of Major Earthquake in and near Japan, **1** (1926-1956), **2** (1957-1962), **3** (1963-1967).
- 335) 檀原毅, 松代地震に関連した地殻の上下変動. 測地学会誌, **12** (1966), pp. 18-45.
- 336) 坪川家恒, 地殻変動の継続時間と地震の規模との関係について. 測地学会誌, **15** (1969), pp. 76-88.
- 337) J. A. MESCHERIKOV, Recent Crustal Movements in Seismic Regions: Geodetic and Geomorphic Data. Tectonophysics, **6** (1968), Special Issue, pp. 29-39.

#### 第4章 地震活動と水管傾斜計の観測

- 401) 気象庁, 松代群発地震調査報告, 気象庁技術報告, **62** (1968), pp. 7-18.
- 402) The party for Seismographic Observation of Matsushiro Earthquakes and the Seismometrical Section, Matsushiro Earthquakes Observed with a Temporary Seismographic Network. Part 2. Bull. Earthq. Res. Inst., **44** (1966), pp. 1689-1714. Part 3. Bull. Earthq. Res. Inst., **45** (1967), pp. 197-223. Part 4. Bull. Earthq. Res. Inst., **45** (1967), pp. 887-917.
- 403) T. HAGIWARA and T. IWATA, Summary of the Seismographic Observation of Matsushiro Swarm Earthquakes. Bull. Earthq. Res. Inst., **46** (1968), pp. 485-515.
- 404) T. HAGIWARA, J. YAMADA and M. HIRAI, Observation of Tilting of the Earth's Surface

- Due to Matsushiro Earthquakes. Part 1. Bull. Earthq. Res. Inst., **44** (1966), pp. 351-361.
- 405) 萩原尊禮, 土地傾斜変化観測上の一問題点, 日本測地学会, 第30回講演会, (昭. 43).
- 406) T. HAGIWARA and T. RIKITAKE, Japanese Program on Earthquake Prediction. Science, **157** (1967), pp. 761-768.
- 407) K. KASAHARA, The Source Region of the Matsushiro Swarm Earthquakes. Bull. Earthq. Res. Inst., **48** (1970), pp. 581-602.
- 408) Y. TSUNEISHI and K. NAKAMURA, Faulting Associated with the Matsushiro Swarm Earthquakes. Bull. Earthq. Res. Inst., **48** (1970), pp. 29-51.
- 409) 萩原尊禮, 力武常次, 笠原慶一, 山田重平, 福井県北郷村に於ける土地傾斜変化および伸縮の観測. 日本学術会議福井地震調査研究特別委員会 (昭. 24), pp. 61-64.
- 410) M. ICHIKAWA, Reanalysis of Mechanism of Earthquakes which occurred in and near Japan, and Statistical Studies on the Nodal Plane Solutions Obtained, 1926-1968. The Geophysical Magazine, J. M. A., **35** (1971), pp. 207-274.
- 411) F. PRESS, Displacements, Strains, and Tilts at Teleseismic Distances. J. Geophys. Res., **70** (1965), pp. 2395-2412.
- 412) M. A. CHINNERY, The Deformation of the Ground Around Surface Faults. Bull. Seismol. Soc. Am., **51** (1961), pp. 355-372.
- 413) 竹本修三, 高田理夫, 地震に伴う Strain Step について. 測地学会誌, **15** (1969), pp. 68-74.
- 414) 大塚道男, 地震のマグニチュードと地表にあらわれる断層について. 地震 II, **18** (1965), pp. 1-8.
- 415) M. WYSS and H. BRUNE, Seismic Moment, Stress, and Source Dimensions for Earthquakes in the California-Nevada Region. J. Geophys. Res., **73** (1968), pp. 4681-4694.
- 416) T. MARUYAMA, Statical Elastic Dislocations in an Infinite and Semi-Infinite Medium. Bull. Earthq. Res. Inst., **42** (1964), pp. 289-368.
- 417) K. AKI, Analysis of the Seismic Coda of Local Earthquakes as Scattered waves. J. Geophys. Res., **74** (1969), pp. 615-631.
- 418) loc. cit., 415).
- 419) 竹本修三, 高田理夫, 近畿北部の中規模地震と Strain Step について. 地震 II, **23** (1970), pp. 49-60.
- 420) M. OHTAKE, Micro-structure of the Seismic Sequence Related to a Moderate Earthquake. Bull. Earthq. Res. Inst., **48** (1970), pp. 1053-1067.

## 第5章 諸分野への応用

- 501) Electric Power Development Co., Ltd., Measurement of the Deformation of the Ground Caused by the Load of the Water Stored in the Sakuma Reservoir. (1961).
- 502) 関西電力株式会社, 黒部ダム測定報告書. (1971).
- 503) T. MINAKAMI, The Explosive Activities of Volcano Asama in 1935, (Part I). Bull. Earthq. Res. Inst., **13** (1935), pp. 629-644.
- 504) R. TAKAHASHI and T. MINAKAMI, Tilt Observations during the Recent Activities of Volcano Asama. Bull. Earthq. Res. Inst., **15** (1937), pp. 465-491.
- 505) T. MINAKAMI, On Volcanic Activities and Tilting of the Earth's Surface. Bull. Earthq. Res. Inst., **20** (1942), pp. 431-504.
- 506) J. P. EATON, A Portable Water-tube Tiltmeter. Bull. Seismol. Soc. Am., **49** (1959), pp. 301-316.

## 付録 1.1. 水管傾斜計の針先を鮮明に見る光学系. (本文8頁)

第1.5図の筆者改良の光学系は、球面の覗き窓と球面収差と色収差を補正した対物レンズからなる。その原理を簡単に述べる。第1.1図において球面窓を境にして右側が空気、

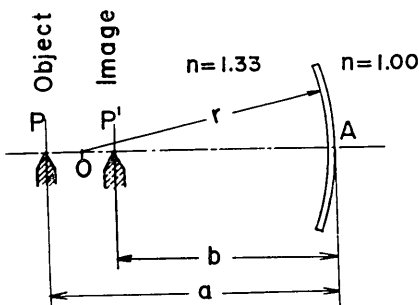


Fig. 1.1. Relationship between the object P and its image P' which is seen through the spherical glass field with water.

左側が水である。幾何光学によれば球面体を光が通過するとき物界と像界との間に次の関係式が成り立つ

$$n\left(\frac{1}{r} - \frac{1}{a}\right) = n'\left(\frac{1}{r} - \frac{1}{b}\right) \quad (1.1)$$

茲で

$n, n'$  はそれぞれ空気と水の光の屈折率  
( $n=1.0, n'=1.33$ )

$r$  は球面の半径

$a=AP$  極から物体までの距離

$b=AP'$  極から像までの距離

上式により物体の種々な位置  $a$  に対する像の位

置  $b$  が一義的にきまる。いま  $a=r$  とおくと  $b=r$  となり実物と像とは一致する。

すなわち実物も像も眼の位置によって動かない。一方  $r=\infty$  とおくと上式は  $a=b/n'$  となり平面窓の場合に相当する。いま  $b=x$  とおくと  $a=x/n'$  で像と実物との距離は

$$x-a = \frac{n'-1}{n'} \cdot x = \frac{0.33}{1.33} \cdot x = \frac{x}{4} \quad (1.2)$$

となる。境界面の外から水中の物体を見ると、その距離が  $1/4$ だけ近づいて見える現象は周知のことである。従って平面窓の場合見る角度により像の位置が変わる。すなわち視差最小の状態は覗き窓が針先を中心とし極までを半径とする球面になっているときである。対物レンズは針先を見るだけでよいから設計に当っては近軸光線の取扱で充分である。従って球面収差と色収差の補正だけで充分である。

#### 付録 1.2. 読取容器の製作工程（本文 12 頁）

容器は上質の青銅鋳物、たとえば JIS・H・5111・第3種または同等以上のもので作る。それも出来るだけ大型のインゴットから作ることが望ましい。それには大きな製作所で数多く註文するのがよい。ひずみ取は鋳造工場で熱い砂の上に長時間放置しておいてくれるが、さらに数年以上屋外に放置して雨露に晒しておく。筆者は F型を 40 個発註し筑波観測所の屋上に数年間晒してから加工した。注意深く製作された鋳物は旋盤加工の際、「す」(鬆)の全くないことでわかる。「す」が深いと削り取らなければならないので、4 個組が同じ寸法に仕上がらない。粗悪な鋳物は水が「す」を浸透し外部にしみ出すことすらあるとのことである。次に貯水部分に耐久性のよいていねいなメッキが施される。

先ず 30 ミクロン以上の厚さに銅メッキをして鋳肌のピンホールの目つぶしを行ない、その上に 10~20 ミクロン厚のニッケルメッキをかける。途中クロムメッキをしてニッケルメッキした方が一層親和力がよいとのことである。このような厚目のメッキを一様の厚さにかけることは熟練と長時間の労力を要することで高価なものとならざるを得ない。この計器が外観の割に高価といわれる理由はこうした念入さによるものである。外部の塗粧についても念入なプライマー処理が施されている。表面処理技術に関しては当時の冶金学教

室の浅原助教授のご意見に負うところが多い。最近明石製作所においてこのような煩雑なメッキ・塗粧を一切省略する方法として不銹鋼鋳物で試作を行なった。インゴットや熱処理の吟味のむつかしさは砲金鋳物の場合と同等としても、非常に長期間に亘る材料変形のデータが皆無である点で、地震観測用として使用することに若干不安を感じざるを得ない。

一方筑波における原型は砲金鋳物にカドミウムメッキを施したものときいている。ほぼ30年を経過したが今なお健在である。漏水試験は1日当たり1~2ミクロンならば合格である。

#### 付録 1.3. 観測横坑の施工（本文 12 頁）

観測横坑の掘削は発破によって掘進することは止むを得ないが、台石の据えられる付近は発破の薬量を少なくするとか、なるべく手掘で進むかして岩盤深部の損傷を避けるよう心掛け、その旨現場責任者と打合わせるべきである。坑道は原則として素掘のままが望ましいが、計器の直上は水滴、塵埃などの落下物に対し覆いが必要である。ライナープレートは挖工が簡単で長寿命である。凝灰岩のように水分に遭うと急速に風化する岩盤は全面的に巻立を行なわなければならないが、「トルクリット」施工法が密着がよく最適のように思う。その場合も巻立の厚さは、5~7 cm で充分である。勿論、肌落、落盤の恐れのある場所は例外である。床コンクリートも 10 cm 程度で充分である。床も壁も 10 m 間隔に膨脹縫手を入れるとよい。巻立を行なう前に坑道の精密な地質調査を行なっておけば後日観測結果を考察する際に役立つであろう。湧水に対する処置は巻立によって流出を止めることなく、むしろ樋や導孔によって自由に排出できるようにしてやらなければならぬ。

#### 付録 1.4. 台石の加工（本文 12 頁）

台石の素材は均質無疵のものを選び、仕上り寸法は縦×横×高さ = 400×350×800 mm. あれば充分である。読み取・自記両方式と一緒に置く場合には横巾は 500 mm 必要である。台石の天端は水磨き、側面は小叩き、床面以下に埋る部分は生地のまま、底面は荒削りでも平面にしておく。天端の仕上は最近の機械研磨では中凹みとなり易いから発註に際して注意を与えなければならない。仕上はていねいにやれば際限がなく、代金の大部分は加工費である。計器を取付けるために埋込ボルト用の孔をあけるが、上から 10 cm 位の両側面にも 2 個の孔をあけておくと据付作業に便利である。ここに軟鋼棒を通し、運搬のとき、あるいは据付のとき微小調整に非常に役立つ。据付に際し高さや水平の調整には、5×10 cm の軟钢板を各種の厚さのものを用意し、台石の四隅に敷いて調節する。セメントの配合は、セメント：砂：砂利 = 1:2:4 で、骨材は篩分けされたよいものを使わなければならない。

#### 付録 1.5. 観測坑の平面図（本文 12 頁）

観測坑は、初期の地殻変動観測所においては既製の坑道が利用された。防空壕、鉱山の廃坑、廃棄した鉄道の隧道などである。第 1.9 図 (15 頁) の観測坑は筑波を除きいずれも

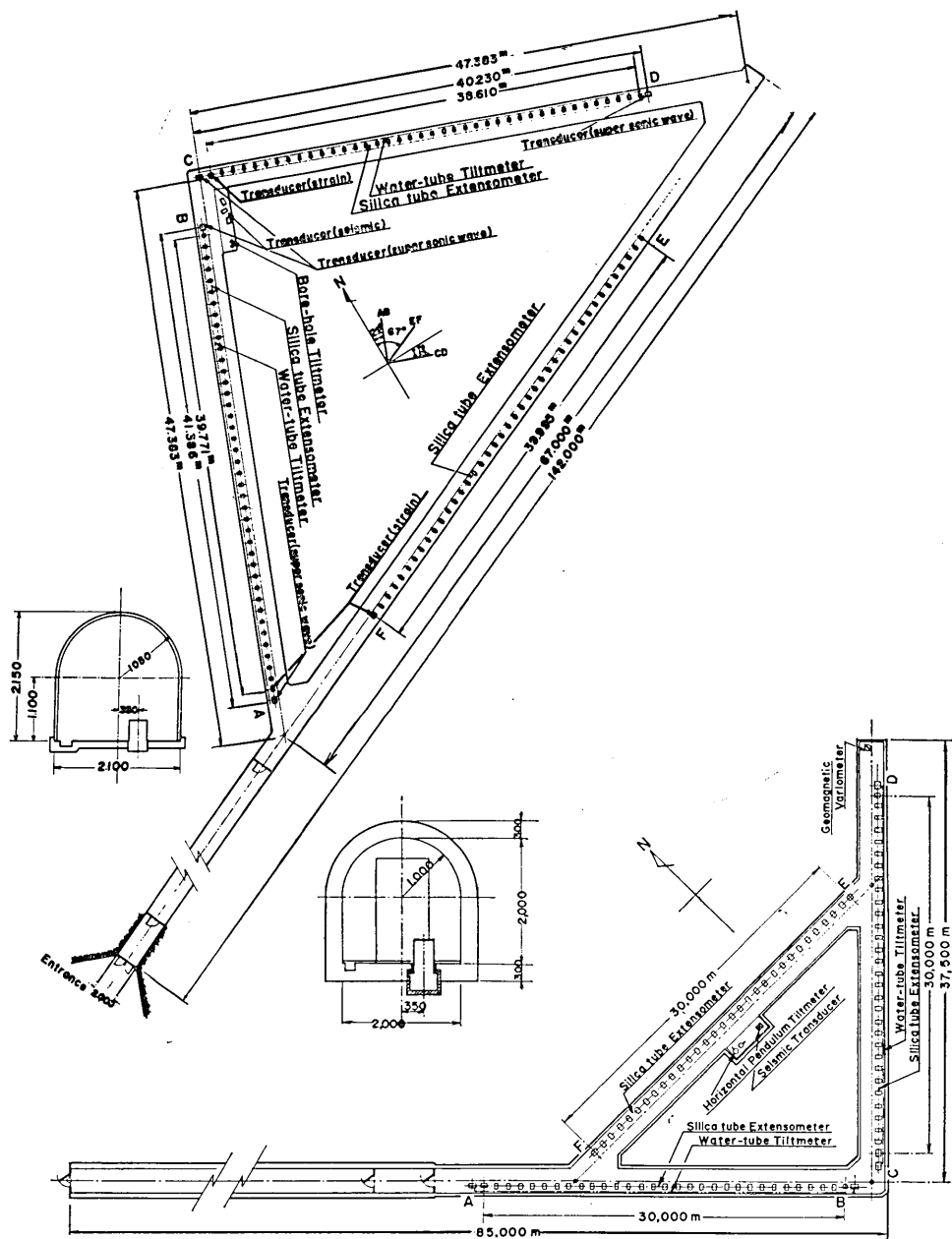


Fig. 1.2. Vaults for the observation of crustal movement.  
above; Fujigawa Crustal Movement Observatory (Tokyo University)  
below; Erimo Geophysical Observatory (Hokkaido University).

軍が掘った防空壕を利用したものである。

筑波の坑道は、従来土中室と称する半地下式の建物にくらべ、比較にならない程安定な

状態が得られたことで画期的なものであった。地震予知研究計画による規格の観測坑はこうした古い観測所の経験から作られた。一例として、富士川(1970年)、えりも(1971年)の両地殻変動観測所の観測坑を示す。

#### 付録 2.1. 圧電素子の絶縁低下 (本文 31 頁)

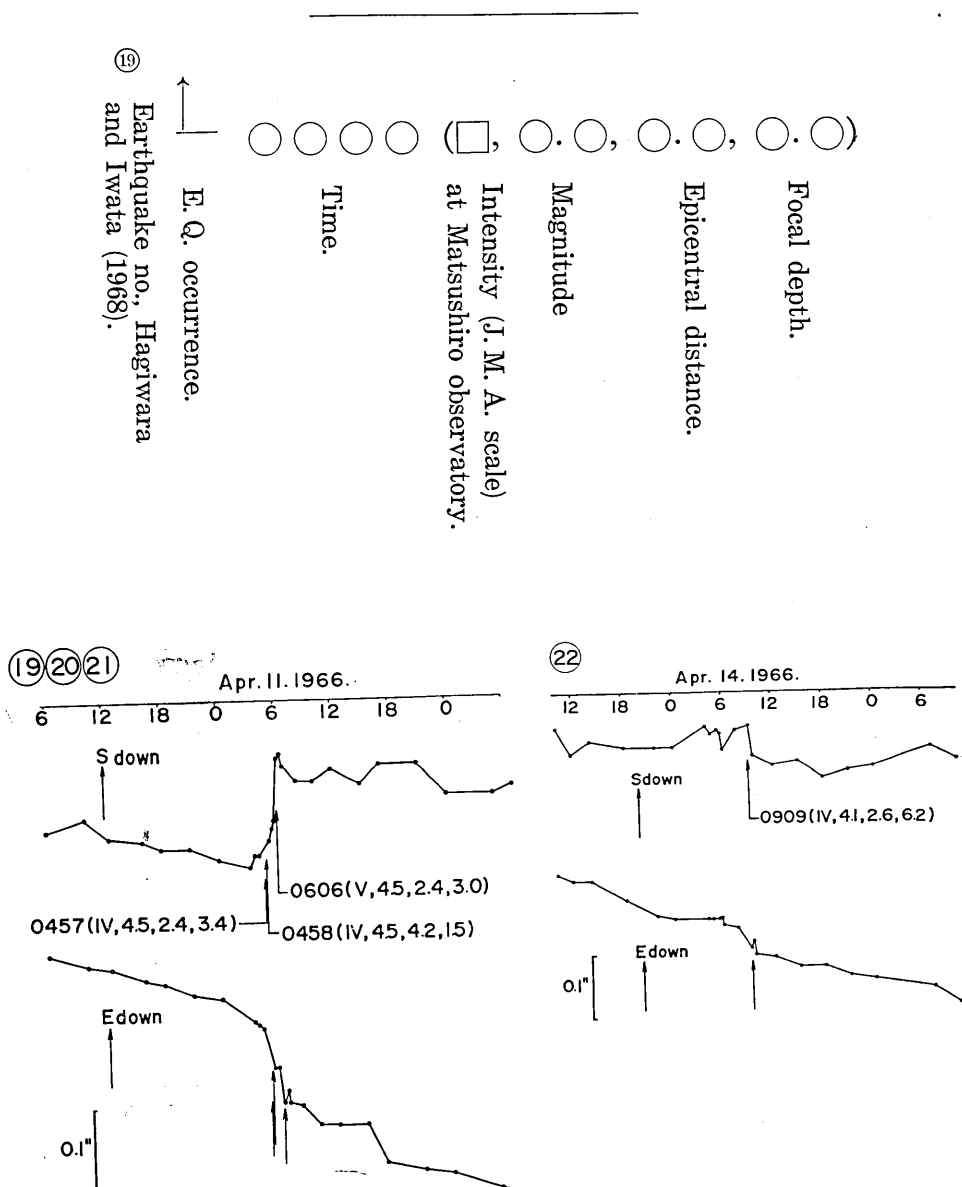
水中にある圧電素子は薄いポリウレタン被膜によって水と電気的に絶縁されている。鋸山型では送受波器共用であるから被膜の経年変化には無関係であるが、北信型では送受波器は別別であるから、経年変化は見掛の水位差となる恐れがある。そのため被膜は特に薄く加工してある。約 3 カ月使用し回収した製作者(沖電気工業)の調査報告によれば次の通りである。

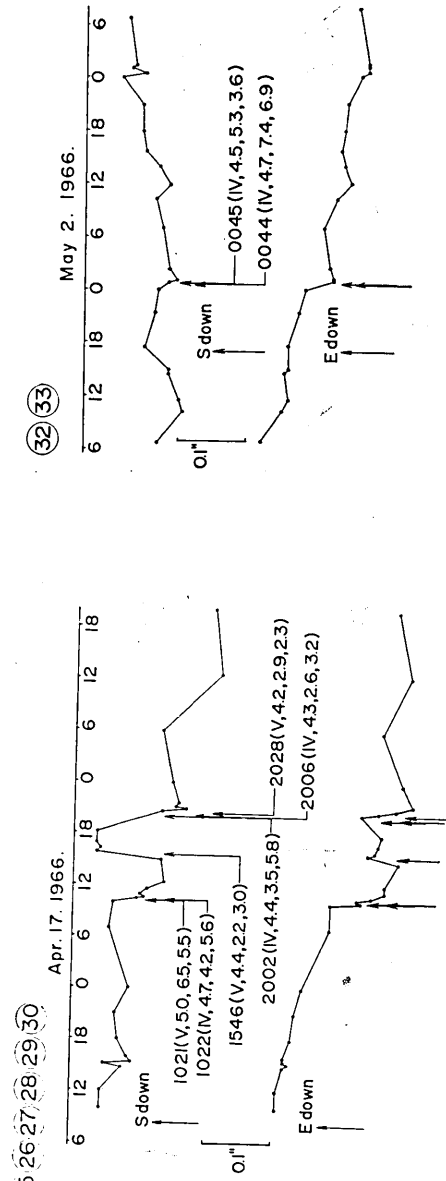
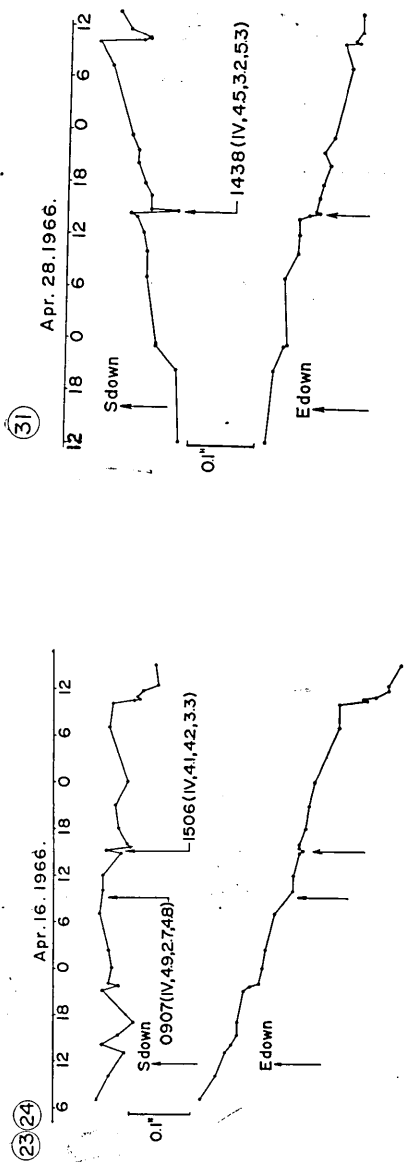
Table 2.1. Comparison of changed insulation resistance and capacitance with their normal values. Their changes were the main cause of a failure. (tested by Oki Electric Industry Co., Ltd.)

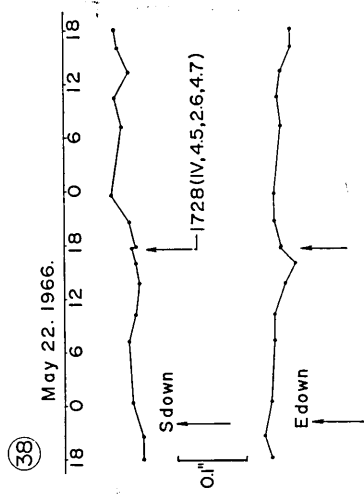
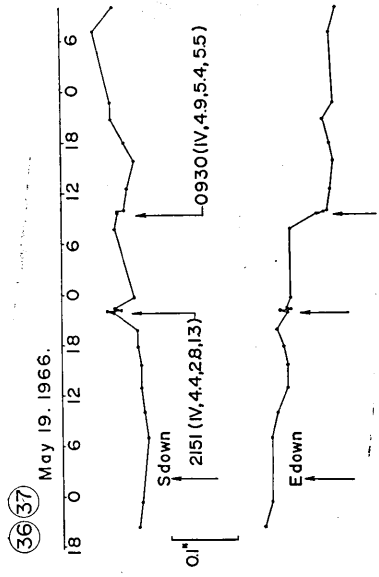
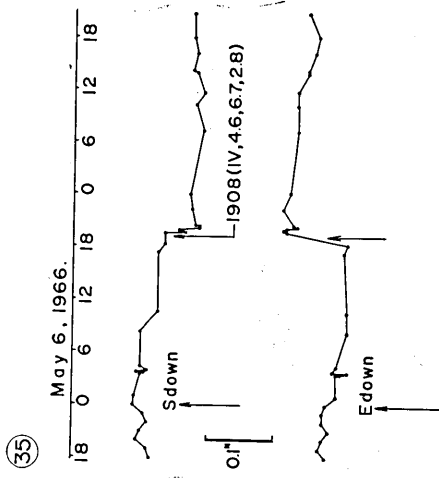
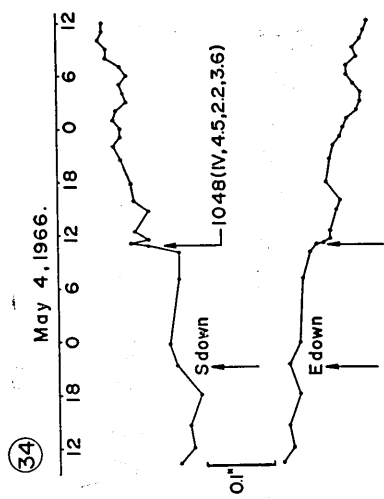
Element	Capacity	Insulation resistance	Normal value
1 — Transmitter Reciever	50,000 P.F. 70,000	70 Ω 200	Capacity 1,000~1,200 P.F.
2 — Transmitter Receiver	— 9,000	0 50,000	
3 — Transmitter Receiver	300,000 6,000	0 400,000	Insulation resistance ∞ Ω
4 — Transmitter Receiver	2,700 30,000	500,000 400,000	

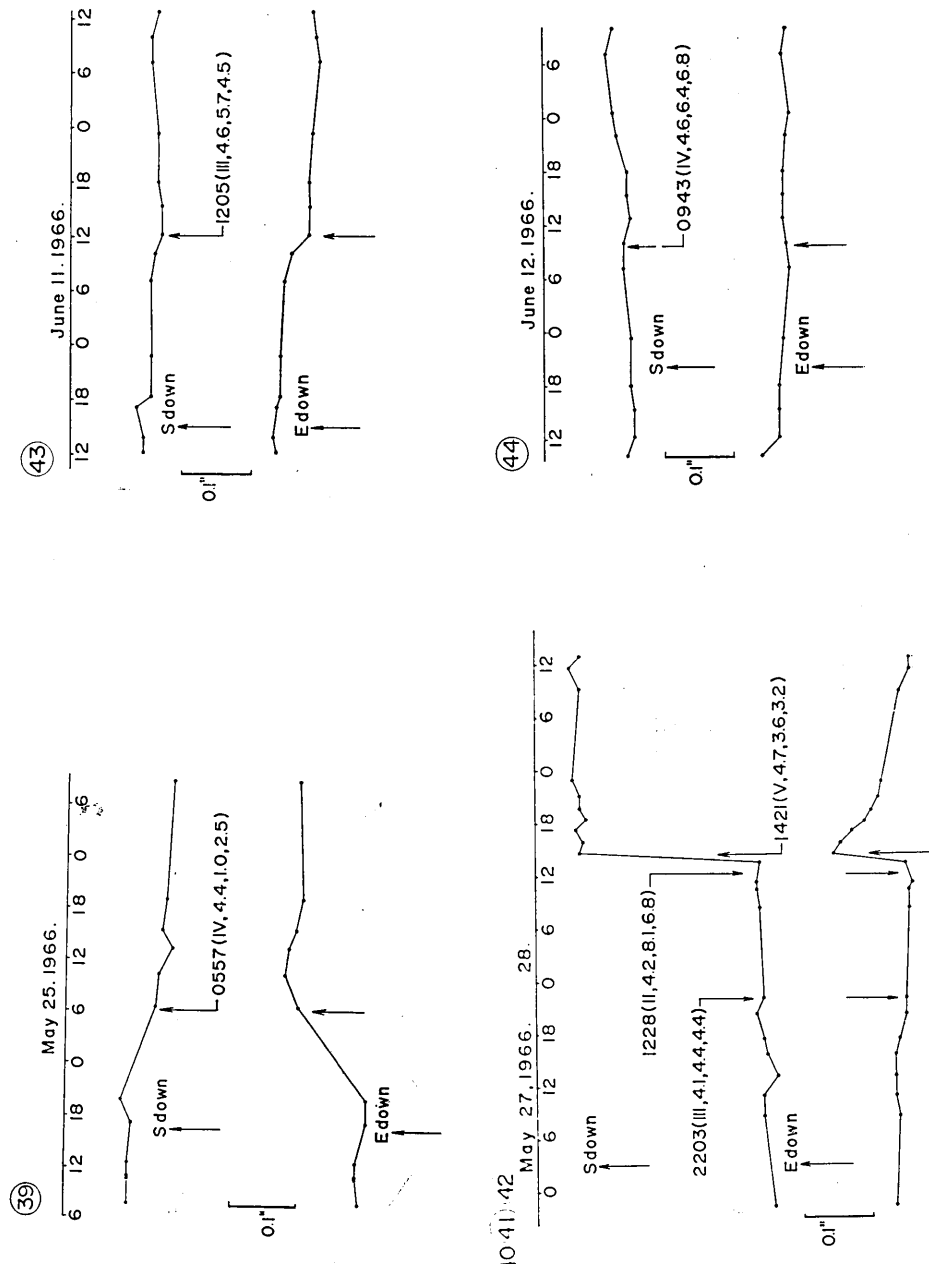
## Appendix 4.1.

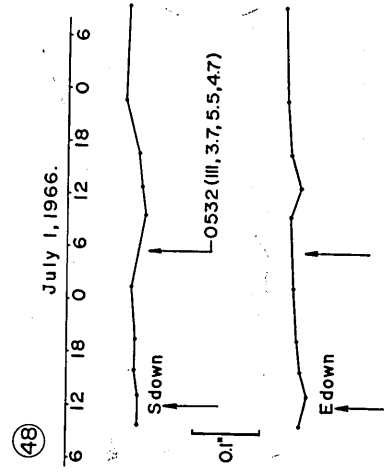
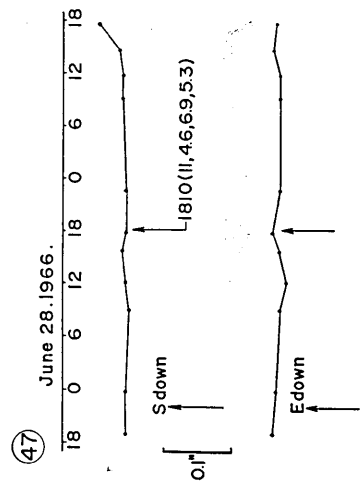
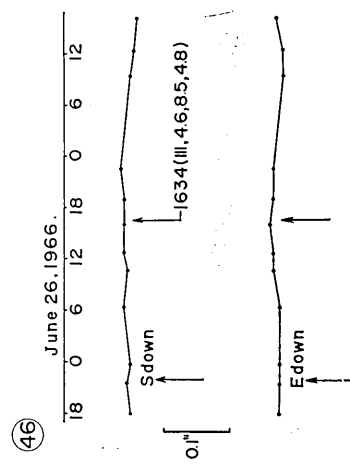
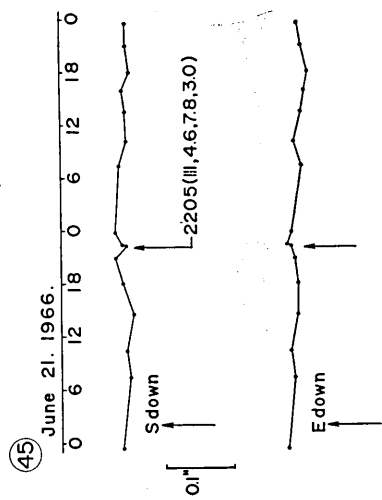
Anomalous precursory and subsequent tilt covering 2 day periods before and after major earthquakes during the Matsushiro swarm activity.







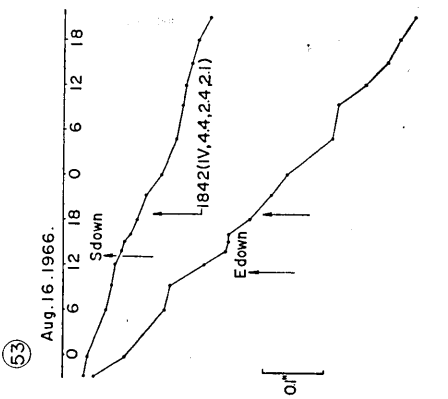
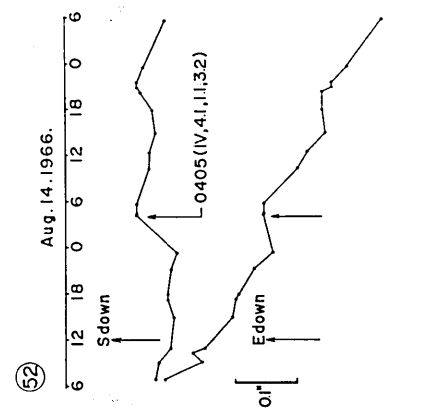
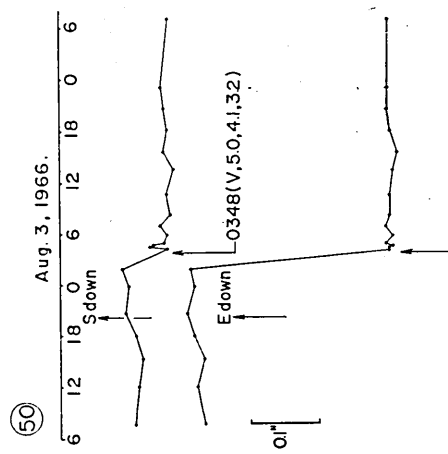
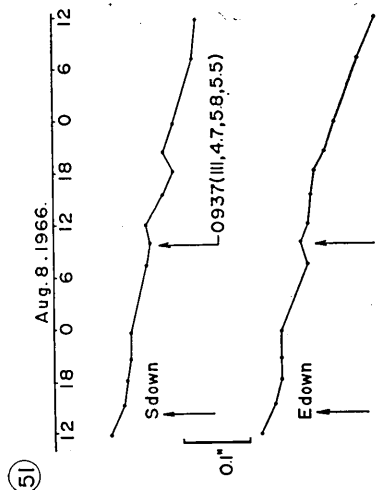
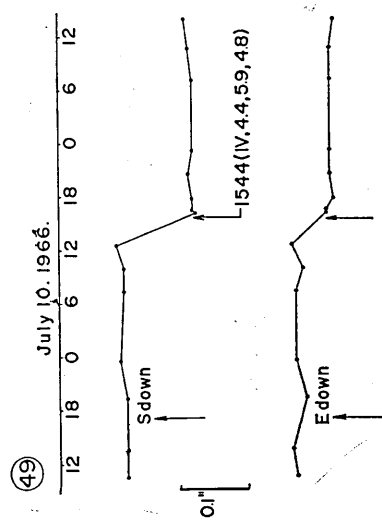


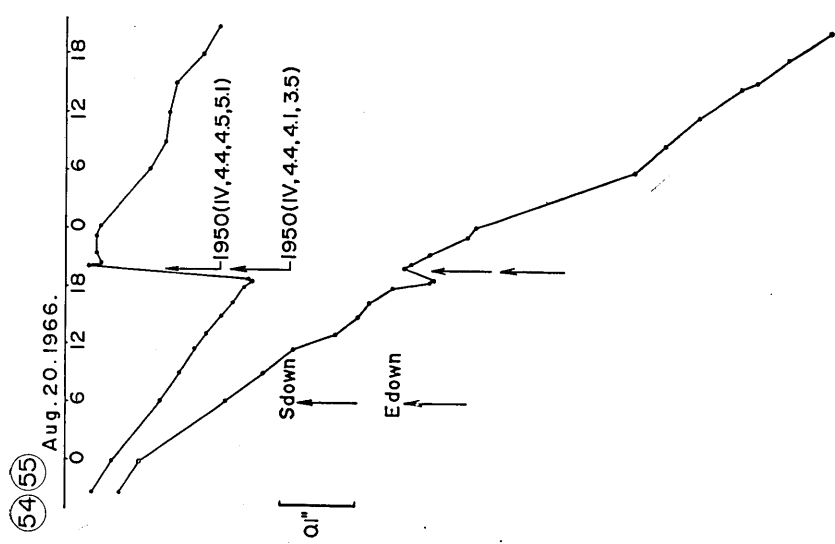
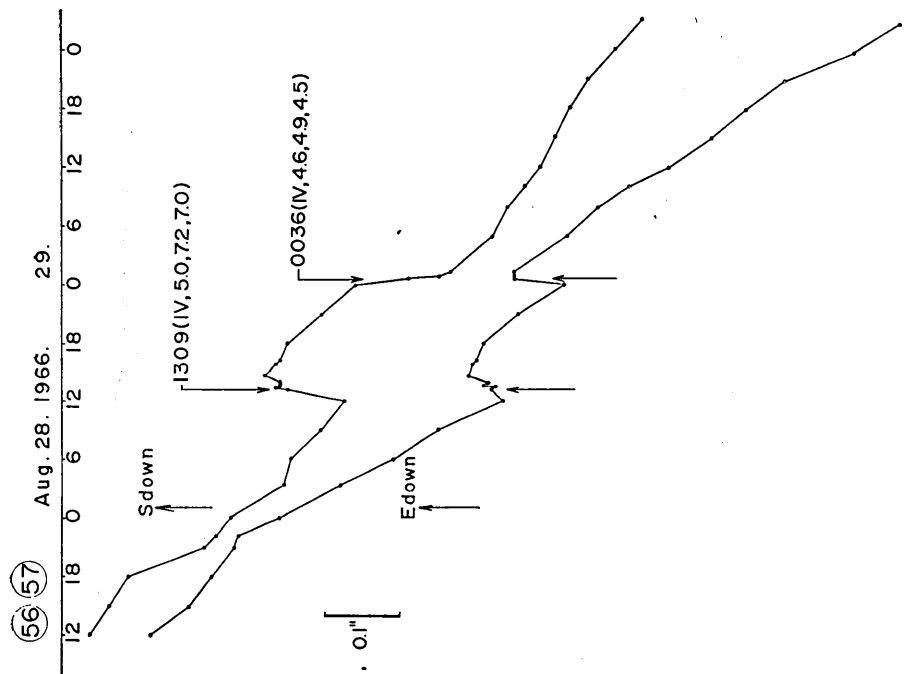


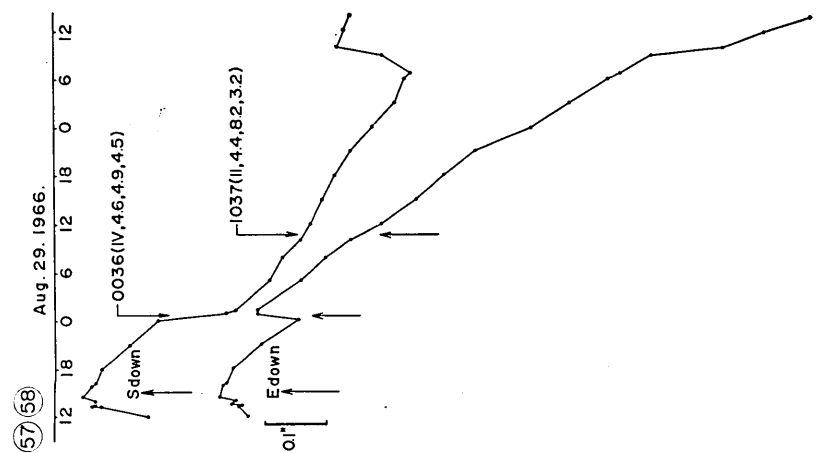
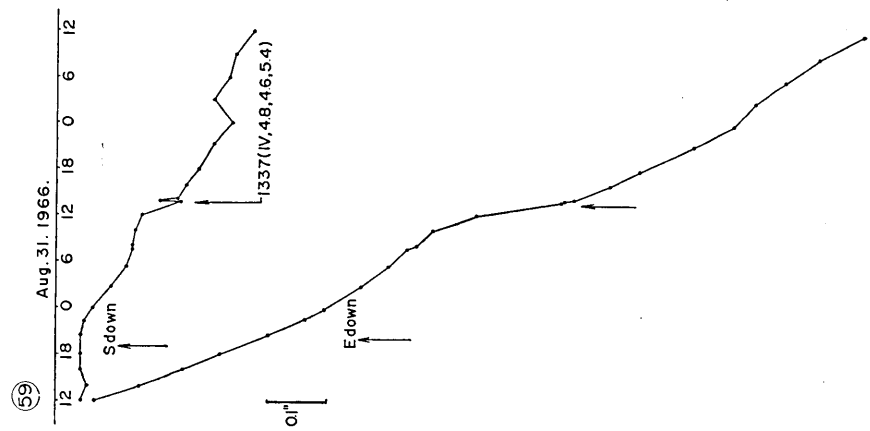
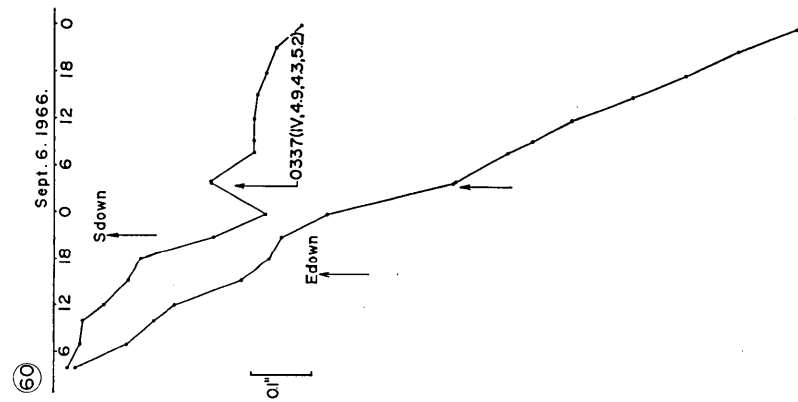
(46)

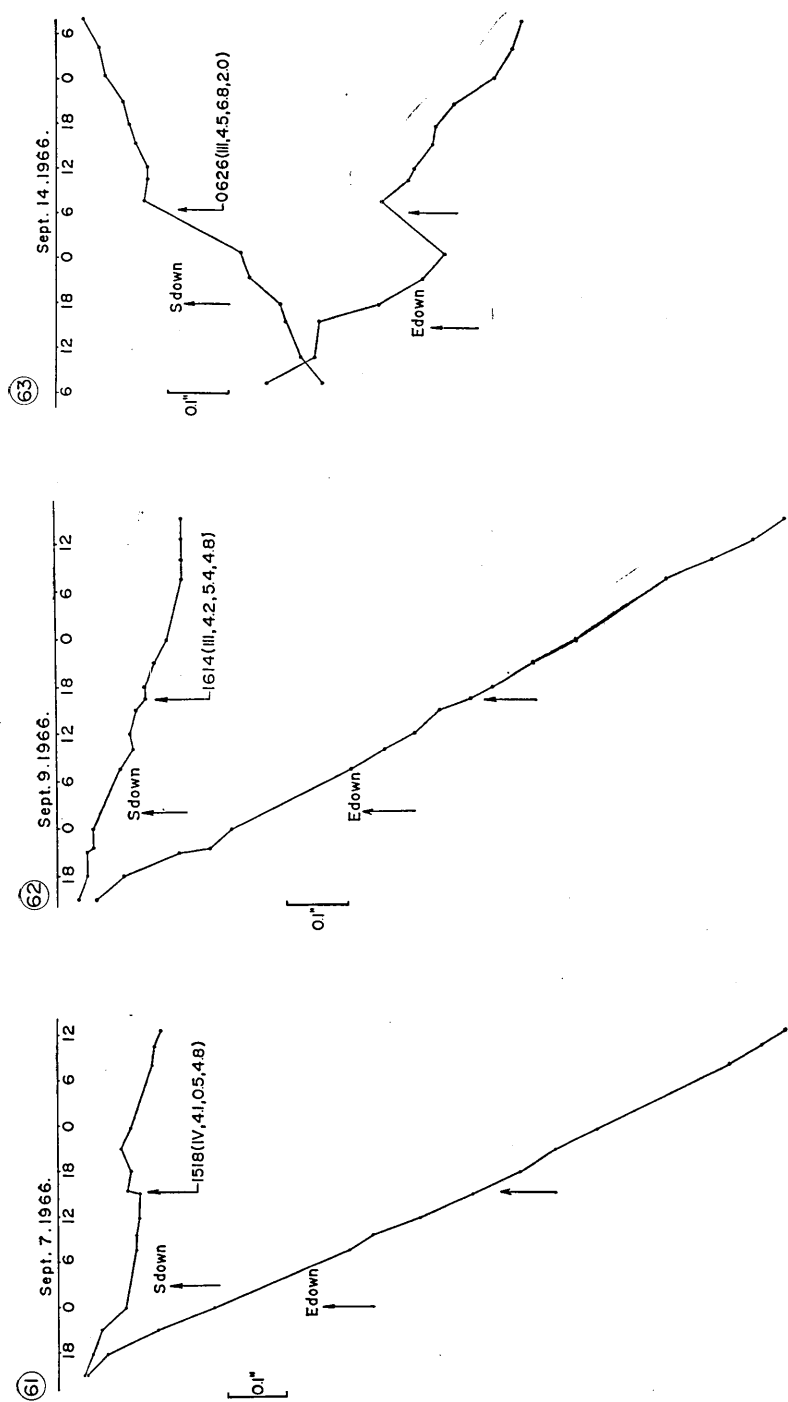
(47)

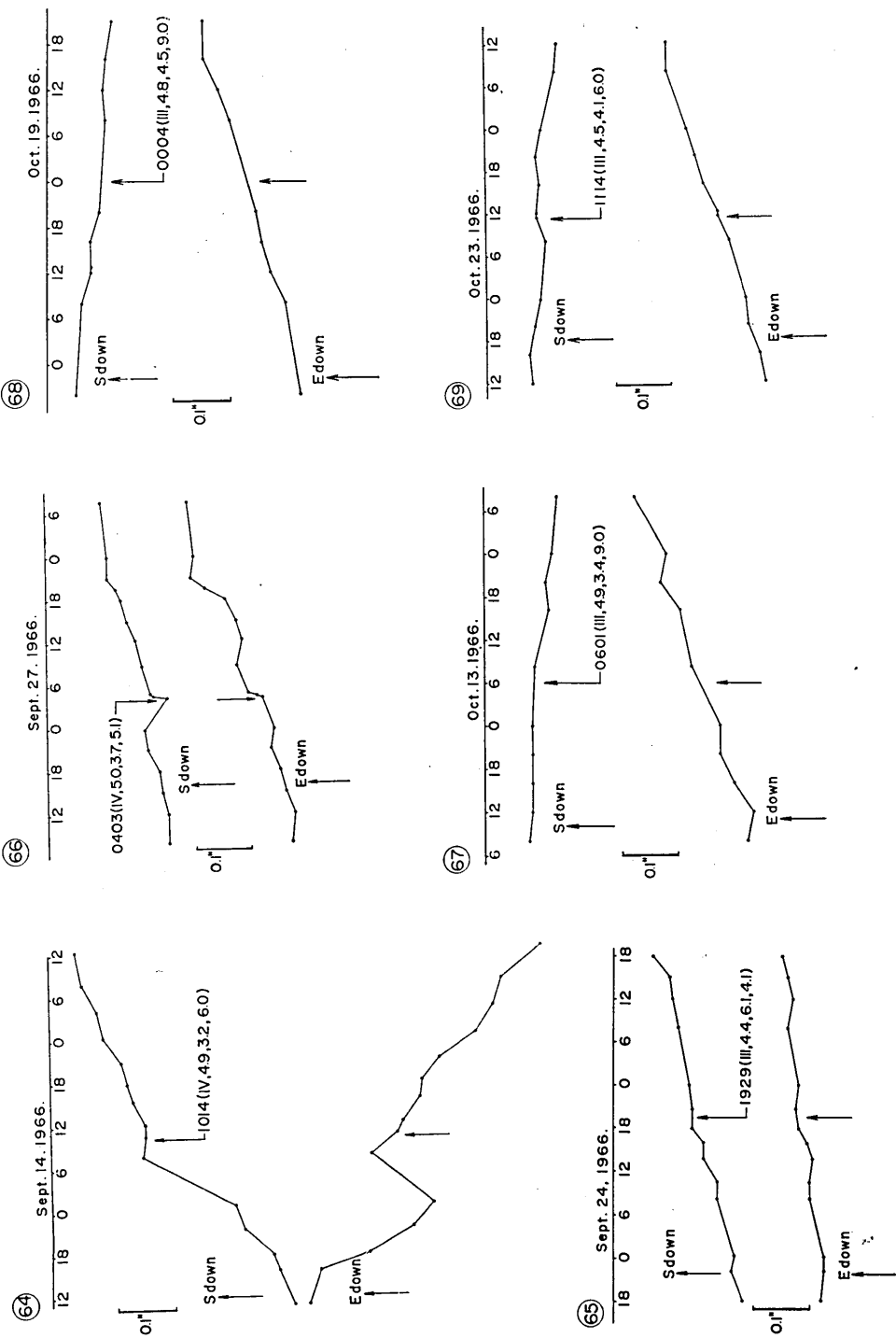
(48)

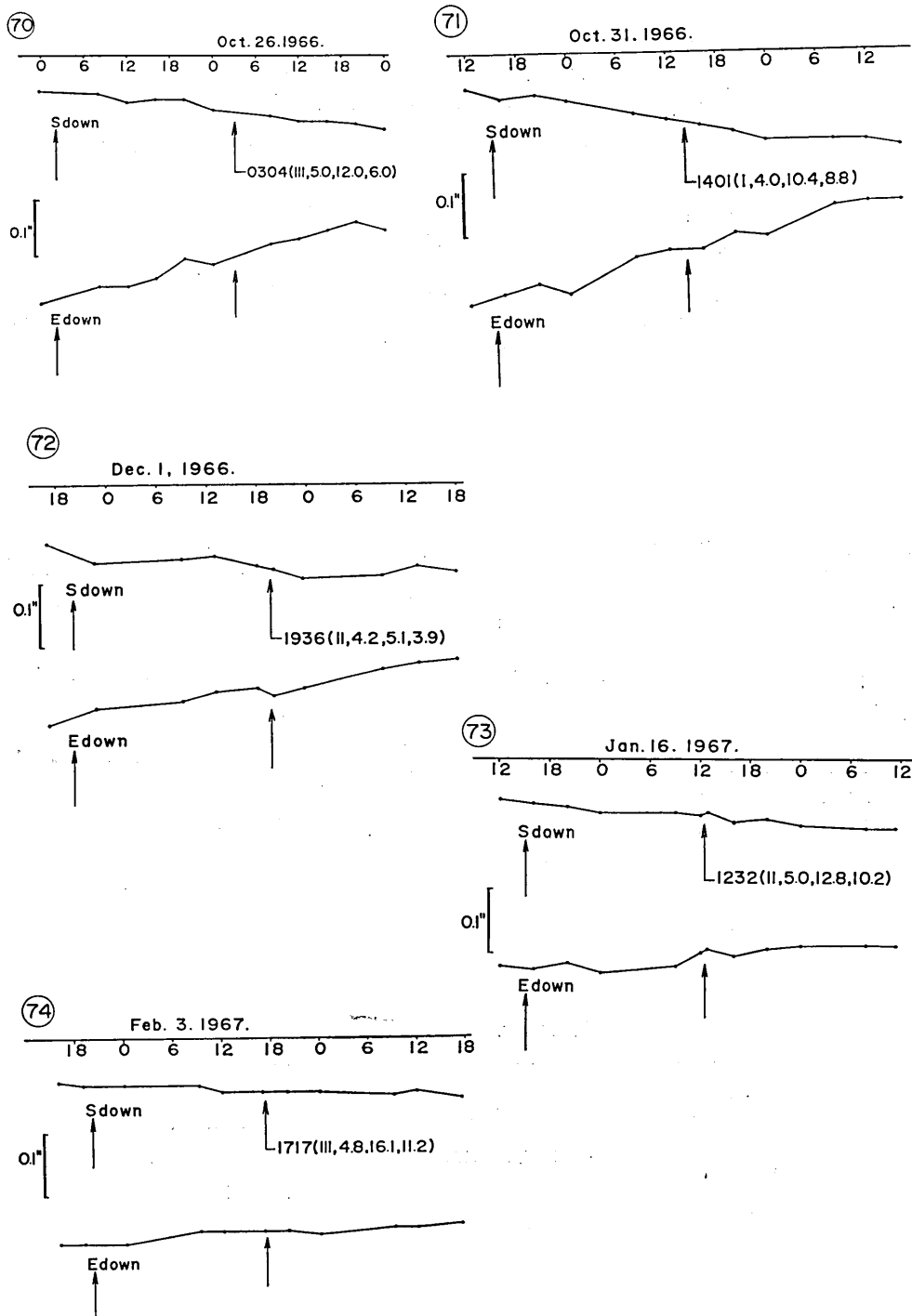


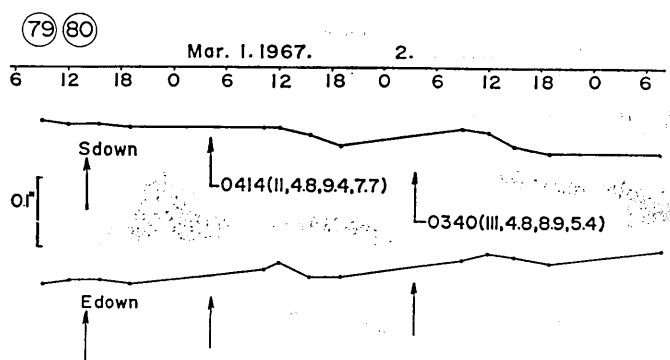
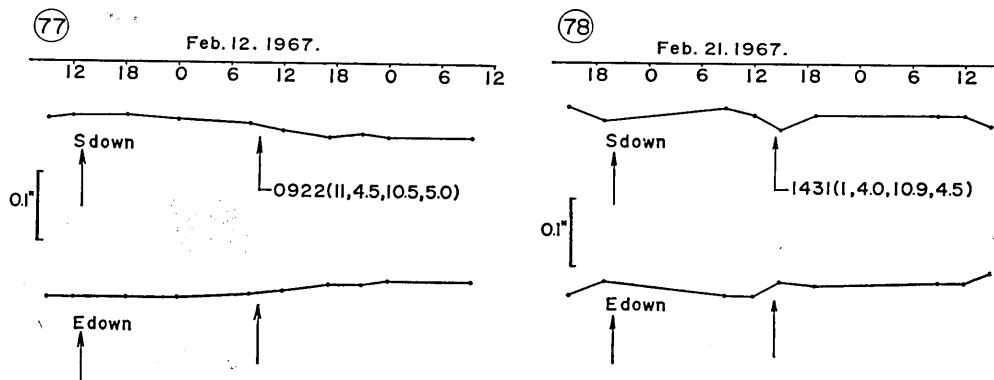
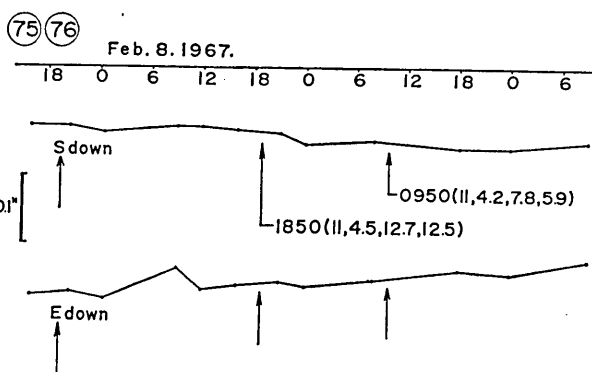












## Appendix 4.2.

Reading of water-tube tiltmeters at the Matsushiro  
Seismological Station.

(April 6, 1966—March 7, 1967)

Unit: micron.

1 micron = 0.005 sec. in arc.

$\approx 2.5 \times 10^{-8}$  radian.

$(2.424 \times 10^{-8}$  radian)

	date	time	NS	EW		date	time	NS	EW	l
	1966		(micron)			2100	32	-79		
Apr.	6	1530	0	0		2400	35	-80		
		1730	5	-5	Apr. 11	0315	37	-86		
		1930	6	-1		0345	34	-87		
		2235	3	-4		0410	34	-88		
	7	0930	22	-12		0512	30	-98		
		1130	13	-14		0530	26	-98		
		1330	15	-14		0546	25	-100		
		1530	23	-23		0610	09	-107		
		1730	21	-23		0635	08	-104		
		2130	21	-20		0652	11	-107		
	8	0830	29	-28		0810	15	-108		
		1030	22	-28		1000	15	-113		
		1300	28	-34		1200	12	-113		
		1530	32	-39		1500	16	-113		
		1800	27	-38		1700	11	-123		
		2130	23	-40		2100	11	-125		
		2400	26	-43		2400	19	-126		
	9	0230	24	-44	12	0500	19	-130		
		0300	23	-46		0700	17	-131		
		0315	29	-47		0800	19	-132		
		0600	28	-47		1000	21	-133		
		0800	32	-47		1300	20	-143		
		1000	30	-48		1700	20	-142		
		1145	25	-54		1900	21	-146		
		1430	20	-53		2045	22	-146		
		1530	18	-57		2104	16	-145		
		1800	22	-58		2115	24	-145		
		2100	21	-58		2130	17	-146		
		2400	23	-60		2145	17	-147		
	10	0600	27	-68		2400	19	-147		
		1000	24	-71	13	0125	19	-147		
		1230	29	-72		0140	21	-148		
		1600	30	-75		0700	18	-149		
		1800	32	-76		1000	19	-153		

	date	time	NS	EW	date	time	NS	EW	2	date	time	NS	EW	date	time	NS	EW	3
	1145	27	-155		1550	37	-221			2020	60	-302		1754	45	-356		
	1400	23	-155		1550	36	-221			2045	64	-302		2100	45	-360		
	1810	25	-161		1800	33	-223			2350	57	-304		2350	37	-361		
	2154	25	-166		2100	32	-224			0313	54	-308	Apr. 25	0540	43	-358		
	2400	25	-167		2400	36	-226			0644	61	-308		0640	39	-362		
Apr. 14	0400	19	-167	Apr. 17	0700	30	-234			1015	60	-309		1005	41	-359		
	0430	21	-167		1000	31	-234			1140	58	-311		1300	39	-364		
	0519	20	-167		1025	38	-243			1400	61	-316		1500	38	-364		
	0533	21	-167		1035	40	-242			1517	61	-315		1805	42	-370		
	0546	26	-169		1050	39	-246			1702	52	-321		2000	37	-371		
	0730	20	-170		1135	41	-250			1709	50	-323		2300	35	-372		
	0905	19	-176		1220	46	-250			1718	50	-322		26	0555	28	-373	
	0924	19	-174		1500	45	-254			2120	44	-320		0802	39	-375		
	0932	28	-178		1545	26	-245			2222	53	-322		0915	38	-376		
	1200	31	-179		1615	27	-247			2236	60	-324		1200	29	-375		
	1500	30	-182		1632	26	-248			2249	58	-323		1400	29	-379		
	1800	35	-182		1810	25	-249			2316	50	-326		1600	29	-380		
	2100	33	-185		2032	45	-243			2359	48	-327		2025	29	-381		
	2400	32	-186		2049	52	-248			2342	50	-327		2245	29	-381		
15	0700	26	-189		2107	49	-253			0309	51	-324		0705	26	-388		
	1000	30	-194		2132	50	-258			0635	43	-330		1005	28	-391		
	1300	35	-197		2400	48	-255			1005	43	-332		1200	27	-390		
	1400	28	-199		18	0600	45	-249			1200	44	-332		1400	29	-391	
	1515	33	-201		1230	62	-257			1400	49	-337		1613	28	-393		
	1655	38	-201		2005	60	-253			1420	50	-341		2020	27	-395		
	2100	28	-203		0900	66	-257			1540	50	-336		2310	21	-398		
	2139	33	-205		1220	70	-265			1805	52	-340		2320	21	-399		
	2154	30	-208		2000	72	-267			2125	53	-341		0705	18	-398		
	2400	31	-209		0800	70	-273			2340	45	-342		1000	18	-402		
16	0217	30	-210		1235	71	-278			0600	45	-347		1208	17	-402		
	0700	27	-213		2000	66	-286			0725	45	-347		1400	15	-402		
	1000	28	-219		0800	64	-291			1010	47	-349		1425	13	-405		
	1200	28	-219		1145	65	-293			1135	42	-351		1440	27	-408		
	1445	34	-221		1130	60	-300			1400	49	-355		1445	19	-407		
	1512	29	-222		1800	56	-299			1550	47	-352		1624	19	-403		

Date	time	NS	EW	Date	time	NS	EW	4		date	time	NS	EW	5
1800	17	-409	2400	-4	-448					May 5	0100	-35	-487	1942 -28 -481
2010	15	-411	0052	-1	-456						0200	-34	-490	1953 -30 -480
2147	15	-409	0107	1	-456						0300	-31	-491	2002 -24 -481
2320	15	-412	0218	-1	-455						0400	-32	-491	2015 -24 -484
Apr. 29	0720	7	-417	0700	-3	-453					0500	-33	-489	2025 -25 -483
1013	3	-415	1015	-2	-457						0600	-31	-487	2216 -26 -480
1022	16	-419	1200	-1	-461						0700	-33	-487	May 7 0006 -27 -482
1030	18	-418	1400	-4	-459						0800	-37	-490	0715 -23 -484
1141	12	-420	1545	-8	-458						0900	-37	-489	1010 -25 -484
1340	9	-420	1800	-9	-459						1000	-39	-491	1145 -23 -484
1540	9	-421	2100	-9	-458						1100	-38	-492	1400 -25 -487
1800	19	-420	0005	-15	-464						1200	-38	-493	1409 -26 -487
2110	14	-423	0020	-8	-465						1300	-37	-492	1610 -27 -489
2240	7	-425	0107	-12	-466						1400	-37	-492	1803 -26 -490
2400	10	-426	0125	-11	--						1500	-37	-493	2050 -26 -487
30 0701	4	-426	0845	-13	-463						1600	-40	-494	2345 -27 -487
0912	1	-427	1020	-16	-468						1700	-36	-494	8 0707 -30 -490
1200	5	-430	1200	-12	-471						1800	-38	-493	1002 -29 -494
1400	6	-429	1430	-13	-470						1900	-39	-491	1250 -26 -492
1530	8	-429	1800	-10	-473						2000	-42	-492	1445 -30 -494
1750	3	-430	2115	-17	-470						2100	-41	-494	1540 -24 -494
1807	6	-430	2345	-19	-473						2200	-39	-492	1830 -27 -494
2103	7	-431	0700	-16	-474						2300	-40	-492	2225 -32 -493
2340	6	-439	1000	-16	-476						2400	-43	-493	9 0704 -38 -497
May 1 0435	5	-436	1051	-25	-478						0100	-43	-496	1010 -38 -497
0449	3	--	1100	-30	-480						0328	-41	-496	1300 -37 -499
0453	3	-432	1122	-25	-482						0355	-40	-497	1510 -38 -500
0524	4	-435	1220	-29	-482						0340	-42	-499	1800 -39 -501
0650	4	-435	1440	-25	-484						0350	-39	-495	2045 -39 -502
1015	3	-441	1545	-29	-485						0424	-41	-496	2305 -41 -503
1130	2	-443	1753	-30	-481						0815	-41	-499	10 0705 -41 -504
1443	-1	-442	2025	-33	-482						1037	-36	-499	1000 -40 -503
1452	-1	-443	2200	-35	-483						1720	-36	-498	1310 -40 -505
1730	-3	-443	2300	-33	-485						1815	-34	-499	1520 -40 -506
2120	-5	-446	2400	-33	-486						1930	-34	-483	1810 -42 -507

date	time	NS	EW	date	time	NS	EW	date	time	NS	EW	date	time	NS	EW	date	time	NS	EW	
2035	-41	-508		1143	-72	-540		2157	-100	-571		1800	-106	-609						
2245	-42	-509		1330	-71	-540		2205	-102	-571		2040	-111	-608						
May 11	0233	-40	-512	1407	-72	-542		2212	-98	-569		2315	-111	-608						
1030	-40	-511		1630	-73	-541		2219	-100	-572		May 24	0725	-107	-607					
1310	-46	-513		1800	-72	-541		2227	-100	-571		1020	-107	-606						
1533	-44	-514		2100	-73	-542		2346	-94	-572		1040	-107	-605						
1830	-47	-515		2325	-71	-543		May 20	-100	-572		1215	-107	-606						
2050	-48	-516	May	16	0705	-73	-542		0943	-99	-560		1650	-106	-609					
2315	-49	-516		1005	-73	-543		0953	-99	-562		1925	-109	-609						
12 0108	-51	-518		1310	-72	-547		1000	-97	-563		25	0621	-99	-588					
0735	-53	-518		1535	-77	-547		1237	-96	-584		1006	-98	-584						
1030	-48	-519		1755	-73	-547		1555	-94	-565		1310	-94	-585						
1257	-52	-522		2045	-75	-548		1800	-97	-564		1518	-97	-587						
1306	-52	-521		2330	-77	-549		2050	-101	-582		1855	-96	-589						
1550	-53	-522	17	0137	-81	-554		2245	-101	-585		26	0840	-94	-588					
1755	-54	-522		0148	-81	-555		21	0705	-106	-584		1105	-96	-587					
2100	-55	-522		0705	-82	-555		1000	-100	-586		1350	-94	-588						
2320	-57	-524		1005	-82	-556		1104	-98	-601		1620	-95	-589						
13 0710	-58	-526		1315	-83	-559		1115	-99	-601		2220	-96	-590						
1000	-59	-528		1720	-83	-557		1455	-102	-604		27	0840	-99	-591					
1300	-60	-529		2120	-82	-560		1800	-98	-603		1100	-99	-590						
1520	-61	-529		2320	-84	-560		2030	-98	-601		1315	-95	-590						
1755	-62	-530	18	0755	-84	-560		22	0020	-101	-605		1545	-98	-590					
2100	-63	-531		1050	-84	-565		0710	-102	-604		1725	-99	-591						
2320	-62	-532		1310	-85	-567		1010	-100	-604		2020	-101	-593						
14 0707	-64	-532		1550	-85	-566		1340	-99	-607		2210	-99	-593						
2035	-62	-533		1725	-89	-566		1555	-100	-610		28	0820	-100	-594					
2231	-63	-532		2020	-93	-564		1735	-101	-606		1040	-101	-594						
2350	-62	-536		2325	-92	-566		1745	-100	-605		1120	-101	-595						
15 0710	-66	-536		1800	-63	-523	19	0710	-90	-566		2050	-102	-604		1337	-100	-593		
1005	-70	-538		2005	-62	-533		1005	-91	-568		2330	-107	-604		1440	-102	-572		
2231	-63	-534		1300	-92	-571		0710	-104	-606		1555	-101	-574						
2350	-62	-536		1545	-92	-571		1025	-106	-605		1720	-103	-577						
15				1755	-93	-570		1315	-102	-606		1827	-105	-581						
				1951	-93	-567		1600	-105	-609						1947	-104	-583		

		date	time	NS	EW	date	time	NS	EW	date	time	NS	EW	date	time	NS	EW	date	time	NS	EW	9	
		2110	-152	-585	1135	-165	-717							June	9	0935	-193	-634	1615	-199	-651		
		2255	-154	-586	1403	-162	-622									1210	-192	-633	1820	-201	-651		
		May 29	0915	-152	-591	1755	-169	-618								1525	-191	-635	2135	-200	-651		
		1140	-155	-594	2145	-174	-617								1710	-193	-636	2340	-199	-651			
		1300	-152	-594	2330	-172	-617								2110	-193	-636	June 15	0715	-203	-651		
		1450	-152	-594	June 4	0900	-172	-620							2347	-193	-635		1000	-198	-654		
		1740	-151	-593	1115	-170	-621								10	0950	-197	-636	1335	-199	-654		
		2115	-151	-597	1240	-170	-623								1210	-195	-637	1540	-200	-653			
		30	0815	-155	-599	1640	-170	-624							1350	-195	-636	1800	-203	-653			
		1120	-155	-600	1835	-172	-624								1705	-197	-637	2135	-202	-654			
		1340	-155	-600	2210	-174	-621								1819	-193	-638	16	0005	-203	-655		
		1520	-156	-600	2320	-174	-621								2245	-193	-638	0715	-202	-654			
		1845	-158	-600	5	0905	-173	-620							11	0705	-193	-639	1010	-202	-655		
		2250	-160	-605	1110	-173	-621								1013	-192	-641	1400	-201	-658			
		31	0910	-159	-604	1320	-174	-623							1213	-190	-646	1800	-209	-657			
		1135	-159	-607	1610	-173	-623								1520	-190	-646	2135	-206	-655			
		1400	-158	-609	1915	-175	-623								1800	-191	-646	2350	-205	-655			
		1715	-163	-604	2210	-176	-622								2320	-191	-647	17	0720	-205	-654		
		2000	-167	-608	6	0915	-176	-624							12	0715	-193	-649	1030	-205	-656		
		2220	-163	-606	1215	-179	-625								1000	-193	-648	1310	-205	-658			
		June 1	0600	-161	-605	1610	-173	-623							1250	-191	-647	1610	-206	-655			
		0945	-163	-611	1915	-175	-623								1800	-191	-646	2350	-205	-654			
		1220	-164	-612	1925	-179	-626								2320	-192	-647	2045	-210	-656			
		1515	-164	-613	2243	-183	-625								2200	-195	-648	2315	-210	-657			
		1800	-162	-610	7	0840	-181	-626							15	0030	-196	-649	18	0710	-211	-656	
		2115	-166	-610	1123	-181	-626								0705	-198	-647	1005	-211	-657			
	2	0115	-167	-613	1445	-182	-629								1525	-192	-647	1805	-207	-656			
		0630	-164	-611	1835	-183	-630								1800	-192	-647	2045	-210	-656			
		0930	-167	-613	2357	-184	-628								1540	-197	-648	2105	-213	-658			
		1200	-166	-614	8	0913	-189	-631							1800	-198	-649	2340	-213	-659			
		1400	-163	-616	1145	-184	-632								2148	-196	-650	19	0850	-213	-659		
		1715	-167	-615	1445	-187	-632								1000	-198	-651	1205	-214	-663			
		2010	-166	-613	1800	-188	-633								1525	-199	-650	1500	-214	-664			
		2325	-169	-615	2122	-192	-633								1030	-200	-651	1750	-215	-663			
	3	0910	-165	-616	2300	-193	-632								1335	-198	-651	2040	-211	-663			



date	time	NS	EW	date	time	NS	EW	date	time	NS	EW	date	time	NS	EW	
1120	-237	-692	July 20	0720	-247	-691		1515	-2260	-692		1800	-271	-690		
1545	-239	-688	1230	-247	-690		1800	-2260	-691		2130	-273	-689			
1925	-241	-688	1600	-246	-695		2100	-2261	-690		0000	-273	-690			
July 15	2350	-238	-689	2050	-252	-688	July 26	0400	-2260	-689	0600	-272	-688			
0805	-239	-689	2340	-253	-689		0800	-2259	-691		1540	-271	-690			
1200	-237	-692	21	0415	-251	-689		1200	-2260	-691		1800	-271	-690		
1600	-242	-691	0815	-251	-690		1600	-2259	-689		2015	-273	-688			
2005	-245	-687	1230	-251	-689		2100	-2263	-690		2335	-275	-687			
2355	-242	-690	1620	-250	-693		27	0000	-2262	-690	2	0740	-274	-690		
16	0400	-693	2015	-254	-691		0600	-2259	-689		1200	-273	-688			
0805	-241	-689	2335	-254	-688		1000	-2260	-691		1510	-272	-690			
1200	-240	-693	22	0820	-253	-689		1440	-2260	-690		1755	-274	-687		
1421	-240	-694	1220	-252	-688		1800	-2264	-691		2030	-277	-685			
1550	-242	-691	1425	-252	-689		2200	-2263	-690		2340	-276	-687			
1649	-241	-690	1620	-253	-690		28	0000	-2264	-689	3	0145	-278	-686		
1711	-242	-690	2140	-253	-688		0500	-2264	-688		0402	-265	-743			
1751	-241	-690	2350	-257	-687		1200	-2263	-692		0416	-270	-743			
2129	-243	-688	23	0610	-254	-691		1530	-2263	-692		0423	-269	-744		
2350	-243	-689	0930	-254	-689		1610	-2265	-691		0448	-266	-742			
17	0815	-242	-688	1215	-254	-690		1800	-2266	-689		0547	-265	-744		
1215	-241	-693	1500	-254	-691		2100	-2266	-689		0640	-267	-742			
1620	-242	-692	1800	-254	-691		29	0000	-2266	-692	0808	-254	-743			
2020	-246	-690	2100	-255	-693		0600	-2266	-690		1030	-265	-743			
18	0010	-245	-693	24	0000	-254	-689		1800	-2267	-693		1315	-263	-744	
0805	-244	-689	0400	-255	-693		2100	-2270	-692		1530	-266	-745			
1215	-244	-692	0800	-255	-691		29	0000	-2270	-691	1800	-265	-743			
1600	-242	-695	1100	-256	-690		0630	-2270	-689		2030	-266	-742			
2045	-249	-689	1415	-256	-689		0820	-2269	-693		2300	-267	-742			
2355	-250	-690	1630	-257	-690		1610	-2265	-690		0700	-265	-742			
1900	-249	-692	1800	-258	-691		1745	-2270	-689		1105	-263	-744			
2355	-250	-689	2100	-258	-692		2210	-2273	-687		1500	-262	-744			
0925	-247	-691	0000	-257	-690		0630	-2270	-689		1800	-263	-743			
1320	-247	-693	0500	-257	-687		0700	-2271	-687		2055	-266	-743			
1645	-245	-693	0800	-258	-690		1110	-2271	-690		2142	-267	-743			
1115	-250	-689	1115	-258	-693		1600	-2272	-693		2350	-265	-744			

	date	time	NS	EW	date	time	NS	EW	date	time	NS	EW	date	time	NS	EW	date	time	NS	EW
AUG.	5	0740	-264	-743					2145	-183	-959		1815	-104	-1157					
	1110	-262	-744		2020	-212	-819		2345	-181	-964		2100	-101	-1159					
	1500	-262	-745		2340	-211	-822		0545	-174	-975		2355	-99	-1171					
	1800	-261	-746		Aug. 11	0550	-206	-836	0640	-171	-975	Aug. 19	0510	-87	-1190					
	2010	-261	-744		1100	-204	-843		0845	-169	-981		0900	-84	-1198					
6	0000	-262	-744		1225	-204	-844		1145	-164	-994		1200	-82	-1208					
	0710	-260	-745		1500	-204	-845		1345	-163	-996		1500	-78	-1217					
	1120	-260	-745		1800	-202	-847		1615	-161	-995		1645	-75	-1223					
	1515	-259	-746		2125	-201	-854		1815	-163	-1005		1750	-74	-1225					
	1805	-259	-748		12 0000	-200	-859		2110	-164	-1003		2040	-71	-1230					
	2040	-258	-745		0615	-194	-866		2345	-163	-1013		2355	-66	-1235					
	2335	-259	-746		0935	-192	-873		16	0600	-157	-1026		20	0610	-53	-1258			
7	0745	-257	-747		1254	-192	-880		0910	-155	-1028		0903	-48	-1268					
	1140	-255	-749		1640	-188	-882		1200	-154	-1039		1135	-44	-1276					
	1500	-251	-753		1810	-188	-885		1340	-152	-1046		1310	-41	-1287					
	1800	-250	-755		2130	-186	-896		1500	-151	-1047		1500	-37	-1293					
	2025	-249	-755		13 0015	-184	-900		1600	-149	-1047		1625	-34	-1296					
	2330	-249	-755		0700	-177	-905		1800	-147	-1054		1800	-31	-1302					
8	0715	-244	-763		0910	-176	-917		2110	-144	-1061		1841	-29	-1312					
	0945	-243	-761		1025	-173	-914		17	0000	-139	-1066		1850	-30	-1313				
	1155	-244	-763		1100	-172	-918		0450	-134	-1081		2004	-72	-1305					
	1515	-239	-764		1200	-171	-927		0915	-132	-1083		2018	69	---					
	1800	-236	-765		1716	-173	-928		1200	-131	-1092		2025	69	-1307					
	2015	-239	-768		1800	-173	-929		1500	-129	-1099		2125	-70	-1312					
	2330	-236	-771		2115	-172	-934		1800	-127	-1103		2315	-70	-1322					
9	0655	-230	-778		2320	-170	-940		2100	-123	-1108		21	0015	69	-1324				
	1135	-229	-783		14 0415	-183	-937		2230	-124	-1113		0610	-56	-1366					
	1505	-227	-785		0430	-183	-937		18	0000	-124	-1117		0900	-52	-1374,				
	1800	-226	-787		0540	-183	-937		0100	-124	-1117		1200	-51	-1383					
	2030	-226	-791		1020	-179	-948		0109	-121	-1120		1500	-49	-1394					
	2315	-224	-794		1230	-179	-951		0130	-122	-1120		1532	-48	-1398					
10	0040	-222	-796		1500	-177	-957		0600	-116	-1132		1800	-42	-1406					
	0710	-216	-804		1800	-178	-956		0915	-115	-1137		2045	-38	-1417					
	1115	-214	-807		2015	-182	-956		1145	-112	-1145		2200	-36	-1421					
	1450	-214	-811		2100	-183	-959		1545	-104	-1154		2350	-35	-1426					

	date	time	NS	EW	date	time	NS	EW	date	time	NS	EW	date	time	NS	EW	date	time	NS	EW	17	
	Aug. 22	0610	-28	-1453																		
	0740	-25	-1460		1800	75	-1761		Aug. 29	0000	187	-2056	2115	291	-2384							
	0900	-26	-1465	AUG.	26	2100	76	-1772		0048	201	-2023	Sept. 1	0000	297	-2397						
	1106	-26	-1468		0330	78	-1785			0057	209	-2023		0300	291	-2404						
	1155	-25	-1475		0610	92	-1809			0115	212	-2023		0600	296	-2414						
	1500	-20	-1484		0900	97	-1821			0500	223	-2027		0800	298	-2425						
	1800	-17	-1495		1200	97	-1833			0750	227	-2045		1200	304	-2440						
	2100	-15	-1510		1500	97	-1843			1000	233	-2053		1500	314	-2451						
	2300	-9	-1518		1800	98	-1848			1200	236	-2063		1800	320	-2473						
	0300	-5	-1527		2100	109	-1863			1500	240	-2074		2100	323	-2488						
	0455	-3	-1543		27	0000	103	-1879			1800	244	-2088		2	0005	332	-2503				
	0520	-3	-1543		0500	108	-1896			2100	249	-2093		0300	340	-2521						
	0600	-2	-1545		0542	111	-1903			2300	256	-2111		0600	343	-2534						
	0905	-1	-1558		0610	110	-1904			0300	263	-2123		0905	346	-2545						
	1200	0	-1565		0900	112	-1917			0600	266	-2135		1003	354	-2553						
	1500	2	-1579		1200	117	-1927			0640	268	-2139		1010	349	-2553						
	1800	4	-1589		1455	122	-1937			0900	259	-2149		1200	355	-2567						
	2025	11	-1602		1800	127	-1943			1000	245	-2172		1500	359	-2578						
	2225	16	-1608		2055	147	-1949			1200	247	-2185		1800	361	-2593						
	2350	17	-1612		2205	150	-1950			1355	249	-2200		2100	370	-2609						
	24	0100	19	-1617	28	0000	154	-1961			1500	247	-2215		3	0000	376	-2624				
	0210	25	-1627		0315	168	-1977			1800	247	-2227		0310	382	-2642						
	0615	27	-1635		0600	170	-1991			2025	247	-2243		0600	386	-2657						
	0900	30	-1643		0900	178	-2005			2225	248	-2255		0900	388	-2671						
	1100	32	-1650		1200	184	-2020			2355	251	-2262		1200	394	-2687						
	1300	33	-1658		1315	169	-2017			31	0245	257	-2274		1500	405	-2708					
	1510	34	-1663		1319	166	--			0520	262	-2283		1800	410	-2722						
	1800	38	-1673		1322	167	-2018			0730	264	-2289		2100	413	-2736						
	2100	45	-1685		1335	167	-2015			0800	264	-2292		4	0000	419	-2751					
	25	0000	48	-1697		1355	167	-2016			1000	265	-2300		0330	428	-2774					
	0300	54	-1707		1428	163	-2011			1200	267	-2312		0730	430	-2792						
	0600	56	-1719		1520	166	-2012			1345	280	-2340		0940	430	-2804						
	0900	59	-1720		1610	167	-2013			1355	278	-2341		1200	431	-2814						
	1200	65	-1741		1800	169	-2015			1405	279	-2344		1500	422	-2823						
	1515	68	-1752		2100	178	-2024			1555	282	-2356		1800	422	-2840						
											1800	286	-2366		2105	423	-2855					



21

				date	time	NS	SW	date	time	NS	EW	20		date	time	NS	EW	date	time	NS	EW		
Sept.	24	0020	262	-4053		2330	199	-3984		1200	196	-3969	1610	228	-3739								
	0815	256	-4048	Sept.	29	0755	199	-3975		1600	192	-3953	2000	227	-3732								
1035	256	-4048				1100	201	-3975		2000	193	-3857	Oct.	14	0000	229	-3734						
1345	251	-4049				1410	200	-3977		2300	195	-3855			0800	231	-3723						
1600	251	-4047				2130	196	-3971		0800	198	-3853			1200	232	-3724						
1800	247	-4044				2340	196	-3970		1200	197	-3849			1600	236	-3722						
2040	247	-4043		30	0730	196	-3961		1600	197	-3841			2045	238	-3717							
25	0000	246	-4044			1000	195	-3961		2000	198	-3840	8	0000	201	0000	239	-3717					
0800	242	-4040				1700	199	-3958		0800	200	-3835			0800	239	-3710						
1200	240	-4042				2000	194	-3954		1200	201	-3835			1200	239	-3708						
1500	239	-4040		Oct.	1	0000	194	-3956		1200	201	-3831			1600	243	-3707						
1800	233	-4038				0720	193	-3950		1600	202	-3827			2000	246	-3702						
2100	232	-4036				1100	192	-3949		2015	202	-3824			16	0800	250	-3694					
26	0000	229	-4035			1800	196	-3940		2335	205	-3822					1200	250	-3691				
0800	227	-4030		2	0000	191	-3935		9	0800	207	-3817					1600	248	-3691				
1200	227	-4031				0800	193	-3931		1200	207	-3815					1600	206	-3687				
1500	225	-4028				1120	193	-3932		1600	206	-3809			17	0800	257	-3679					
1800	224	-4026				1800	195	-3926		2000	206	-3810					1200	257	-3675				
2100	220	-4023		3	0000	191	-3922		2345	209	-3807					1600	258	-3674					
2345	219	-4024				1720	190	-3920		10	0800	211	-3799					2000	259	-3669			
27	0415	227	-4020			1120	190	-3914		1200	213	-3799					1600	216	-3792				
0430	222	-4018				1820	193	-3912		2005	213	-3790					2000	218	-3790				
0455	221	-4015		4	0000	189	-3907		2350	215	-3788					1600	264	-3656					
0845	218	-4011				0720	191	-3904		11	0800	217	-3780					2000	267	-3654			
1215	216	-4013				1100	190	-3902		1200	213	-3781					1200	268	-3641				
1500	213	-4011				1400	191	-3902		1600	217	-3774					1600	269	-3636				
1800	211	-4007				1800	187	-3897		2000	218	-3770					2100	271	-3636				
1920	209	-4000				2100	189	-3895		12	0000	219	-3770					20	0800	277	-3630		
2100	206	-3995				2350	192	-3991		0800	221	-3763					1200	277	-3623				
28	0000	206	-3996	5	0800	190	-3887		1200	222	-3765					1600	277	-3614					
0745	204	-3994				1200	189	-3885		1600	222	-3758					2000	282	-3614				
1145	204	-3990				1630	190	-3881		2000	222	-3753					2100	271	0000	283	-3614		
1500	203	-3988				2000	193	-3881		13	0000	222	-3753					0800	288	-3611			
1815	201	-3986	6	0000	194	-3875		0800	195	-3872		0815	223	-3743					1200	288	-3606		

23

date	time	hrs	min	sec	date	time	hrs	min	sec	date	time	hrs	min	sec
1600	288	-3601			1600	339	-3492			1600	393	-3394		
2000	290	-3598			2000	339	-3486			2000	395	-3393		
Oct. 22.	0000	291	-3596		Nov. 5	0000	338	-3487		Nov. 12	0000	449	-3309	
0815	294	-3593	Oct.	29	0800	342	-3481			0800	402	-3391		
1200	296	-3590			1200	342	-3481			1200	402	-3398		
1600	295	-3588			1600	345	-3479			1630	402	-3383		
2000	297	-3584			2000	346	-3473			2000	404	-3379		
2345	299	-3583			2000	351	-3475			2000	407	-3378		
23	0800	301	-3577		0800	353	-3466			0800	408	-3374		
1125	298	-3573			1200	351	-3466			1200	409	-3373		
1600	298	-3573			1600	354	-3463			1600	410	-3370		
2000	298	-3568			2010	355	-3460			2000	409	-3370		
2345	300	-3562			3100	355	-3463			7	0000	413	-3367	*
24	0800	305	-3555		0800	359	-3452			0800	414	-3364		
1200	305	-3555			1200	361	-3450			1200	414	-3363		
1600	305	-3555			1600	363	-3450			1600	414	-3357		
2000	308	-3459			2000	365	-3445			2000	419	-3355		
2350	309	-3459			2350	368	-3446			2350	419	-3357		
25	0800	312	-3547	Nov. 1	0800	368	-3437			8	0800	425	-3350	
1200	313	-3541			1200	368	-3436			1200	425	-3350		
1600	316	-3541			1600	370	-3436			1600	426	-3344		
2000	315	-3538			2000	372	-3431			2000	425	-3345		
2350	315	-3531			2000	374	-3432			9	0000	428	-3344	
26	0800	319	-3533		0800	377	-3426			0815	428	-3339		
1200	321	-3526			1200	378	-3426			1215	429	-3339		
1600	323	-3524			1600	378	-3421			1600	430	-3332		
2000	324	-3521			2000	380	-3416			2000	432	-3331		
27	0000	326	-3521		0000	380	-3416			10	0000	435	-3322	
0900	329	-3510			0820	384	-3412			0800	436	-3327		
1200	322	-3508			1200	384	-3411			1200	438	-3327		
2000	324	-3503			1600	385	-3411			1600	438	-3323		
2350	324	-3504			2000	386	-3408			2000	439	-3320		
28	0800	326	-3498		0000	392	-3405			11	0000	443	-3312	
0800	326	-3494			0800	394	-3401			0800	442	-3315		
1200	327	-3499			1200	394	-3397			1200	442	-3316		



date	time	NS	EW	date	time	NS	EW	date	time	NS	EW	date	time	NS	EW				
1200	662	-2999	1200	688	-2959	1200	730	-2920	1600	749	-2876	1600	753	-2874	1600	756	-2878		
1600	662	-3001	1630	690	-2956	2000	692	-2956	2000	753	-2874	2000	755	-2872	2000	756	-2872		
2000	661	-2999	2000	690	-2956	2000	695	-2958	1500	728	-2915	1500	7345	-2873	1500	756	-2873		
2345	663	-2997	Dec. 25	0000	694	-2953	2	0900	727	-2918	Jan. 10	0900	752	-2873	1200	753	-2874		
Dec.	18	0900	665	-2995	0915	1200	695	-2956	1200	727	-2910	1600	760	-2874	1200	754	-2870		
1200	665	-2994	1600	697	-2953	1600	731	-2912	1600	754	-2870	1900	732	-2912	11	0000	757	-2872	
1600	666	-2994	2000	698	-2954	2000	734	-2907	2000	757	-2868	2000	758	-2868	1900	759	-2868		
19	0000	671	-2992	26	0000	698	-2953	3	0900	733	-2907	1200	754	-2868	1200	755	-2868		
0900	670	-2990	0900	697	-2947	1200	734	-2907	1600	754	-2869	1600	755	-2869	1200	756	-2867		
1200	669	-2993	1200	698	-2949	1500	734	-2907	1900	736	-2905	2000	757	-2867	1500	757	-2867		
1600	671	-2987	1600	700	-2948	1600	736	-2905	2000	757	-2867	2000	758	-2867	1900	759	-2867		
2000	671	-2988	2000	701	-2946	4	0900	736	-2900	2000	760	-2868	2000	761	-2868	1900	762	-2868	
2340	672	-2988	27	0000	703	-2947	1200	736	-2901	0900	759	-2868	1200	760	-2868	1200	761	-2868	
20	0900	674	-2985	0900	701	-2942	1500	737	-2900	1200	759	-2865	1600	759	-2866	1500	760	-2865	
1200	674	-2981	1200	704	-2943	1900	742	-2902	1600	759	-2866	2000	760	-2861	1900	761	-2861		
1600	674	-2978	1600	705	-2943	5	0900	738	-2899	2000	760	-2861	2000	761	-2861	1900	762	-2861	
2000	674	-2977	2000	707	-2940	1200	734	-2892	1200	762	-2861	1200	763	-2862	1200	764	-2861		
21	0000	678	-2979	28	0900	705	-2936	1500	742	-2894	15	0000	763	-2862	1500	764	-2862		
0900	678	-2976	1200	708	-2940	1900	739	-2896	0900	762	-2860	0900	763	-2860	1200	764	-2860		
1200	677	-2975	1500	708	-2939	6	0900	738	-2895	1200	762	-2859	1200	763	-2859	1500	764	-2859	
1600	679	-2974	1900	707	-2931	1200	744	-2891	1600	764	-2859	1600	765	-2858	1600	766	-2858		
2000	679	-2977	2000	707	-2940	1400	747	-2888	2000	765	-2858	2000	766	-2858	1900	767	-2858		
22	0000	679	-2974	28	0930	708	-2932	1900	744	-2891	14	0000	767	-2858	1900	745	-2858		
0900	679	-2972	1200	712	-2920	7	0900	748	-2887	0930	767	-2850	0930	768	-2850	1200	769	-2850	
1200	684	-2972	1500	713	-2929	1200	741	-2889	1200	768	-2853	1200	769	-2853	1500	770	-2853		
1600	681	-2970	1900	703	-2927	1400	751	-2886	1645	768	-2853	1645	769	-2853	1600	770	-2853		
2140	685	-2970	1200	708	-2936	1900	751	-2884	2000	768	-2852	2000	769	-2852	1900	770	-2852		
23	0000	686	-2971	1500	707	-2926	8	0900	745	-2881	15	0000	769	-2852	1500	746	-2852		
0900	685	-2966	1900	723	-2923	1200	746	-2975	0920	769	-2850	0920	770	-2850	1200	771	-2850		
1200	686	-2968	31	0830	721	-2920	1500	751	-2880	1200	769	-2849	1200	770	-2849	1500	771	-2849	
1600	688	-2963	1200	719	-2921	1900	752	-2879	1600	770	-2850	1600	771	-2850	1600	772	-2850		
2000	689	-2962	1500	719	-2923	9	0000	751	-2883	2000	771	-2848	2000	772	-2848	1900	773	-2851	
24	0000	690	-2965	1900	723	-2924	0900	747	-2877	16	0000	773	-2849	1600	748	-2849	1200	749	-2849
0900	690	-2957	1967							0900	790	-2849	0900	791	-2849	0900	792	-2849	



	date	time	NS	EW	date	time	NS	EW	30	date	time	NS	EW
	0930	866	-2722		1630	887	-2713			0930	914	-2679	
	1230	867	-2723		1900	889	-2708			1200	916	-2681	
	1700	867	-2720	Feb.	25	0830	892	-2711		1700	917	-2679	
	2000	869	-2731		1200	892	-2709			2100	918	-2682	
Feb.	17	0945	868	-2728		1500	895	-2708		Mar.	6	0000	918
	1230	869	-2725		1900	895	-2704			0900	916	-2676	
	1700	869	-2726		26	0900	892	-2705		1200	919	-2676	
	18	0000	870	-2729		1200	894	-2704		1700	921	-2674	
	0915	871	-2724		1500	897	-2705			2100	921	-2676	
	1230	872	-2725		1900	901	-2699			7	0000	920	
	1830	872	-2725		27	0900	905	-2699			0915	920	-2676
19	0000	874	-2725		1200	898	-2698			1220	920	—	
	0730	870	-2723		1500	900	-2700						
	0930	872	-2722		1900	901	-2701						
	1745	873	-2723		28	0900	900	-2696					
	1940	874	-2724			1200	901	-2695					
20	0900	878	-2721			1530	901	-2695					
	1200	877	-2721	Mar.	1	1015	902	-2696					
	1500	877	-2721			1200	902	-2692					
	1900	881	-2717			1530	904	-2690					
21	0845	877	-2721			1900	907	-2634					
	1200	879	-2721		2	0900	902	-2689					
	1500	883	-2717			1200	903	-2687					
	1900	879	-2718			1500	907	-2688					
22	0900	879	-2717			1900	909	-2690					
	1200	879	-2717		3	0800	909	-2686					
	1500	882	-2714			1140	911	-2683					
	1915	884	-2712			1600	913	-2693					
23	0830	882	-2713			2000	913	-2684					
	1200	881	-2714		4	0910	912	-2684					
	1500	883	-2711			1140	911	-2683					
	1915	884	-2712			1800	914	-2682					
24	0800	886	-2710			2000	915	-2684					
	1300	886	-2713		5	0000	914	-2684					

Appendix 4.3. Magnitude versus dislocation area calculated by formula (4.3).

$D/L$	$K$	$M = 5.0$	$4.9$	$4.8$	$4.7$	$4.6$	$4.5$	$4.4$	$4.3$	$4.2$	$4.1$	$4.0$
0.5 (7.33)	$14.8 \times 7.4$ $110 \text{ km}^2$	$13.3 \times 6.7$	$11.6 \times 5.8$	$10.4 \times 5.2$	$9.4 \times 4.7$	$8.3 \times 4.2$	$7.4 \times 3.7$	$6.5 \times 3.3$	$5.8 \times 2.9$	$5.2 \times 2.6$	$4.6 \times 2.3$	
0.6	$11.5 \times 6.9$	$10.3 \times 6.2$	$9.1 \times 5.5$	$8.1 \times 4.9$	$7.3 \times 4.4$	$6.5 \times 3.9$	$5.8 \times 3.5$	$5.1 \times 3.1$	$4.6 \times 2.8$	$4.1 \times 2.5$	$3.6 \times 2.2$	
0.7	$7.9.5$	$6.4.0$	$5.0.0$	$3.9.6$	$3.2.0$	$2.5.4$	$2.0.3$	$1.6.6$	$1.3.9$	$1.0.2$	$7.9$	
0.7	$6.9.6$	$6.4.4$	$5.1.0$	$4.0.3$	$3.2.6$	$2.5.2$	$2.0.5$	$1.6.3$	$1.2.9$	$1.0.2$	$8.2$	$6.3$
0.73	$6.9.2$	$9.1 \times 6.6$	$8.2 \times 6.0$	$7.3 \times 5.3$	$6.5 \times 4.8$	$5.8 \times 4.2$	$5.1 \times 3.7$	$4.6 \times 3.4$	$4.1 \times 3.0$	$3.6 \times 2.6$	$3.2 \times 2.3$	$2.9 \times 2.1$
0.8	$6.8.1$	$6.0.0$	$4.9.2$	$3.8.6$	$3.1.2$	$2.4.4$	$1.8.9$	$1.5.6$	$1.2.3$	$9.4$	$7.4$	$6.1$
0.8	$6.2.6$	$8.1 \times 6.5$	$7.3 \times 5.8$	$6.4 \times 5.1$	$5.8 \times 4.6$	$5.2 \times 4.2$	$4.6 \times 3.7$	$4.0 \times 3.2$	$3.6 \times 2.9$	$3.2 \times 2.6$	$2.9 \times 2.3$	$2.5 \times 2.0$
0.9	$7.1 \times 6.4$	$6.3 \times 5.7$	$5.6 \times 5.0$	$5.0 \times 4.5$	$4.5 \times 4.1$	$4.0 \times 3.6$	$3.5 \times 3.2$	$3.1 \times 2.8$	$2.8 \times 2.5$	$2.5 \times 2.3$	$2.2 \times 2.0$	
1.0	$6.5.9$	$4.5.5$	$3.6.0$	$2.8.0$	$2.2.5$	$1.8.5$	$1.4.4$	$1.1.2$	$8.7$	$7.0$	$5.8$	$4.4$
1.0	$6.3 \times 6.3$	$5.6 \times 5.6$	$5.0 \times 5.0$	$4.5 \times 4.5$	$4.0 \times 4.0$	$3.6 \times 3.6$	$3.2 \times 3.2$	$2.8 \times 2.8$	$2.5 \times 2.5$	$2.3 \times 2.3$	$2.0 \times 2.0$	
		$3.9.7$	$3.1.4$	$2.5.0$	$2.0.2$	$1.6.0$	$1.3.0$	$1.0.2$	$7.9$	$6.3$	$5.3$	$4.0$

## A Water-tube Tiltmeter and its Applications to Crustal Movement Studies.

By Juhei YAMADA,  
Earthquake Research Institute.

It is well established that earthquakes and crustal movements are related closely to one another. Geodetic means, i.e. repetition of precise surveys in a seismic area, have been the principal data sources in this research field. However, it is generally difficult to repeat the surveys frequently. Thus some complementary means are needed in order to observe the episode of strain accumulation at a fixed point continuously. Instruments for this purpose must be provided with long-term stability which is comparable to the geodetic means' to be complemented. A water-tube tiltmeter, which refers to the water level in a long tube, seems to satisfy this condition as is proved in the following discussion.

This paper presents and discusses various aspects of crustal movements in Japan on the basis of the water-tube tiltmeter records, which the writer and his collaborators obtained in the past twenty years. The paper consists of five chapters as follows:

Chapter 1 is on the instrumentation. A water-tube tiltmeter is basically a simple U-tube instrument. However, the best results are obtained only after proper designing and careful operation of the instrument. For this purpose, the writer reviews the history of a tiltmeter with special discussions on its vital parts, they are, optical system for precise reading, materials and manufacturing process for durability, instrumental response, etc., Discussions are also developed on several factors such as changes in the air temperature, atmospheric pressure, underground water and tidal phenomeana, which may disturb the observations. It is true that the overall accuracy depends on the condition how well the reading is corrected for these external factors.

Chapter 2 deals with a remote recording system for a water-tube tiltmeter. A reliable and practical system of remote operation has long been searched for by various groups in this field, as it will improve the observation definitely. It will eliminate uncomfortable vault work from the observers and will give us undisturbed continuous records. Development of the system has been desired urgently through the writer's experience in the Matsushiro swarm earthquakes, when restless vault observations were often conducted, manually.

Thus a supersonic equipment was constructed and tested by the writer and his collaborators successfully, as is described in this chapter. Basically, it takes sing-around method, in which the repetition cycle of a supersonic pulse is given as a function of the water depth. It detects the water level changes with the accuracy of less than one micron.

A proto-type model thus constructed is a brazen water reservoir of the tilted bottom. A piezo-electric element (transmitter-reciever) is mounted at the lower surfaces of the bottom plate via an ebonite insulator. Oblique incidence of sound waves to the tilted bottom plate causes converted transverse waves, which propagate through the plate until it is transmitted into water as a longitudinal pulse. The signal reflected at the water surface returns to the reciever along the same path, and efficient transmission of the signal are achieved. Consequently, the high S/N ratio and stability are attained.

Chapter 3 presents and discusses the secular changes recorded at the three observatories, Aburatsubo, Nokogiriyama and Matsuyama. Particularly interesting is a comparison of the records at Aburatsubo and Nokogiriyama, which are separated only for 20 km across the Bay of Tokyo. It is generally supposed that the observed tilting consists of the two components, i.e. the regional tectonic movement and the local one contaminating it. Hence,

correlation of tilting at the two adjacent stations depends on the condition which component predominates.

At a coastal observatory, which is locally affected by the tidal loading, good harmony between continuous observations and levellings may not be seen always. As for the long-term changes, however, the results of water-tube tiltmeters, levelling surveys and mareographs are in good harmony with each other, so far as their basic trends, or the rhythm of changes are concerned,

Notable evidence for migration of crustal movements has been discovered recently. Locus of the tilt vector at a station is generally accompanied by irregular features which are superposing the general trend of secular movements. Phase of the irregularities at Nokogiriyama lead Aburatsubo for about one year, indicating that these events migrate from east to west across the Boso Peninsula at a very low velocity, say 20 km/yr or 0.06 cm/sec.

This effect seems to bring forward new interesting problem in crustal movement studies. First, it enables us to predict movements at Aburatsubo from the Nokogiriyama's data, if the phase relation of the two is established empirically. Secondly, it attracts our notice on the rheological aspects of crustal movements. A brief discussion has been developed from these points of view.

Chapter 4 is on the subject of observations in the Matsushiro swarm earthquake area. The observed earth's tilt due to the seismic activities are compared with a elastic dislocation model of earthquakes. Practically, the writer installed two components of 40-meter water-tube tiltmeters in the vault of the Matsushiro Seismological Observatory, J.M.A., and continued observations there for about one year including the principal stages of activity.

The paper first refers to sixty-two major shocks of intensity scale IV or V in order to examine anomalous tilt events in 24 hours before and after the respective shock. By this work, which is perhaps the most detailed tilt observations in the epicentral areas ever conducted, lots of notable evidence for precursory effects have been obtained. These results offer hopeful examples to the studies of earthquake prediction.

Tilt steps, or sudden changes in tilting, were observed for most of these earthquakes, and were compared with the elastic dislocation models by Press and Chinnery successfully. Thus, an empirical formula has been derived to explain the relation between the seismic magnitude and the fault geometry. This formula seems consistent with the existing magnitude-fault length relations derived by various authors. A chart of tilt field about a fault origin has been drawn for the purpose of quick interpretation of the Matsushiro swarm earthquake. This chart enables us to estimate quickly the fault slip by knowing a tilt step at the station. Then, the seismic moment can be estimated by combining the slip with the fault area presumed from seismic observations and the rigidity of the crust. The seismic moment versus magnitude formula thus derived harmonized well with the similar one deduced from seismic waves.

Chapter 5 describes further applications of a water-tube tiltmeter, taking the tilt monitorings at the Sakuma and Kuroyon dams as well as at the Kilauea caldera, as examples.

Finally, the detailed data and technical descriptions are given in the appendix.